

ANNUAIRE

DE

L'OBSERVATOIRE ROYAL
DE BELGIQUE

JAARBOEK

VAN DE

KONINKLIJKE STERRENWACHT
VAN BELGIË



ANNUAIRE

DE

L'OBSERVATOIRE ROYAL DE BELGIQUE

Avenue Circulaire 3, B-1180 Bruxelles

CXCII^e ANNÉE

2025

IMPRIMERIE EPO
www.drukkerij-epo.be

MMXXIV



JAARBOEK

VAN DE

KONINKLIJKE STERRENWACHT VAN BELGIË

Ringlaan 3, B-1180 Brussel

CXCIIste JAARGANG

2025

DRUKKERIJ EPO
www.drukkerij-epo.be

MMXXIV

AVANT-PROPOS

L'Annuaire de l'Observatoire royal de Belgique a paru sans interruption de 1834 à 1900; à partir de 1901, il a été scindé en deux parties et les données astronomiques ont été publiées sous le titre d'*Annuaire astronomique de l'Observatoire royal*; depuis 1914, il a repris son titre original.

Cet *Annuaire* a pour but de fournir les renseignements indispensables aux divers services publics; il a aussi pour objet de donner toutes les indications de nature à intéresser les personnes qui désirent observer les phénomènes astronomiques.

Le manuscrit a été préparé par C. BRUYNINX et T. PAUWELS. Les traductions ont été assurées par R. ALVAREZ et T. PAUWELS. La rédaction finale a été coordonnée par T. PAUWELS.

Certaines données servant de base à nos calculs ont été fournies par le Nautical Almanac Office du U. S. Naval Observatory, par l'Institut de Mécanique Céleste et de Calcul des Ephémérides (IMCCE) du Bureau des longitudes et de l'Observatoire de Paris, par le Minor Planet Center, par le Jet Propulsion Laboratory et par l'International Meteor Organization (IMO).

La plupart des phénomènes astronomiques sont calculés en utilisant l'échelle de temps TT (Terrestrial Time). Néanmoins, pour la facilité des usagers de notre *Annuaire*, toutes les heures y sont exprimées en Temps universel (UT = Universal Time). Pour passer du TT au UT, la relation suivante a été utilisée pour 2025:

$$\text{UT} = \text{TT} - 69 \text{ s.}$$

Le Temps universel coordonné (UTC) est déduit du Temps atomique international (TAI) de sorte qu'il ne s'écarte pas de plus de 0,9 s du Temps universel (UT), déduit des observations de la rotation de la Terre (voir les *Annuaires 1992 et 1995*). Depuis le 1^{er} janvier 2017 (0^h UTC) et jusqu'à nouvel avis, le décalage total TAI – UTC est de 37 secondes.

En Belgique, l'*heure légale*, telle qu'elle est définie par la loi du 11 juin 2018, est d'application depuis le 20 septembre 2018 et correspond au Temps universel coordonné (UTC) auquel on ajoute soixante minutes

VOORWOORD

Het *Jaarboek van de Koninklijke Sterrenwacht van België* verscheen zonder onderbreking van 1834 tot 1900. Vanaf 1901 werd het in twee delen gesplitst en de sterrenkundige gegevens werden gepubliceerd onder de titel *Annuaire astronomique de l'Observatoire royal*. Sedert 1914 verschijnt het opnieuw onder zijn oorspronkelijke titel.

Dit *Jaarboek* heeft tot doel de nodige inlichtingen te verstrekken aan de openbare diensten. Het geeft bovendien al de aanduidingen voor wie belang stelt in de waarneming van de sterrenkundige verschijnselen.

Het manuscript werd opgesteld door C. BRUYNINX en T. PAUWELS. De vertalingen werden gemaakt door R. ALVAREZ en T. PAUWELS. De eindredactie werd gecoördineerd door T. PAUWELS.

Onze berekeningen steunen op gegevens verstrekt door het Nautical Almanac Office van het U. S. Naval Observatory, door het Institut de Mécanique Céleste et de Calcul des Ephémérides (IMCCE) van het Bureau des longitudes en het Observatoire de Paris, door het Minor Planet Center, door het Jet Propulsion Laboratory en door de International Meteor Organization (IMO).

De meeste astronomische verschijnselen worden berekend door gebruik te maken van de tijdschaal TT (Terrestrial Time). Nochtans werd, om het gebruik van het *Jaarboek* te vergemakkelijken, de tijd steeds uitgedrukt in Wereldtijd (UT = Universal Time). Om van TT over te gaan naar UT werd voor 2025 het volgende verband gebruikt:

$$\text{UT} = \text{TT} - 69 \text{ s.}$$

De Gecoördineerde Universele Tijd (UTC) is afgeleid van de Internationale Atoomtijd (TAI) op zo'n wijze dat hij niet meer dan 0,9 s afwijkt van de Wereldtijd (UT), die volgt uit de waarnemingen van de aardrotatie (zie de *Jaarboeken 1992 en 1995*). Sedert 1 januari 2017 (0^h UTC) en tot nader bericht bedraagt het totale verschil TAI – UTC 37 seconden.

In België is de *wettelijke tijd*, bepaald volgens de wet van 11 juni 2018 en van toepassing sedert 20 september 2018, de Gecoördineerde Universele Tijd (UTC) vermeerderd met zestig minuten tijdens een periode van win-

lors des périodes où s'applique l'heure d'hiver et cent vingt minutes lors des périodes où s'applique l'heure d'été.

Afin d'être en concordance avec l'heure indiquée par les horloges publiques (temps officiel), les heures données en Temps universel dans l'*Annuaire* devront être augmentées d'une ou deux heures selon les arrêtés concernant l'introduction de l'heure d'été qui seront en vigueur durant la période de l'année considérée. Un tableau, donnant les dates et les heures (UT) de début et de fin des périodes correspondantes, ainsi que les corrections à l'heure légale, a été publié dans l'*Annuaire 1992*. Des compléments ont été repris dans les *Annuaires 1995 à 2024*. Nous publions les données pour 2025 à la page 24.

Rappelons enfin que, pour satisfaire à divers besoins d'intérêt public, l'*Annuaire* doit paraître plusieurs mois avant l'année à laquelle il correspond; la rédaction du manuscrit du présent volume était terminée le 23 juillet 2024.

D'autres informations peuvent être consultées sur le site internet de l'*Observatoire royal de Belgique*:

<http://www.astro.oma.be/>

Le directeur général,

R. VAN DER LINDEN.

Toute reproduction, même partielle, de l'*Annuaire* est subordonnée à la citation de la source.

tertijd en met honderdtwintig minuten tijdens een periode van zomertijd.

Om tijdstippen te bekomen die overeenkomen met deze die de openbare klokken aanwijzen, moet men dus bij de tijden die in het *Jaarboek* in Wereldtijd gegeven worden, één of twee uur toevoegen, afhankelijk van de besluiten omtrent het invoeren van de zomertijd die tijdens de betreffende periode van het jaar van kracht zijn. In het *Jaarboek 1992* vindt men een tabel met datum en uur (UT) van het begin en het einde van deze periodes, alsook de correctie aan de wettelijke tijd. Aanvullingen op deze tabel werden overgenomen in de *Jaarboeken 1995 tot 2024*. De gegevens voor 2025 staan op blz. 25.

Wij herinneren er nog aan dat het *Jaarboek* enkele maanden vóór het begin van het jaar moet verschijnen, om de openbare diensten van nut te kunnen zijn; de redactie van het manuscript van dit volume werd beëindigd op 23 juli 2024.

Meer informatie is te vinden op de internetsite van de *Koninklijke Sterrenwacht van België*:

<http://www.astro.oma.be/>

De algemeen directeur,

R. VAN DER LINDEN.

Elke nadruk, zelfs gedeeltelijk, van het *Jaarboek* is alleen toegestaan mits vermelding van de bron.

COORDONNÉES TERRESTRES

OBSERVATOIRE ROYAL DE BELGIQUE À UCCLE

Ci-dessous nous donnons les coordonnées terrestres du point de référence de la station GNSS (Global Navigation Satellite Systems) et du sommet de la coupole du télescope Schmidt de l'Observatoire. Ces lieux sont respectivement localisés par les chiffres 1 et 2 sur le plan du Plateau d'Uccle (page 11).

Les coordonnées cartésiennes (X , Y , Z) ont été converties en coordonnées géographiques (longitude et latitude et hauteur ellipsoïdale) en utilisant un modèle mathématique de la terre. Ce modèle est une ellipse qui, en tournant autour de son axe court, forme un ellipsoïde. Ici nous utilisons l'ellipsoïde GRS80 qui a pour demi-grand axe $a = 6\,378\,137,0$ m et pour aplatissement $f = 1/298,257\,222\,097\,2$.

La longitude est l'angle entre le plan du méridien de référence qui est le méridien de Greenwich et le plan méridien passant par la station. La latitude est l'angle entre le plan équatorial et la perpendiculaire à l'ellipsoïde passant par la station. Cette perpendiculaire ne passe pas par le centre de l'ellipsoïde. La hauteur ellipsoïdale est la distance le long de la normale à l'ellipsoïde entre l'ellipsoïde et la station, comme indiqué dans la figure à la page 12.

Les cartes topographiques belges indiquent l'altitude DNG (Deuxième Nivellement Général) qui est la hauteur entre le géoïde (représenté par le niveau moyen de la mer à Ostende à marée basse) et la station dans la direction de la force gravitationnelle. La hauteur ellipsoïdale estimée par GNSS, est convertie en l'altitude DNG en utilisant un modèle (approché) du géoïde (voir la figure à la page 12).

Toutes les coordonnées ont une précision du l'ordre du cm et sont exprimées dans l'ITRS (International Terrestrial Reference System) qui correspond à 10 cm près au WGS84. Elles sont valables pour l'année 2025 et tiennent compte du déplacement de la plaque continentale. Les altitudes DNG ont été fournies par l'Institut Géographique National.

AARDVASTE COÖRDINATEN

KONINKLIJKE STERRENWACHT VAN BELGIË TE UKKEL

Hieronder geven we de aardvaste coördinaten van het GNSS-referentiepunt (Global Navigation Satellite Systems) en de top van de koepel van de Schmidt-telescoop van de Koninklijke Sterrenwacht. Ze zijn aangeduid met 1, resp. 2 op de plattegrond van het Plateau van Ukkel op blz. 11.

De cartesche coördinaten (X , Y , Z) werden omgezet in geografische coördinaten (lengte- en breedtegraad en ellipsoïdale hoogte) door gebruik te maken van een wiskundig model van de aarde. Dat model bestaat uit een ellips die men draait rond zijn korte as en zo een ellipsoïde vormt. Hier wordt de GRS80-ellipsoïde gebruikt met halve lange as $a = 6\,378\,137,0$ m en afplatting $f = 1/298,257\,222\,097\,2$.

De lengte is de hoek gemeten tussen het vlak van de nulmeridiaan van Greenwich en het vlak van de meridiaan door het station. De breedte is de hoek tussen het vlak van de evenaar en de loodrechte op de ellipsoïde in het station. Deze rechte loopt niet door het middelpunt van de ellipsoïde. De hoogte t.o.v. de ellipsoïde is de hoogte tussen de ellipsoïde en het station gemeten langs de loodrechte op de ellipsoïde, zoals aangegeven in de figuur op blz. 13.

Belgische topografische kaarten geven de TAW-hoogte (Tweede Algemeene Waterpassing). Dit is de hoogte van het station ten opzichte van de geoïde (gedefinieerd als het gemiddeld zeenniveau bij eb te Oostende) langs de zwaartekrachtrichting. De ellipsoïdale hoogte die GNSS geeft, kan omgerekend worden naar de TAW-hoogte door gebruik te maken van een (benaderd) model van de geoïdevorm, zoals geïllustreerd wordt in de figuur op blz. 13.

Alle coördinaten hebben cm-nauwkeurigheid en zijn gegeven in het ITRS (International Terrestrial Reference System), dat tot op 10 cm overeenkomt met WGS84. Ze zijn geldig voor het jaar 2025 en houden rekening met de beweging van de continentale plaat. De TAW hoogtes werden bekomen via het Nationaal Geografisch Instituut.

Point de référence de la station GNSS 13101M010 GNSS-referentiepunt 13101M010

Ces coordonnées sont basées sur des relevés permanents du point de référence de la station GNSS qui est intégré au sein des réseaux d'observation IGS (International GNSS Service, <https://igs.org/>) et EPN (EUREF Permanent Network, <https://epnccb.oma.be/>). La description du point de référence de la station GNSS peut être trouvée sur:

<https://epncb.oma.be/info.php?station=BRUX00BEL>

Voir le repère 1 sur le plan à la page 11.

Deze coördinaten zijn gebaseerd op permanente GNSS-opmetingen van het referentiepunt dat geïntegreerd is in de IGS- (International GNSS Service, <https://igs.org/>) en EPN- (EUREF Permanent Network, <https://epncb.oma.be/>) observatienetwerken. De beschrijving van het GNSS-meetpunt is terug te vinden op:

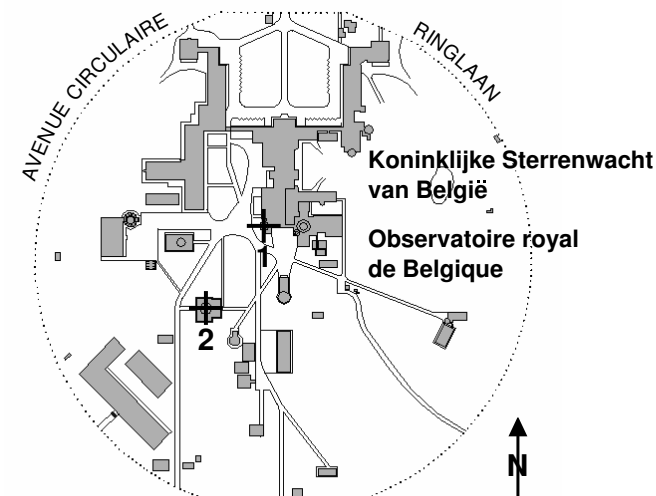
<https://epncb.oma.be/info.php?station=BRUX00BEL>

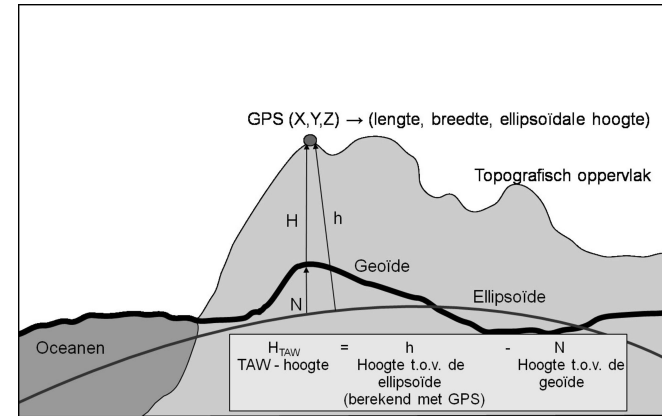
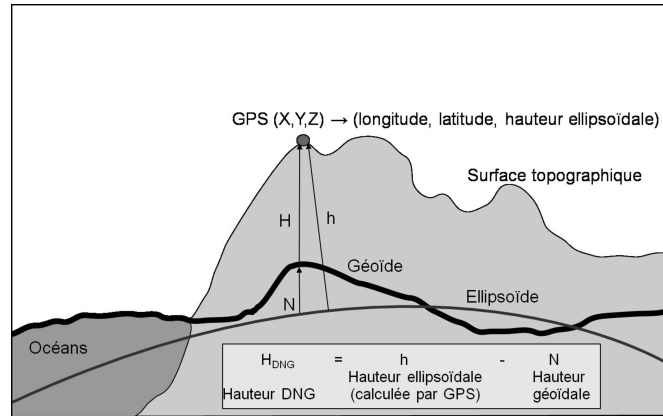
Zie punt 1 op de plattegrond op blz. 11.

Télescope Schmidt (sommet de la coupole)
Schmidt-telescoop (top van de koepel)

Ces coordonnées sont basées sur un relevé GPS ayant duré quatre jours en janvier 2007. Voir le repère 2 sur le plan à la page 11.

Deze coördinaten zijn gebaseerd op een 4-daagse gps-opmeting gehouden in januari 2007. Zie punt 2 op de plattegrond op blz. 11.





CONSTANTES ASTRONOMIQUES

Lors de son assemblée générale de 2009, l'Union Astronomique Internationale a approuvé une nouvelle série de *meilleures valeurs numériques disponibles pour les constantes astronomiques*. Contrairement à la précédente série de constantes, les actuelles valeurs approuvées seront ajustées chaque fois que le besoin s'en fera sentir.

L'unité astronomique de temps (D) est un jour de 86 400 secondes (SI). L'unité astronomique de masse (S) est la masse du Soleil. Le siècle julien (cy) dure 36525 jours. L'époque standard de référence J2000,0 = 2000 Jan 1,5 TDB = JD2451545,0, où TDB est le Temps Dynamique Barycentrique (Barycentric Dynamical Time), et JD l'époque en jours juliens. TCB = Barycentric Coordinate Time, TT = Terrestrial Time, TCG = Geocentric Coordinate Time.

Dans le tableau, outre la valeur de la constante officiellement admise, nous indiquons également l'incertitude officielle sur la constante, ainsi que l'année au cours de laquelle la valeur actuelle a été adoptée.

Sources

- <https://iau-a3.gitlab.io/NSFA>
 - *The Astronomical Almanac*
(https://aa.usno.navy.mil/downloads/publications/Constants_2021.pdf)
-

ASTRONOMISCHE CONSTANTEN

Op haar algemene vergadering in 2009 heeft de Internationale Astronomische Unie een nieuw stel *Huidige Beste Schattingen van Astronomische Constanten* goedgekeurd. In tegenstelling tot het vorige stel constanten, moeten de huidige goedgekeurde waarden worden bijgesteld elke keer als het nodig blijkt.

De astronomische tijdseenheid (D) is een dag van 86 400 seconden (SI). De astronomische massa-eenheid (S) is de massa van de zon. De Juliaanse eeuw (cy) bedraagt 36525 dagen. De standaard-referentie-epocha J2000,0 = 2000 jan 1,5 TDB = JD2451545,0, waarin TDB de Barycentrische Dynamische Tijd (Barycentric Dynamical Time) voorstelt en JD de epocha in Juliaanse dagen. TCB = Barycentric Coordinate Time, TT = Terrestrial Time, TCG = Geocentric Coordinate Time.

In de tabel geven we, naast de officieel aangenomen waarde voor de constante, ook de officiële onzekerheid op de constante, evenals het jaartal waarin de huidige waarde aangenomen werd.

Bronnen

- <https://iau-a3.gitlab.io/NSFA>
 - *The Astronomical Almanac*
(https://aa.usno.navy.mil/downloads/publications/Constants_2021.pdf)
-

| | | | |
|---|--|--|------|
| Vitesse de la lumière dans le vide | $c = 2,997\ 924\ 58 \times 10^8 \text{ ms}^{-1}$ | — | 2009 |
| Constantes de définition naturelles | | | |
| Constante (gaussienne) de la gravitation universelle | <i>(Supprimée en 2012 comme constante de définition)</i> | | |
| $1 - d(\text{TT}) / d(\text{TCG})$ | $L_G = 6,969\ 290\ 134 \times 10^{-10}$ | — | 2009 |
| $1 - d(\text{TDB}) / d(\text{TCB})$ | $L_B = 1,550\ 519\ 768 \times 10^{-8}$ | — | 2009 |
| TDB – TCB à T_0 | $\text{TDB}_0 = -6,55 \times 10^{-5} \text{ s}$ | — | 2009 |
| Unité astronomique | $\text{au} = 1,495\ 978\ 707\ 00 \times 10^{11} \text{ m}$ | — | 2012 |
| Angle de rotation de la Terre pour J2000,0 | $\theta_0 = 0,779\ 057\ 273\ 264\ 0$ révolutions | — | 2009 |
| Taux d'avancée de l'angle de rotation de la Terre | $d\theta/d\text{UT1} = 1,002\ 737\ 811\ 911\ 354\ 48$ révolutions (jours UT1) ⁻¹ | — | 2009 |
| Constantes naturelles mesurables | | | |
| Constante de la gravitation | $G = 6,674\ 28 \times 10^{-11} \text{ m}^3\text{kg}^{-1}\text{s}^{-2}$ | $\pm 6,7 \times 10^{-15} \text{ m}^3\text{kg}^{-1}\text{s}^{-2}$ | 2009 |
| Constantes dérivées | | | |
| Valeur moyenne de $1 - d(\text{TCG}) / d(\text{TCB})$ | $L_C = 1,480\ 826\ 867\ 41 \times 10^{-8}$ | $\pm 2 \times 10^{-17}$ | 2009 |
| Constantes des corps célestes | | | |
| Rapports de masses: | | | |
| Lune sur Terre | $M_M/M_E = 1,230\ 003\ 71 \times 10^{-2}$ | $\pm 4 \times 10^{-10}$ | 2009 |
| Soleil sur Mercure | $M_S/M_{Me} = 6,023\ 657\ 330 \times 10^6$ | $\pm 2,35 \times 10^{-1}$ | 2015 |
| Soleil sur Vénus | $M_S/M_{Ve} = 4,085\ 237\ 19 \times 10^5$ | $\pm 8 \times 10^{-3}$ | 2009 |
| Soleil sur Mars | $M_S/M_{Ma} = 3,098\ 703\ 59 \times 10^6$ | $\pm 2 \times 10^{-2}$ | 2009 |

| | | | |
|---|--|--|------|
| Lichtsnelheid in het vacuüm | $c = 2,997\ 924\ 58 \times 10^8 \text{ ms}^{-1}$ | — | 2009 |
| Bepalende hulpconstanten | | | |
| Universele (Gaussische) gravitatieconstante | <i>(In 2012 afgeschaft als bepalende constante)</i> | | |
| $1 - d(\text{TT}) / d(\text{TCG})$ | $L_G = 6,969\ 290\ 134 \times 10^{-10}$ | — | 2009 |
| $1 - d(\text{TDB}) / d(\text{TCB})$ | $L_B = 1,550\ 519\ 768 \times 10^{-8}$ | — | 2009 |
| TDB – TCB bij T_0 | $\text{TDB}_0 = -6,55 \times 10^{-5} \text{ s}$ | — | 2009 |
| Astronomische eenheid | $\text{au} = 1,495\ 978\ 707\ 00 \times 10^{11} \text{ m}$ | — | 2012 |
| Rotatiehoek van de aarde bij J2000,0 | $\theta_0 = 0,779\ 057\ 273\ 264\ 0$ omwentelingen | — | 2009 |
| Rotatiesnelheid van de aarde | $d\theta/d\text{UT1} = 1,002\ 737\ 811\ 911\ 354\ 48$ omwentelingen (UT1-dagen) ⁻¹ | — | 2009 |
| Meetbare natuurconstanten | | | |
| Gravitatieconstante | $G = 6,674\ 28 \times 10^{-11} \text{ m}^3\text{kg}^{-1}\text{s}^{-2}$ | $\pm 6,7 \times 10^{-15} \text{ m}^3\text{kg}^{-1}\text{s}^{-2}$ | 2009 |
| Afgeleide constanten | | | |
| Gemiddelde waarde van $1 - d(\text{TCG}) / d(\text{TCB})$ | $L_C = 1,480\ 826\ 867\ 41 \times 10^{-8}$ | $\pm 2 \times 10^{-17}$ | 2009 |
| Hemellichaamconstanten | | | |
| Massaverhoudingen: | | | |
| maan tot aarde | $M_M/M_E = 1,230\ 003\ 71 \times 10^{-2}$ | $\pm 4 \times 10^{-10}$ | 2009 |
| zon tot Mercurius | $M_S/M_{Me} = 6,023\ 657\ 330 \times 10^6$ | $\pm 2,35 \times 10^{-1}$ | 2015 |
| zon tot Venus | $M_S/M_{Ve} = 4,085\ 237\ 19 \times 10^5$ | $\pm 8 \times 10^{-3}$ | 2009 |
| zon tot Mars | $M_S/M_{Ma} = 3,098\ 703\ 59 \times 10^6$ | $\pm 2 \times 10^{-2}$ | 2009 |

| | | 18 | CONSTANTES ASTRONOMIQUES | |
|--|---|---|--------------------------|------|
| Soleil sur Jupiter | $M_S/M_J = 1,047\,348\,644 \times 10^3$ | $\pm 1,7 \times 10^{-5}$ | 2009 | |
| Soleil sur Saturne | $M_S/M_{Sa} = 3,497\,901\,8 \times 10^3$ | $\pm 1 \times 10^{-4}$ | 2009 | |
| Soleil sur Uranus | $M_S/M_U = 2,290\,295\,1 \times 10^4$ | $\pm 1,7 \times 10^{-2}$ | 2015 | |
| Soleil sur Neptune | $M_S/M_N = 1,941\,226 \times 10^4$ | $\pm 3 \times 10^{-2}$ | 2009 | |
| Soleil sur (134340) Pluton | $M_S/M_P = 1,360\,5 \times 10^8$ | $\pm 2,1 \times 10^5$ | 2015 | |
| Soleil sur (136199) Eris | $M_S/M_{Eris} = 1,191 \times 10^8$ | $\pm 1,4 \times 10^6$ | 2009 | |
| (1) Cérès sur Soleil | $M_{Ceres}/M_S = 4,72 \times 10^{-10}$ | $\pm 3 \times 10^{-12}$ | 2009 | |
| (2) Pallas sur Soleil | $M_{Pallas}/M_S = 1,03 \times 10^{-10}$ | $\pm 3 \times 10^{-12}$ | 2009 | |
| (4) Vesta sur Soleil | $M_{Vesta}/M_S = 1,302\,684\,6 \times 10^{-10}$ | $\pm 9 \times 10^{-17}$ | 2015 | |
| Rayon équatorial de la Terre (compatible-TT) | $a_E = 6,378\,136\,6 \times 10^6$ m | $\pm 1 \times 10^{-1}$ m | 2009 | |
| Facteur de forme dynamique de la Terre | $J_2 = 1,082\,635\,9 \times 10^{-3}$ | $\pm 1 \times 10^{-10}$ | 2009 | |
| Variation à long-terme de J_2 | $dJ_2/dt = -3,0 \times 10^{-9}$ cy ⁻¹ | $\pm 6 \times 10^{-10}$ cy ⁻¹ | 2009 | |
| Paramètre de la masse solaire: | | | | |
| compatible-TCB | $= 1,327\,124\,420\,99 \times 10^{20}$ m ³ s ⁻² | $\pm 1,0 \times 10^{10}$ m ³ s ⁻² | 2012 | |
| compatible-TDB | $= 1,327\,124\,400\,41 \times 10^{20}$ m ³ s ⁻² | $\pm 1,0 \times 10^{10}$ m ³ s ⁻² | 2012 | |
| Constante géocentrique de la gravitation: | | | | |
| compatible-TCB | $= 3,986\,004\,418 \times 10^{14}$ m ³ s ⁻² | $\pm 8 \times 10^5$ m ³ s ⁻² | 2009 | |
| compatible-TT | $= 3,986\,004\,415 \times 10^{14}$ m ³ s ⁻² | $\pm 8 \times 10^5$ m ³ s ⁻² | 2009 | |
| compatible-TDB | $= 3,986\,004\,356 \times 10^{14}$ m ³ s ⁻² | $\pm 8 \times 10^5$ m ³ s ⁻² | 2009 | |
| Potentiel du géoïde | $W_0 = 6,263\,685\,34 \times 10^7$ m ² s ⁻² | — | 2018 | |
| Vitesse angulaire moyenne nominale de la Terre (compatible-TT) | $\omega = 7,292\,115 \times 10^{-5}$ rad s ⁻¹ | — | 2009 | |
| Valeurs initiales pour J2000,0 | | | | |
| Obliquité de l'écliptique pour J2000,0 | $\epsilon_{J2000} = 8,438\,140\,6 \times 10^4$ '' | $\pm 1 \times 10^{-3}$ '' | 2009 | 2025 |

| | | 2025 | ASTRONOMISCHE CONSTANTEN | |
|---|---|---|--------------------------|--|
| zon tot Jupiter | $M_S/M_J = 1,047\,348\,644 \times 10^3$ | $\pm 1,7 \times 10^{-5}$ | 2009 | |
| zon tot Saturnus | $M_S/M_{Sa} = 3,497\,901\,8 \times 10^3$ | $\pm 1 \times 10^{-4}$ | 2009 | |
| zon tot Uranus | $M_S/M_U = 2,290\,295\,1 \times 10^4$ | $\pm 1,7 \times 10^{-2}$ | 2015 | |
| zon tot Neptunus | $M_S/M_N = 1,941\,226 \times 10^4$ | $\pm 3 \times 10^{-2}$ | 2009 | |
| zon tot (134340) Pluto | $M_S/M_P = 1,360\,5 \times 10^8$ | $\pm 2,1 \times 10^5$ | 2015 | |
| zon tot (136199) Eris | $M_S/M_{Eris} = 1,191 \times 10^8$ | $\pm 1,4 \times 10^6$ | 2009 | |
| (1) Ceres tot zon | $M_{Ceres}/M_S = 4,72 \times 10^{-10}$ | $\pm 3 \times 10^{-12}$ | 2009 | |
| (2) Pallas tot zon | $M_{Pallas}/M_S = 1,03 \times 10^{-10}$ | $\pm 3 \times 10^{-12}$ | 2009 | |
| (4) Vesta tot zon | $M_{Vesta}/M_S = 1,302\,684\,6 \times 10^{-10}$ | $\pm 9 \times 10^{-17}$ | 2015 | |
| Equatoriale straal van de aarde (TT-compatibel) | $a_E = 6,378\,136\,6 \times 10^6$ m | $\pm 1 \times 10^{-1}$ m | 2009 | |
| Dynamische vormfactor van de aarde | $J_2 = 1,082\,635\,9 \times 10^{-3}$ | $\pm 1 \times 10^{-10}$ | 2009 | |
| Langetermijnvariatie in J_2 | $dJ_2/dt = -3,0 \times 10^{-9}$ cy ⁻¹ | $\pm 6 \times 10^{-10}$ cy ⁻¹ | 2009 | |
| Parameter van de zonsmassa: | | | | |
| TCB-compatibel | $= 1,327\,124\,420\,99 \times 10^{20}$ m ³ s ⁻² | $\pm 1,0 \times 10^{10}$ m ³ s ⁻² | 2012 | |
| TDB-compatibel | $= 1,327\,124\,400\,41 \times 10^{20}$ m ³ s ⁻² | $\pm 1,0 \times 10^{10}$ m ³ s ⁻² | 2012 | |
| Geocentrische gravitatieconstante: | | | | |
| TCB-compatibel | $= 3,986\,004\,418 \times 10^{14}$ m ³ s ⁻² | $\pm 8 \times 10^5$ m ³ s ⁻² | 2009 | |
| TT-compatibel | $= 3,986\,004\,415 \times 10^{14}$ m ³ s ⁻² | $\pm 8 \times 10^5$ m ³ s ⁻² | 2009 | |
| TDB-compatibel | $= 3,986\,004\,356 \times 10^{14}$ m ³ s ⁻² | $\pm 8 \times 10^5$ m ³ s ⁻² | 2009 | |
| Potentiaal van de geoïde | $W_0 = 6,263\,685\,34 \times 10^7$ m ² s ⁻² | — | 2018 | |
| Nominale gemiddelde hoeksnelheid van de aarde (TT-compatibel) | $\omega = 7,292\,115 \times 10^{-5}$ rad s ⁻¹ | — | 2009 | |

| | | 19 |
|--------------------------------------|---|---------------------------|
| Helling van de ecliptica bij J2000,0 | $\epsilon_{J2000} = 8,438\,140\,6 \times 10^4$ '' | $\pm 1 \times 10^{-3}$ '' |

Autres constantes, n'appartenant pas au système des Meilleures estimations

| | |
|--|--|
| Temps de lumière pour la distance-unité (compatible-TDB) | $\tau_A = aul/c = 499,004\ 783\ 84\ s$ $1/\tau_A = 173,144\ 632\ 674\ au/d$ $f = 0,003\ 352\ 819\ 7 = 1/298,256\ 42 \pm 1 \times 10^{-10}$ |
| Facteur d'aplatissement terrestre | $M_S/M_E = 3,329\ 460\ 487 \times 10^5 \pm 7 \times 10^{-4}$ |
| Rapport de la masse du Soleil à celle de la Terre | $M_S = 1,988\ 4 \times 10^{30}\ kg \pm 2 \times 10^{26}$ |
| Rapport de la masse du Soleil à celle du système Terre-Lune | $M_E = 5,972\ 2 \times 10^{24}\ kg \pm 6 \times 10^{20}$ |
| Masse du Soleil | |
| Masse de la Terre | |
| Vitesses de précession (TDB) pour J2000,0 | |
| Précession générale en longitude | $p_A = 5028,796\ 195\ ''/cy$ |
| Taux de variation de l'obliquité de l'écliptique | $d\delta/dt = -46,836\ 769\ ''/cy$ |
| Précession de l'équateur en longitude | $d\psi/dt = 5038,481\ 507\ ''/cy$ |
| Précession de l'équateur en obliquité | $d\omega/dt = -0,025\ 754\ ''/cy$ |
| Constante de nutation pour J2000,0 | $N = 9,205\ 233\ 1\ ''$ |
| Constante de l'aberration pour J2000,0 | $\kappa = 20,495\ 51\ ''$ |

Andere constanten, die niet horen tot het stelsel van Beste Schattingen

| | |
|--|--|
| Lichttijd over de eenhedsafstand (TDB- compatibel) | $\tau_A = aul/c = 499,004\ 783\ 84\ s$ $1/\tau_A = 173,144\ 632\ 674\ au/d$ $f = 0,003\ 352\ 819\ 7 = 1/298,256\ 42 \pm 1 \times 10^{-10}$ |
| Factor van de afplatting van de aarde | $M_S/M_E = 3,329\ 460\ 487 \times 10^5 \pm 7 \times 10^{-4}$ |
| Verhouding van de massa van de zon tot die van de aarde | $M_S = 1,988\ 4 \times 10^{30}\ kg \pm 2 \times 10^{26}$ |
| Verhouding van de massa van de zon tot die van het stelsel aarde-maan | $M_E = 5,972\ 2 \times 10^{24}\ kg \pm 6 \times 10^{20}$ |
| Zonsmassa | |
| Massa van de aarde | |
| Precessiesnelheden (TDB) bij J2000,0 | |
| Algemene precessie in lengte | $p_A = 5028,796\ 195\ ''/cy$ |
| Verandering van de helling van de ecliptica | $d\delta/dt = -46,836\ 769\ ''/cy$ |
| Precessie van de evenaar in lengte | $d\psi/dt = 5038,481\ 507\ ''/cy$ |
| Precessie van de evenaar in helling | $d\omega/dt = -0,025\ 754\ ''/cy$ |
| Nutatieconstante bij J2000,0 | $N = 9,205\ 233\ 1\ ''$ |
| Aberratieconstante bij J2000,0 | $\kappa = 20,495\ 51\ ''$ |

CHRONOLOGIE – CALENDRIERS

CALENDRIER GRÉGORIEN

GÉNÉRALITÉS

L'année 2025 du calendrier grégorien n'est pas une année bissextile et compte 365 jours. Elle correspond à:

- l'année 6738 de la période julienne;
- la première année de la 701^e olympiade;
- l'an 2778 de la fondation de Rome.

La période julienne est un cycle de 7980 ans; elle fut imaginée par Joseph Scaliger (né le 5 août 1540 à Agen et mort le 21 janvier 1609 à Leyde) pour faciliter les recherches historiques.

Une olympiade couvre une période de 4 ans. L'origine étant fixée en juillet 776 av. J.-C., ce n'est que la seconde moitié de l'année grégorienne, qui correspond au rang indiqué de l'année de l'olympiade. On peut se servir des règles suivantes pour ramener à l'ère vulgaire les dates exprimées, par les historiens, en olympiades et en années de Rome. Soient:

| | |
|----------|------------------------------------|
| <i>A</i> | l'année de l'ère vulgaire; |
| <i>N</i> | l'olympiade; |
| <i>n</i> | le rang de l'année de l'olympiade; |
| <i>R</i> | l'an de Rome, |

on a les relations:

$$\begin{aligned} A &= 4N + n - 780, \\ A &= R - 753. \end{aligned}$$

Pour exprimer en années *J* de la période julienne, les années *A* de l'ère vulgaire (comptées négativement, à la manière des astronomes, avant l'origine de l'ère), on emploiera la formule

$$J = 4713 + A.$$

L'an 4714 correspond donc à l'année vulgaire UN.

TIJDREKENING – KALENDERS

GREGORIAANSE KALENDER

ALGEMEENHEDEN

Het jaar 2025 van de gregoriaanse kalender is geen schrikkeljaar. Het telt 365 dagen en stamt overeen met:

- het jaar 6738 van de Juliaanse periode;
- het eerste jaar van de 701ste olympiade;
- het jaar 2778 sedert de stichting van Rome.

De Juliaanse periode is een cyclus van 7980 jaar en werd bedacht door Joseph Scaliger (geboren op 5 augustus 1540 te Agen en overleden op 21 januari 1609 te Leiden) om de geschiedkundige onderzoeken te vergemakkelijken.

Een olympiade duurt vier jaar. De oorsprong van deze tijdrekening valt in juli 776 vóór Chr., zodat slechts de tweede helft van het gregoriaans jaar overeenkomt met de aangegeven rang van het jaar van de olympiade. De data, door de geschiedschrijvers in olympiaden of in Romeinse tijdrekening uitgedrukt, worden op de volgende wijze tot de gewone tijdrekening herleid. Zij:

| | |
|----------|--|
| <i>A</i> | het jaar van de gewone tijdrekening; |
| <i>N</i> | de olympiade; |
| <i>n</i> | de rang van het jaar in de olympiade; |
| <i>R</i> | het jaar van de Romeinse tijdrekening, |

dan heeft men de betrekkingen:

$$\begin{aligned} A &= 4N + n - 780, \\ A &= R - 753. \end{aligned}$$

Om de jaartallen *A* van de gewone tijdrekening (*A* wordt negatief geteld vóór het begin van de gewone tijdrekening) in jaartallen *J* van de Juliaanse periode uit te drukken, gebruikt men de formule

$$J = 4713 + A.$$

Het jaar 4714 is dus het jaar ÉÉN van de gewone tijdrekening.

HEURE D'ÉTÉ

Selon les arrêtés qui seront en vigueur durant la période de l'année considérée, les heures données en Temps universel dans l'*Annuaire* devront être augmentées de une ou deux heures, pour être en concordance avec l'heure indiquée par les horloges publiques (temps officiel). Un tableau, donnant les dates et les heures (UTC) de début et de fin des périodes correspondantes, ainsi que les corrections au temps légal, a été publié dans l'*Annuaire 1992*. Un premier complément a été repris dans les *Annuaires 1995 à 1997*, un second dans les *Annuaires 1998 à 2001*, et un troisième dans les *Annuaires 2002 à 2004*.

A compter de l'année 2002, l'Arrêté royal du 19 décembre 2001 (paru au Moniteur belge du 28 décembre 2001) établit pour chaque année l'heure d'été le dernier dimanche de mars et l'heure d'hiver le dernier dimanche d'octobre à 1h UTC. Cet Arrêté applique ainsi la Directive 2000/84/CE du Parlement Européen et du Conseil du 19 janvier 2001.

| | du | à (UTC) | au | à (UTC) | Corr. UTC + |
|---------------|-----------------|------------|-----------------|------------|----------------|
| Heure d'hiver | 27 octobre 2024 | 1 | 30 mars 2025 | 1 | 1 |
| Heure d'été | 30 mars 2025 | 1 | 26 octobre 2025 | 1 | 2 |
| Heure d'hiver | 26 octobre 2025 | 1 | 29 mars 2026 | 1 | 1 |

DONNÉES NUMÉRIQUES DU CALENDRIER POUR 2025

La troisième colonne du tableau ci-après donne, pour chaque jour indiqué à 0^h UT, la fraction décimale de l'année tropique de 365,2422 jours, comptée à partir du 1^{er} janvier 2025 à 0 heure, Temps universel. Dans la quatrième colonne on trouve la fraction décimale de l'année écoulée depuis le début de l'année fictive de Bessel, c'est-à-dire depuis le moment où la longitude moyenne du Soleil compte tenu de l'aberration, est de 280°, selon la formule de Lieske (voir: *Astronomy & Astrophysics*, vol. 73 (1979), p. 282).

ZOMERTIJD

Om tijdstippen te bekomen die overeenkomen met deze die de openbare klokken aanwijzen, moet men bij de tijden die in het *Jaarboek in Wereldtijd* gegeven worden, één of twee uur toevoegen, afhankelijk van de besluiten die tijdens de betreffende periode van het jaar van kracht zijn. In het *Jaarboek 1992* vindt men een tabel met datum en uur (UTC) van het begin en het einde van deze periodes, alsook de correctie aan de wettelijke tijd. Een eerste aanvulling op deze tabel werd overgenomen in de *Jaarboeken 1995 tot 1997*, een tweede aanvulling in de *Jaarboeken 1998 tot 2001*, en een derde aanvulling in de *Jaarboeken 2002 tot 2004*.

Vanaf het jaar 2002 wordt elk jaar zomertijd ingevoerd op de laatste zondag van maart en wordt er terug overgegaan op wintertijd op de laatste zondag van oktober, telkens om 1h UTC. Het Koninklijk besluit van 19 december 2001 hierover (verschenen in het Belgisch Staatsblad van 28 december 2001) volgt zo Richtlijn 2000/84/EG van het Europees Parlement en de Raad van 19 januari 2001.

| | van | te (UTC) | tot | te (UTC) | Corr. UTC + |
|------------|-----------------|-------------|-----------------|-------------|----------------|
| Wintertijd | 27 oktober 2024 | 1 | 30 maart 2025 | 1 | 1 |
| Zomertijd | 30 maart 2025 | 1 | 26 oktober 2025 | 1 | 2 |
| Wintertijd | 26 oktober 2025 | 1 | 29 maart 2026 | 1 | 1 |

NUMERIEKE KALENDERGEGEVENS VOOR 2025

De derde kolom van de volgende tabel bevat, voor iedere getabuleerde datum te 0^h UT, het decimale breukdeel van het tropisch jaar (365,2422 dagen) geteld vanaf 1 januari 2025, te 0 uur Wereldtijd. In de vierde kolom staat het decimale breukdeel van het jaar verlopen sedert het begin van het fictieve jaar van Bessel, d. i. sedert het ogenblik waarop de middelbare lengte van de zon, met inbegrip van de aberratie, 280° is, volgens de formule van Lieske (zie: *Astronomy & Astrophysics*, vol. 73 (1979), blz. 282).

| | Date 2025 — Datum 2025 | Jour de l'an — Dag van het jaar | Fraction de l'année tropique — Breukdeel van het tropisch jaar | Fraction de l'année de Bessel — Breukdeel van het jaar van Bessel | Jour Julien à 0 ^h UT — Juliaanse dag te 0 ^h UT |
|----------|------------------------------|---------------------------------------|--|---|--|
| Janvier | 1 | 1 | 0,0000 | 0,0025 | 2 460 676,5 |
| Januari | 11 | 11 | 0,0274 | 0,0299 | 2 460 686,5 |
| | 21 | 21 | 0,0548 | 0,0573 | 2 460 696,5 |
| | 31 | 31 | 0,0821 | 0,0846 | 2 460 706,5 |
| Février | 10 | 41 | 0,1095 | 0,1120 | 2 460 716,5 |
| Februari | 20 | 51 | 0,1369 | 0,1394 | 2 460 726,5 |
| Mars | 2 | 61 | 0,1643 | 0,1668 | 2 460 736,5 |
| Maart | 12 | 71 | 0,1917 | 0,1941 | 2 460 746,5 |
| | 22 | 81 | 0,2190 | 0,2215 | 2 460 756,5 |
| Avril | 1 | 91 | 0,2464 | 0,2489 | 2 460 766,5 |
| April | 11 | 101 | 0,2738 | 0,2763 | 2 460 776,5 |
| | 21 | 111 | 0,3012 | 0,3037 | 2 460 786,5 |
| Mai | 1 | 121 | 0,3285 | 0,3310 | 2 460 796,5 |
| Mei | 11 | 131 | 0,3559 | 0,3584 | 2 460 806,5 |
| | 21 | 141 | 0,3833 | 0,3858 | 2 460 816,5 |
| | 31 | 151 | 0,4107 | 0,4132 | 2 460 826,5 |
| Juin | 10 | 161 | 0,4381 | 0,4406 | 2 460 836,5 |
| Juni | 20 | 171 | 0,4654 | 0,4679 | 2 460 846,5 |
| | 30 | 181 | 0,4928 | 0,4953 | 2 460 856,5 |

JOURS FÉRIÉS EN 2025

- * 1 janvier (mercredi) Renouvellement de l'année
- * 21 avril (lundi) Lundi de Pâques
- * 1 mai (jeudi) Fête du Travail
- * 29 mai (jeudi) Ascension
- * 9 juin (lundi) Lundi de Pentecôte
- * 21 juillet (lundi) Fête nationale
- * 15 août (vendredi) Assomption
- * 1 novembre (samedi) Toussaint
- 2 novembre (dimanche) Jour des Morts
- * 11 novembre (mardi) Armistice
- 15 novembre (samedi) Fête du Roi
- * 25 décembre (jeudi) Noël
- 26 décembre (vendredi) Second jour de Noël

Les fêtes marquées d'un astérisque (*) sont les fêtes légales.

| | Date 2025 — Datum 2025 | Jour de l'an — Dag van het jaar | Fraction de l'année tropique — Breukdeel van het tropisch jaar | Fraction de l'année de Bessel — Breukdeel van het jaar van Bessel | Jour Julien à 0 ^h UT — Juliaanse dag te 0 ^h UT |
|-----------|------------------------------|---------------------------------------|--|---|--|
| Juillet | 10 | 191 | 0,5202 | 0,5227 | 2 460 866,5 |
| Juli | 20 | 201 | 0,5476 | 0,5501 | 2 460 876,5 |
| | 30 | 211 | 0,5750 | 0,5775 | 2 460 886,5 |
| Août | 9 | 221 | 0,6023 | 0,6048 | 2 460 896,5 |
| Augustus | 19 | 231 | 0,6297 | 0,6322 | 2 460 906,5 |
| | 29 | 241 | 0,6571 | 0,6596 | 2 460 916,5 |
| Septembre | 8 | 251 | 0,6845 | 0,6870 | 2 460 926,5 |
| September | 18 | 261 | 0,7119 | 0,7144 | 2 460 936,5 |
| | 28 | 271 | 0,7392 | 0,7417 | 2 460 946,5 |
| Octobre | 8 | 281 | 0,7666 | 0,7691 | 2 460 956,5 |
| Okttober | 18 | 291 | 0,7940 | 0,7965 | 2 460 966,5 |
| | 28 | 301 | 0,8214 | 0,8239 | 2 460 976,5 |
| Novembre | 7 | 311 | 0,8488 | 0,8512 | 2 460 986,5 |
| November | 17 | 321 | 0,8761 | 0,8786 | 2 460 996,5 |
| | 27 | 331 | 0,9035 | 0,9060 | 2 461 006,5 |
| Décembre | 7 | 341 | 0,9309 | 0,9334 | 2 461 016,5 |
| December | 17 | 351 | 0,9583 | 0,9608 | 2 461 026,5 |
| | 27 | 361 | 0,9856 | 0,9881 | 2 461 036,5 |
| | 31 | 365 | 0,9966 | 0,9991 | 2 461 040,5 |

FEESTDAGEN IN 2025

- * 1 januari (woensdag) Nieuwjaar
- * 21 april (maandag) Paasmaandag
- * 1 mei (donderdag) Feest van de arbeid
- * 29 mei (donderdag) O.H. Hemelvaart
- * 9 juni (maandag) Tweede Pinksterdag
- * 21 juli (maandag) Nationale Feestdag
- * 15 augustus (vrijdag) Tenhemelopneming van Maria
- * 1 november (zaterdag) Allerheiligen
- 2 november (zondag) Allerzielen
- * 11 november (dinsdag) Wapenstilstand
- 15 november (zaterdag) Koningsdag
- * 25 december (donderdag) Kerstmis
- 26 december (vrijdag) Tweede Kerstdag

De wettelijke feestdagen zijn aangeduid door *.

BASES DU COMPUT POUR L'ANNÉE 2025

| | | | | | | | | | | | | | | |
|------------------------|-----|-----|-----|-----|-----|-----|-----|-----|-----|-----|-----|-----|-----|----|
| Nombre d'or | ... | ... | ... | ... | ... | ... | ... | ... | ... | ... | ... | ... | ... | 12 |
| Epacte | ... | ... | ... | ... | ... | ... | ... | ... | ... | ... | ... | ... | ... | * |
| Cycle solaire | ... | ... | ... | ... | ... | ... | ... | ... | ... | ... | ... | ... | ... | 18 |
| Indiction romaine | ... | ... | ... | ... | ... | ... | ... | ... | ... | ... | ... | ... | ... | 3 |
| Lettre dominicale | ... | ... | ... | ... | ... | ... | ... | ... | ... | ... | ... | ... | ... | E |
| Lettre du martyrologue | ... | ... | ... | ... | ... | ... | ... | ... | ... | ... | ... | ... | ... | P |

CALENDRIER JULIEN

Dans le calendrier julien, entré en vigueur en l'an 45 avant Jésus-Christ, la lettre dominicale pour l'année 2025 est F.

Actuellement, le premier jour de chaque mois dans le calendrier julien (calendrier ancien style) correspond au 14^e jour du même mois dans le calendrier grégorien (calendrier nouveau style); on a par exemple: 1^{er} janvier julien = 14 janvier grégorien.

Cette différence qui est actuellement de 13 jours provient de la réforme grégorienne, ordonnée en 1582 par le pape Grégoire XIII. Cette réforme imposa la suppression de 10 jours, de sorte que le jeudi 4 octobre 1582 (julien) fut immédiatement suivi du vendredi 15 octobre 1582 (grégorien). De plus, il fut décidé que seules les années séculaires dont le millésime est un multiple de 400, seraient conservées comme bissextiles. C'est pourquoi les années 1700, 1800 et 1900, bissextiles dans le calendrier julien, ne l'ont pas été dans le calendrier grégorien; l'écart initial de 10 jours a ainsi atteint 13 jours. L'année 2000 était une année bissextille dans les deux calendriers.

GEGEVENS VOOR DE COMPUT VOOR HET JAAR 2025

| | | | | | | | | | | | | | | |
|----------------------|-----|-----|-----|-----|-----|-----|-----|-----|-----|-----|-----|-----|-----|----|
| Gulden getal | ... | ... | ... | ... | ... | ... | ... | ... | ... | ... | ... | ... | ... | 12 |
| Epacta | ... | ... | ... | ... | ... | ... | ... | ... | ... | ... | ... | ... | ... | * |
| Zonnecirkel | ... | ... | ... | ... | ... | ... | ... | ... | ... | ... | ... | ... | ... | 18 |
| Romeinse Indictie | ... | ... | ... | ... | ... | ... | ... | ... | ... | ... | ... | ... | ... | 3 |
| Zondagsletter | ... | ... | ... | ... | ... | ... | ... | ... | ... | ... | ... | ... | ... | E |
| Martelaarsboekletter | ... | ... | ... | ... | ... | ... | ... | ... | ... | ... | ... | ... | ... | P |

JULIAANSE KALENDER

Voor het jaar 2025 van de Juliaanse kalender, die in voege trad in het jaar 45 vóór Christus, is de zondagsletter F.

De eerste van elke maand volgens de Juliaanse kalender (oude stijl) komt tegenwoordig overeen met de 14^e van dezelfde maand volgens de gregoriaanse kalender (nieuwe stijl); bijvoorbeeld 1 januari (Juliaans) = 14 januari (gregoriaans).

Dit verschil van inmiddels 13 dagen is een gevolg van de gregoriaanse hervorming, ingevoerd in 1582 door Paus Gregorius XIII. Deze hervorming bepaalde het overslaan van 10 dagen, zodat donderdag 4 oktober 1582 (Juliaans) onmiddellijk gevolgd werd door vrijdag 15 oktober 1582 (gregoriaans). Daarenboven werd er besloten alleen die eeuwjaren als schrikkeljaren te beschouwen, waarvan het getal een veelvoud is van 400. Daarom zijn de eeuwjaren 1700, 1800 en 1900 geen schrikkeljaren geweest volgens de gregoriaanse kalender (wel volgens de Juliaanse kalender). Zo is het initiële verschil van 10 dagen opgelopen tot 13 dagen. Het jaar 2000 was een schrikkeljaar voor beide kalenders.

LE SOLEIL

GÉNÉRALITÉS

| | | |
|---|-------------------|---|
| Diamètre apparent moyen | | 31' 59'',26 |
| Rayon | | 696 000 km = 109,1 fois celui de la Terre |
| Surface | | 11 908 fois celle de la Terre |
| Volume | | 1 299 410 fois celui de la Terre |
| Masse | | 332 946 fois celle de la Terre |
| Densité moyenne | | 0,255 fois celle de la Terre = 1,408 fois celle de l'eau |
| Accélération due à la pesanteur à l'équateur | | 274 m/s ² = 28 fois celle relative à la Terre |
| Durée de la rotation sidérale des taches (latitude 16°) | | 25,38 jours |
| Durée moyenne d'un cycle des taches solaires | | 10,9 ans |
| Constante solaire | | 1366 Wm ⁻² |
| Parallaxe horizontale équatoriale à la distance moyenne | | 8'',794143 |
| Distance moyenne de la Terre | | 149,6 × 10 ⁶ km |
| Inclinaison de l'équateur solaire sur l'écliptique | | 7° 15' |
| Longitude du noeud ascendant de l'équateur solaire sur l'écliptique | | 76° 06',6 |
| Oblliquité moyenne de l'écliptique, le 1 ^{er} janvier 2025 | | 23° 26' 09'',70 |
| Oblliquité vraie de l'écliptique, | | |
| le 1 ^{er} janvier 2025 | | 23° 26' 18'',19 |
| le 1 ^{er} juillet 2025 | | 23° 26' 18'',06 |
| le 31 décembre 2025 | | 23° 26' 17'',34 |
| Valeur de la précession générale, le 1 ^{er} janvier 2025 (par siècle julien) | | 5029'',3489 |
| Longitude moyenne du périhélie au 1 ^{er} janvier 2025 à 0 ^h (Temps universel; rapporté à l'équinoxe moyen de la date) | | 283° 22' 02'',1 |
| Moyen mouvement du périhélie (par an) | | 61'',91 |
| Longitude du noeud ascendant du plan invariable sur l'écliptique de 1850 | | 106° 14' 06'' |
| Inclinaison du plan invariable sur l'écliptique de 1850 | | 1° 35' 19'' |
| Année sidérale | | 365,256 363 jours = 365d 06h 09m 09s,8 |
| Année tropique | | 365,242 189 jours = 365d 05h 48m 45s,1 |
| Année anomalistique | | 365,259 637 jours = 365d 06h 13m 52s,6 |
| Année draconitique ou année écliptique | 346,620 084 jours | = 346d 14h 52m 55s,3 |

DE ZON

ALGEMEENHEDEN

| | | |
|--|-----------------|---|
| Schijnbare gemiddelde middellijn | | 31' 59'',26 |
| Straal | | 696 000 km = 109,1 maal de aardstraal |
| Oppervlakte | | 11 908 maal de aardoppervlakte |
| Volume | | 1 299 410 maal het volume van de aarde |
| Massa | | 332 946 maal de massa van de aarde |
| Gemiddelde dichtheid | | 0,255 maal deze van de aarde = 1,408 maal deze van water |
| Versnelling van de zwaartekracht aan de zonnequator | | 274 m/s ² = 28 maal deze van de aarde |
| Siderische omwentelingstijd van de vlekken (breedte 16°) | | 25,38 dagen |
| Gemiddelde duur van een cyclus der zonnevlekken | | 10,9 jaar |
| Zonneconstante | | 1366 Wm ⁻² |
| Equatoriale horizontale parallax op de gemiddelde afstand | | 8'',794143 |
| Gemiddelde afstand tot de aarde | | 149,6 × 10 ⁶ km |
| Helling van de zonnequator op de ecliptica | | 7° 15' |
| Lengte van de klimmende knoop van de zonnequator, op de ecliptica geteld | | 76° 06',6 |
| Middelbare helling van de ecliptica op 1 januari 2025 | | 23° 26' 09'',70 |
| Ware helling van de ecliptica, | | |
| op 1 januari 2025 | | 23° 26' 18'',19 |
| op 1 juli 2025 | | 23° 26' 18'',06 |
| op 31 december 2025 | | 23° 26' 17'',34 |
| Waarde van de algemene precessie op 1 januari 2025 (per Julianse eeuw) | | 5029'',3489 |
| Middelbare lengte van het perigeum op 1 januari 2025 te 0 ^h (Wereldtijd; voor de middelbare equinox van de dag) | | 283° 22' 02'',1 |
| Gemiddelde jaarlijkse beweging van het perigeum | | 61'',91 |
| Lengte van de klimmende knoop van het onveranderlijk vlak op de ecliptica van 1850 | | 106° 14' 06'' |
| Helling van het onveranderlijk vlak op de ecliptica van 1850 | | 1° 35' 19'' |
| Siderisch jaar | | 365,256 363 dagen = 365d 06h 09m 09s,8 |
| Tropisch jaar | | 365,242 189 dagen = 365d 05h 48m 45s,1 |
| Anomalistisch jaar | | 365,259 637 dagen = 365d 06h 13m 52s,6 |
| Draconitisch jaar of eclipsjaar | | 346,620 084 dagen = 346d 14h 52m 55s,3 |

COMMENCEMENT DES SAISONS ASTRONOMIQUES EN 2025

| | | | |
|-----------|---------------------|----------|-----------------------------------|
| Printemps | | 20 mars | à 9 ^h 01 ^m |
| Eté | | 21 juin | à 2 ^h 42 ^m |
| Automne | | 22 sept. | à 18 ^h 19 ^m |
| Hiver | | 21 déc. | à 15 ^h 03 ^m |

TABLEAUX MENSUELS

Les deux premières colonnes des tableaux mensuels relatifs au Soleil indiquent les jours du mois et de la semaine.

La troisième colonne donne, à la minute près et en Temps universel, l'heure du lever apparent du bord supérieur du Soleil, à Uccle. Pour les autres localités de la Belgique, on appliquera une correction de longitude, puis une correction de latitude calculée à l'aide de la table 1 (voir page 210). Les calculs ont été effectués en tenant compte de la réfraction astronomique qui fait paraître le bord supérieur du Soleil à l'horizon, lorsque le centre de cet astre se trouve à 50 minutes d'arc au-dessous de ce plan.

La quatrième colonne fait connaître le Temps universel à midi vrai d'Uccle, c'est-à-dire l'instant où le centre du Soleil passe au méridien d'Uccle.

La cinquième colonne indique, à la minute près et en Temps universel, l'heure du coucher apparent du bord supérieur du Soleil, à Uccle.

La sixième colonne renferme la durée du crépuscule civil; cette durée est à retrancher de l'heure du lever du Soleil pour obtenir le commencement du crépuscule civil (aube) et à ajouter à l'heure du coucher de cet astre pour obtenir la fin du crépuscule civil (brune). La durée du crépuscule civil, donnée dans le tableau, est l'intervalle de temps compris entre le lever ou le coucher du Soleil tels qu'ils ont été définis ci-dessus et le moment où le centre de cet astre se trouve à 6° sous l'horizon réel.

La septième colonne indique la valeur de l'équation du temps moyen (temps vrai – temps moyen) à 0^h, Temps universel.

La neuvième colonne indique l'ascension droite apparente du Soleil à 0^h, Temps universel, pour l'équinoxe vrai de la date.

La dixième colonne fait connaître la déclinaison apparente du Soleil à 0^h, Temps universel, pour l'équinoxe vrai de la date.

AANVANG DER ASTRONOMISCHE JAARGETIJDEN IN 2025

| | | | |
|--------|-----------------|----------|------------------------------------|
| Lente | | 20 maart | om 9 ^h 01 ^m |
| Zomer | | 21 juni | om 2 ^h 42 ^m |
| Herfst | | 22 sept. | om 18 ^h 19 ^m |
| Winter | | 21 dec. | om 15 ^h 03 ^m |

MAANDELIJKE TABELLEN

De eerste twee kolommen der maandelijkse tabellen van de zon duiden respectievelijk de dagen van de maand en van de week.

De derde kolom levert de schijnbare opkomst te Ukkel van de bovenrand van de zon, afgerond op de minuut en uitgedrukt in Wereldtijd. Voor andere plaatsen in België moet men eerst een correctie aanbrengen voor het lengteverschil, en daarna een correctie voor het breedteverschil door gebruik te maken van tafel 1 (zie blz. 211). Bij de bepaling van deze gegevens werd rekening gehouden met de astronomische straalbreking, die de bovenrand van de zon aan de horizon doet verschijnen wanneer haar middelpunt nog 50 boogminuten onder dit vlak staat.

De vierde kolom geeft de Wereldtijd op ware middag te Ukkel, dit is het tijdstip waarop het middelpunt van de zon door de meridiaan van Ukkel gaat.

De vijfde kolom levert de schijnbare ondergang te Ukkel van de bovenrand van de zon, afgerond op de minuut en uitgedrukt in Wereldtijd.

In de zesde kolom vindt men de duur van de burgerlijke schemering. Hierdoor verstaat men het tijdsinterval begrepen tussen zonsopkomst of -ondergang en het ogenblik waarop het middelpunt van de zon 6° onder de ware horizon staat. Het begin van de burgerlijke ochtendschemering wordt bekomen door het getal van kolom 6 af te trekken van de tijd van zonsopkomst; het einde van de avondschemering, door dit getal te voegen bij de tijd van zonsondergang.

De zevende kolom levert de tijdsvereffening van de middelbare tijd (ware tijd – middelbare tijd) te 0^h Wereldtijd.

De negende kolom geeft de schijnbare rechte klimming van de zon te 0^h Wereldtijd, voor de ware equinox van de dag.

De tiende kolom levert de schijnbare declinatie van de zon te 0^h Wereldtijd voor de ware equinox van de dag.

Dans la *onzième colonne* figure le temps sidéral moyen de Greenwich à 0^h. Temps universel. Cette donnée est utilisée notamment pour convertir le temps solaire moyen en temps sidéral moyen et réciproquement. Il est à noter que chaque valeur mentionnée dans cette onzième colonne est égale, à 12h près, à l'ascension droite moyenne du Soleil moyen, augmentée de l'aberration.

Enfin, les *trois dernières colonnes* renferment les données destinées à la réduction des observations physiques du Soleil. L'angle de position de l'axe de rotation du Soleil, P , se rapporte à l'extrémité nord de cet axe; il est compté à partir du Nord dans le sens contraire des aiguilles d'une montre. La latitude et la longitude héliographiques du point de percée dans la sphère solaire, de la droite joignant l'observateur au centre du Soleil, sont représentées respectivement par B_0 et L_0 . Ces données permettent de déterminer les latitudes et les longitudes héliographiques des taches d'après des mesures effectuées sur un dessin ou sur une photographie du Soleil.

Les variations mensuelles de la durée du jour, y inclus le crépuscule civil, sont renseignées au bas des pages de gauche, les dates d'entrée du Soleil dans les signes du zodiaque au bas des pages de droite.

Le tableau qui vient ensuite fournit, de 10 en 10 jours, pour 0^h Temps universel, les valeurs de certaines données relatives au Soleil. La *première colonne* renferme la date; la *deuxième*, la longitude du Soleil vrai, rapportée à l'équinoxe moyen de la date; la *troisième*, le demi-diamètre apparent géocentrique de cet astre; la *quatrième*, la distance du Soleil à la Terre, la distance moyenne de ces astres étant prise comme unité et, enfin la *cinquième*, la parallaxe horizontale équatoriale du Soleil.

Enfin sont données les dates de début des rotations solaires synodiques pour l'année 2025, dans le système de Carrington. Celui-ci consiste à adopter:

- pour les révolutions solaires, une période synodique moyenne de 27,2753 jours solaires moyens ou encore une période sidérale de 25,38 jours solaires moyens, correspondant à la rotation des taches solaires à une latitude héliographique de 16°;
- pour méridien initial, celui du noeud ascendant de l'équateur solaire, le 1^{er} janvier 1854, à midi moyen de Greenwich (12^h UT).

Dans cette convention, le début de la première rotation solaire est fixé au 9 novembre 1853.

De middelbare sterrentijd van Greenwich te 0^h Wereldtijd staat in de *elfde kolom*. Hiermee wordt o. a. de middelbare zonnetijd omgerekend naar middelbare sterrentijd en omgekeerd. De gegeven waarden zijn op 12h na gelijk aan de gemiddelde rechte klimming van de middelbare zon, vermeerderd met de aberratie.

Tenslotte staan in de *laatste drie kolommen* de gegevens welke dienen om de fysische waarnemingen van de zon te herleiden. De positiehoek P van de omwentelingsas van de zon heeft betrekking op het noordelijk uiteinde van deze as. De positiehoek wordt geteld vanaf het noorden in tegenwijzerzin. De heliografische breedte B_0 en lengte L_0 , zijn de coördinaten van het snijpunt met de zonnesfeer, van de rechte gaande van de waarnemer naar het middelpunt van de zon. Met behulp van deze gegevens kan men de heliografische breedten en lengten van de zonnevlekken op foto-opnamen of op tekeningen van de zonneschijf bepalen.

Onderaan de linkerbladzijden vindt men voor elke maand de verandering van de lengte der dagen, met inbegrip van de burgerlijke schemering. Onderaan de rechterbladzijden staan de data waarop de zon in de tekens van de Dierenriem treedt.

De volgende tabel levert om de 10 dagen te 0^h Wereldtijd de waarden van zekere gegevens betreffende de zon. De *eerste kolom* geeft de datum; de *tweede* de ware lengte van de zon, betrokken op de middelbare equinox van de dag; de *derde* haar geocentrische schijnbare halve middellijn; de *vierde* de afstand aarde-zon, als men de gemiddelde afstand van deze twee hemellichamen als eenheid neemt, en tenslotte de *vijfde* de equatoriale horizontale parallax van de zon.

We geven tenslotte voor 2025 de data van het begin van de synodische zonnewentelingen, volgens het stelsel van Carrington. Hiervoor werd aangenomen dat:

- de duur van een zonnewenteling gelijk is aan een gemiddelde synodische periode van 27,2753 middelbare zonnedagen, ofwel een siderische periode van 25,38 middelbare zonnedagen, overeenstemmend met de wenteling van de zonnevlekken gelegen op 16° heliografische breedte;
- de beginmeridiaan deze is van de stijgende knoop van de zonsequator, op 1 januari 1854, op middelbare middag te Greenwich (12^h UT).

Volgens deze overeenkomst begint de eerste zonnewenteling op 9 november 1853.

| du mois — van de maand | JOUR — DAG | | TEMPS UNIVERSEL — WERELDTIJD | | | Durée du crépuscule civil à Uccle — Duur der burgerlijke schemering te Ukkel | Equation du temps moyen à 0 ^h UT — Tijdsvereffening van de middelbare tijd te 0 ^h UT |
|------------------------------------|---|--|--|--|-------|--|---|
| | de la semaine — van de week | Lever à Uccle — Opkomst te Ukkel | A midi vrai d'Uccle — Op ware middag van Ukkel | Coucher à Uccle — Ondergang te Ukkel | | | |
| | | h m | h m s | h m | m | | |
| 1 | M | W | 7 45 | 11 46 14,5 | 15 48 | 39 | — 3 26,5 |
| 2 | J | D | 7 45 | 11 46 42,5 | 15 49 | 39 | — 3 54,8 |
| 3 | V | V | 7 44 | 11 47 10,2 | 15 50 | 39 | — 4 22,6 |
| 4 | S | Z | 7 44 | 11 47 37,5 | 15 51 | 39 | — 4 50,1 |
| 5 | D | Z | 7 44 | 11 48 04,4 | 15 52 | 39 | — 5 17,2 |
| 6 | L | M | 7 44 | 11 48 30,8 | 15 54 | 39 | — 5 43,8 |
| 7 | M | D | 7 43 | 11 48 56,6 | 15 55 | 39 | — 6 09,9 |
| 8 | M | W | 7 43 | 11 49 22,0 | 15 56 | 38 | — 6 35,5 |
| 9 | J | D | 7 42 | 11 49 46,8 | 15 58 | 38 | — 7 00,6 |
| 10 | V | V | 7 42 | 11 50 11,0 | 15 59 | 38 | — 7 25,1 |
| 11 | S | Z | 7 41 | 11 50 34,6 | 16 00 | 38 | — 7 49,0 |
| 12 | D | Z | 7 41 | 11 50 57,7 | 16 02 | 38 | — 8 12,3 |
| 13 | L | M | 7 40 | 11 51 20,0 | 16 03 | 38 | — 8 35,0 |
| 14 | M | D | 7 39 | 11 51 41,8 | 16 05 | 38 | — 8 57,1 |
| 15 | M | W | 7 38 | 11 52 02,9 | 16 06 | 38 | — 9 18,5 |
| 16 | J | D | 7 37 | 11 52 23,3 | 16 08 | 38 | — 9 39,2 |
| 17 | V | V | 7 37 | 11 52 43,0 | 16 09 | 37 | — 9 59,3 |
| 18 | S | Z | 7 36 | 11 53 02,1 | 16 11 | 37 | — 10 18,7 |
| 19 | D | Z | 7 35 | 11 53 20,4 | 16 12 | 37 | — 10 37,4 |
| 20 | L | M | 7 34 | 11 53 38,0 | 16 14 | 37 | — 10 55,3 |
| 21 | M | D | 7 33 | 11 53 54,9 | 16 16 | 37 | — 11 12,5 |
| 22 | M | W | 7 31 | 11 54 11,0 | 16 17 | 37 | — 11 29,0 |
| 23 | J | D | 7 30 | 11 54 26,3 | 16 19 | 37 | — 11 44,7 |
| 24 | V | V | 7 29 | 11 54 40,9 | 16 21 | 37 | — 11 59,7 |
| 25 | S | Z | 7 28 | 11 54 54,7 | 16 22 | 36 | — 12 13,9 |
| 26 | D | Z | 7 27 | 11 55 07,8 | 16 24 | 36 | — 12 27,3 |
| 27 | L | M | 7 25 | 11 55 20,0 | 16 26 | 36 | — 12 40,0 |
| 28 | M | D | 7 24 | 11 55 31,4 | 16 28 | 36 | — 12 51,8 |
| 29 | M | W | 7 23 | 11 55 42,1 | 16 29 | 36 | — 13 02,8 |
| 30 | J | D | 7 21 | 11 55 51,9 | 16 31 | 36 | — 13 13,0 |
| 31 | V | V | 7 20 | 11 56 00,9 | 16 33 | 36 | — 13 22,4 |

Les jours croissent du 31 décembre 2024
au 31 janvier 2025, de 1h 04m.

Van 31 december 2024 tot 31 januari
2025 lengen de dagen met 1h 04m.

| Jour du mois | A 0 ^h , TEMPS UNIVERSEL — Te 0 ^h WERELDTIJD | | | | | | |
|--------------------|---|--|--------------------------------|---|--------|----------------|----------------|
| | Dag van de maand | Ascension droite — Rechte klimming | Déclinaison — Declinatie | Temps sidéral moyen de Greenwich — Middelbare sterrentijd van Greenwich | P | B _O | L _O |
| | | h m s | ○ / ′ / ″ | h m s | ○ | ○ | ○ |
| 1 | 1 | 18 47 02,4 | — 22 59 54 | 6 43 35,9 | + 1,9 | — 3,0 | 76,7 |
| 2 | 2 | 18 51 27,2 | — 22 54 42 | 6 47 32,5 | + 1,5 | — 3,1 | 63,5 |
| 3 | 3 | 18 55 51,7 | — 22 49 03 | 6 51 29,0 | + 1,0 | — 3,3 | 50,3 |
| 4 | 4 | 19 00 15,7 | — 22 42 57 | 6 55 25,6 | + 0,5 | — 3,4 | 37,2 |
| 5 | 5 | 19 04 39,3 | — 22 36 24 | 6 59 22,1 | + 0,0 | — 3,5 | 24,0 |
| 6 | 6 | 19 09 02,5 | — 22 29 25 | 7 03 18,7 | — 0,5 | — 3,6 | 10,8 |
| 7 | 7 | 19 13 25,2 | — 22 21 58 | 7 07 15,2 | — 1,0 | — 3,7 | 357,7 |
| 8 | 8 | 19 17 47,3 | — 22 14 05 | 7 11 11,8 | — 1,4 | — 3,8 | 344,5 |
| 9 | 9 | 19 22 08,9 | — 22 05 46 | 7 15 08,3 | — 1,9 | — 3,9 | 331,3 |
| 10 | 10 | 19 26 30,0 | — 21 57 01 | 7 19 04,9 | — 2,4 | — 4,0 | 318,1 |
| 11 | 11 | 19 30 50,5 | — 21 47 51 | 7 23 01,4 | — 2,9 | — 4,1 | 305,0 |
| 12 | 12 | 19 35 10,4 | — 21 38 15 | 7 26 58,0 | — 3,4 | — 4,2 | 291,8 |
| 13 | 13 | 19 39 29,6 | — 21 28 14 | 7 30 54,6 | — 3,8 | — 4,4 | 278,6 |
| 14 | 14 | 19 43 48,3 | — 21 17 48 | 7 34 51,1 | — 4,3 | — 4,5 | 265,5 |
| 15 | 15 | 19 48 06,2 | — 21 06 58 | 7 38 47,7 | — 4,8 | — 4,6 | 252,3 |
| 16 | 16 | 19 52 23,5 | — 20 55 44 | 7 42 44,2 | — 5,2 | — 4,7 | 239,1 |
| 17 | 17 | 19 56 40,2 | — 20 44 05 | 7 46 40,8 | — 5,7 | — 4,8 | 226,0 |
| 18 | 18 | 20 00 56,1 | — 20 32 03 | 7 50 37,3 | — 6,2 | — 4,9 | 212,8 |
| 19 | 19 | 20 05 11,3 | — 20 19 38 | 7 54 33,9 | — 6,6 | — 4,9 | 199,6 |
| 20 | 20 | 20 09 25,8 | — 20 06 50 | 7 58 30,4 | — 7,1 | — 5,0 | 186,5 |
| 21 | 21 | 20 13 39,6 | — 19 53 38 | 8 02 27,0 | — 7,5 | — 5,1 | 173,3 |
| 22 | 22 | 20 17 52,6 | — 19 40 05 | 8 06 23,6 | — 8,0 | — 5,2 | 160,1 |
| 23 | 23 | 20 22 04,9 | — 19 26 10 | 8 10 20,1 | — 8,4 | — 5,3 | 147,0 |
| 24 | 24 | 20 26 16,4 | — 19 11 53 | 8 14 16,7 | — 8,9 | — 5,4 | 133,8 |
| 25 | 25 | 20 30 27,2 | — 18 57 14 | 8 18 13,2 | — 9,3 | — 5,5 | 120,6 |
| 26 | 26 | 20 34 37,2 | — 18 42 15 | 8 22 09,8 | — 9,7 | — 5,6 | 107,5 |
| 27 | 27 | 20 38 46,4 | — 18 26 55 | 8 26 06,3 | — 10,2 | — 5,6 | 94,3 |
| 28 | 28 | 20 42 54,8 | — 18 11 15 | 8 30 02,9 | — 10,6 | — 5,7 | 81,1 |
| 29 | 29 | 20 47 02,4 | — 17 55 16 | 8 33 59,4 | — 11,0 | — 5,8 | 68,0 |
| 30 | 30 | 20 51 09,1 | — 17 38 57 | 8 37 56,0 | — 11,4 | — 5,9 | 54,8 |
| 31 | 31 | 20 55 15,1 | — 17 22 19 | 8 41 52,6 | — 11,8 | — 6,0 | 41,6 |

Le Soleil entre dans le signe du Verseau
le 19 janvier à 20^h 00^m.
Terre au périhélie: 4 janvier à 13^h.

De zon treedt in het teken Waterman op
19 januari om 20^h 00^m.
Aarde in het perihelium: 4 januari om 13^h.

| du mois — van de maand | JOUR — DAG | | TEMPS UNIVERSEL — WERELDTIJD | | | Durée du crépuscule civil à Uccle — Duur der burgerlijke schemering te Ukkel | Equation du temps moyen à 0 ^h UT — Tijdsvereffening van de middelbare tijd te 0 ^h UT |
|------------------------------------|---|--|--|--|-------|--|---|
| | de la semaine — van de week | Lever à Uccle — Opkomst te Ukkel | A midi vrai d'Uccle — Op ware middag van Ukkel | Coucher à Uccle — Ondergang te Ukkel | | | |
| | | h m | h m s | h m | m | | |
| 1 | S | Z | 7 18 | 11 56 09,0 | 16 35 | 36 | - 13 31,0 |
| 2 | D | Z | 7 17 | 11 56 16,3 | 16 36 | 35 | - 13 38,8 |
| 3 | L | M | 7 15 | 11 56 22,8 | 16 38 | 35 | - 13 45,7 |
| 4 | M | D | 7 14 | 11 56 28,5 | 16 40 | 35 | - 13 51,7 |
| 5 | M | W | 7 12 | 11 56 33,3 | 16 42 | 35 | - 13 57,0 |
| 6 | J | D | 7 10 | 11 56 37,4 | 16 44 | 35 | - 14 01,4 |
| 7 | V | V | 7 09 | 11 56 40,5 | 16 45 | 35 | - 14 05,0 |
| 8 | S | Z | 7 07 | 11 56 42,9 | 16 47 | 35 | - 14 07,8 |
| 9 | D | Z | 7 05 | 11 56 44,5 | 16 49 | 35 | - 14 09,8 |
| 10 | L | M | 7 04 | 11 56 45,3 | 16 51 | 34 | - 14 10,9 |
| 11 | M | D | 7 02 | 11 56 45,3 | 16 52 | 34 | - 14 11,3 |
| 12 | M | W | 7 00 | 11 56 44,6 | 16 54 | 34 | - 14 11,0 |
| 13 | J | D | 6 58 | 11 56 43,1 | 16 56 | 34 | - 14 09,9 |
| 14 | V | V | 6 56 | 11 56 40,8 | 16 58 | 34 | - 14 08,0 |
| 15 | S | Z | 6 55 | 11 56 37,9 | 17 00 | 34 | - 14 05,4 |
| 16 | D | Z | 6 53 | 11 56 34,2 | 17 01 | 34 | - 14 02,1 |
| 17 | L | M | 6 51 | 11 56 29,9 | 17 03 | 34 | - 13 58,1 |
| 18 | M | D | 6 49 | 11 56 24,8 | 17 05 | 34 | - 13 53,4 |
| 19 | M | W | 6 47 | 11 56 19,1 | 17 07 | 34 | - 13 48,0 |
| 20 | J | D | 6 45 | 11 56 12,8 | 17 08 | 34 | - 13 42,0 |
| 21 | V | V | 6 43 | 11 56 05,8 | 17 10 | 33 | - 13 35,3 |
| 22 | S | Z | 6 41 | 11 55 58,2 | 17 12 | 33 | - 13 28,0 |
| 23 | D | Z | 6 39 | 11 55 50,0 | 17 14 | 33 | - 13 20,1 |
| 24 | L | M | 6 37 | 11 55 41,2 | 17 15 | 33 | - 13 11,6 |
| 25 | M | D | 6 35 | 11 55 31,9 | 17 17 | 33 | - 13 02,6 |
| 26 | M | W | 6 33 | 11 55 22,0 | 17 19 | 33 | - 12 52,9 |
| 27 | J | D | 6 31 | 11 55 11,5 | 17 21 | 33 | - 12 42,7 |
| 28 | V | V | 6 29 | 11 55 00,5 | 17 22 | 33 | - 12 32,0 |

Les jours croissent du 31 janvier au 28 février, de 1h 35m.

Van 31 januari tot 28 februari lengen de dagen met 1h 35m.

| Jour du mois — Dag van de maand | A 0 ^h , TEMPS UNIVERSEL — Te 0 ^h WERELDTIJD | | | | | |
|---|---|--------------------------------|---|----------------|----------------|-------|
| | Ascension droite — Rechte klimming | Déclinaison — Declinatie | Temps sidéral moyen de Greenwich — Middelbare sterrentijd van Greenwich | | | |
| | | | P | B _O | L _O | |
| | h m s | ○ ′ ″ | h m s | ○ | ○ | ○ |
| 1 | 20 59 20,2 | - 17 05 23 | 8 45 49,1 | - 12,2 | - 6,0 | 28,5 |
| 2 | 21 03 24,5 | - 16 48 09 | 8 49 45,7 | - 12,7 | - 6,1 | 15,3 |
| 3 | 21 07 28,0 | - 16 30 37 | 8 53 42,2 | - 13,0 | - 6,2 | 2,1 |
| 4 | 21 11 30,6 | - 16 12 48 | 8 57 38,8 | - 13,4 | - 6,2 | 349,0 |
| 5 | 21 15 32,4 | - 15 54 43 | 9 01 35,3 | - 13,8 | - 6,3 | 335,8 |
| 6 | 21 19 33,4 | - 15 36 21 | 9 05 31,9 | - 14,2 | - 6,4 | 322,6 |
| 7 | 21 23 33,5 | - 15 17 43 | 9 09 28,4 | - 14,6 | - 6,4 | 309,5 |
| 8 | 21 27 32,9 | - 14 58 50 | 9 13 25,0 | - 15,0 | - 6,5 | 296,3 |
| 9 | 21 31 31,4 | - 14 39 41 | 9 17 21,6 | - 15,3 | - 6,5 | 283,1 |
| 10 | 21 35 29,2 | - 14 20 18 | 9 21 18,1 | - 15,7 | - 6,6 | 270,0 |
| 11 | 21 39 26,1 | - 14 00 41 | 9 25 14,7 | - 16,1 | - 6,6 | 256,8 |
| 12 | 21 43 22,3 | - 13 40 50 | 9 29 11,2 | - 16,4 | - 6,7 | 243,6 |
| 13 | 21 47 17,7 | - 13 20 46 | 9 33 07,8 | - 16,8 | - 6,7 | 230,5 |
| 14 | 21 51 12,4 | - 13 00 28 | 9 37 04,3 | - 17,1 | - 6,8 | 217,3 |
| 15 | 21 55 06,4 | - 12 39 58 | 9 41 00,9 | - 17,4 | - 6,8 | 204,1 |
| 16 | 21 58 59,6 | - 12 19 15 | 9 44 57,4 | - 17,8 | - 6,9 | 191,0 |
| 17 | 22 02 52,1 | - 11 58 21 | 9 48 54,0 | - 18,1 | - 6,9 | 177,8 |
| 18 | 22 06 44,0 | - 11 37 15 | 9 52 50,6 | - 18,4 | - 7,0 | 164,6 |
| 19 | 22 10 35,2 | - 11 15 58 | 9 56 47,1 | - 18,7 | - 7,0 | 151,5 |
| 20 | 22 14 25,7 | - 10 54 30 | 10 00 43,7 | - 19,0 | - 7,0 | 138,3 |
| 21 | 22 18 15,6 | - 10 32 52 | 10 04 40,2 | - 19,4 | - 7,1 | 125,1 |
| 22 | 22 22 04,9 | - 10 11 04 | 10 08 36,8 | - 19,6 | - 7,1 | 112,0 |
| 23 | 22 25 53,5 | - 9 49 07 | 10 12 33,3 | - 19,9 | - 7,1 | 98,8 |
| 24 | 22 29 41,6 | - 9 27 00 | 10 16 29,9 | - 20,2 | - 7,1 | 85,6 |
| 25 | 22 33 29,1 | - 9 04 45 | 10 20 26,4 | - 20,5 | - 7,2 | 72,4 |
| 26 | 22 37 16,0 | - 8 42 22 | 10 24 23,0 | - 20,8 | - 7,2 | 59,3 |
| 27 | 22 41 02,4 | - 8 19 51 | 10 28 19,6 | - 21,0 | - 7,2 | 46,1 |
| 28 | 22 44 48,2 | - 7 57 12 | 10 32 16,1 | - 21,3 | - 7,2 | 32,9 |

Le Soleil entre dans le signe des Poissons le 18 février à 10^h 07^m.

De zon treedt in het teken Vissen op 18 februari om 10^h 07^m.

| du mois — van de maand | JOUR — DAG | | TEMPS UNIVERSEL — WERELDTIJD | | | Durée du crépuscule civil à Uccle — Duur der burgerlijke schemering te Ukkel | Equation du temps moyen à 0 ^h UT — Tijdsvereffening van de middelbare tijd te 0 ^h UT |
|------------------------------------|---|--|--|--|-------|--|---|
| | de la semaine — van de week | Lever à Uccle — Opkomst te Ukkel | A midi vrai d'Uccle — Op ware middag van Ukkel | Coucher à Uccle — Ondergang te Ukkel | | | |
| | | h m | h m s | h m | m | | |
| 1 | S | Z | 6 27 | 11 54 49,0 | 17 24 | 33 | - 12 20,7 |
| 2 | D | Z | 6 24 | 11 54 37,0 | 17 26 | 33 | - 12 09,0 |
| 3 | L | M | 6 22 | 11 54 24,5 | 17 27 | 33 | - 11 56,7 |
| 4 | M | D | 6 20 | 11 54 11,5 | 17 29 | 33 | - 11 44,0 |
| 5 | M | W | 6 18 | 11 53 58,1 | 17 31 | 33 | - 11 30,8 |
| 6 | J | D | 6 16 | 11 53 44,2 | 17 33 | 33 | - 11 17,1 |
| 7 | V | V | 6 14 | 11 53 29,9 | 17 34 | 33 | - 11 03,0 |
| 8 | S | Z | 6 12 | 11 53 15,2 | 17 36 | 33 | - 10 48,5 |
| 9 | D | Z | 6 09 | 11 53 00,2 | 17 38 | 33 | - 10 33,6 |
| 10 | L | M | 6 07 | 11 52 44,7 | 17 39 | 33 | - 10 18,3 |
| 11 | M | D | 6 05 | 11 52 28,9 | 17 41 | 33 | - 10 02,7 |
| 12 | M | W | 6 03 | 11 52 12,9 | 17 43 | 33 | - 9 46,8 |
| 13 | J | D | 6 01 | 11 51 56,5 | 17 44 | 33 | - 9 30,6 |
| 14 | V | V | 5 58 | 11 51 39,9 | 17 46 | 33 | - 9 14,1 |
| 15 | S | Z | 5 56 | 11 51 23,0 | 17 48 | 33 | - 8 57,3 |
| 16 | D | Z | 5 54 | 11 51 05,9 | 17 49 | 33 | - 8 40,3 |
| 17 | L | M | 5 52 | 11 50 48,6 | 17 51 | 33 | - 8 23,1 |
| 18 | M | D | 5 49 | 11 50 31,1 | 17 53 | 33 | - 8 05,7 |
| 19 | M | W | 5 47 | 11 50 13,5 | 17 54 | 33 | - 7 48,2 |
| 20 | J | D | 5 45 | 11 49 55,8 | 17 56 | 33 | - 7 30,5 |
| 21 | V | V | 5 43 | 11 49 37,9 | 17 57 | 33 | - 7 12,7 |
| 22 | S | Z | 5 41 | 11 49 20,0 | 17 59 | 33 | - 6 54,8 |
| 23 | D | Z | 5 38 | 11 49 02,0 | 18 01 | 33 | - 6 36,8 |
| 24 | L | M | 5 36 | 11 48 44,0 | 18 02 | 33 | - 6 18,8 |
| 25 | M | D | 5 34 | 11 48 25,9 | 18 04 | 33 | - 6 00,8 |
| 26 | M | W | 5 32 | 11 48 07,9 | 18 06 | 33 | - 5 42,7 |
| 27 | J | D | 5 29 | 11 47 49,8 | 18 07 | 33 | - 5 24,6 |
| 28 | V | V | 5 27 | 11 47 31,8 | 18 09 | 33 | - 5 06,6 |
| 29 | S | Z | 5 25 | 11 47 13,8 | 18 11 | 33 | - 4 48,6 |
| 30 | D | Z | 5 23 | 11 46 55,9 | 18 12 | 33 | - 4 30,6 |
| 31 | L | M | 5 20 | 11 46 38,1 | 18 14 | 33 | - 4 12,7 |

Les jours croissent du 28 février au 31 mars, de 2h 00m.

Van 28 februari tot 31 maart lengen de dagen met 2h 00m.

| Jour du mois | A 0 ^h , TEMPS UNIVERSEL — Te 0 ^h WERELDTIJD | | | | | | |
|--------------------|---|--|--------------------------------|---|--------|----------------|----------------|
| | Dag van de maand | Ascension droite — Rechte klimming | Déclinaison — Declinatie | Temps sidéral moyen de Greenwich — Middelbare sterrentijd van Greenwich | P | B _O | L _O |
| | | h m s | ○ / ′ / ″ | h m s | ○ | ○ | ○ |
| 1 | 1 | 22 48 33,5 | - 7 34 27 | 10 36 12,7 | - 21,6 | - 7,2 | 19,8 |
| 2 | 2 | 22 52 18,3 | - 7 11 35 | 10 40 09,2 | - 21,8 | - 7,2 | 6,6 |
| 3 | 3 | 22 56 02,6 | - 6 48 36 | 10 44 05,8 | - 22,0 | - 7,2 | 353,4 |
| 4 | 4 | 22 59 46,4 | - 6 25 33 | 10 48 02,3 | - 22,3 | - 7,2 | 340,2 |
| 5 | 5 | 23 03 29,7 | - 6 02 23 | 10 51 58,9 | - 22,5 | - 7,3 | 327,1 |
| 6 | 6 | 23 07 12,6 | - 5 39 09 | 10 55 55,4 | - 22,7 | - 7,3 | 313,9 |
| 7 | 7 | 23 10 55,1 | - 5 15 51 | 10 59 52,0 | - 22,9 | - 7,3 | 300,7 |
| 8 | 8 | 23 14 37,1 | - 4 52 29 | 11 03 48,6 | - 23,2 | - 7,2 | 287,5 |
| 9 | 9 | 23 18 18,8 | - 4 29 02 | 11 07 45,1 | - 23,4 | - 7,2 | 274,4 |
| 10 | 10 | 23 22 00,1 | - 4 05 33 | 11 11 41,7 | - 23,6 | - 7,2 | 261,2 |
| 11 | 11 | 23 25 41,0 | - 3 42 01 | 11 15 38,2 | - 23,7 | - 7,2 | 248,0 |
| 12 | 12 | 23 29 21,7 | - 3 18 26 | 11 19 34,8 | - 23,9 | - 7,2 | 234,8 |
| 13 | 13 | 23 33 02,0 | - 2 54 49 | 11 23 31,3 | - 24,1 | - 7,2 | 221,7 |
| 14 | 14 | 23 36 42,0 | - 2 31 10 | 11 27 27,9 | - 24,3 | - 7,2 | 208,5 |
| 15 | 15 | 23 40 21,8 | - 2 07 29 | 11 31 24,4 | - 24,4 | - 7,2 | 195,3 |
| 16 | 16 | 23 44 01,4 | - 1 43 48 | 11 35 21,0 | - 24,6 | - 7,2 | 182,1 |
| 17 | 17 | 23 47 40,7 | - 1 20 05 | 11 39 17,5 | - 24,7 | - 7,1 | 168,9 |
| 18 | 18 | 23 51 19,9 | - 0 56 22 | 11 43 14,1 | - 24,9 | - 7,1 | 155,7 |
| 19 | 19 | 23 54 58,9 | - 0 32 39 | 11 47 10,7 | - 25,0 | - 7,1 | 142,6 |
| 20 | 20 | 23 58 37,8 | - 0 08 56 | 11 51 07,2 | - 25,1 | - 7,0 | 129,4 |
| 21 | 21 | 0 02 16,5 | + 0 14 47 | 11 55 03,8 | - 25,3 | - 7,0 | 116,2 |
| 22 | 22 | 0 05 55,2 | + 0 38 29 | 11 59 00,3 | - 25,4 | - 7,0 | 103,0 |
| 23 | 23 | 0 09 33,8 | + 1 02 09 | 12 02 56,9 | - 25,5 | - 7,0 | 89,8 |
| 24 | 24 | 0 13 12,3 | + 1 25 48 | 12 06 53,4 | - 25,6 | - 6,9 | 76,6 |
| 25 | 25 | 0 16 50,8 | + 1 49 25 | 12 10 50,0 | - 25,7 | - 6,9 | 63,5 |
| 26 | 26 | 0 20 29,3 | + 2 12 59 | 12 14 46,5 | - 25,8 | - 6,8 | 50,3 |
| 27 | 27 | 0 24 07,8 | + 2 36 31 | 12 18 43,1 | - 25,9 | - 6,8 | 37,1 |
| 28 | 28 | 0 27 46,3 | + 2 59 59 | 12 22 39,7 | - 25,9 | - 6,7 | 23,9 |
| 29 | 29 | 0 31 24,8 | + 3 23 25 | 12 26 36,2 | - 26,0 | - 6,7 | 10,7 |
| 30 | 30 | 0 35 03,4 | + 3 46 46 | 12 30 32,8 | - 26,0 | - 6,7 | 357,5 |
| 31 | 31 | 0 38 42,1 | + 4 10 03 | 12 34 29,3 | - 26,1 | - 6,6 | 344,3 |

Le Soleil entre dans le signe du Bélier le 20 mars à 9^h 01^m.

De zon treedt in het teken Ram op 20 maart om 9^h 01^m.

| JOUR — DAG | | TEMPS UNIVERSEL — WERELDTIJD | | | Durée du crépuscule civil à Uccle | Equation du temps moyen à 0 ^h UT |
|------------------------------------|---|--|--|--|---|---|
| du mois — van de maand | de la semaine — van de week | Lever à Uccle — Opkomst te Ukkel | A midi vrai d'Uccle — Op ware middag van Ukkel | Coucher à Uccle — Ondergang te Ukkel | Duur der burgerlijke schemering te Ukkel | Tijdsvereffening van de middelbare tijd te 0 ^h UT |
| | | h m | h m s | h m | m | m s |
| 1 | M D | 5 18 | 11 46 20,3 | 18 15 | 33 | - 3 55,0 |
| 2 | M W | 5 16 | 11 46 02,7 | 18 17 | 33 | - 3 37,3 |
| 3 | J D | 5 14 | 11 45 45,1 | 18 19 | 34 | - 3 19,7 |
| 4 | V V | 5 12 | 11 45 27,8 | 18 20 | 34 | - 3 02,2 |
| 5 | S Z | 5 09 | 11 45 10,5 | 18 22 | 34 | - 2 44,9 |
| 6 | D Z | 5 07 | 11 44 53,5 | 18 24 | 34 | - 2 27,8 |
| 7 | L M | 5 05 | 11 44 36,6 | 18 25 | 34 | - 2 10,8 |
| 8 | M D | 5 03 | 11 44 20,0 | 18 27 | 34 | - 1 54,1 |
| 9 | M W | 5 01 | 11 44 03,6 | 18 28 | 34 | - 1 37,5 |
| 10 | J D | 4 59 | 11 43 47,4 | 18 30 | 34 | - 1 21,3 |
| 11 | V V | 4 56 | 11 43 31,6 | 18 32 | 34 | - 1 05,2 |
| 12 | S Z | 4 54 | 11 43 16,0 | 18 33 | 35 | - 0 49,5 |
| 13 | D Z | 4 52 | 11 43 00,7 | 18 35 | 35 | - 0 34,1 |
| 14 | L M | 4 50 | 11 42 45,8 | 18 37 | 35 | - 0 19,0 |
| 15 | M D | 4 48 | 11 42 31,2 | 18 38 | 35 | - 0 04,2 |
| 16 | M W | 4 46 | 11 42 16,9 | 18 40 | 35 | + 0 10,2 |
| 17 | J D | 4 44 | 11 42 03,1 | 18 41 | 35 | + 0 24,2 |
| 18 | V V | 4 42 | 11 41 49,7 | 18 43 | 35 | + 0 37,9 |
| 19 | S Z | 4 40 | 11 41 36,6 | 18 45 | 35 | + 0 51,1 |
| 20 | D Z | 4 38 | 11 41 24,1 | 18 46 | 36 | + 1 03,9 |
| 21 | L M | 4 36 | 11 41 11,9 | 18 48 | 36 | + 1 16,3 |
| 22 | M D | 4 34 | 11 41 00,2 | 18 49 | 36 | + 1 28,2 |
| 23 | M W | 4 32 | 11 40 49,0 | 18 51 | 36 | + 1 39,6 |
| 24 | J D | 4 30 | 11 40 38,3 | 18 53 | 36 | + 1 50,6 |
| 25 | V V | 4 28 | 11 40 28,1 | 18 54 | 36 | + 2 01,1 |
| 26 | S Z | 4 26 | 11 40 18,3 | 18 56 | 37 | + 2 11,0 |
| 27 | D Z | 4 24 | 11 40 09,1 | 18 58 | 37 | + 2 20,5 |
| 28 | L M | 4 22 | 11 40 00,4 | 18 59 | 37 | + 2 29,5 |
| 29 | M D | 4 20 | 11 39 52,2 | 19 01 | 37 | + 2 37,9 |
| 30 | M W | 4 18 | 11 39 44,5 | 19 02 | 37 | + 2 45,8 |

Les jours croissent du 31 mars au 30 avril,
de 1h 59m.

Van 31 maart tot 30 april lengen de da-
gen met 1h 59m.

| Jour du mois | A 0 ^h , TEMPS UNIVERSEL — Te 0 ^h WERELDTIJD | | | | | |
|--------------------|---|--------------------------------|---|--------|----------------|----------------|
| | Ascension droite — Rechte klimming | Déclinaison — Declinatie | Temps sidéral moyen de Greenwich — Middelbare sterrentijd van Greenwich | P | B _O | L _O |
| | | | | h m s | ○ / ′ / ″ | h m s |
| 1 | 0 42 20,9 | + 4 33 15 | 12 38 25,9 | - 26,1 | - 6,5 | 331,1 |
| 2 | 0 45 59,7 | + 4 56 23 | 12 42 22,4 | - 26,2 | - 6,5 | 317,9 |
| 3 | 0 49 38,7 | + 5 19 25 | 12 46 19,0 | - 26,2 | - 6,4 | 304,7 |
| 4 | 0 53 17,8 | + 5 42 21 | 12 50 15,5 | - 26,2 | - 6,4 | 291,6 |
| 5 | 0 56 57,1 | + 6 05 11 | 12 54 12,1 | - 26,2 | - 6,3 | 278,4 |
| 6 | 1 00 36,5 | + 6 27 55 | 12 58 08,7 | - 26,3 | - 6,3 | 265,2 |
| 7 | 1 04 16,1 | + 6 50 32 | 13 02 05,2 | - 26,3 | - 6,2 | 252,0 |
| 8 | 1 07 55,9 | + 7 13 01 | 13 06 01,8 | - 26,3 | - 6,1 | 238,8 |
| 9 | 1 11 35,9 | + 7 35 24 | 13 09 58,3 | - 26,2 | - 6,1 | 225,6 |
| 10 | 1 15 16,2 | + 7 57 38 | 13 13 54,9 | - 26,2 | - 6,0 | 212,4 |
| 11 | 1 18 56,7 | + 8 19 44 | 13 17 51,4 | - 26,2 | - 5,9 | 199,2 |
| 12 | 1 22 37,5 | + 8 41 42 | 13 21 48,0 | - 26,2 | - 5,8 | 186,0 |
| 13 | 1 26 18,6 | + 9 03 32 | 13 25 44,5 | - 26,1 | - 5,8 | 172,8 |
| 14 | 1 30 00,1 | + 9 25 12 | 13 29 41,1 | - 26,1 | - 5,7 | 159,6 |
| 15 | 1 33 41,9 | + 9 46 43 | 13 33 37,7 | - 26,0 | - 5,6 | 146,4 |
| 16 | 1 37 24,0 | + 10 08 04 | 13 37 34,2 | - 25,9 | - 5,5 | 133,2 |
| 17 | 1 41 06,5 | + 10 29 15 | 13 41 30,8 | - 25,9 | - 5,5 | 119,9 |
| 18 | 1 44 49,4 | + 10 50 16 | 13 45 27,3 | - 25,8 | - 5,4 | 106,7 |
| 19 | 1 48 32,8 | + 11 11 07 | 13 49 23,9 | - 25,7 | - 5,3 | 93,5 |
| 20 | 1 52 16,5 | + 11 31 46 | 13 53 20,4 | - 25,6 | - 5,2 | 80,3 |
| 21 | 1 56 00,7 | + 11 52 15 | 13 57 17,0 | - 25,5 | - 5,1 | 67,1 |
| 22 | 1 59 45,4 | + 12 12 31 | 14 01 13,5 | - 25,4 | - 5,0 | 53,9 |
| 23 | 2 03 30,5 | + 12 32 36 | 14 05 10,1 | - 25,3 | - 4,9 | 40,7 |
| 24 | 2 07 16,1 | + 12 52 28 | 14 09 06,7 | - 25,2 | - 4,8 | 27,5 |
| 25 | 2 11 02,2 | + 13 12 08 | 14 13 03,2 | - 25,0 | - 4,8 | 14,3 |
| 26 | 2 14 48,7 | + 13 31 35 | 14 16 59,8 | - 24,9 | - 4,7 | 1,1 |
| 27 | 2 18 35,8 | + 13 50 48 | 14 20 56,3 | - 24,7 | - 4,6 | 347,9 |
| 28 | 2 22 23,4 | + 14 09 48 | 14 24 52,9 | - 24,6 | - 4,5 | 334,6 |
| 29 | 2 26 11,5 | + 14 28 34 | 14 28 49,4 | - 24,4 | - 4,4 | 321,4 |
| 30 | 2 30 00,2 | + 14 47 05 | 14 32 46,0 | - 24,3 | - 4,3 | 308,2 |

Le Soleil entre dans le signe du Taureau
le 19 avril à 19^h 56^m.

De zon treedt in het teken Stier op 19 april
om 19^h 56^m.

| du mois — van de maand | JOUR — DAG | | TEMPS UNIVERSEL — WERELDTIJD | | | Durée du crépuscule civil à Uccle — Duur der burgerlijke schemering te Ukkel | Equation du temps moyen à 0 ^h UT — Tijdsvereffening van de middelbare tijd te 0 ^h UT |
|------------------------------------|---|--|--|--|-------|--|---|
| | de la semaine — van de week | Lever à Uccle — Opkomst te Ukkel | A midi vrai d'Uccle — Op ware middag van Ukkel | Coucher à Uccle — Ondergang te Ukkel | | | |
| | | h m | h m s | h m | m | | |
| 1 | J | D | 4 16 | 11 39 37,4 | 19 04 | 38 | + 2 53,3 |
| 2 | V | V | 4 15 | 11 39 30,8 | 19 06 | 38 | + 3 00,1 |
| 3 | S | Z | 4 13 | 11 39 24,7 | 19 07 | 38 | + 3 06,5 |
| 4 | D | Z | 4 11 | 11 39 19,1 | 19 09 | 38 | + 3 12,3 |
| 5 | L | M | 4 09 | 11 39 14,1 | 19 10 | 38 | + 3 17,6 |
| 6 | M | D | 4 08 | 11 39 09,6 | 19 12 | 39 | + 3 22,4 |
| 7 | M | W | 4 06 | 11 39 05,7 | 19 13 | 39 | + 3 26,6 |
| 8 | J | D | 4 04 | 11 39 02,3 | 19 15 | 39 | + 3 30,2 |
| 9 | V | V | 4 03 | 11 38 59,4 | 19 16 | 39 | + 3 33,3 |
| 10 | S | Z | 4 01 | 11 38 57,2 | 19 18 | 39 | + 3 35,8 |
| 11 | D | Z | 3 59 | 11 38 55,5 | 19 19 | 40 | + 3 37,8 |
| 12 | L | M | 3 58 | 11 38 54,4 | 19 21 | 40 | + 3 39,2 |
| 13 | M | D | 3 56 | 11 38 53,8 | 19 22 | 40 | + 3 40,0 |
| 14 | M | W | 3 55 | 11 38 53,8 | 19 24 | 40 | + 3 40,3 |
| 15 | J | D | 3 53 | 11 38 54,4 | 19 25 | 41 | + 3 40,0 |
| 16 | V | V | 3 52 | 11 38 55,6 | 19 27 | 41 | + 3 39,1 |
| 17 | S | Z | 3 51 | 11 38 57,3 | 19 28 | 41 | + 3 37,7 |
| 18 | D | Z | 3 49 | 11 38 59,6 | 19 30 | 41 | + 3 35,6 |
| 19 | L | M | 3 48 | 11 39 02,5 | 19 31 | 41 | + 3 33,0 |
| 20 | M | D | 3 47 | 11 39 05,9 | 19 32 | 42 | + 3 29,9 |
| 21 | M | W | 3 45 | 11 39 09,9 | 19 34 | 42 | + 3 26,1 |
| 22 | J | D | 3 44 | 11 39 14,5 | 19 35 | 42 | + 3 21,9 |
| 23 | V | V | 3 43 | 11 39 19,5 | 19 36 | 42 | + 3 17,1 |
| 24 | S | Z | 3 42 | 11 39 25,1 | 19 38 | 43 | + 3 11,7 |
| 25 | D | Z | 3 41 | 11 39 31,3 | 19 39 | 43 | + 3 05,8 |
| 26 | L | M | 3 40 | 11 39 37,9 | 19 40 | 43 | + 2 59,4 |
| 27 | M | D | 3 39 | 11 39 45,0 | 19 41 | 43 | + 2 52,6 |
| 28 | M | W | 3 38 | 11 39 52,6 | 19 43 | 43 | + 2 45,2 |
| 29 | J | D | 3 37 | 11 40 00,6 | 19 44 | 44 | + 2 37,4 |
| 30 | V | V | 3 36 | 11 40 09,0 | 19 45 | 44 | + 2 29,2 |
| 31 | S | Z | 3 35 | 11 40 17,9 | 19 46 | 44 | + 2 20,5 |

Les jours croissent du 30 avril au 31 mai,
de 1h 40m.

Van 30 april tot 31 mei lengen de da-
gen met 1h 40m.

| Jour du mois | A 0 ^h , TEMPS UNIVERSEL — Te 0 ^h WERELDTIJD | | | | | | |
|--------------------|---|--|--------------------------------|---|--------|----------------|----------------|
| | Dag van de maand | Ascension droite — Rechte klimming | Déclinaison — Declinatie | Temps sidéral moyen de Greenwich — Middelbare sterrentijd van Greenwich | P | B _O | L _O |
| | | h m s | ○ / ′ / ″ | h m s | ○ | ○ | ○ |
| 1 | 1 | 2 33 49,3 | + 15 05 21 | 14 36 42,5 | - 24,1 | - 4,2 | 295,0 |
| 2 | 2 | 2 37 39,0 | + 15 23 23 | 14 40 39,1 | - 23,9 | - 4,1 | 281,8 |
| 3 | 3 | 2 41 29,2 | + 15 41 09 | 14 44 35,7 | - 23,7 | - 4,0 | 268,6 |
| 4 | 4 | 2 45 19,9 | + 15 58 40 | 14 48 32,2 | - 23,5 | - 3,9 | 255,3 |
| 5 | 5 | 2 49 11,2 | + 16 15 54 | 14 52 28,8 | - 23,3 | - 3,8 | 242,1 |
| 6 | 6 | 2 53 03,0 | + 16 32 52 | 14 56 25,3 | - 23,1 | - 3,7 | 228,9 |
| 7 | 7 | 2 56 55,3 | + 16 49 33 | 15 00 21,9 | - 22,9 | - 3,6 | 215,7 |
| 8 | 8 | 3 00 48,2 | + 17 05 58 | 15 04 18,4 | - 22,7 | - 3,4 | 202,5 |
| 9 | 9 | 3 04 41,7 | + 17 22 05 | 15 08 15,0 | - 22,4 | - 3,3 | 189,2 |
| 10 | 10 | 3 08 35,7 | + 17 37 55 | 15 12 11,5 | - 22,2 | - 3,2 | 176,0 |
| 11 | 11 | 3 12 30,3 | + 17 53 27 | 15 16 08,1 | - 21,9 | - 3,1 | 162,8 |
| 12 | 12 | 3 16 25,4 | + 18 08 41 | 15 20 04,6 | - 21,7 | - 3,0 | 149,6 |
| 13 | 13 | 3 20 21,2 | + 18 23 37 | 15 24 01,2 | - 21,4 | - 2,9 | 136,4 |
| 14 | 14 | 3 24 17,5 | + 18 38 14 | 15 27 57,8 | - 21,2 | - 2,8 | 123,1 |
| 15 | 15 | 3 28 14,3 | + 18 52 33 | 15 31 54,3 | - 20,9 | - 2,7 | 109,9 |
| 16 | 16 | 3 32 11,8 | + 19 06 32 | 15 35 50,9 | - 20,6 | - 2,6 | 96,7 |
| 17 | 17 | 3 36 09,8 | + 19 20 12 | 15 39 47,4 | - 20,3 | - 2,4 | 83,5 |
| 18 | 18 | 3 40 08,4 | + 19 33 32 | 15 43 44,0 | - 20,0 | - 2,3 | 70,2 |
| 19 | 19 | 3 44 07,6 | + 19 46 33 | 15 47 40,5 | - 19,7 | - 2,2 | 57,0 |
| 20 | 20 | 3 48 07,3 | + 19 59 13 | 15 51 37,1 | - 19,4 | - 2,1 | 43,8 |
| 21 | 21 | 3 52 07,5 | + 20 11 33 | 15 55 33,6 | - 19,1 | - 2,0 | 30,5 |
| 22 | 22 | 3 56 08,4 | + 20 23 33 | 15 59 30,2 | - 18,8 | - 1,9 | 17,3 |
| 23 | 23 | 4 00 09,7 | + 20 35 11 | 16 03 26,8 | - 18,5 | - 1,7 | 4,1 |
| 24 | 24 | 4 04 11,7 | + 20 46 28 | 16 07 23,3 | - 18,2 | - 1,6 | 350,9 |
| 25 | 25 | 4 08 14,1 | + 20 57 24 | 16 11 19,9 | - 17,8 | - 1,5 | 337,6 |
| 26 | 26 | 4 12 17,0 | + 21 07 58 | 16 15 16,4 | - 17,5 | - 1,4 | 324,4 |
| 27 | 27 | 4 16 20,5 | + 21 18 10 | 16 19 13,0 | - 17,2 | - 1,3 | 311,2 |
| 28 | 28 | 4 20 24,4 | + 21 28 00 | 16 23 09,5 | - 16,8 | - 1,2 | 297,9 |
| 29 | 29 | 4 24 28,8 | + 21 37 28 | 16 27 06,1 | - 16,4 | - 1,0 | 284,7 |
| 30 | 30 | 4 28 33,6 | + 21 46 33 | 16 31 02,6 | - 16,1 | - 0,9 | 271,5 |
| 31 | 31 | 4 32 38,8 | + 21 55 15 | 16 34 59,2 | - 15,7 | - 0,8 | 258,2 |

Le Soleil entre dans le signe des Gé-
meaux le 20 mai à 18^h 55^m.

De zon treedt in het teken Tweelingen op
20 mei om 18^h 55^m.

| du mois — van de maand | JOUR — DAG | | TEMPS UNIVERSEL — WERELDTIJD | | | Durée du crépuscule civil à Uccle — Duur der burgerlijke schemering te Ukkel | Equation du temps moyen à 0 ^h UT — Tijdsvereffening van de middelbare tijd te 0 ^h UT |
|------------------------------------|---|--|--|--|-------|--|---|
| | de la semaine — van de week | Lever à Uccle — Opkomst te Ukkel | A midi vrai d'Uccle — Op ware middag van Ukkel | Coucher à Uccle — Ondergang te Ukkel | | | |
| | | h m | h m s | h m | m | | |
| 1 | D | Z | 3 35 | 11 40 27,1 | 19 47 | 44 | + 2 11,5 |
| 2 | L | M | 3 34 | 11 40 36,7 | 19 48 | 44 | + 2 02,1 |
| 3 | M | D | 3 33 | 11 40 46,6 | 19 49 | 45 | + 1 52,3 |
| 4 | M | W | 3 32 | 11 40 56,9 | 19 50 | 45 | + 1 42,2 |
| 5 | J | D | 3 32 | 11 41 07,5 | 19 51 | 45 | + 1 31,7 |
| 6 | V | V | 3 31 | 11 41 18,4 | 19 52 | 45 | + 1 21,0 |
| 7 | S | Z | 3 31 | 11 41 29,6 | 19 53 | 45 | + 1 09,9 |
| 8 | D | Z | 3 30 | 11 41 41,0 | 19 53 | 45 | + 0 58,6 |
| 9 | L | M | 3 30 | 11 41 52,7 | 19 54 | 45 | + 0 47,0 |
| 10 | M | D | 3 30 | 11 42 04,6 | 19 55 | 46 | + 0 35,2 |
| 11 | M | W | 3 29 | 11 42 16,8 | 19 56 | 46 | + 0 23,2 |
| 12 | J | D | 3 29 | 11 42 29,1 | 19 56 | 46 | + 0 11,0 |
| 13 | V | V | 3 29 | 11 42 41,6 | 19 57 | 46 | - 0 01,4 |
| 14 | S | Z | 3 29 | 11 42 54,2 | 19 57 | 46 | - 0 14,0 |
| 15 | D | Z | 3 29 | 11 43 07,0 | 19 58 | 46 | - 0 26,7 |
| 16 | L | M | 3 29 | 11 43 19,9 | 19 58 | 46 | - 0 39,5 |
| 17 | M | D | 3 29 | 11 43 32,9 | 19 59 | 46 | - 0 52,5 |
| 18 | M | W | 3 29 | 11 43 46,0 | 19 59 | 46 | - 1 05,5 |
| 19 | J | D | 3 29 | 11 43 59,1 | 19 59 | 46 | - 1 18,6 |
| 20 | V | V | 3 29 | 11 44 12,2 | 20 00 | 46 | - 1 31,7 |
| 21 | S | Z | 3 29 | 11 44 25,4 | 20 00 | 46 | - 1 44,9 |
| 22 | D | Z | 3 29 | 11 44 38,5 | 20 00 | 46 | - 1 58,0 |
| 23 | L | M | 3 30 | 11 44 51,6 | 20 00 | 46 | - 2 11,1 |
| 24 | M | D | 3 30 | 11 45 04,6 | 20 00 | 46 | - 2 24,2 |
| 25 | M | W | 3 30 | 11 45 17,5 | 20 00 | 46 | - 2 37,1 |
| 26 | J | D | 3 31 | 11 45 30,2 | 20 00 | 46 | - 2 49,9 |
| 27 | V | V | 3 31 | 11 45 42,8 | 20 00 | 46 | - 3 02,6 |
| 28 | S | Z | 3 32 | 11 45 55,2 | 20 00 | 46 | - 3 15,1 |
| 29 | D | Z | 3 32 | 11 46 07,4 | 20 00 | 46 | - 3 27,4 |
| 30 | L | M | 3 33 | 11 46 19,3 | 19 59 | 46 | - 3 39,5 |

Les jours croissent du 31 mai au 21 juin, de 0h 24m; ils décroissent du 21 au 30 juin, de 0h 05m.

Van 31 mei tot 21 juni lengen de dagen met 0h 24m; van 21 tot 30 juni korten ze met 0h 05m.

| Jour du mois | A 0 ^h , TEMPS UNIVERSEL — Te 0 ^h WERELDTIJD | | | | | | |
|--------------------|---|--|--------------------------------|---|--------|----------------|----------------|
| | Dag van de maand | Ascension droite — Rechte klimming | Déclinaison — Declinatie | Temps sidéral moyen de Greenwich — Middelbare sterrentijd van Greenwich | P | B _O | L _O |
| | | h m s | ○ / ′ / ″ | h m s | | | |
| 1 | 1 | 4 36 44,4 | + 22 03 35 | 16 38 55,8 | - 15,3 | - 0,7 | 245,0 |
| 2 | 2 | 4 40 50,3 | + 22 11 31 | 16 42 52,3 | - 15,0 | - 0,5 | 231,8 |
| 3 | 3 | 4 44 56,7 | + 22 19 04 | 16 46 48,9 | - 14,6 | - 0,4 | 218,5 |
| 4 | 4 | 4 49 03,3 | + 22 26 13 | 16 50 45,4 | - 14,2 | - 0,3 | 205,3 |
| 5 | 5 | 4 53 10,3 | + 22 32 59 | 16 54 42,0 | - 13,8 | - 0,2 | 192,1 |
| 6 | 6 | 4 57 17,6 | + 22 39 21 | 16 58 38,5 | - 13,4 | - 0,1 | 178,8 |
| 7 | 7 | 5 01 25,2 | + 22 45 19 | 17 02 35,1 | - 13,0 | + 0,1 | 165,6 |
| 8 | 8 | 5 05 33,1 | + 22 50 54 | 17 06 31,6 | - 12,6 | + 0,2 | 152,4 |
| 9 | 9 | 5 09 41,2 | + 22 56 04 | 17 10 28,2 | - 12,2 | + 0,3 | 139,1 |
| 10 | 10 | 5 13 49,6 | + 23 00 50 | 17 14 24,8 | - 11,8 | + 0,4 | 125,9 |
| 11 | 11 | 5 17 58,2 | + 23 05 11 | 17 18 21,3 | - 11,4 | + 0,5 | 112,7 |
| 12 | 12 | 5 22 07,0 | + 23 09 09 | 17 22 17,9 | - 11,0 | + 0,7 | 99,4 |
| 13 | 13 | 5 26 15,9 | + 23 12 42 | 17 26 14,4 | - 10,6 | + 0,8 | 86,2 |
| 14 | 14 | 5 30 25,1 | + 23 15 50 | 17 30 11,0 | - 10,1 | + 0,9 | 72,9 |
| 15 | 15 | 5 34 34,4 | + 23 18 34 | 17 34 07,5 | - 9,7 | + 1,0 | 59,7 |
| 16 | 16 | 5 38 43,8 | + 23 20 53 | 17 38 04,1 | - 9,3 | + 1,1 | 46,5 |
| 17 | 17 | 5 42 53,3 | + 23 22 48 | 17 42 00,6 | - 8,8 | + 1,3 | 33,2 |
| 18 | 18 | 5 47 02,8 | + 23 24 17 | 17 45 57,2 | - 8,4 | + 1,4 | 20,0 |
| 19 | 19 | 5 51 12,5 | + 23 25 22 | 17 49 53,8 | - 8,0 | + 1,5 | 6,8 |
| 20 | 20 | 5 55 22,2 | + 23 26 03 | 17 53 50,3 | - 7,5 | + 1,6 | 353,5 |
| 21 | 21 | 5 59 31,9 | + 23 26 18 | 17 57 46,9 | - 7,1 | + 1,7 | 340,3 |
| 22 | 22 | 6 03 41,6 | + 23 26 08 | 18 01 43,4 | - 6,6 | + 1,8 | 327,0 |
| 23 | 23 | 6 07 51,2 | + 23 25 34 | 18 05 40,0 | - 6,2 | + 2,0 | 313,8 |
| 24 | 24 | 6 12 00,8 | + 23 24 35 | 18 09 36,5 | - 5,8 | + 2,1 | 300,6 |
| 25 | 25 | 6 16 10,4 | + 23 23 11 | 18 13 33,1 | - 5,3 | + 2,2 | 287,3 |
| 26 | 26 | 6 20 19,8 | + 23 21 22 | 18 17 29,6 | - 4,9 | + 2,3 | 274,1 |
| 27 | 27 | 6 24 29,0 | + 23 19 09 | 18 21 26,2 | - 4,4 | + 2,4 | 260,9 |
| 28 | 28 | 6 28 38,1 | + 23 16 31 | 18 25 22,8 | - 4,0 | + 2,5 | 247,6 |
| 29 | 29 | 6 32 46,9 | + 23 13 28 | 18 29 19,3 | - 3,5 | + 2,6 | 234,4 |
| 30 | 30 | 6 36 55,5 | + 23 10 01 | 18 33 15,9 | - 3,1 | + 2,8 | 221,2 |

Le Soleil entre dans le signe du Cancer le 21 juin à 2^h 42^m.

De zon treedt in het teken Kreeft op 21 juni om 2^h 42^m.

| du mois — van de maand | JOUR — DAG | | TEMPS UNIVERSEL — WERELDTIJD | | | Durée du crépuscule civil à Uccle — Duur der burgerlijke schemering te Ukkel | Equation du temps moyen à 0 ^h UT — Tijdsvereffening van de middelbare tijd te 0 ^h UT |
|------------------------------------|---|--|--|--|-------|--|---|
| | de la semaine — van de week | Lever à Uccle — Opkomst te Ukkel | A midi vrai d'Uccle — Op ware middag van Ukkel | Coucher à Uccle — Ondergang te Ukkel | | | |
| | | h m | h m s | h m | m | | |
| 1 | M | D | 3 34 | 11 46 31,0 | 19 59 | 46 | — 3 51,3 |
| 2 | M | W | 3 34 | 11 46 42,4 | 19 59 | 46 | — 4 02,8 |
| 3 | J | D | 3 35 | 11 46 53,5 | 19 58 | 45 | — 4 14,0 |
| 4 | V | V | 3 36 | 11 47 04,2 | 19 58 | 45 | — 4 24,9 |
| 5 | S | Z | 3 37 | 11 47 14,6 | 19 57 | 45 | — 4 35,5 |
| 6 | D | Z | 3 37 | 11 47 24,6 | 19 57 | 45 | — 4 45,7 |
| 7 | L | M | 3 38 | 11 47 34,3 | 19 56 | 45 | — 4 55,5 |
| 8 | M | D | 3 39 | 11 47 43,5 | 19 56 | 45 | — 5 05,0 |
| 9 | M | W | 3 40 | 11 47 52,3 | 19 55 | 44 | — 5 14,0 |
| 10 | J | D | 3 41 | 11 48 00,7 | 19 54 | 44 | — 5 22,6 |
| 11 | V | V | 3 42 | 11 48 08,7 | 19 53 | 44 | — 5 30,8 |
| 12 | S | Z | 3 43 | 11 48 16,2 | 19 53 | 44 | — 5 38,5 |
| 13 | D | Z | 3 44 | 11 48 23,2 | 19 52 | 44 | — 5 45,8 |
| 14 | L | M | 3 45 | 11 48 29,8 | 19 51 | 43 | — 5 52,6 |
| 15 | M | D | 3 47 | 11 48 35,9 | 19 50 | 43 | — 5 58,9 |
| 16 | M | W | 3 48 | 11 48 41,5 | 19 49 | 43 | — 6 04,7 |
| 17 | J | D | 3 49 | 11 48 46,6 | 19 48 | 43 | — 6 10,1 |
| 18 | V | V | 3 50 | 11 48 51,1 | 19 47 | 43 | — 6 14,9 |
| 19 | S | Z | 3 51 | 11 48 55,2 | 19 46 | 42 | — 6 19,2 |
| 20 | D | Z | 3 53 | 11 48 58,7 | 19 44 | 42 | — 6 23,0 |
| 21 | L | M | 3 54 | 11 49 01,7 | 19 43 | 42 | — 6 26,2 |
| 22 | M | D | 3 55 | 11 49 04,1 | 19 42 | 42 | — 6 28,9 |
| 23 | W | W | 3 57 | 11 49 05,9 | 19 41 | 42 | — 6 31,0 |
| 24 | J | D | 3 58 | 11 49 07,2 | 19 39 | 41 | — 6 32,6 |
| 25 | V | V | 3 59 | 11 49 07,9 | 19 38 | 41 | — 6 33,6 |
| 26 | S | Z | 4 01 | 11 49 07,9 | 19 37 | 41 | — 6 33,9 |
| 27 | D | Z | 4 02 | 11 49 07,4 | 19 35 | 41 | — 6 33,7 |
| 28 | L | M | 4 03 | 11 49 06,3 | 19 34 | 40 | — 6 32,9 |
| 29 | M | D | 4 05 | 11 49 04,5 | 19 32 | 40 | — 6 31,4 |
| 30 | M | W | 4 06 | 11 49 02,1 | 19 31 | 40 | — 6 29,3 |
| 31 | J | D | 4 08 | 11 48 59,1 | 19 29 | 40 | — 6 26,6 |

Les jours décroissent du 30 juin au 31 juillet, de 1h 17m.

Van 30 juni tot 31 juli korten de dagen met 1h 17m.

| Jour du mois — Dag van de maand | A 0 ^h , TEMPS UNIVERSEL — Te 0 ^h WERELDTIJD | | | | | |
|---|---|--------------------------------|---|--------|----------------|----------------|
| | Ascension droite — Rechte klimming | Déclinaison — Declinatie | Temps sidéral moyen de Greenwich — Middelbare sterrentijd van Greenwich | P | B _O | L _O |
| | | | | h m s | ○ / ′ / ″ | h m s |
| 1 | 6 41 03,9 | + 23 06 10 | 18 37 12,4 | — 2,6 | + 2,9 | 207,9 |
| 2 | 6 45 11,9 | + 23 01 54 | 18 41 09,0 | — 2,1 | + 3,0 | 194,7 |
| 3 | 6 49 19,7 | + 22 57 14 | 18 45 05,5 | — 1,7 | + 3,1 | 181,4 |
| 4 | 6 53 27,2 | + 22 52 11 | 18 49 02,1 | — 1,2 | + 3,2 | 168,2 |
| 5 | 6 57 34,3 | + 22 46 43 | 18 52 58,6 | — 0,8 | + 3,3 | 155,0 |
| 6 | 7 01 41,1 | + 22 40 52 | 18 56 55,2 | — 0,3 | + 3,4 | 141,7 |
| 7 | 7 05 47,4 | + 22 34 37 | 19 00 51,8 | + 0,1 | + 3,5 | 128,5 |
| 8 | 7 09 53,4 | + 22 27 59 | 19 04 48,3 | + 0,6 | + 3,6 | 115,3 |
| 9 | 7 13 59,0 | + 22 20 57 | 19 08 44,9 | + 1,0 | + 3,7 | 102,0 |
| 10 | 7 18 04,2 | + 22 13 33 | 19 12 41,4 | + 1,5 | + 3,8 | 88,8 |
| 11 | 7 22 09,0 | + 22 05 45 | 19 16 38,0 | + 1,9 | + 3,9 | 75,6 |
| 12 | 7 26 13,2 | + 21 57 35 | 19 20 34,5 | + 2,4 | + 4,0 | 62,3 |
| 13 | 7 30 17,1 | + 21 49 03 | 19 24 31,1 | + 2,8 | + 4,1 | 49,1 |
| 14 | 7 34 20,4 | + 21 40 08 | 19 28 27,6 | + 3,3 | + 4,2 | 35,9 |
| 15 | 7 38 23,3 | + 21 30 50 | 19 32 24,2 | + 3,7 | + 4,3 | 22,6 |
| 16 | 7 42 25,7 | + 21 21 11 | 19 36 20,7 | + 4,1 | + 4,4 | 9,4 |
| 17 | 7 46 27,6 | + 21 11 10 | 19 40 17,3 | + 4,6 | + 4,5 | 356,2 |
| 18 | 7 50 29,0 | + 21 00 47 | 19 44 13,9 | + 5,0 | + 4,6 | 342,9 |
| 19 | 7 54 29,8 | + 20 50 03 | 19 48 10,4 | + 5,5 | + 4,7 | 329,7 |
| 20 | 7 58 30,2 | + 20 38 58 | 19 52 07,0 | + 5,9 | + 4,8 | 316,5 |
| 21 | 8 02 30,0 | + 20 27 32 | 19 56 03,5 | + 6,3 | + 4,9 | 303,2 |
| 22 | 8 06 29,2 | + 20 15 45 | 20 00 00,1 | + 6,8 | + 5,0 | 290,0 |
| 23 | 8 10 27,9 | + 20 03 38 | 20 03 56,6 | + 7,2 | + 5,1 | 276,8 |
| 24 | 8 14 26,0 | + 19 51 10 | 20 07 53,2 | + 7,6 | + 5,1 | 263,6 |
| 25 | 8 18 23,6 | + 19 38 23 | 20 11 49,7 | + 8,0 | + 5,2 | 250,3 |
| 26 | 8 22 20,5 | + 19 25 16 | 20 15 46,3 | + 8,4 | + 5,3 | 237,1 |
| 27 | 8 26 16,8 | + 19 11 50 | 20 19 42,9 | + 8,9 | + 5,4 | 223,9 |
| 28 | 8 30 12,5 | + 18 58 05 | 20 23 39,4 | + 9,3 | + 5,5 | 210,6 |
| 29 | 8 34 07,6 | + 18 44 01 | 20 27 36,0 | + 9,7 | + 5,6 | 197,4 |
| 30 | 8 38 02,1 | + 18 29 39 | 20 31 32,5 | + 10,1 | + 5,6 | 184,2 |
| 31 | 8 41 55,9 | + 18 14 59 | 20 35 29,1 | + 10,5 | + 5,7 | 171,0 |

Le Soleil entre dans le signe du Lion le 22 juillet à 13^h 29^m.
Terre à l'aphélie: 3 juillet à 20^h.

De zon treedt in het teken Leeuw op 22 juli om 13^h 29^m.
Aarde in het aphelium: 3 juli om 20^h.

| du mois — van de maand | JOUR — DAG | | TEMPS UNIVERSEL — WERELDTIJD | | | Durée du crépuscule civil à Uccle — Duur der burgerlijke schemering te Ukkel | Equation du temps moyen à 0 ^h UT — Tijdsvereffening van de middelbare tijd te 0 ^h UT |
|------------------------------------|---|--|--|--|-------|--|---|
| | de la semaine — van de week | Lever à Uccle — Opkomst te Ukkel | A midi vrai d'Uccle — Op ware middag van Ukkel | Coucher à Uccle — Ondergang te Ukkel | | | |
| | | h m | h m s | h m | m | | |
| 1 | V | V | 4 09 | 11 48 55,4 | 19 28 | 40 | — 6 23,3 |
| 2 | S | Z | 4 11 | 11 48 51,2 | 19 26 | 39 | — 6 19,3 |
| 3 | D | Z | 4 12 | 11 48 46,3 | 19 24 | 39 | — 6 14,7 |
| 4 | L | M | 4 14 | 11 48 40,8 | 19 23 | 39 | — 6 09,5 |
| 5 | M | D | 4 15 | 11 48 34,6 | 19 21 | 39 | — 6 03,7 |
| 6 | M | W | 4 17 | 11 48 27,9 | 19 19 | 38 | — 5 57,2 |
| 7 | J | D | 4 18 | 11 48 20,5 | 19 18 | 38 | — 5 50,2 |
| 8 | V | V | 4 20 | 11 48 12,6 | 19 16 | 38 | — 5 42,5 |
| 9 | S | Z | 4 21 | 11 48 04,1 | 19 14 | 38 | — 5 34,3 |
| 10 | D | Z | 4 23 | 11 47 55,0 | 19 12 | 38 | — 5 25,5 |
| 11 | L | M | 4 24 | 11 47 45,3 | 19 10 | 37 | — 5 16,1 |
| 12 | M | D | 4 26 | 11 47 35,1 | 19 08 | 37 | — 5 06,1 |
| 13 | M | W | 4 27 | 11 47 24,3 | 19 07 | 37 | — 4 55,6 |
| 14 | J | D | 4 29 | 11 47 13,0 | 19 05 | 37 | — 4 44,6 |
| 15 | V | V | 4 30 | 11 47 01,2 | 19 03 | 37 | — 4 33,0 |
| 16 | S | Z | 4 32 | 11 46 48,9 | 19 01 | 37 | — 4 21,0 |
| 17 | D | Z | 4 33 | 11 46 36,1 | 18 59 | 36 | — 4 08,4 |
| 18 | L | M | 4 35 | 11 46 22,8 | 18 57 | 36 | — 3 55,3 |
| 19 | M | D | 4 36 | 11 46 09,0 | 18 55 | 36 | — 3 41,8 |
| 20 | M | W | 4 38 | 11 45 54,8 | 18 53 | 36 | — 3 27,8 |
| 21 | J | D | 4 40 | 11 45 40,1 | 18 51 | 36 | — 3 13,3 |
| 22 | V | V | 4 41 | 11 45 24,9 | 18 49 | 36 | — 2 58,3 |
| 23 | S | Z | 4 43 | 11 45 09,3 | 18 47 | 35 | — 2 42,9 |
| 24 | D | Z | 4 44 | 11 44 53,3 | 18 45 | 35 | — 2 27,1 |
| 25 | L | M | 4 46 | 11 44 36,8 | 18 42 | 35 | — 2 10,9 |
| 26 | M | D | 4 47 | 11 44 20,0 | 18 40 | 35 | — 1 54,2 |
| 27 | M | W | 4 49 | 11 44 02,7 | 18 38 | 35 | — 1 37,1 |
| 28 | J | D | 4 50 | 11 43 45,0 | 18 36 | 35 | — 1 19,7 |
| 29 | V | V | 4 52 | 11 43 27,0 | 18 34 | 35 | — 1 01,8 |
| 30 | S | Z | 4 53 | 11 43 08,7 | 18 32 | 34 | — 0 43,6 |
| 31 | D | Z | 4 55 | 11 42 50,0 | 18 30 | 34 | — 0 25,1 |

Les jours décroissent du 31 juillet au 31 août, de 1h 58m.

Van 31 juli tot 31 augustus korten de dagen met 1h 58m.

| Jour du mois — Dag van de maand | A 0 ^h , TEMPS UNIVERSEL — Te 0 ^h WERELDTIJD | | | | | |
|---|---|--------------------------------|---|----------------|----------------|-------|
| | Ascension droite — Rechte klimming | Déclinaison — Declinatie | Temps sidéral moyen de Greenwich — Middelbare sterrentijd van Greenwich | | | |
| | | | P | B _O | L _O | |
| | h m s | ○ ′ ″ | h m s | ○ | ○ | ○ |
| 1 | 8 45 49,1 | + 18 00 01 | 20 39 25,6 | + 10,9 | + 5,8 | 157,7 |
| 2 | 8 49 41,7 | + 17 44 45 | 20 43 22,2 | + 11,3 | + 5,9 | 144,5 |
| 3 | 8 53 33,7 | + 17 29 12 | 20 47 18,7 | + 11,7 | + 5,9 | 131,3 |
| 4 | 8 57 25,0 | + 17 13 22 | 20 51 15,3 | + 12,1 | + 6,0 | 118,1 |
| 5 | 9 01 15,8 | + 16 57 15 | 20 55 11,9 | + 12,4 | + 6,1 | 104,8 |
| 6 | 9 05 05,9 | + 16 40 52 | 20 59 08,4 | + 12,8 | + 6,1 | 91,6 |
| 7 | 9 08 55,4 | + 16 24 13 | 21 03 05,0 | + 13,2 | + 6,2 | 78,4 |
| 8 | 9 12 44,3 | + 16 07 19 | 21 07 01,5 | + 13,6 | + 6,3 | 65,2 |
| 9 | 9 16 32,6 | + 15 50 09 | 21 10 58,1 | + 13,9 | + 6,3 | 51,9 |
| 10 | 9 20 20,4 | + 15 32 43 | 21 14 54,6 | + 14,3 | + 6,4 | 38,7 |
| 11 | 9 24 07,5 | + 15 15 03 | 21 18 51,2 | + 14,7 | + 6,4 | 25,5 |
| 12 | 9 27 54,1 | + 14 57 08 | 21 22 47,7 | + 15,0 | + 6,5 | 12,3 |
| 13 | 9 31 40,2 | + 14 38 59 | 21 26 44,3 | + 15,4 | + 6,5 | 359,1 |
| 14 | 9 35 25,7 | + 14 20 36 | 21 30 40,9 | + 15,7 | + 6,6 | 345,8 |
| 15 | 9 39 10,7 | + 14 01 59 | 21 34 37,4 | + 16,0 | + 6,6 | 332,6 |
| 16 | 9 42 55,2 | + 13 43 08 | 21 38 34,0 | + 16,4 | + 6,7 | 319,4 |
| 17 | 9 46 39,2 | + 13 24 04 | 21 42 30,5 | + 16,7 | + 6,7 | 306,2 |
| 18 | 9 50 22,7 | + 13 04 48 | 21 46 27,1 | + 17,0 | + 6,8 | 293,0 |
| 19 | 9 54 05,7 | + 12 45 19 | 21 50 23,6 | + 17,4 | + 6,8 | 279,8 |
| 20 | 9 57 48,2 | + 12 25 37 | 21 54 20,2 | + 17,7 | + 6,9 | 266,5 |
| 21 | 10 01 30,3 | + 12 05 44 | 21 58 16,7 | + 18,0 | + 6,9 | 253,3 |
| 22 | 10 05 11,9 | + 11 45 39 | 22 02 13,3 | + 18,3 | + 6,9 | 240,1 |
| 23 | 10 08 53,1 | + 11 25 23 | 22 06 09,9 | + 18,6 | + 7,0 | 226,9 |
| 24 | 10 12 33,8 | + 11 04 56 | 22 10 06,4 | + 18,9 | + 7,0 | 213,7 |
| 25 | 10 16 14,1 | + 10 44 19 | 22 14 03,0 | + 19,2 | + 7,0 | 200,5 |
| 26 | 10 19 54,0 | + 10 23 32 | 22 17 59,5 | + 19,5 | + 7,1 | 187,3 |
| 27 | 10 23 33,5 | + 10 02 34 | 22 21 56,1 | + 19,8 | + 7,1 | 174,0 |
| 28 | 10 27 12,5 | + 9 41 27 | 22 25 52,6 | + 20,0 | + 7,1 | 160,8 |
| 29 | 10 30 51,2 | + 9 20 11 | 22 29 49,2 | + 20,3 | + 7,1 | 147,6 |
| 30 | 10 34 29,6 | + 8 58 47 | 22 33 45,7 | + 20,6 | + 7,2 | 134,4 |
| 31 | 10 38 07,6 | + 8 37 13 | 22 37 42,3 | + 20,8 | + 7,2 | 121,2 |

Le Soleil entre dans le signe de la Vierge le 22 août à 20^h 34^m.

De zon treedt in het teken Maagd op 22 augustus om 20^h 34^m.

| du mois — van de maand | JOUR — DAG | | TEMPS UNIVERSEL — WERELDTIJD | | | Durée du crépuscule civil à Uccle — Duur der burgerlijke schemering te Ukkel | Equation du temps moyen à 0 ^h UT — Tijdsvereffening van de middelbare tijd te 0 ^h UT |
|------------------------------------|---|--|--|--|-------|--|---|
| | de la semaine — van de week | Lever à Uccle — Opkomst te Ukkel | A midi vrai d'Uccle — Op ware middag van Ukkel | Coucher à Uccle — Ondergang te Ukkel | | | |
| | | h m | h m s | h m | m | | |
| 1 | L | M | 4 57 | 11 42 30,9 | 18 27 | 34 | — 0 06,2 |
| 2 | M | D | 4 58 | 11 42 11,6 | 18 25 | 34 | + 0 13,0 |
| 3 | M | W | 5 00 | 11 41 52,0 | 18 23 | 34 | + 0 32,5 |
| 4 | J | D | 5 01 | 11 41 32,1 | 18 21 | 34 | + 0 52,2 |
| 5 | V | V | 5 03 | 11 41 12,0 | 18 19 | 34 | + 1 12,3 |
| 6 | S | Z | 5 04 | 11 40 51,6 | 18 16 | 34 | + 1 32,5 |
| 7 | D | Z | 5 06 | 11 40 31,0 | 18 14 | 34 | + 1 53,0 |
| 8 | L | M | 5 07 | 11 40 10,3 | 18 12 | 34 | + 2 13,7 |
| 9 | M | D | 5 09 | 11 39 49,3 | 18 10 | 33 | + 2 34,5 |
| 10 | M | W | 5 10 | 11 39 28,3 | 18 07 | 33 | + 2 55,5 |
| 11 | J | D | 5 12 | 11 39 07,1 | 18 05 | 33 | + 3 16,6 |
| 12 | V | V | 5 14 | 11 38 45,9 | 18 03 | 33 | + 3 37,9 |
| 13 | S | Z | 5 15 | 11 38 24,5 | 18 01 | 33 | + 3 59,2 |
| 14 | D | Z | 5 17 | 11 38 03,2 | 17 58 | 33 | + 4 20,5 |
| 15 | L | M | 5 18 | 11 37 41,8 | 17 56 | 33 | + 4 41,9 |
| 16 | M | D | 5 20 | 11 37 20,4 | 17 54 | 33 | + 5 03,3 |
| 17 | M | W | 5 21 | 11 36 58,9 | 17 52 | 33 | + 5 24,7 |
| 18 | J | D | 5 23 | 11 36 37,6 | 17 49 | 33 | + 5 46,1 |
| 19 | V | V | 5 24 | 11 36 16,2 | 17 47 | 33 | + 6 07,5 |
| 20 | S | Z | 5 26 | 11 35 54,9 | 17 45 | 33 | + 6 28,8 |
| 21 | D | Z | 5 27 | 11 35 33,7 | 17 43 | 33 | + 6 50,1 |
| 22 | L | M | 5 29 | 11 35 12,6 | 17 40 | 33 | + 7 11,2 |
| 23 | M | D | 5 31 | 11 34 51,6 | 17 38 | 33 | + 7 32,3 |
| 24 | M | W | 5 32 | 11 34 30,8 | 17 36 | 33 | + 7 53,2 |
| 25 | J | D | 5 34 | 11 34 10,1 | 17 34 | 33 | + 8 14,0 |
| 26 | V | V | 5 35 | 11 33 49,5 | 17 31 | 33 | + 8 34,7 |
| 27 | S | Z | 5 37 | 11 33 29,1 | 17 29 | 33 | + 8 55,1 |
| 28 | D | Z | 5 38 | 11 33 09,0 | 17 27 | 33 | + 9 15,4 |
| 29 | L | M | 5 40 | 11 32 49,0 | 17 25 | 33 | + 9 35,5 |
| 30 | M | D | 5 42 | 11 32 29,3 | 17 22 | 33 | + 9 55,3 |

Les jours décroissent du 31 août au 30 septembre, de 1h 57m.

Van 31 augustus tot 30 september korten de dagen met 1h 57m.

| Jour du mois | A 0 ^h , TEMPS UNIVERSEL — Te 0 ^h WERELDTIJD | | | | | | |
|--------------------|---|--|--------------------------------|---|--------|----------------|----------------|
| | Dag van de maand | Ascension droite — Rechte klimming | Déclinaison — Declinatie | Temps sidéral moyen de Greenwich — Middelbare sterrentijd van Greenwich | P | B _O | L _O |
| | | h m s | ○ / ′ / ″ | h m s | ○ | ○ | ○ |
| 1 | 1 | 10 41 45,3 | + 8 15 32 | 22 41 38,9 | + 21,1 | + 7,2 | 108,0 |
| 2 | 2 | 10 45 22,7 | + 7 53 43 | 22 45 35,4 | + 21,3 | + 7,2 | 94,8 |
| 3 | 3 | 10 48 59,7 | + 7 31 46 | 22 49 32,0 | + 21,6 | + 7,2 | 81,6 |
| 4 | 4 | 10 52 36,5 | + 7 09 42 | 22 53 28,5 | + 21,8 | + 7,2 | 68,4 |
| 5 | 5 | 10 56 13,1 | + 6 47 31 | 22 57 25,1 | + 22,1 | + 7,2 | 55,2 |
| 6 | 6 | 10 59 49,4 | + 6 25 14 | 23 01 21,6 | + 22,3 | + 7,2 | 41,9 |
| 7 | 7 | 11 03 25,4 | + 6 02 50 | 23 05 18,2 | + 22,5 | + 7,2 | 28,7 |
| 8 | 8 | 11 07 01,3 | + 5 40 21 | 23 09 14,7 | + 22,7 | + 7,3 | 15,5 |
| 9 | 9 | 11 10 37,0 | + 5 17 45 | 23 13 11,3 | + 22,9 | + 7,3 | 2,3 |
| 10 | 10 | 11 14 12,6 | + 4 55 05 | 23 17 07,8 | + 23,1 | + 7,2 | 349,1 |
| 11 | 11 | 11 17 48,0 | + 4 32 19 | 23 21 04,4 | + 23,3 | + 7,2 | 335,9 |
| 12 | 12 | 11 21 23,3 | + 4 09 28 | 23 25 01,0 | + 23,5 | + 7,2 | 322,7 |
| 13 | 13 | 11 24 58,6 | + 3 46 33 | 23 28 57,5 | + 23,7 | + 7,2 | 309,5 |
| 14 | 14 | 11 28 33,8 | + 3 23 34 | 23 32 54,1 | + 23,9 | + 7,2 | 296,3 |
| 15 | 15 | 11 32 08,9 | + 3 00 31 | 23 36 50,6 | + 24,1 | + 7,2 | 283,1 |
| 16 | 16 | 11 35 44,1 | + 2 37 24 | 23 40 47,2 | + 24,2 | + 7,2 | 269,9 |
| 17 | 17 | 11 39 19,2 | + 2 14 14 | 23 44 43,7 | + 24,4 | + 7,2 | 256,7 |
| 18 | 18 | 11 42 54,4 | + 1 51 02 | 23 48 40,3 | + 24,5 | + 7,2 | 243,5 |
| 19 | 19 | 11 46 29,6 | + 1 27 46 | 23 52 36,8 | + 24,7 | + 7,1 | 230,3 |
| 20 | 20 | 11 50 04,8 | + 1 04 29 | 23 56 33,4 | + 24,8 | + 7,1 | 217,1 |
| 21 | 21 | 11 53 40,1 | + 0 41 10 | 0 00 30,0 | + 25,0 | + 7,1 | 203,9 |
| 22 | 22 | 11 57 15,5 | + 0 17 50 | 0 04 26,5 | + 25,1 | + 7,1 | 190,7 |
| 23 | 23 | 12 00 51,0 | — 0 05 32 | 0 08 23,1 | + 25,2 | + 7,0 | 177,5 |
| 24 | 24 | 12 04 26,6 | — 0 28 54 | 0 12 19,6 | + 25,3 | + 7,0 | 164,3 |
| 25 | 25 | 12 08 02,4 | — 0 52 16 | 0 16 16,2 | + 25,4 | + 7,0 | 151,1 |
| 26 | 26 | 12 11 38,3 | — 1 15 39 | 0 20 12,7 | + 25,5 | + 6,9 | 137,9 |
| 27 | 27 | 12 15 14,4 | — 1 39 01 | 0 24 09,3 | + 25,6 | + 6,9 | 124,7 |
| 28 | 28 | 12 18 50,6 | — 2 02 22 | 0 28 05,8 | + 25,7 | + 6,9 | 111,5 |
| 29 | 29 | 12 22 27,1 | — 2 25 42 | 0 32 02,4 | + 25,8 | + 6,8 | 98,3 |
| 30 | 30 | 12 26 03,9 | — 2 49 01 | 0 35 59,0 | + 25,9 | + 6,8 | 85,1 |

Le Soleil entre dans le signe de la Balance le 22 septembre à 18^h 19^m.

De zon treedt in het teken Weegschaal op 22 september om 18^h 19^m.

| du mois — van de maand | JOUR — DAG | | TEMPS UNIVERSEL — WERELDTIJD | | | Durée du crépuscule civil à Uccle — Duur der burgerlijke schemering te Ukkel | Equation du temps moyen à 0 ^h UT — Tijdsvereffening van de middelbare tijd te 0 ^h UT |
|------------------------------------|---|--|--|--|-------|--|---|
| | de la semaine — van de week | Lever à Uccle — Opkomst te Ukkel | A midi vrai d'Uccle — Op ware middag van Ukkel | Coucher à Uccle — Ondergang te Ukkel | | | |
| | | h m | h m s | h m | m | m s | |
| 1 | M | W | 5 43 | 11 32 09,9 | 17 20 | 33 | + 10 14,8 |
| 2 | J | D | 5 45 | 11 31 50,7 | 17 18 | 33 | + 10 34,1 |
| 3 | V | V | 5 46 | 11 31 31,9 | 17 16 | 33 | + 10 53,2 |
| 4 | S | Z | 5 48 | 11 31 13,3 | 17 14 | 33 | + 11 11,9 |
| 5 | D | Z | 5 50 | 11 30 55,2 | 17 11 | 33 | + 11 30,2 |
| 6 | L | M | 5 51 | 11 30 37,3 | 17 09 | 33 | + 11 48,2 |
| 7 | M | D | 5 53 | 11 30 19,9 | 17 07 | 33 | + 12 05,8 |
| 8 | M | W | 5 54 | 11 30 02,9 | 17 05 | 33 | + 12 23,0 |
| 9 | J | D | 5 56 | 11 29 46,4 | 17 03 | 33 | + 12 39,8 |
| 10 | V | V | 5 58 | 11 29 30,3 | 17 01 | 33 | + 12 56,1 |
| 11 | S | Z | 5 59 | 11 29 14,7 | 16 58 | 33 | + 13 12,0 |
| 12 | D | Z | 6 01 | 11 28 59,6 | 16 56 | 33 | + 13 27,3 |
| 13 | L | M | 6 03 | 11 28 45,0 | 16 54 | 33 | + 13 42,1 |
| 14 | M | D | 6 04 | 11 28 31,0 | 16 52 | 33 | + 13 56,4 |
| 15 | M | W | 6 06 | 11 28 17,6 | 16 50 | 33 | + 14 10,1 |
| 16 | J | D | 6 07 | 11 28 04,7 | 16 48 | 33 | + 14 23,3 |
| 17 | V | V | 6 09 | 11 27 52,4 | 16 46 | 33 | + 14 35,8 |
| 18 | S | Z | 6 11 | 11 27 40,8 | 16 44 | 33 | + 14 47,8 |
| 19 | D | Z | 6 12 | 11 27 29,8 | 16 42 | 33 | + 14 59,1 |
| 20 | L | M | 6 14 | 11 27 19,4 | 16 40 | 34 | + 15 09,8 |
| 21 | M | D | 6 16 | 11 27 09,6 | 16 38 | 34 | + 15 19,8 |
| 22 | M | W | 6 18 | 11 27 00,6 | 16 36 | 34 | + 15 29,2 |
| 23 | J | D | 6 19 | 11 26 52,2 | 16 34 | 34 | + 15 37,9 |
| 24 | V | V | 6 21 | 11 26 44,5 | 16 32 | 34 | + 15 45,9 |
| 25 | S | Z | 6 23 | 11 26 37,5 | 16 30 | 34 | + 15 53,3 |
| 26 | D | Z | 6 24 | 11 26 31,3 | 16 28 | 34 | + 15 59,9 |
| 27 | L | M | 6 26 | 11 26 25,7 | 16 26 | 34 | + 16 05,8 |
| 28 | M | D | 6 28 | 11 26 20,9 | 16 24 | 34 | + 16 10,9 |
| 29 | M | W | 6 29 | 11 26 16,8 | 16 22 | 34 | + 16 15,4 |
| 30 | J | D | 6 31 | 11 26 13,5 | 16 21 | 34 | + 16 19,0 |
| 31 | V | V | 6 33 | 11 26 11,0 | 16 19 | 35 | + 16 21,9 |

Les jours décroissent du 30 septembre au
31 octobre, de 1h 51m.

Van 30 september tot 31 oktober kor-
ten de dagen met 1h 51m.

| Jour du mois | A 0 ^h , TEMPS UNIVERSEL — Te 0 ^h WERELDTIJD | | | | | | |
|--------------------|---|--|--------------------------------|---|--------|----------------|----------------|
| | Dag van de maand | Ascension droite — Rechte klimming | Déclinaison — Declinatie | Temps sidéral moyen de Greenwich — Middelbare sterrentijd van Greenwich | P | B _O | L _O |
| | | h m s | ○ / ′ / ″ | h m s | ○ | ○ | ○ |
| 1 | 1 | 12 29 40,9 | — 3 12 17 | 0 39 55,5 | + 26,0 | + 6,7 | 71,9 |
| 2 | 2 | 12 33 18,1 | — 3 35 32 | 0 43 52,1 | + 26,0 | + 6,7 | 58,7 |
| 3 | 3 | 12 36 55,7 | — 3 58 44 | 0 47 48,6 | + 26,1 | + 6,6 | 45,5 |
| 4 | 4 | 12 40 33,5 | — 4 21 53 | 0 51 45,2 | + 26,1 | + 6,6 | 32,3 |
| 5 | 5 | 12 44 11,7 | — 4 44 58 | 0 55 41,7 | + 26,2 | + 6,5 | 19,1 |
| 6 | 6 | 12 47 50,3 | — 5 08 01 | 0 59 38,3 | + 26,2 | + 6,5 | 5,9 |
| 7 | 7 | 12 51 29,2 | — 5 30 59 | 1 03 34,8 | + 26,2 | + 6,4 | 352,8 |
| 8 | 8 | 12 55 08,5 | — 5 53 53 | 1 07 31,4 | + 26,2 | + 6,3 | 339,6 |
| 9 | 9 | 12 58 48,3 | — 6 16 42 | 1 11 28,0 | + 26,3 | + 6,3 | 326,4 |
| 10 | 10 | 13 02 28,5 | — 6 39 27 | 1 15 24,5 | + 26,3 | + 6,2 | 313,2 |
| 11 | 11 | 13 06 09,3 | — 7 02 07 | 1 19 21,1 | + 26,3 | + 6,2 | 300,0 |
| 12 | 12 | 13 09 50,5 | — 7 24 41 | 1 23 17,6 | + 26,2 | + 6,1 | 286,8 |
| 13 | 13 | 13 13 32,2 | — 7 47 09 | 1 27 14,2 | + 26,2 | + 6,0 | 273,6 |
| 14 | 14 | 13 17 14,5 | — 8 09 30 | 1 31 10,7 | + 26,2 | + 5,9 | 260,4 |
| 15 | 15 | 13 20 57,3 | — 8 31 45 | 1 35 07,3 | + 26,2 | + 5,9 | 247,2 |
| 16 | 16 | 13 24 40,7 | — 8 53 53 | 1 39 03,8 | + 26,1 | + 5,8 | 234,0 |
| 17 | 17 | 13 28 24,7 | — 9 15 54 | 1 43 00,4 | + 26,1 | + 5,7 | 220,8 |
| 18 | 18 | 13 32 09,3 | — 9 37 46 | 1 46 57,0 | + 26,0 | + 5,6 | 207,6 |
| 19 | 19 | 13 35 54,6 | — 9 59 30 | 1 50 53,5 | + 26,0 | + 5,6 | 194,5 |
| 20 | 20 | 13 39 40,4 | — 10 21 06 | 1 54 50,1 | + 25,9 | + 5,5 | 181,3 |
| 21 | 21 | 13 43 26,9 | — 10 42 32 | 1 58 46,6 | + 25,8 | + 5,4 | 168,1 |
| 22 | 22 | 13 47 14,1 | — 11 03 49 | 2 02 43,2 | + 25,7 | + 5,3 | 154,9 |
| 23 | 23 | 13 51 02,0 | — 11 24 56 | 2 06 39,7 | + 25,6 | + 5,2 | 141,7 |
| 24 | 24 | 13 54 50,5 | — 11 45 52 | 2 10 36,3 | + 25,5 | + 5,1 | 128,5 |
| 25 | 25 | 13 58 39,7 | — 12 06 38 | 2 14 32,8 | + 25,4 | + 5,1 | 115,3 |
| 26 | 26 | 14 02 29,7 | — 12 27 13 | 2 18 29,4 | + 25,3 | + 5,0 | 102,1 |
| 27 | 27 | 14 06 20,3 | — 12 47 36 | 2 22 26,0 | + 25,2 | + 4,9 | 88,9 |
| 28 | 28 | 14 10 11,7 | — 13 07 47 | 2 26 22,5 | + 25,1 | + 4,8 | 75,8 |
| 29 | 29 | 14 14 03,9 | — 13 27 45 | 2 30 19,1 | + 24,9 | + 4,7 | 62,6 |
| 30 | 30 | 14 17 56,8 | — 13 47 31 | 2 34 15,6 | + 24,8 | + 4,6 | 49,4 |
| 31 | 31 | 14 21 50,4 | — 14 07 03 | 2 38 12,2 | + 24,6 | + 4,5 | 36,2 |

Le Soleil entre dans le signe du Scor-
pion le 23 octobre à 3^h 51^m.

De zon treedt in het teken Schorpioen op
23 oktober om 3^h 51^m.

| du mois — van de maand | JOUR — DAG | | TEMPS UNIVERSEL — WERELDTIJD | | | Durée du crépuscule civil à Uccle — Duur der burgerlijke schemering te Ukkel | Equation du temps moyen à 0 ^h UT — Tijdsvereffening van de middelbare tijd te 0 ^h UT |
|------------------------------------|---|--|--|--|-------|--|---|
| | de la semaine — van de week | Lever à Uccle — Opkomst te Ukkel | A midi vrai d'Uccle — Op ware middag van Ukkel | Coucher à Uccle — Ondergang te Ukkel | | | |
| | | h m | h m s | h m | m | | |
| 1 | S | Z | 6 35 | 11 26 09,2 | 16 17 | 35 | + 16 24,1 |
| 2 | D | Z | 6 36 | 11 26 08,2 | 16 15 | 35 | + 16 25,5 |
| 3 | L | M | 6 38 | 11 26 08,0 | 16 14 | 35 | + 16 26,0 |
| 4 | M | D | 6 40 | 11 26 08,6 | 16 12 | 35 | + 16 25,8 |
| 5 | M | W | 6 41 | 11 26 10,1 | 16 10 | 35 | + 16 24,8 |
| 6 | J | D | 6 43 | 11 26 12,3 | 16 09 | 35 | + 16 22,9 |
| 7 | V | V | 6 45 | 11 26 15,4 | 16 07 | 35 | + 16 20,2 |
| 8 | S | Z | 6 47 | 11 26 19,4 | 16 05 | 35 | + 16 16,6 |
| 9 | D | Z | 6 48 | 11 26 24,2 | 16 04 | 36 | + 16 12,2 |
| 10 | L | M | 6 50 | 11 26 29,9 | 16 02 | 36 | + 16 07,0 |
| 11 | M | D | 6 52 | 11 26 36,4 | 16 01 | 36 | + 16 00,8 |
| 12 | M | W | 6 53 | 11 26 43,8 | 16 00 | 36 | + 15 53,9 |
| 13 | J | D | 6 55 | 11 26 52,1 | 15 58 | 36 | + 15 46,0 |
| 14 | V | V | 6 57 | 11 27 01,3 | 15 57 | 36 | + 15 37,2 |
| 15 | S | Z | 6 58 | 11 27 11,3 | 15 55 | 36 | + 15 27,6 |
| 16 | D | Z | 7 00 | 11 27 22,2 | 15 54 | 36 | + 15 17,2 |
| 17 | L | M | 7 02 | 11 27 33,9 | 15 53 | 37 | + 15 05,9 |
| 18 | M | D | 7 03 | 11 27 46,4 | 15 52 | 37 | + 14 53,7 |
| 19 | M | W | 7 05 | 11 27 59,8 | 15 51 | 37 | + 14 40,7 |
| 20 | J | D | 7 07 | 11 28 14,1 | 15 49 | 37 | + 14 26,9 |
| 21 | V | V | 7 08 | 11 28 29,1 | 15 48 | 37 | + 14 12,2 |
| 22 | S | Z | 7 10 | 11 28 44,9 | 15 47 | 37 | + 13 56,8 |
| 23 | D | Z | 7 11 | 11 29 01,5 | 15 46 | 37 | + 13 40,6 |
| 24 | L | M | 7 13 | 11 29 18,9 | 15 45 | 37 | + 13 23,6 |
| 25 | M | D | 7 14 | 11 29 37,0 | 15 44 | 38 | + 13 05,8 |
| 26 | M | W | 7 16 | 11 29 55,9 | 15 44 | 38 | + 12 47,3 |
| 27 | J | D | 7 17 | 11 30 15,4 | 15 43 | 38 | + 12 28,1 |
| 28 | V | V | 7 19 | 11 30 35,7 | 15 42 | 38 | + 12 08,1 |
| 29 | S | Z | 7 20 | 11 30 56,6 | 15 41 | 38 | + 11 47,5 |
| 30 | D | Z | 7 22 | 11 31 18,2 | 15 41 | 38 | + 11 26,3 |

Les jours décroissent du 31 octobre au 30 novembre, de 1h 20m.

Van 31 oktober tot 30 november korte
ten de dagen met 1h 20m.

| Jour du mois | A 0 ^h , TEMPS UNIVERSEL — Te 0 ^h WERELDTIJD | | | | | | |
|--------------------|---|--|--------------------------------|---|--------|----------------|----------------|
| | Dag van de maand | Ascension droite — Rechte klimming | Déclinaison — Declinatie | Temps sidéral moyen de Greenwich — Middelbare sterrentijd van Greenwich | P | B _O | L _O |
| | | h m s | ○ / ′ / ″ | h m s | ○ | ○ | ○ |
| 1 | 1 | 14 25 44,8 | - 14 26 22 | 2 42 08,7 | + 24,4 | + 4,4 | 23,0 |
| 2 | 2 | 14 29 40,0 | - 14 45 27 | 2 46 05,3 | + 24,3 | + 4,3 | 9,8 |
| 3 | 3 | 14 33 36,0 | - 15 04 17 | 2 50 01,8 | + 24,1 | + 4,2 | 356,6 |
| 4 | 4 | 14 37 32,7 | - 15 22 53 | 2 53 58,4 | + 23,9 | + 4,1 | 343,5 |
| 5 | 5 | 14 41 30,3 | - 15 41 13 | 2 57 54,9 | + 23,7 | + 4,0 | 330,3 |
| 6 | 6 | 14 45 28,8 | - 15 59 18 | 3 01 51,5 | + 23,5 | + 3,9 | 317,1 |
| 7 | 7 | 14 49 28,0 | - 16 17 07 | 3 05 48,1 | + 23,3 | + 3,8 | 303,9 |
| 8 | 8 | 14 53 28,1 | - 16 34 40 | 3 09 44,6 | + 23,1 | + 3,6 | 290,7 |
| 9 | 9 | 14 57 29,1 | - 16 51 56 | 3 13 41,2 | + 22,9 | + 3,5 | 277,5 |
| 10 | 10 | 15 01 30,9 | - 17 08 55 | 3 17 37,7 | + 22,6 | + 3,4 | 264,3 |
| 11 | 11 | 15 05 33,6 | - 17 25 37 | 3 21 34,3 | + 22,4 | + 3,3 | 251,2 |
| 12 | 12 | 15 09 37,2 | - 17 42 01 | 3 25 30,8 | + 22,1 | + 3,2 | 238,0 |
| 13 | 13 | 15 13 41,6 | - 17 58 06 | 3 29 27,4 | + 21,9 | + 3,1 | 224,8 |
| 14 | 14 | 15 17 46,9 | - 18 13 53 | 3 33 23,9 | + 21,6 | + 3,0 | 211,6 |
| 15 | 15 | 15 21 53,1 | - 18 29 21 | 3 37 20,5 | + 21,3 | + 2,9 | 198,4 |
| 16 | 16 | 15 26 00,1 | - 18 44 29 | 3 41 17,1 | + 21,1 | + 2,7 | 185,2 |
| 17 | 17 | 15 30 07,9 | - 18 59 18 | 3 45 13,6 | + 20,8 | + 2,6 | 172,1 |
| 18 | 18 | 15 34 16,6 | - 19 13 46 | 3 49 10,2 | + 20,5 | + 2,5 | 158,9 |
| 19 | 19 | 15 38 26,2 | - 19 27 53 | 3 53 06,7 | + 20,2 | + 2,4 | 145,7 |
| 20 | 20 | 15 42 36,6 | - 19 41 39 | 3 57 03,3 | + 19,9 | + 2,3 | 132,5 |
| 21 | 21 | 15 46 47,8 | - 19 55 04 | 4 00 59,8 | + 19,5 | + 2,1 | 119,3 |
| 22 | 22 | 15 50 59,8 | - 20 08 07 | 4 04 56,4 | + 19,2 | + 2,0 | 106,1 |
| 23 | 23 | 15 55 12,6 | - 20 20 48 | 4 08 52,9 | + 18,9 | + 1,9 | 93,0 |
| 24 | 24 | 15 59 26,2 | - 20 33 07 | 4 12 49,5 | + 18,6 | + 1,8 | 79,8 |
| 25 | 25 | 16 03 40,5 | - 20 45 02 | 4 16 46,1 | + 18,2 | + 1,6 | 66,6 |
| 26 | 26 | 16 07 55,5 | - 20 56 34 | 4 20 42,6 | + 17,9 | + 1,5 | 53,4 |
| 27 | 27 | 16 12 11,3 | - 21 07 43 | 4 24 39,2 | + 17,5 | + 1,4 | 40,2 |
| 28 | 28 | 16 16 27,8 | - 21 18 28 | 4 28 35,7 | + 17,1 | + 1,3 | 27,1 |
| 29 | 29 | 16 20 45,0 | - 21 28 48 | 4 32 32,3 | + 16,8 | + 1,1 | 13,9 |
| 30 | 30 | 16 25 02,8 | - 21 38 44 | 4 36 28,8 | + 16,4 | + 1,0 | 0,7 |

Le Soleil entre dans le signe du Sagittaire le 22 novembre à 1^h 36^m.

De zon treedt in het teken Schutter op 22 november om 1^h 36^m.

| JOUR — DAG | | TEMPS UNIVERSEL — WERELDTIJD | | | Durée du crépuscule civil à Uccle | Equation du temps moyen à 0 ^h UT |
|------------------------------------|---|--|--|--|---|---|
| du mois — van de maand | de la semaine — van de week | Lever à Uccle — Opkomst te Ukkel | A midi vrai d'Uccle — Op ware middag van Ukkel | Coucher à Uccle — Ondergang te Ukkel | Duur der burgerlijke schemering te Ukkel | Tijdsvereffening van de middelbare tijd te 0 ^h UT |
| | | h m | h m s | h m | m | m s |
| 1 | L M | 7 23 | 11 31 40,5 | 15 40 | 38 | + 11 04,3 |
| 2 | M D | 7 24 | 11 32 03,3 | 15 39 | 38 | + 10 41,8 |
| 3 | M W | 7 26 | 11 32 26,8 | 15 39 | 38 | + 10 18,6 |
| 4 | J D | 7 27 | 11 32 50,8 | 15 39 | 39 | + 9 54,9 |
| 5 | V V | 7 28 | 11 33 15,4 | 15 38 | 39 | + 9 30,6 |
| 6 | S Z | 7 29 | 11 33 40,5 | 15 38 | 39 | + 9 05,7 |
| 7 | D Z | 7 30 | 11 34 06,2 | 15 37 | 39 | + 8 40,3 |
| 8 | L M | 7 32 | 11 34 32,4 | 15 37 | 39 | + 8 14,4 |
| 9 | M D | 7 33 | 11 34 59,0 | 15 37 | 39 | + 7 48,0 |
| 10 | M W | 7 34 | 11 35 26,1 | 15 37 | 39 | + 7 21,1 |
| 11 | J D | 7 35 | 11 35 53,6 | 15 37 | 39 | + 6 53,8 |
| 12 | V V | 7 36 | 11 36 21,5 | 15 37 | 39 | + 6 26,1 |
| 13 | S Z | 7 37 | 11 36 49,8 | 15 37 | 39 | + 5 58,0 |
| 14 | D Z | 7 38 | 11 37 18,3 | 15 37 | 39 | + 5 29,6 |
| 15 | L M | 7 38 | 11 37 47,2 | 15 37 | 39 | + 5 00,9 |
| 16 | M D | 7 39 | 11 38 16,4 | 15 37 | 39 | + 4 31,8 |
| 17 | M W | 7 40 | 11 38 45,7 | 15 38 | 39 | + 4 02,6 |
| 18 | J D | 7 41 | 11 39 15,3 | 15 38 | 39 | + 3 33,1 |
| 19 | V V | 7 41 | 11 39 45,0 | 15 38 | 39 | + 3 03,5 |
| 20 | S Z | 7 42 | 11 40 14,8 | 15 39 | 39 | + 2 33,8 |
| 21 | D Z | 7 42 | 11 40 44,7 | 15 39 | 39 | + 2 03,9 |
| 22 | L M | 7 43 | 11 41 14,6 | 15 40 | 39 | + 1 34,0 |
| 23 | M D | 7 43 | 11 41 44,5 | 15 40 | 39 | + 1 04,1 |
| 24 | M W | 7 44 | 11 42 14,4 | 15 41 | 39 | + 0 34,2 |
| 25 | J D | 7 44 | 11 42 44,2 | 15 42 | 39 | + 0 04,4 |
| 26 | V V | 7 44 | 11 43 13,9 | 15 42 | 39 | - 0 25,4 |
| 27 | S Z | 7 45 | 11 43 43,4 | 15 43 | 39 | - 0 55,0 |
| 28 | D Z | 7 45 | 11 44 12,8 | 15 44 | 39 | - 1 24,4 |
| 29 | L M | 7 45 | 11 44 41,9 | 15 45 | 39 | - 1 53,6 |
| 30 | M D | 7 45 | 11 45 10,8 | 15 46 | 39 | - 2 22,6 |
| 31 | M W | 7 45 | 11 45 39,4 | 15 47 | 39 | - 2 51,4 |

Les jours décroissent du 30 novembre au 21 décembre, de 0h 20m; ils croissent du 21 au 31 décembre, de 0h 04m.

Van 30 november tot 21 december korten de dagen met 0h 20m; van 21 tot 31 december lengen ze met 0h 04m.

| Jour du mois | A 0 ^h , TEMPS UNIVERSEL — Te 0 ^h WERELDTIJD | | | | | | | |
|--------------------|---|--------------------------------|---|-----------|----------------|----------------|-------|---|
| | Ascension droite — Rechte klimming | Déclinaison — Declinatie | Temps sidéral moyen de Greenwich — Middelbare sterrentijd van Greenwich | P | B _O | L _O | | |
| | | | | | | | | |
| | h m s | ○ | ′ | ″ | h m s | ○ | ○ | ○ |
| 1 | 16 29 21,3 | - | 21 48 16 | 4 40 25,4 | + 16,0 | + 0,9 | 347,5 | |
| 2 | 16 33 40,4 | - | 21 57 22 | 4 44 21,9 | + 15,6 | + 0,8 | 334,3 | |
| 3 | 16 38 00,1 | - | 22 06 03 | 4 48 18,5 | + 15,2 | + 0,6 | 321,2 | |
| 4 | 16 42 20,4 | - | 22 14 18 | 4 52 15,1 | + 14,8 | + 0,5 | 308,0 | |
| 5 | 16 46 41,3 | - | 22 22 08 | 4 56 11,6 | + 14,4 | + 0,4 | 294,8 | |
| 6 | 16 51 02,7 | - | 22 29 31 | 5 00 08,2 | + 14,0 | + 0,3 | 281,6 | |
| 7 | 16 55 24,7 | - | 22 36 29 | 5 04 04,7 | + 13,6 | + 0,1 | 268,5 | |
| 8 | 16 59 47,2 | - | 22 43 00 | 5 08 01,3 | + 13,2 | - 0,0 | 255,3 | |
| 9 | 17 04 10,1 | - | 22 49 04 | 5 11 57,8 | + 12,8 | - 0,1 | 242,1 | |
| 10 | 17 08 33,6 | - | 22 54 42 | 5 15 54,4 | + 12,3 | - 0,3 | 228,9 | |
| 11 | 17 12 57,4 | - | 22 59 52 | 5 19 50,9 | + 11,9 | - 0,4 | 215,7 | |
| 12 | 17 17 21,7 | - | 23 04 35 | 5 23 47,5 | + 11,5 | - 0,5 | 202,6 | |
| 13 | 17 21 46,3 | - | 23 08 51 | 5 27 44,1 | + 11,0 | - 0,6 | 189,4 | |
| 14 | 17 26 11,3 | - | 23 12 39 | 5 31 40,6 | + 10,6 | - 0,8 | 176,2 | |
| 15 | 17 30 36,6 | - | 23 15 59 | 5 35 37,2 | + 10,1 | - 0,9 | 163,0 | |
| 16 | 17 35 02,1 | - | 23 18 51 | 5 39 33,7 | + 9,7 | - 1,0 | 149,9 | |
| 17 | 17 39 28,0 | - | 23 21 16 | 5 43 30,3 | + 9,2 | - 1,2 | 136,7 | |
| 18 | 17 43 54,0 | - | 23 23 12 | 5 47 26,8 | + 8,7 | - 1,3 | 123,5 | |
| 19 | 17 48 20,2 | - | 23 24 40 | 5 51 23,4 | + 8,3 | - 1,4 | 110,3 | |
| 20 | 17 52 46,5 | - | 23 25 40 | 5 55 19,9 | + 7,8 | - 1,5 | 97,2 | |
| 21 | 17 57 12,9 | - | 23 26 12 | 5 59 16,5 | + 7,3 | - 1,7 | 84,0 | |
| 22 | 18 01 39,4 | - | 23 26 16 | 6 03 13,1 | + 6,9 | - 1,8 | 70,8 | |
| 23 | 18 06 05,8 | - | 23 25 51 | 6 07 09,6 | + 6,4 | - 1,9 | 57,7 | |
| 24 | 18 10 32,3 | - | 23 24 58 | 6 11 06,2 | + 5,9 | - 2,0 | 44,5 | |
| 25 | 18 14 58,7 | - | 23 23 37 | 6 15 02,7 | + 5,4 | - 2,2 | 31,3 | |
| 26 | 18 19 25,0 | - | 23 21 47 | 6 18 59,3 | + 5,0 | - 2,3 | 18,1 | |
| 27 | 18 23 51,1 | - | 23 19 30 | 6 22 55,8 | + 4,5 | - 2,4 | 5,0 | |
| 28 | 18 28 17,1 | - | 23 16 44 | 6 26 52,4 | + 4,0 | - 2,5 | 351,8 | |
| 29 | 18 32 42,9 | - | 23 13 30 | 6 30 48,9 | + 3,5 | - 2,6 | 338,6 | |
| 30 | 18 37 08,4 | - | 23 09 49 | 6 34 45,5 | + 3,0 | - 2,8 | 325,5 | |
| 31 | 18 41 33,7 | - | 23 05 39 | 6 38 42,1 | + 2,5 | - 2,9 | 312,3 | |

Le Soleil entre dans le signe du Capricorne le 21 décembre à 15^h 03^m.

De zon treedt in het teken Steenbok op 21 december om 15^h 03^m.

DONNÉES DIVERSES
—
VERSCHEIDENE GEGEVENS

| DATE — DATUM (2024) 2025 (2026) | Longitude du Soleil vrai, équinoxe moyen de la date | Demi- diamètre | Distance à la Terre | Parallaxe horizontale équatoriale | |
|--|--|--------------------------|---------------------------------|---|------|
| | Lengte van de ware zon, middel- bare equinox van de dag | — Halve middellijn | — Afstand tot de aarde | — Equatoriale horizontale parallax | |
| | ○ / | / // | UA — AE | // | |
| Déc. - Dec. | 26 | 274 42,2 | 16 15,74 | 0,983507 | 8,94 |
| Janv. - Jan. | 5 | 284 53,9 | 16 15,92 | 0,983328 | 8,94 |
| | 15 | 295 05,1 | 16 15,63 | 0,983620 | 8,94 |
| | 25 | 305 15,7 | 16 14,75 | 0,984503 | 8,93 |
| Févr. - Febr. | 4 | 315 25,2 | 16 13,47 | 0,985799 | 8,92 |
| | 14 | 325 32,6 | 16 11,80 | 0,987494 | 8,91 |
| | 24 | 335 37,6 | 16 09,68 | 0,989652 | 8,89 |
| Mars - Maart | 6 | 345 40,1 | 16 07,33 | 0,992052 | 8,86 |
| | 16 | 355 39,2 | 16 04,80 | 0,994662 | 8,84 |
| | 26 | 5 35,1 | 16 02,04 | 0,997508 | 8,82 |
| Avril - April | 5 | 15 27,9 | 15 59,31 | 1,000347 | 8,79 |
| | 15 | 25 17,0 | 15 56,63 | 1,003156 | 8,77 |
| | 25 | 35 02,9 | 15 53,97 | 1,005948 | 8,74 |
| Mai - Mei | 5 | 44 45,9 | 15 51,58 | 1,008480 | 8,72 |
| | 15 | 54 25,8 | 15 49,43 | 1,010760 | 8,70 |
| | 25 | 64 03,4 | 15 47,51 | 1,012804 | 8,68 |
| Juin - Juni | 4 | 73 39,1 | 15 46,03 | 1,014393 | 8,67 |
| | 14 | 83 12,8 | 15 44,93 | 1,015576 | 8,66 |
| | 24 | 92 45,7 | 15 44,17 | 1,016388 | 8,65 |
| Juill. - Juli | 4 | 102 18,0 | 15 43,93 | 1,016644 | 8,65 |
| | 14 | 111 50,0 | 15 44,12 | 1,016442 | 8,65 |
| | 24 | 121 22,7 | 15 44,68 | 1,015842 | 8,66 |
| Août - Aug. | 3 | 130 56,4 | 15 45,75 | 1,014695 | 8,67 |
| | 13 | 140 31,4 | 15 47,19 | 1,013154 | 8,68 |
| | 23 | 150 08,5 | 15 48,93 | 1,011293 | 8,70 |
| Sept. - Sept. | 2 | 159 48,1 | 15 51,08 | 1,009010 | 8,72 |
| | 12 | 169 30,1 | 15 53,45 | 1,006496 | 8,74 |
| | 22 | 179 15,5 | 15 55,97 | 1,003839 | 8,76 |

| DATE — DATUM (2024) 2025 (2026) | Longitude du Soleil vrai, équinoxe moyen de la date | Demi- diamètre | Distance à la Terre | Parallaxe horizontale équatoriale | |
|--|---|--------------------------|---------------------------------|---|------|
| | — Lengte van de ware zon, middel- bare equinox van de dag | — Halve middellijn | — Afstand tot de aarde | — Equatoriale horizontale parallax | |
| | ○ / | / // | UA — AE | // | |
| Oct. - Okt. | 2 | 189 04,0 | 15 58,72 | 1,000970 | 8,79 |
| | 12 | 198 55,7 | 16 01,46 | 0,998108 | 8,81 |
| | 22 | 208 51,0 | 16 04,14 | 0,995337 | 8,84 |
| Nov. - Nov. | 1 | 218 49,6 | 16 06,79 | 0,992607 | 8,86 |
| | 11 | 228 51,1 | 16 09,20 | 0,990144 | 8,88 |
| | 21 | 238 55,7 | 16 11,30 | 0,988005 | 8,90 |
| Déc. - Dec. | 1 | 249 02,7 | 16 13,14 | 0,986137 | 8,92 |
| | 11 | 259 11,4 | 16 14,51 | 0,984746 | 8,93 |
| | 21 | 269 21,9 | 16 15,40 | 0,983845 | 8,94 |
| Janv. - Jan. | 31 | 279 33,2 | 16 15,90 | 0,983348 | 8,94 |
| | 10 | 289 44,5 | 16 15,82 | 0,983426 | 8,94 |

ROTATIONS SOLAIRES SYNODIQUES POUR 2025

SYNODISCHE ZONNEWENTELINGEN VOOR 2025

| Nº — Nr. | Début des rotations — Begin van de wentelingen |
|----------|--|
| 2292 | 2024 Décembre – December 10,49 |
| 2293 | 2025 Janvier – Januari 6,82 |
| 2294 | Février – Februari 3,16 |
| 2295 | Mars – Maart 2,50 |
| 2296 | Mars – Maart 29,81 |
| 2297 | Avril – April 26,08 |
| 2298 | Mai – Mei 23,31 |
| 2299 | Juin – Juni 19,51 |
| 2300 | JUILLET – JULI 16,71 |
| 2301 | Août – Augustus 12,93 |
| 2302 | Septembre – September 9,18 |
| 2303 | Octobre – Oktober 6,45 |
| 2304 | Novembre – November 2,74 |
| 2305 | Novembre – November 30,05 |
| 2306 | Décembre – December 27,38 |
| 2307 | 2026 Janvier – Januari 23,71 |

LA LUNE

GÉNÉRALITÉS

| | |
|--|---|
| Diamètre apparent moyen ... | 31' 05'' |
| Rayon ... | 1738 km = 0,272 481 fois celui de la Terre |
| Volume ... | 0,020 fois celui de la Terre |
| Masse ... | 0,012 300 02 fois celle de la Terre = $7,3483 \times 10^{22}$ kg |
| Densité moyenne ... | 0,606 fois celle de la Terre = 3,33 fois celle de l'eau |
| | |
| Pesanteur, la pesanteur à l'équateur de la Terre étant 1 | 0,166 |
| Vitesse de libération ... | 2,4 km/s |
| Surface de la Lune perpétuellement invisible ... | 41 % |
| Libration en longitude ... | 7° 54' |
| Libration en latitude ... | 6° 50' |
| Libration diurne ... | 1° 02' |
| Albédo ... | 0,073 |
| Indice de couleur (<i>B – V</i>) ... | + 0 ^m ,9 |
| Magnitude stellaire photovisuelle (<i>V</i>) à la Pleine Lune ... | -12 ^m ,7 |
| Parallaxe horizontale équatoriale à la distance moyenne ... | 57' 02'',6 |
| Distance moyenne du centre de la Terre au centre de la Lune ... | 384 400 km |
| Angle de l'équateur de la Lune et de l'orbite de la Lune ... | 6° 41' |
| Inclinaison de l'équateur de la Lune sur l'écliptique ... | 1° 32' |
| Inclinaison moyenne du plan de l'orbite sur l'écliptique ... | 5° 08' 43'',4 |
| Excentricité de l'orbite ... | 0,0549 |
| Longitude moyenne du noeud ascendant le 1 ^{er} janvier 2025 à 0 ^h UT | 1°,497 |
| Moyen mouvement diurne tropique du noeud ... | -0°,0530 |
| Révolution sidérale du noeud ... | 6793,5 jours |
| Longitude moyenne du périhélie le 1 ^{er} janvier 2025 à 0 ^h UT ... | 20°,634 |
| Moyen mouvement diurne tropique du périhélie ... | + 0°,1114 |
| Révolution sidérale du périhélie ... | 3232,6 jours |

DE MAAN

ALGEMEENHEDEN

| | |
|---|--|
| Schijnbare gemiddelde middellijn ... | 31' 05'' |
| Straal ... | 1738 km = 0,272 481 maal die van de aarde |
| Volume ... | 0,020 maal dat van de aarde |
| Massa ... | 0,012 300 02 maal die van de aarde = $7,3483 \times 10^{22}$ kg |
| Gemiddelde dichtheid ... | 0,606 maal die van de aarde = 3,33 maal die van water |
| | |
| Zwaartekracht, als de zwaartekracht aan de evenaar van de aarde één is ... | 0,166 |
| Ontsnapingsnelheid ... | 2,4 km/s |
| Steeds onzichtbaar oppervlak van de maan ... | 41 % |
| Libratie in lengte ... | 7° 54' |
| Libratie in breedte ... | 6° 50' |
| Dagelijkse libratie ... | 1° 02' |
| Albedo ... | 0,073 |
| Kleurindex (<i>B – V</i>) ... | + 0 ^m ,9 |
| Fotovisuele stellaire magnitud (V) bij volle maan ... | -12 ^m ,7 |
| Equatoriale horizontale parallax op de gemiddelde afstand ... | 57' 02'',6 |
| Gemiddelde afstand van het middelpunt van de aarde tot het middelpunt van de maan ... | 384 400 km |
| Helling van de maanequator op het baanvlak van de maan ... | 6° 41' |
| Helling van de maanequator op de ecliptica ... | 1° 32' |
| Middelbare helling van het baanvlak op de ecliptica ... | 5° 08' 43'',4 |
| Baanexcentriciteit ... | 0,0549 |
| Middelbare lengte van de klimmende knoop op 1 januari 2025 te 0 ^h UT ... | 1°,497 |
| Gemiddelde dagelijkse tropische beweging van de knoop ... | -0°,0530 |
| Siderische omloopstijd van de knoop ... | 6793,5 dagen |
| Middelbare lengte van het perigeum op 1 januari 2025 te 0 ^h UT ... | 20°,634 |
| Gemiddelde dagelijkse tropische beweging van het perigeum ... | + 0°,1114 |
| Siderische omloopstijd van het perigeum ... | 3232,6 dagen |

| | |
|--|--------------------------------------|
| Révolution sidérale | 27,321 661 jours = 27d 07h 43m 11s,5 |
| Révolution tropique | 27,321 582 jours = 27d 07h 43m 04s,7 |
| Révolution synodique | 29,530 589 jours = 29d 12h 44m 02s,9 |
| Révolution anomalistique | 27,554 551 jours = 27d 13h 18m 33s,2 |
| Révolution draconitique | 27,212 220 jours = 27d 05h 05m 35s,8 |

TABLEAUX MENSUELS

Les *deux premières colonnes* indiquent les jours du mois et de la semaine.

Les *troisième, quatrième et cinquième* colonnes renferment, en temps universel et à la minute près, l'heure du lever apparent, du passage au méridien et du coucher apparent de la Lune, à Uccle. Pour les autres localités de la Belgique, on appliquera une correction de longitude, puis une correction de latitude calculée à l'aide de la table 3 (voir page 218).

Le lever et le coucher, calculés en tenant compte de la réfraction et de la parallaxe, se rapportent au bord supérieur du disque lunaire. Le passage au méridien se rapporte au centre du disque.

La *sixième* colonne donne l'âge de la Lune, pour chaque jour à 0^h temps universel. Il indique le nombre de jours écoulés depuis la nouvelle Lune.

La *septième* colonne renferme la longitude sélenographique du plan du terminateur (le grand cercle séparant, sur la Lune, l'hémisphère éclairé de l'hémisphère obscur), comptée dans le plan équatorial de la Lune, à partir du plan méridien lunaire contenant la direction du centre de la Terre.

Ces longitudes sont comptées positivement vers l'ouest et négativement vers l'est. Elles sont données pour chaque jour, à 0^h UT. Pour n'importe quelle heure du jour, la longitude s'obtient par une simple interpolation linéaire.

L'indication «l. op.» signifie qu'il s'agit de la partie du terminateur d'où un observateur lunaire assisterait au lever du Soleil (période allant de la nouvelle Lune à la pleine Lune); l'indication «c. on.» signifie par contre qu'il s'agit de la partie du terminateur d'où un observateur lunaire assisterait au coucher du Soleil (période allant de la pleine Lune à la nouvelle Lune).

Ainsi, suivant le signe de la longitude sélenographique du terminateur et pour chacune des deux indications «l. op.» et «c. on.», on a les quatre cas suivants:

| | |
|--|--------------------------------------|
| Siderische omloopstijd | 27,321 661 dagen = 27d 07h 43m 11s,5 |
| Tropische omloopstijd | 27,321 582 dagen = 27d 07h 43m 04s,7 |
| Synodische omloopstijd | 29,530 589 dagen = 29d 12h 44m 02s,9 |
| Anomalistische omloopstijd | 27,554 551 dagen = 27d 13h 18m 33s,2 |
| Draconitische omloopstijd | 27,212 220 dagen = 27d 05h 05m 35s,8 |

MAANDELIJKE TABELLEN

De *eerste twee kolommen* geven de dagen van de maand en van de week.

De *derde, vierde en vijfde* kolom leveren respectievelijk, in Wereldtijd en op één minuut na, het tijdstip van de schijnbare opkomst, van de doorgang door de meridiaan en van de schijnbare ondergang van de maan, te Ukkel. Voor de andere plaatsen van België, zal men eerst een correctie toepassen voor het lengteverschil, daarna een correctie voor het breedteverschil door gebruik te maken van tafel 3 (zie blz. 219).

De opkomst en de ondergang hebben betrekking op de bovenrand van de maanschijf, rekening houdend met de straalbreking en de parallax. De doorgang door de meridiaan betreft het middelpunt van de maanschijf.

De *zesde kolom* geeft de ouderdom van de maan, voor iedere dag te 0^h Wereldtijd. Zij duidt het aantal dagen aan, verlopen sinds de nieuwe maan.

De *zevende kolom* geeft de waarde van de selenografische lengte van het terminatorvlak (de grote cirkel die op de maan het verlichte halfrond scheidt van het niet-verlichte), gerekend in het equatorvlak van de maan, vanaf het meridiaanvlak van de maan dat door het centrum van de aarde gaat.

Deze lengten zijn positief ten westen en negatief ten oosten van deze beginmeridiaan. Ze zijn voor elke dag aangegeven, te 0^h UT. Voor een willekeurig uur van de dag kan men de lengte bekomen door eenvoudige lineaire interpolatie.

De afkorting «l. op.» duidt aan dat een waarnemer, die zich op dit gedeelte van de terminator bevindt, de zon ziet opkomen (periode van nieuwe maan tot volle maan); de afkorting «c. on.» betekent daarentegen dat een waarnemer, die zich op dit gedeelte van de terminator bevindt, de zon ziet ondergaan (periode van volle maan tot nieuwe maan).

Naargelang het teken van de selenografische lengte van de terminator en de afkortingen «l. op.» en «c. on.», zijn de volgende vier gevallen mogelijk:

| | | |
|-------------|---------------------|-----------------------|
| + et l. op. | | de la N. L. au P. Q., |
| - et l. op. | | du P. Q. à la P. L., |
| + et c. on. | | de la P. L. au D. Q., |
| - et c. on. | | du D. Q. à la N. L., |

La huitième colonne répète la date du mois.

La neuvième et la dixième colonne renferment l'ascension droite et la déclinaison géocentrique apparente du centre de la Lune, à 0^h UT, pour l'équinoxe moyen de la date.

La onzième colonne indique la fraction illuminée du disque lunaire, à 0^h UT.

La douzième et la treizième colonne donnent respectivement le demi-diamètre apparent géocentrique et la parallaxe horizontale équatoriale de la Lune, à 0^h UT. Le premier élément sert à déterminer la déclinaison du centre, lorsqu'on a observé le bord Nord ou le bord Sud et le second est utilisé pour passer de la déclinaison observée à la déclinaison géocentrique ou réciprocement.

De la parallaxe horizontale équatoriale, on peut déduire la distance de la Lune à la Terre à l'aide de la table suivante:

| Parallaxe | Distance | Parallaxe | Distance | Parallaxe | Distance |
|-----------|----------|-----------|----------|-----------|----------|
| / " | km | / " | km | / " | km |
| 52 00 | 421 690 | 56 00 | 391 570 | 60 00 | 365 470 |
| 53 00 | 413 730 | 57 00 | 384 700 | 61 00 | 359 480 |
| 54 00 | 406 070 | 58 00 | 378 070 | 62 00 | 353 680 |
| 55 00 | 398 690 | 59 00 | 371 660 | | |

Enfin, les phases lunaires sont indiquées au bas de la page de gauche; au bas de celle de droite sont donnés les instants des passages de notre satellite au périhélie et à l'apogée, c'est-à-dire respectivement à la plus petite et à la plus grande distance de la Terre. Les codes utilisés pour les phases lunaires sont:

| | | | |
|-------|------------------|-------|------------------|
| P. Q. | Premier quartier | D. Q. | Dernier quartier |
| P. L. | Pleine Lune | N. L. | Nouvelle Lune |

Les dates des Nouvelles Lunes sont précédées du numéro de la lunaison qui commence. Cette numérotation a été proposée en 1933 par E. W. Brown; la lunaison n° 1 est celle qui a commencé le 17 janvier 1923.

| | | |
|-------------|---------------------|---------------------|
| + en l. op. | | van N. M. tot E. K. |
| - en l. op. | | van E. K. tot V. M. |
| + en c. on. | | van V. M. tot L. K. |
| - en c. on. | | van L. K. tot N. M. |

In de *achtste kolom* wordt de datum van de maand herhaald.

De *negende en tiende kolom* bevatten de schijnbare geocentrische rechte klimming en declinatie van het middelpunt van de maan te 0^h UT voor de middelbare equinox van de dag.

De *elfde kolom* geeft het verlichte gedeelte van de maanschijf aan te 0^h UT.

De *twaalfde en de dertiende kolom* geven respectievelijk de geocentrische schijnbare halve middellijn en de equatoriale horizontale parallax te 0^h UT. Het eerste element dient om uit de declinatie van de waargenomen rand (N of S) de declinatie van het middelpunt af te leiden en het tweede om de waargenomen declinatie tot de geocentrische declinatie te herleiden en omgekeerd.

Van de equatoriale horizontale parallax kan men, met behulp van de volgende tabel, de afstand van de maan tot de aarde afleiden:

| Parallax | Afstand | Parallax | Afstand | Parallax | Afstand |
|----------|---------|----------|---------|----------|---------|
| / " | km | / " | km | / " | km |
| 52 00 | 421 690 | 56 00 | 391 570 | 60 00 | 365 470 |
| 53 00 | 413 730 | 57 00 | 384 700 | 61 00 | 359 480 |
| 54 00 | 406 070 | 58 00 | 378 070 | 62 00 | 353 680 |
| 55 00 | 398 690 | 59 00 | 371 660 | | |

Tenslotte vindt men onderaan: links, de schijngestalten van de maan; rechts, de ogenblikken waarop onze satelliet in het perigeum of het apogeum staat, d. w. z. wanneer hij de kleinste of de grootste afstand tot de aarde bereikt. De gebruikte codes voor de maanfasen zijn:

| | | | |
|-------|-----------------|-------|------------------|
| E. K. | Eerste kwartier | L. K. | Laatste kwartier |
| V. M. | Volle maan | N. M. | Nieuwe maan |

De datum van elke nieuwe maan wordt voorafgegaan door het nummer van de beginnende lunatie. Deze nummering werd in 1933 voorgesteld door E. W. Brown, waarbij het nummer 1 werd gegeven aan de lunatie die op 17 januari 1923 begon.

| JOUR — DAG | | TEMPS UNIVERSEL — WERELDTIJD | | | A 0 ^h UT — Te 0 ^h UT | |
|------------------------------|-----------------------------------|---|-------|-------|--|--------------------------------|
| du mois — van de maand | de la semaine — van de week | Lever, passage au méridien et coucher à Uccle — Opkomst, doorgang door de meridiaan en ondergang te Ukkel | | | Age — Ouderdom | Terminateur — Terminator |
| | | h m | h m | h m | d | o |
| 1 | M W | 9 25 | 13 15 | 17 15 | 1,1 | + 76,8 l. op. |
| 2 | J D | 9 50 | 14 09 | 18 40 | 2,1 | + 64,2 |
| 3 | V V | 10 09 | 15 00 | 20 05 | 3,1 | + 51,5 |
| 4 | S Z | 10 24 | 15 48 | 21 29 | 4,1 | + 38,7 |
| 5 | D Z | 10 37 | 16 36 | 22 52 | 5,1 | + 25,8 |
| 6 | L M | 10 50 | 17 23 | — | 6,1 | + 12,9 |
| 7 | M D | 11 03 | 18 12 | 0 15 | 7,1 | — 0,1 |
| 8 | M W | 11 20 | 19 03 | 1 41 | 8,1 | — 13,2 |
| 9 | J D | 11 41 | 19 59 | 3 09 | 9,1 | — 26,3 |
| 10 | V V | 12 11 | 20 58 | 4 36 | 10,1 | — 39,4 |
| 11 | S Z | 12 55 | 21 59 | 5 58 | 11,1 | — 52,5 |
| 12 | D Z | 13 54 | 23 00 | 7 07 | 12,1 | — 65,5 |
| 13 | L M | 15 08 | 23 58 | 7 57 | 13,1 | — 78,3 l. op. |
| 14 | M D | 16 28 | — | 8 32 | 14,1 | + 89,1 c. on. |
| 15 | M W | 17 49 | 0 52 | 8 56 | 15,1 | + 76,9 |
| 16 | J D | 19 07 | 1 41 | 9 14 | 16,1 | + 65,0 |
| 17 | V V | 20 21 | 2 26 | 9 27 | 17,1 | + 53,4 |
| 18 | S Z | 21 32 | 3 08 | 9 39 | 18,1 | + 42,1 |
| 19 | D Z | 22 41 | 3 48 | 9 49 | 19,1 | + 31,1 |
| 20 | L M | 23 50 | 4 27 | 9 59 | 20,1 | + 20,2 |
| 21 | M D | — | 5 07 | 10 11 | 21,1 | + 9,4 |
| 22 | M W | 1 01 | 5 48 | 10 24 | 22,1 | — 1,3 |
| 23 | J D | 2 14 | 6 32 | 10 41 | 23,1 | — 12,2 |
| 24 | V V | 3 29 | 7 20 | 11 05 | 24,1 | — 23,3 |
| 25 | S Z | 4 41 | 8 12 | 11 39 | 25,1 | — 34,6 |
| 26 | D Z | 5 48 | 9 08 | 12 27 | 26,1 | — 46,2 |
| 27 | L M | 6 42 | 10 05 | 13 32 | 27,1 | — 58,2 |
| 28 | M D | 7 23 | 11 03 | 14 50 | 28,1 | — 70,6 |
| 29 | M W | 7 52 | 11 59 | 16 16 | 29,1 | — 83,3 c. on. |
| 30 | J D | 8 13 | 12 52 | 17 44 | 0,5 | + 83,7 l. op. |
| 31 | V V | 8 30 | 13 43 | 19 11 | 1,5 | + 70,6 l. op. |

P. Q. le 6 janv. à 23^h 56^m.
 P. L. le 13 janv. à 22^h 27^m.
 D. Q. le 21 janv. à 20^h 31^m.
 1263 N. L. le 29 janv. à 12^h 36^m.

E. K. op 6 jan. om 23^h 56^m.
 V. M. op 13 jan. om 22^h 27^m.
 L. K. op 21 jan. om 20^h 31^m.
 N. M. op 29 jan. om 12^h 36^m.

| Jour du mois — Dag van de maand | A 0 ^h , TEMPS UNIVERSEL — Te 0 ^h WERELDTIJD | | | | |
|---|---|--------------------------------|--|---|--|
| | Ascension droite — Rechte klimming | Déclinaison — Declinatie | Fraction illuminée — Verlicht gedeelte | Demi- diamètre — Halve middellijn | Parallaxe horizontale — Horizontale parallax |
| | | | h m s | o / | / // |
| 1 | 19 46 43 | — 25 51,6 | 0,01 | 15 39 | 57 26 |
| 2 | 20 43 53 | — 22 17,6 | 0,05 | 15 47 | 57 55 |
| 3 | 21 38 29 | — 17 28,2 | 0,11 | 15 54 | 58 20 |
| 4 | 22 30 35 | — 11 42,0 | 0,19 | 15 59 | 58 40 |
| 5 | 23 20 50 | — 5 18,9 | 0,28 | 16 03 | 58 55 |
| 6 | 0 10 20 | + 1 21,5 | 0,39 | 16 06 | 59 05 |
| 7 | 1 00 19 | + 7 59,8 | 0,50 | 16 08 | 59 12 |
| 8 | 1 52 01 | + 14 15,8 | 0,61 | 16 08 | 59 14 |
| 9 | 2 46 32 | + 19 48,0 | 0,72 | 16 08 | 59 12 |
| 10 | 3 44 28 | + 24 14,0 | 0,82 | 16 06 | 59 04 |
| 11 | 4 45 33 | + 27 12,1 | 0,90 | 16 02 | 58 49 |
| 12 | 5 48 26 | + 28 26,7 | 0,95 | 15 56 | 58 28 |
| 13 | 6 50 56 | + 27 52,7 | 0,99 | 15 48 | 58 00 |
| 14 | 7 50 50 | + 25 38,5 | 1,00 | 15 39 | 57 27 |
| 15 | 8 46 43 | + 22 02,0 | 0,99 | 15 29 | 56 50 |
| 16 | 9 38 17 | + 17 25,3 | 0,95 | 15 19 | 56 13 |
| 17 | 10 25 59 | + 12 09,4 | 0,90 | 15 09 | 55 36 |
| 18 | 11 10 44 | + 6 31,9 | 0,84 | 15 00 | 55 04 |
| 19 | 11 53 37 | + 0 46,7 | 0,76 | 14 53 | 54 39 |
| 20 | 12 35 45 | — 4 55,1 | 0,67 | 14 49 | 54 22 |
| 21 | 13 18 13 | — 10 24,0 | 0,58 | 14 47 | 54 14 |
| 22 | 14 02 02 | — 15 30,8 | 0,49 | 14 48 | 54 17 |
| 23 | 14 48 13 | — 20 05,0 | 0,39 | 14 51 | 54 31 |
| 24 | 15 37 31 | — 23 54,3 | 0,30 | 14 58 | 54 55 |
| 25 | 16 30 24 | — 26 43,9 | 0,22 | 15 07 | 55 27 |
| 26 | 17 26 40 | — 28 18,2 | 0,14 | 15 17 | 56 07 |
| 27 | 18 25 22 | — 28 23,2 | 0,08 | 15 29 | 56 50 |
| 28 | 19 24 55 | — 26 50,9 | 0,03 | 15 41 | 57 34 |
| 29 | 20 23 36 | — 23 42,6 | 0,00 | 15 53 | 58 16 |
| 30 | 21 20 12 | — 19 08,9 | 0,00 | 16 02 | 58 51 |
| 31 | 22 14 22 | — 13 27,7 | 0,03 | 16 10 | 59 18 |

Périgée le 8 janv. à 0^h.
 Apogée le 21 janv. à 5^h.
 Perigeum op 8 jan. om 0^h.
 Apogee op 21 jan. om 5^h.

| JOUR — DAG | | TEMPS UNIVERSEL — WERELDTIJD | | | A 0 ^h UT — Te 0 ^h UT | |
|------------------------------|-----------------------------------|--|-------|-------|--|--------------------------------|
| du mois — van de maand | de la semaine — van de week | Lever, passage au méridien et coucher à Uccle | | | Age — Ouderdom | Terminateur — Terminator |
| | | Opkomst, doorgang door de meridiaan en ondergang te Ukkel | | | | |
| | | h m | h m | h m | d | o |
| 1 | S Z | 8 44 | 14 32 | 20 37 | 2,5 | + 57,3 l. op. |
| 2 | D Z | 8 57 | 15 20 | 22 02 | 3,5 | + 44,0 |
| 3 | L M | 9 10 | 16 09 | 23 28 | 4,5 | + 30,7 |
| 4 | M D | 9 26 | 17 00 | — | 5,5 | + 17,5 |
| 5 | M W | 9 45 | 17 54 | 0 56 | 6,5 | + 4,3 |
| 6 | J D | 10 12 | 18 51 | 2 24 | 7,5 | — 8,7 |
| 7 | V V | 10 50 | 19 51 | 3 47 | 8,5 | — 21,6 |
| 8 | S Z | 11 42 | 20 51 | 4 59 | 9,5 | — 34,3 |
| 9 | D Z | 12 50 | 21 49 | 5 54 | 10,5 | — 46,9 |
| 10 | L M | 14 08 | 22 43 | 6 33 | 11,5 | — 59,3 |
| 11 | M D | 15 28 | 23 34 | 7 00 | 12,5 | — 71,4 |
| 12 | M W | 16 47 | — | 7 19 | 13,5 | — 83,3 l. op. |
| 13 | J D | 18 02 | 0 20 | 7 34 | 14,5 | + 85,1 c. on. |
| 14 | V V | 19 15 | 1 03 | 7 46 | 15,5 | + 73,7 |
| 15 | S Z | 20 25 | 1 43 | 7 56 | 16,5 | + 62,5 |
| 16 | D Z | 21 35 | 2 23 | 8 06 | 17,5 | + 51,6 |
| 17 | L M | 22 45 | 3 02 | 8 17 | 18,5 | + 40,7 |
| 18 | M D | 23 57 | 3 43 | 8 29 | 19,5 | + 29,9 |
| 19 | M W | — | 4 26 | 8 45 | 20,5 | + 19,2 |
| 20 | J D | 1 10 | 5 12 | 9 05 | 21,5 | + 8,3 |
| 21 | V V | 2 24 | 6 01 | 9 33 | 22,5 | — 2,8 |
| 22 | S Z | 3 32 | 6 54 | 10 13 | 23,5 | — 14,1 |
| 23 | D Z | 4 31 | 7 50 | 11 10 | 24,5 | — 25,7 |
| 24 | L M | 5 18 | 8 47 | 12 21 | 25,5 | — 37,7 |
| 25 | M D | 5 51 | 9 43 | 13 44 | 26,5 | — 50,1 |
| 26 | M W | 6 16 | 10 38 | 15 12 | 27,5 | — 62,9 |
| 27 | J D | 6 34 | 11 30 | 16 41 | 28,5 | — 76,1 |
| 28 | V V | 6 49 | 12 21 | 18 10 | 29,5 | — 89,6 c. on. |

P. Q. le 5 févr. à 8^h 02^m.
 P. L. le 12 févr. à 13^h 53^m.
 D. Q. le 20 févr. à 17^h 33^m.
 N. L. le 28 févr. à 0^h 45^m.

1264 1264 E. K. op 5 febr. om 8^h 02^m.
 V. M. op 12 febr. om 13^h 53^m.
 L. K. op 20 febr. om 17^h 33^m.
 N. M. op 28 febr. om 0^h 45^m.

| Jour du mois — Dag van de maand | A 0 ^h , TEMPS UNIVERSEL — Te 0 ^h WERELDTIJD | | | | |
|---------------------------------------|---|--------------------------------|--|--|--|
| | Ascension droite — Rechte klimming | Déclinaison — Declinatie | Fraction illuminée — Verlicht gedeelte | Demi-diamètre — Halve middellijn | Parallaxe horizontale — Horizontale parallax |
| | | | h m s | ° / | / // |
| 1 | 23 06 26 | — 7 00,8 | 0,08 | 16 14 | 59 34 |
| 2 | 23 57 17 | — 0 10,9 | 0,15 | 16 16 | 59 40 |
| 3 | 0 48 01 | + 6 39,1 | 0,25 | 16 15 | 59 37 |
| 4 | 1 39 51 | + 13 07,3 | 0,35 | 16 12 | 59 26 |
| 5 | 2 33 49 | + 18 52,0 | 0,46 | 16 07 | 59 09 |
| 6 | 3 30 35 | + 23 32,1 | 0,58 | 16 02 | 58 49 |
| 7 | 4 30 09 | + 26 48,4 | 0,68 | 15 55 | 58 26 |
| 8 | 5 31 32 | + 28 26,4 | 0,78 | 15 48 | 58 01 |
| 9 | 6 33 00 | + 28 20,1 | 0,86 | 15 41 | 57 34 |
| 10 | 7 32 34 | + 26 34,2 | 0,93 | 15 34 | 57 06 |
| 11 | 8 28 47 | + 23 22,5 | 0,97 | 15 26 | 56 37 |
| 12 | 9 21 05 | + 19 04,1 | 1,00 | 15 18 | 56 08 |
| 13 | 10 09 40 | + 13 59,0 | 1,00 | 15 10 | 55 39 |
| 14 | 10 55 16 | + 8 25,3 | 0,98 | 15 02 | 55 11 |
| 15 | 11 38 47 | + 2 38,5 | 0,94 | 14 56 | 54 47 |
| 16 | 12 21 15 | — 3 08,9 | 0,89 | 14 50 | 54 27 |
| 17 | 13 03 40 | — 8 45,8 | 0,83 | 14 47 | 54 14 |
| 18 | 13 46 59 | — 14 02,2 | 0,75 | 14 45 | 54 09 |
| 19 | 14 32 09 | — 18 48,0 | 0,66 | 14 47 | 54 14 |
| 20 | 15 19 57 | — 22 52,0 | 0,57 | 14 51 | 54 28 |
| 21 | 16 10 54 | — 26 01,3 | 0,48 | 14 57 | 54 53 |
| 22 | 17 05 07 | — 28 02,1 | 0,38 | 15 07 | 55 27 |
| 23 | 18 02 04 | — 28 40,7 | 0,28 | 15 18 | 56 11 |
| 24 | 19 00 34 | — 27 47,2 | 0,20 | 15 32 | 57 00 |
| 25 | 19 59 10 | — 25 17,7 | 0,12 | 15 46 | 57 53 |
| 26 | 20 56 33 | — 21 16,9 | 0,06 | 16 00 | 58 45 |
| 27 | 21 52 03 | — 15 57,5 | 0,02 | 16 13 | 59 31 |
| 28 | 22 45 44 | — 9 38,3 | 0,00 | 16 23 | 60 07 |

Périgée le 2 févr. à 3^h.
 Apogée le 18 févr. à 1^h.
 Perigeum op 2 febr. om 3^h.
 Apogee op 18 febr. om 1^h.

| JOUR — DAG | | TEMPS UNIVERSEL — WERELDTIJD | | | A 0 ^h UT — Te 0 ^h UT | |
|------------------------------|-----------------------------------|---|-------|-------|--|--------------------------------|
| du mois — van de maand | de la semaine — van de week | Lever, passage au méridien et coucher à Uccle — Opkomst, doorgang door de meridiaan en ondergang te Ukkel | | | Age — Ouderdom | Terminateur — Terminator |
| | | h m | h m | h m | d | o |
| 1 | S Z | 7 03 | 13 11 | 19 38 | 1,0 | + 76,7 l. op. |
| 2 | D Z | 7 16 | 14 01 | 21 07 | 2,0 | + 62,9 |
| 3 | L M | 7 31 | 14 53 | 22 38 | 3,0 | + 49,1 |
| 4 | M D | 7 50 | 15 48 | — | 4,0 | + 35,5 |
| 5 | M W | 8 14 | 16 45 | 0 09 | 5,0 | + 22,0 |
| 6 | J D | 8 48 | 17 45 | 1 36 | 6,0 | + 8,8 |
| 7 | V V | 9 36 | 18 45 | 2 53 | 7,0 | - 4,1 |
| 8 | S Z | 10 40 | 19 44 | 3 53 | 8,0 | - 16,7 |
| 9 | D Z | 11 55 | 20 39 | 4 36 | 9,0 | - 29,0 |
| 10 | L M | 13 14 | 21 30 | 5 05 | 10,0 | - 41,1 |
| 11 | M D | 14 32 | 22 16 | 5 26 | 11,0 | - 52,8 |
| 12 | M W | 15 48 | 23 00 | 5 41 | 12,0 | - 64,4 |
| 13 | J D | 17 00 | 23 41 | 5 54 | 13,0 | - 75,7 |
| 14 | V V | 18 11 | — | 6 05 | 14,0 | - 86,8 l. op. |
| 15 | S Z | 19 21 | 0 20 | 6 15 | 15,0 | + 82,2 c. on. |
| 16 | D Z | 20 31 | 1 00 | 6 25 | 16,0 | + 71,3 |
| 17 | L M | 21 43 | 1 40 | 6 36 | 17,0 | + 60,5 |
| 18 | M D | 22 55 | 2 22 | 6 50 | 18,0 | + 49,7 |
| 19 | M W | — | 3 06 | 7 08 | 19,0 | + 38,9 |
| 20 | J D | 0 08 | 3 54 | 7 33 | 20,0 | + 28,0 |
| 21 | V V | 1 18 | 4 45 | 8 07 | 21,0 | + 16,9 |
| 22 | S Z | 2 21 | 5 38 | 8 56 | 22,0 | + 5,6 |
| 23 | D Z | 3 11 | 6 33 | 9 59 | 23,0 | - 5,9 |
| 24 | L M | 3 49 | 7 29 | 11 16 | 24,0 | - 17,8 |
| 25 | M D | 4 16 | 8 23 | 12 40 | 25,0 | - 30,2 |
| 26 | M W | 4 37 | 9 15 | 14 07 | 26,0 | - 42,9 |
| 27 | J D | 4 53 | 10 06 | 15 35 | 27,0 | - 56,1 |
| 28 | V V | 5 07 | 10 57 | 17 04 | 28,0 | - 69,7 |
| 29 | S Z | 5 21 | 11 47 | 18 34 | 29,0 | - 83,5 c. on. |
| 30 | D Z | 5 36 | 12 40 | 20 06 | 0,5 | + 82,4 l. op. |
| 31 | L M | 5 53 | 13 35 | 21 41 | 1,5 | + 68,2 l. op. |

P. Q. le 6 mars à 16^h 32^m.
P. L. le 14 mars à 6^h 55^m.
D. Q. le 22 mars à 11^h 29^m.
N. L. le 29 mars à 10^h 58^m.

1265 1265

E. K. op 6 maart om 16^h 32^m.
V. M. op 14 maart om 6^h 55^m.
L. K. op 22 maart om 11^h 29^m.
N. M. op 29 maart om 10^h 58^m.

| Jour du mois — Dag van de maand | A 0 ^h , TEMPS UNIVERSEL — Te 0 ^h WERELDTIJD | | | | |
|---|---|--------------------------------|--|---|--|
| | Ascension droite — Rechte klimming | Déclinaison — Declinatie | Fraction illuminée — Verlicht gedeelte | Demi- diamètre — Halve middellijn | Parallaxe horizontale — Horizontale parallax |
| | | | h m s | o / | / // |
| 1 | 23 38 11 | - 2 42,5 | 0,01 | 16 29 | 60 29 |
| 2 | 0 30 25 | + 4 24,7 | 0,06 | 16 30 | 60 35 |
| 3 | 1 23 30 | + 11 17,2 | 0,12 | 16 28 | 60 26 |
| 4 | 2 18 28 | + 17 29,2 | 0,21 | 16 22 | 60 04 |
| 5 | 3 15 57 | + 22 36,5 | 0,31 | 16 13 | 59 32 |
| 6 | 4 15 58 | + 26 18,5 | 0,42 | 16 03 | 58 55 |
| 7 | 5 17 36 | + 28 20,4 | 0,54 | 15 53 | 58 16 |
| 8 | 6 19 10 | + 28 36,9 | 0,64 | 15 42 | 57 37 |
| 9 | 7 18 50 | + 27 12,7 | 0,74 | 15 32 | 57 00 |
| 10 | 8 15 11 | + 24 21,3 | 0,83 | 15 23 | 56 26 |
| 11 | 9 07 40 | + 20 20,7 | 0,90 | 15 14 | 55 56 |
| 12 | 9 56 28 | + 15 29,5 | 0,95 | 15 07 | 55 28 |
| 13 | 10 42 16 | + 10 05,0 | 0,98 | 15 00 | 55 03 |
| 14 | 11 25 56 | + 4 22,1 | 1,00 | 14 54 | 54 42 |
| 15 | 12 08 27 | - 1 26,0 | 1,00 | 14 50 | 54 25 |
| 16 | 12 50 46 | - 7 07,8 | 0,97 | 14 46 | 54 12 |
| 17 | 13 33 46 | - 12 32,4 | 0,93 | 14 44 | 54 04 |
| 18 | 14 18 19 | - 17 29,1 | 0,88 | 14 44 | 54 03 |
| 19 | 15 05 09 | - 21 46,5 | 0,81 | 14 45 | 54 09 |
| 20 | 15 54 46 | - 25 12,5 | 0,73 | 14 49 | 54 24 |
| 21 | 16 47 19 | - 27 34,5 | 0,64 | 14 56 | 54 48 |
| 22 | 17 42 26 | - 28 40,2 | 0,55 | 15 05 | 55 21 |
| 23 | 18 39 13 | - 28 20,1 | 0,45 | 15 16 | 56 03 |
| 24 | 19 36 26 | - 26 29,2 | 0,35 | 15 30 | 56 54 |
| 25 | 20 32 58 | - 23 08,7 | 0,25 | 15 45 | 57 49 |
| 26 | 21 28 07 | - 18 26,3 | 0,16 | 16 01 | 58 47 |
| 27 | 22 21 48 | - 12 35,5 | 0,09 | 16 16 | 59 41 |
| 28 | 23 14 30 | - 5 54,3 | 0,03 | 16 28 | 60 27 |
| 29 | 0 07 06 | + 1 14,6 | 0,00 | 16 37 | 60 59 |
| 30 | 1 00 42 | + 8 24,9 | 0,00 | 16 41 | 61 13 |
| 31 | 1 56 21 | + 15 07,9 | 0,04 | 16 39 | 61 08 |

Périgée le 1 mars à 21^h.
Apogée le 17 mars à 17^h.
Périgée le 30 mars à 5^h.

| JOUR — DAG | | TEMPS UNIVERSEL — WERELDTIJD | | | A 0 ^h UT — Te 0 ^h UT | | | | |
|------------------------------|-----------------------------------|--|-------|-------|--|--------------------------------|--------|---|---|
| du mois — van de maand | de la semaine — van de week | Lever, passage au méridien et coucher à Uccle | | | Age — Ouderdom | Terminateur — Terminator | | | |
| | | Opkomst, doorgang door de meridiaan en ondergang te Ukkel | | | h m | h m | h m | d | o |
| 1 | M D | 6 15 | 14 33 | 23 14 | 2,5 | + 54,1 | l. op. | | |
| 2 | M W | 6 46 | 15 35 | — | 3,5 | + 40,3 | | | |
| 3 | J D | 7 30 | 16 37 | 0 38 | 4,5 | + 26,8 | | | |
| 4 | V V | 8 30 | 17 38 | 1 47 | 5,5 | + 13,6 | | | |
| 5 | S Z | 9 43 | 18 35 | 2 36 | 6,5 | + 1,0 | | | |
| 6 | D Z | 11 02 | 19 27 | 3 10 | 7,5 | - 11,3 | | | |
| 7 | L M | 12 21 | 20 15 | 3 33 | 8,5 | - 23,2 | | | |
| 8 | M D | 13 37 | 20 59 | 3 50 | 9,5 | - 34,8 | | | |
| 9 | M W | 14 50 | 21 40 | 4 03 | 10,5 | - 46,1 | | | |
| 10 | J D | 16 00 | 22 20 | 4 14 | 11,5 | - 57,2 | | | |
| 11 | V V | 17 10 | 22 59 | 4 24 | 12,5 | - 68,1 | | | |
| 12 | S Z | 18 20 | 23 38 | 4 34 | 13,5 | - 79,0 | | | |
| 13 | D Z | 19 30 | — | 4 45 | 14,5 | - 89,8 | l. op. | | |
| 14 | L M | 20 43 | 0 20 | 4 58 | 15,5 | + 79,4 | c. on. | | |
| 15 | M D | 21 56 | 1 03 | 5 15 | 16,5 | + 68,6 | | | |
| 16 | M W | 23 07 | 1 50 | 5 37 | 17,5 | + 57,7 | | | |
| 17 | J D | — | 2 40 | 6 07 | 18,5 | + 46,7 | | | |
| 18 | V V | 0 12 | 3 32 | 6 50 | 19,5 | + 35,6 | | | |
| 19 | S Z | 1 06 | 4 26 | 7 47 | 20,5 | + 24,3 | | | |
| 20 | D Z | 1 47 | 5 20 | 8 58 | 21,5 | + 12,7 | | | |
| 21 | L M | 2 18 | 6 13 | 10 17 | 22,5 | + 0,9 | | | |
| 22 | M D | 2 40 | 7 04 | 11 40 | 23,5 | - 11,3 | | | |
| 23 | M W | 2 57 | 7 54 | 13 05 | 24,5 | - 23,9 | | | |
| 24 | J D | 3 12 | 8 43 | 14 30 | 25,5 | - 36,9 | | | |
| 25 | V V | 3 25 | 9 32 | 15 58 | 26,5 | - 50,4 | | | |
| 26 | S Z | 3 39 | 10 23 | 17 28 | 27,5 | - 64,2 | | | |
| 27 | D Z | 3 55 | 11 17 | 19 02 | 28,5 | - 78,3 | c. on. | | |
| 28 | L M | 4 15 | 12 15 | 20 38 | 0,2 | + 87,4 | l. op. | | |
| 29 | M D | 4 42 | 13 17 | 22 11 | 1,2 | + 73,1 | | | |
| 30 | M W | 5 21 | 14 21 | 23 30 | 2,2 | + 59,0 | l. op. | | |

| Jour du mois — Dag van de maand | A 0 ^h , TEMPS UNIVERSEL — Te 0 ^h WERELDTIJD | | | | |
|---|---|--------------------------------|--|---|--|
| | Ascension droite — Rechte klimming | Déclinaison — Declinatie | Fraction illuminée — Verlicht gedeelte | Demi- diamètre — Halve middellijn | Parallaxe horizontale — Horizontale parallax |
| | | | h m s | o / | / // |
| 1 | 2 54 50 | + 20 54,0 | 0,10 | 16 33 | 60 45 |
| 2 | 3 56 13 | + 25 16,4 | 0,18 | 16 23 | 60 07 |
| 3 | 4 59 34 | + 27 55,2 | 0,28 | 16 10 | 59 21 |
| 4 | 6 03 03 | + 28 41,9 | 0,38 | 15 56 | 58 30 |
| 5 | 7 04 31 | + 27 40,9 | 0,49 | 15 43 | 57 39 |
| 6 | 8 02 20 | + 25 07,2 | 0,60 | 15 30 | 56 51 |
| 7 | 8 55 50 | + 21 20,4 | 0,70 | 15 18 | 56 09 |
| 8 | 9 45 16 | + 16 40,6 | 0,78 | 15 08 | 55 32 |
| 9 | 10 31 22 | + 11 25,2 | 0,86 | 15 00 | 55 02 |
| 10 | 11 15 07 | + 5 48,8 | 0,92 | 14 53 | 54 39 |
| 11 | 11 57 31 | + 0 04,0 | 0,96 | 14 49 | 54 21 |
| 12 | 12 39 35 | - 5 38,1 | 0,99 | 14 45 | 54 08 |
| 13 | 13 22 14 | - 11 07,0 | 1,00 | 14 43 | 54 01 |
| 14 | 14 06 19 | - 16 11,5 | 0,99 | 14 42 | 53 58 |
| 15 | 14 52 34 | - 20 40,0 | 0,96 | 14 43 | 54 01 |
| 16 | 15 41 27 | - 24 20,2 | 0,92 | 14 46 | 54 10 |
| 17 | 16 33 07 | - 26 59,3 | 0,86 | 14 50 | 54 26 |
| 18 | 17 27 12 | - 28 25,4 | 0,79 | 14 56 | 54 49 |
| 19 | 18 22 50 | - 28 29,5 | 0,70 | 15 04 | 55 19 |
| 20 | 19 18 53 | - 27 07,0 | 0,61 | 15 15 | 55 58 |
| 21 | 20 14 14 | - 24 19,1 | 0,51 | 15 28 | 56 44 |
| 22 | 21 08 13 | - 20 11,8 | 0,40 | 15 42 | 57 36 |
| 23 | 22 00 44 | - 14 55,6 | 0,30 | 15 57 | 58 32 |
| 24 | 22 52 14 | - 8 44,3 | 0,20 | 16 12 | 59 27 |
| 25 | 23 43 35 | - 1 55,2 | 0,12 | 16 26 | 60 17 |
| 26 | 0 35 54 | + 5 10,6 | 0,05 | 16 36 | 60 56 |
| 27 | 1 30 24 | + 12 07,2 | 0,01 | 16 43 | 61 19 |
| 28 | 2 28 08 | + 18 24,6 | 0,00 | 16 44 | 61 23 |
| 29 | 3 29 33 | + 23 31,3 | 0,02 | 16 39 | 61 07 |
| 30 | 4 34 06 | + 26 59,1 | 0,07 | 16 30 | 60 32 |

P. Q. le 5 avril à 2^h 15^m.
P. L. le 13 avril à 0^h 22^m.
D. Q. le 21 avril à 1^h 36^m.
1266 N. L. le 27 avril à 19^h 31^m.

E. K. op 5 april om 2^h 15^m.
V. M. op 13 april om 0^h 22^m.
L. K. op 21 april om 1^h 36^m.
1266 N. M. op 27 april om 19^h 31^m.

Apogée le 13 avril à 23^h.
Périgée le 27 avril à 16^h.
Apogee op 13 april om 23^h.
Perigeum op 27 april om 16^h.

| JOUR — DAG | | | TEMPS UNIVERSEL — WERELDTIJD | | | A 0 ^h UT — Te 0 ^h UT | |
|------------------------------|-----------------------------------|---|--|-------|-------|--|--------------------------------|
| du mois — van de maand | de la semaine — van de week | | Lever, passage au méridien et coucher à Uccle | | | Age — Ouderdom | Terminateur — Terminator |
| | | | Opkomst, doorgang door de meridiaan en ondergang te Ukkel | | | h m | h m |
| | | | d | o | | | |
| 1 | J | D | 6 16 | 15 25 | — | 3,2 | + 45,2 l. op. |
| 2 | V | V | 7 27 | 16 26 | 0 29 | 4,2 | + 31,9 |
| 3 | S | Z | 8 46 | 17 21 | 1 10 | 5,2 | + 19,0 |
| 4 | D | Z | 10 07 | 18 12 | 1 37 | 6,2 | + 6,7 |
| 5 | L | M | 11 26 | 18 57 | 1 56 | 7,2 | — 5,2 |
| 6 | M | D | 12 40 | 19 39 | 2 10 | 8,2 | — 16,7 |
| 7 | M | W | 13 51 | 20 19 | 2 22 | 9,2 | — 27,9 |
| 8 | J | D | 15 00 | 20 59 | 2 33 | 10,2 | — 38,9 |
| 9 | V | V | 16 10 | 21 38 | 2 43 | 11,2 | — 49,8 |
| 10 | S | Z | 17 20 | 22 19 | 2 54 | 12,2 | — 60,6 |
| 11 | D | Z | 18 31 | 23 01 | 3 06 | 13,2 | — 71,4 |
| 12 | L | M | 19 44 | 23 47 | 3 21 | 14,2 | — 82,2 l. op. |
| 13 | M | D | 20 57 | — | 3 42 | 15,2 | + 86,8 c. on. |
| 14 | M | W | 22 04 | 0 36 | 4 10 | 16,2 | + 75,8 |
| 15 | J | D | 23 02 | 1 28 | 4 49 | 17,2 | + 64,7 |
| 16 | V | V | 23 47 | 2 21 | 5 42 | 18,2 | + 53,4 |
| 17 | S | Z | — | 3 15 | 6 48 | 19,2 | + 41,9 |
| 18 | D | Z | 0 20 | 4 08 | 8 04 | 20,2 | + 30,3 |
| 19 | L | M | 0 44 | 4 59 | 9 24 | 21,2 | + 18,4 |
| 20 | M | D | 1 02 | 5 47 | 10 45 | 22,2 | + 6,3 |
| 21 | M | W | 1 17 | 6 35 | 12 08 | 23,2 | — 6,2 |
| 22 | J | D | 1 31 | 7 22 | 13 31 | 24,2 | — 19,0 |
| 23 | V | V | 1 44 | 8 10 | 14 57 | 25,2 | — 32,3 |
| 24 | S | Z | 1 58 | 9 01 | 16 26 | 26,2 | — 45,9 |
| 25 | D | Z | 2 15 | 9 56 | 18 00 | 27,2 | — 59,8 |
| 26 | L | M | 2 38 | 10 55 | 19 35 | 28,2 | — 73,9 |
| 27 | M | D | 3 11 | 11 59 | 21 02 | 29,2 | — 88,2 c. on. |
| 28 | M | W | 3 58 | 13 05 | 22 13 | 0,9 | + 77,7 l. op. |
| 29 | J | D | 5 04 | 14 09 | 23 03 | 1,9 | + 63,9 |
| 30 | V | V | 6 23 | 15 09 | 23 37 | 2,9 | + 50,4 |
| 31 | S | Z | 7 47 | 16 03 | 24 00 | 3,9 | + 37,5 l. op. |

P. Q. le 4 mai à 13^h 52^m.P. L. le 12 mai à 16^h 56^m.D. Q. le 20 mai à 11^h 59^m.E. K. op 4 mei om 13^h 52^m.V. M. op 12 mei om 16^h 56^m.L. K. op 20 mei om 11^h 59^m.N. M. op 27 mei om 3^h 02^m.Apogée le 11 mai à 1^h.Apogeeum op 11 mei om 1^h.Périgée le 26 mai à 2^h.Perigeum op 26 mei om 2^h.

| Jour du mois — Dag van de maand | A 0 ^h , TEMPS UNIVERSEL — Te 0 ^h WERELDTIJD | | | | |
|---|---|--------------------------------|--|---|--|
| | Ascension droite — Rechte klimming | Déclinaison — Declinatie | Fraction illuminée — Verlicht gedeelte | Demi- diamètre — Halve middellijn | Parallaxe horizontale — Horizontale parallax |
| | | | | h m s | ° / |
| 1 | 5 39 55 | + 28 30,7 | 0,15 | 16 17 | 59 45 |
| 2 | 6 44 24 | + 28 04,3 | 0,24 | 16 02 | 58 50 |
| 3 | 7 45 15 | + 25 53,6 | 0,34 | 15 46 | 57 53 |
| 4 | 8 41 20 | + 22 20,7 | 0,44 | 15 32 | 56 58 |
| 5 | 9 32 39 | + 17 48,9 | 0,54 | 15 18 | 56 09 |
| 6 | 10 19 58 | + 12 38,6 | 0,64 | 15 07 | 55 27 |
| 7 | 11 04 23 | + 7 05,9 | 0,73 | 14 58 | 54 54 |
| 8 | 11 47 02 | + 1 23,6 | 0,81 | 14 51 | 54 29 |
| 9 | 12 29 00 | — 4 17,9 | 0,88 | 14 46 | 54 12 |
| 10 | 13 11 21 | — 9 48,4 | 0,94 | 14 43 | 54 02 |
| 11 | 13 54 58 | — 14 57,8 | 0,97 | 14 42 | 53 59 |
| 12 | 14 40 41 | — 19 34,9 | 0,99 | 14 43 | 54 01 |
| 13 | 15 29 02 | — 23 27,1 | 1,00 | 14 45 | 54 09 |
| 14 | 16 20 15 | — 26 21,2 | 0,98 | 14 49 | 54 22 |
| 15 | 17 13 59 | — 28 04,5 | 0,95 | 14 54 | 54 40 |
| 16 | 18 09 23 | — 28 27,2 | 0,90 | 15 00 | 55 03 |
| 17 | 19 05 12 | — 27 24,6 | 0,83 | 15 08 | 55 31 |
| 18 | 20 00 13 | — 24 57,9 | 0,75 | 15 17 | 56 05 |
| 19 | 20 53 38 | — 21 13,8 | 0,66 | 15 28 | 56 45 |
| 20 | 21 45 15 | — 16 22,8 | 0,56 | 15 40 | 57 29 |
| 21 | 22 35 27 | — 10 37,8 | 0,45 | 15 53 | 58 16 |
| 22 | 23 25 05 | — 4 13,3 | 0,34 | 16 06 | 59 05 |
| 23 | 0 15 16 | + 2 33,9 | 0,23 | 16 18 | 59 50 |
| 24 | 1 07 18 | + 9 23,4 | 0,14 | 16 29 | 60 28 |
| 25 | 2 02 25 | + 15 50,2 | 0,07 | 16 36 | 60 54 |
| 26 | 3 01 35 | + 21 25,1 | 0,02 | 16 39 | 61 05 |
| 27 | 4 04 55 | + 25 36,8 | 0,00 | 16 36 | 60 56 |
| 28 | 5 11 10 | + 27 59,4 | 0,01 | 16 29 | 60 31 |
| 29 | 6 17 47 | + 28 20,3 | 0,05 | 16 18 | 59 50 |
| 30 | 7 21 53 | + 26 45,0 | 0,12 | 16 04 | 58 59 |
| 31 | 8 21 25 | + 23 33,4 | 0,20 | 15 49 | 58 04 |

| JOUR — DAG | | TEMPS UNIVERSEL — WERELDTIJD | | | A 0 ^h UT — Te 0 ^h UT | | | | |
|------------------------------|-----------------------------------|--|-------|-------|--|--------------------------------|--------|--------|---|
| du mois — van de maand | de la semaine — van de week | Lever, passage au méridien et coucher à Uccle | | | Age — Ouderdom | Terminateur — Terminator | | | |
| | | Opkomst, doorgang door de meridiaan en ondergang te Ukkel | | | h m | h m | h m | d | ° |
| | | | | | | | | | |
| 1 | D | Z | 9 08 | 16 52 | — | 4,9 | + 25,1 | l. op. | |
| 2 | L | M | 10 26 | 17 36 | 0 16 | 5,9 | + 13,1 | | |
| 3 | M | D | 11 39 | 18 18 | 0 29 | 6,9 | + 1,6 | | |
| 4 | M | W | 12 49 | 18 57 | 0 40 | 7,9 | - 9,7 | | |
| 5 | J | D | 13 59 | 19 37 | 0 51 | 8,9 | - 20,7 | | |
| 6 | V | V | 15 09 | 20 17 | 1 01 | 9,9 | - 31,5 | | |
| 7 | S | Z | 16 20 | 20 59 | 1 13 | 10,9 | - 42,4 | | |
| 8 | D | Z | 17 32 | 21 44 | 1 28 | 11,9 | - 53,2 | | |
| 9 | L | M | 18 45 | 22 32 | 1 46 | 12,9 | - 64,1 | | |
| 10 | M | D | 19 55 | 23 23 | 2 12 | 13,9 | - 75,2 | | |
| 11 | M | W | 20 56 | — | 2 48 | 14,9 | - 86,4 | l. op. | |
| 12 | J | D | 21 45 | 0 16 | 3 37 | 15,9 | + 82,3 | c. on. | |
| 13 | V | V | 22 22 | 1 11 | 4 40 | 16,9 | + 70,8 | | |
| 14 | S | Z | 22 48 | 2 04 | 5 54 | 17,9 | + 59,1 | | |
| 15 | D | Z | 23 08 | 2 56 | 7 13 | 18,9 | + 47,2 | | |
| 16 | L | M | 23 24 | 3 45 | 8 34 | 19,9 | + 35,2 | | |
| 17 | M | D | 23 37 | 4 32 | 9 55 | 20,9 | + 22,9 | | |
| 18 | M | W | 23 50 | 5 18 | 11 16 | 21,9 | + 10,4 | | |
| 19 | J | D | — | 6 05 | 12 38 | 22,9 | - 2,4 | | |
| 20 | V | V | 0 03 | 6 53 | 14 03 | 23,9 | - 15,4 | | |
| 21 | S | Z | 0 18 | 7 44 | 15 32 | 24,9 | - 28,8 | | |
| 22 | D | Z | 0 38 | 8 40 | 17 04 | 25,9 | - 42,4 | | |
| 23 | L | M | 1 05 | 9 40 | 18 34 | 26,9 | - 56,2 | | |
| 24 | M | D | 1 44 | 10 44 | 19 52 | 27,9 | - 70,2 | | |
| 25 | M | W | 2 41 | 11 49 | 20 52 | 28,9 | - 84,0 | c. on. | |
| 26 | J | D | 3 55 | 12 52 | 21 33 | 0,6 | + 82,3 | l. op. | |
| 27 | V | V | 5 19 | 13 50 | 22 00 | 1,6 | + 69,0 | | |
| 28 | S | Z | 6 44 | 14 42 | 22 20 | 2,6 | + 56,2 | | |
| 29 | D | Z | 8 05 | 15 29 | 22 34 | 3,6 | + 43,7 | | |
| 30 | L | M | 9 22 | 16 13 | 22 46 | 4,6 | + 31,8 | l. op. | |

| Jour du mois — Dag van de maand | A 0 ^h , TEMPS UNIVERSEL — Te 0 ^h WERELDTIJD | | | | |
|---|---|--------------------------------|--|---|--|
| | Ascension droite — Rechte klimming | Déclinaison — Declinatie | Fraction illuminée — Verlicht gedeelte | Demi- diamètre — Halve middellijn | Parallaxe horizontale — Horizontale parallax |
| | | | h m s | ° / | / // |
| 1 | 9 15 45 | + 19 11,7 | 0,29 | 15 34 | 57 08 |
| 2 | 10 05 24 | + 14 04,3 | 0,39 | 15 20 | 56 16 |
| 3 | 10 51 24 | + 8 31,0 | 0,49 | 15 08 | 55 32 |
| 4 | 11 35 00 | + 2 46,7 | 0,58 | 14 58 | 54 56 |
| 5 | 12 17 23 | - 2 57,2 | 0,68 | 14 51 | 54 30 |
| 6 | 12 59 41 | - 8 31,1 | 0,76 | 14 46 | 54 13 |
| 7 | 13 42 57 | - 13 45,4 | 0,84 | 14 44 | 54 05 |
| 8 | 14 28 06 | - 18 30,1 | 0,90 | 14 44 | 54 05 |
| 9 | 15 15 50 | - 22 33,4 | 0,95 | 14 46 | 54 13 |
| 10 | 16 06 31 | - 25 42,0 | 0,98 | 14 50 | 54 26 |
| 11 | 17 00 00 | - 27 42,8 | 1,00 | 14 55 | 54 44 |
| 12 | 17 55 31 | - 28 24,1 | 0,99 | 15 01 | 55 07 |
| 13 | 18 51 48 | - 27 39,5 | 0,97 | 15 08 | 55 32 |
| 14 | 19 47 26 | - 25 29,0 | 0,93 | 15 16 | 56 00 |
| 15 | 20 41 22 | - 21 59,3 | 0,87 | 15 24 | 56 31 |
| 16 | 21 33 13 | - 17 21,8 | 0,79 | 15 33 | 57 04 |
| 17 | 22 23 10 | - 11 50,7 | 0,69 | 15 42 | 57 39 |
| 18 | 23 11 59 | - 5 40,8 | 0,59 | 15 52 | 58 15 |
| 19 | 0 00 42 | + 0 51,9 | 0,48 | 16 02 | 58 50 |
| 20 | 0 50 34 | + 7 29,9 | 0,37 | 16 11 | 59 24 |
| 21 | 1 42 55 | + 13 52,9 | 0,26 | 16 19 | 59 53 |
| 22 | 2 38 55 | + 19 36,7 | 0,16 | 16 25 | 60 13 |
| 23 | 3 39 14 | + 24 13,6 | 0,09 | 16 27 | 60 22 |
| 24 | 4 43 25 | + 27 16,2 | 0,03 | 16 26 | 60 18 |
| 25 | 5 49 41 | + 28 24,3 | 0,00 | 16 21 | 59 59 |
| 26 | 6 55 12 | + 27 32,8 | 0,01 | 16 12 | 59 28 |
| 27 | 7 57 21 | + 24 53,9 | 0,03 | 16 01 | 58 45 |
| 28 | 8 54 39 | + 20 51,0 | 0,09 | 15 47 | 57 57 |
| 29 | 9 47 00 | + 15 50,8 | 0,15 | 15 34 | 57 06 |
| 30 | 10 35 10 | + 10 16,9 | 0,24 | 15 20 | 56 18 |

P. Q. le 3 juin à 3^h 41^m. | E. K. op 3 juni om 3^h 41^m.
P. L. le 11 juin à 7^h 44^m. | V. M. op 11 juni om 7^h 44^m.
D. Q. le 18 juin à 19^h 19^m. | L. K. op 18 juni om 19^h 19^m.
N. L. le 25 juin à 10^h 32^m. | N. M. op 25 juni om 10^h 32^m.

1268 1268

Apogée le 7 juin à 11^h. | Apogee op 7 juni om 11^h.
Périgée le 23 juin à 5^h. | Perigeum op 23 juni om 5^h.

| JOUR — DAG | | TEMPS UNIVERSEL — WERELDTIJD | | | A 0 ^h UT — Te 0 ^h UT | | | | |
|------------------------------|-----------------------------------|--|-------|-------|--|--------------------------------|--------|---|---|
| du mois — van de maand | de la semaine — van de week | Lever, passage au méridien et coucher à Uccle | | | Age — Ouderdom | Terminateur — Terminator | | | |
| | | Opkomst, doorgang door de meridiaan en ondergang te Ukkel | | | h m | h m | h m | d | ° |
| 1 | M D | 10 35 | 16 53 | 22 57 | 5,6 | + 20,2 | l. op. | | |
| 2 | M W | 11 45 | 17 33 | 23 08 | 6,6 | + 8,9 | | | |
| 3 | J D | 12 55 | 18 13 | 23 19 | 7,6 | - 2,1 | | | |
| 4 | V V | 14 06 | 18 55 | 23 33 | 8,6 | - 13,1 | | | |
| 5 | S Z | 15 18 | 19 39 | 23 50 | 9,6 | - 23,9 | | | |
| 6 | D Z | 16 31 | 20 26 | — | 10,6 | - 34,8 | | | |
| 7 | L M | 17 43 | 21 16 | 0 13 | 11,6 | - 45,8 | | | |
| 8 | M D | 18 48 | 22 09 | 0 44 | 12,6 | - 57,0 | | | |
| 9 | M W | 19 41 | 23 03 | 1 29 | 13,6 | - 68,4 | | | |
| 10 | J D | 20 22 | 23 58 | 2 28 | 14,6 | - 79,9 | l. op. | | |
| 11 | V V | 20 52 | — | 3 40 | 15,6 | + 88,3 | c. on. | | |
| 12 | S Z | 21 14 | 0 51 | 5 00 | 16,6 | + 76,3 | | | |
| 13 | D Z | 21 31 | 1 42 | 6 22 | 17,6 | + 64,1 | | | |
| 14 | L M | 21 45 | 2 30 | 7 44 | 18,6 | + 51,7 | | | |
| 15 | M D | 21 57 | 3 17 | 9 05 | 19,6 | + 39,2 | | | |
| 16 | M W | 22 10 | 4 03 | 10 26 | 20,6 | + 26,5 | | | |
| 17 | J D | 22 24 | 4 50 | 11 49 | 21,6 | + 13,6 | | | |
| 18 | V V | 22 42 | 5 39 | 13 15 | 22,6 | + 0,6 | | | |
| 19 | S Z | 23 05 | 6 32 | 14 44 | 23,6 | - 12,7 | | | |
| 20 | D Z | 23 38 | 7 29 | 16 13 | 24,6 | - 26,0 | | | |
| 21 | L M | — | 8 30 | 17 34 | 25,6 | - 39,5 | | | |
| 22 | M D | 0 26 | 9 33 | 18 40 | 26,6 | - 53,0 | | | |
| 23 | M W | 1 32 | 10 36 | 19 28 | 27,6 | - 66,4 | | | |
| 24 | J D | 2 52 | 11 36 | 20 00 | 28,6 | - 79,7 | c. on. | | |
| 25 | V V | 4 17 | 12 30 | 20 23 | 0,2 | + 87,4 | l. op. | | |
| 26 | S Z | 5 40 | 13 20 | 20 39 | 1,2 | + 74,7 | | | |
| 27 | D Z | 7 00 | 14 05 | 20 52 | 2,2 | + 62,5 | | | |
| 28 | L M | 8 16 | 14 48 | 21 04 | 3,2 | + 50,6 | | | |
| 29 | M D | 9 28 | 15 28 | 21 14 | 4,2 | + 39,0 | | | |
| 30 | M W | 10 39 | 16 09 | 21 25 | 5,2 | + 27,7 | | | |
| 31 | J D | 11 50 | 16 50 | 21 38 | 6,2 | + 16,7 | l. op. | | |

P. Q. le 2 juill. à 19^h 30^m. | E. K. op 2 juli om 19^h 30^m.
P. L. le 10 juill. à 20^h 37^m. | V. M. op 10 juli om 20^h 37^m.
D. Q. le 18 juill. à 0^h 38^m. | L. K. op 18 juli om 0^h 38^m.
N. L. le 24 juill. à 19^h 11^m. | N. M. op 24 juli om 19^h 11^m.

1269

1269

| Jour du mois — Dag van de maand | A 0 ^h , TEMPS UNIVERSEL — Te 0 ^h WERELDTIJD | | | | | | |
|---|---|--------------------------------|--|---|--|-----|-----|
| | Ascension droite — Rechte klimming | Déclinaison — Declinatie | Fraction illuminée — Verlicht gedeelte | Demi- diamètre — Halve middellijn | Parallaxe horizontale — Horizontale parallax | | |
| | | | | h m s | ° / | / " | / " |
| 1 | 11 20 18 | + 4 27,6 | 0,33 | 15 09 | 55 35 | | |
| 2 | 12 03 37 | - 1 23,0 | 0,42 | 14 59 | 54 59 | | |
| 3 | 12 46 18 | - 7 04,2 | 0,52 | 14 52 | 54 33 | | |
| 4 | 13 29 29 | - 12 26,5 | 0,61 | 14 48 | 54 17 | | |
| 5 | 14 14 07 | - 17 20,4 | 0,70 | 14 46 | 54 12 | | |
| 6 | 15 01 05 | - 21 35,6 | 0,79 | 14 47 | 54 15 | | |
| 7 | 15 50 55 | - 24 59,8 | 0,86 | 14 50 | 54 27 | | |
| 8 | 16 43 45 | - 27 19,8 | 0,92 | 14 56 | 54 47 | | |
| 9 | 17 39 03 | - 28 23,1 | 0,96 | 15 02 | 55 12 | | |
| 10 | 18 35 42 | - 28 00,6 | 0,99 | 15 10 | 55 41 | | |
| 11 | 19 32 15 | - 26 09,7 | 1,00 | 15 19 | 56 12 | | |
| 12 | 20 27 24 | - 22 54,8 | 0,98 | 15 27 | 56 43 | | |
| 13 | 21 20 28 | - 18 27,2 | 0,95 | 15 36 | 57 14 | | |
| 14 | 22 11 23 | - 13 01,6 | 0,89 | 15 44 | 57 43 | | |
| 15 | 23 00 41 | - 6 55,1 | 0,82 | 15 51 | 58 09 | | |
| 16 | 23 49 20 | - 0 24,9 | 0,72 | 15 57 | 58 33 | | |
| 17 | 0 38 28 | + 6 11,0 | 0,62 | 16 03 | 58 55 | | |
| 18 | 1 29 20 | + 12 33,5 | 0,50 | 16 08 | 59 12 | | |
| 19 | 2 23 08 | + 18 21,1 | 0,39 | 16 12 | 59 26 | | |
| 20 | 3 20 42 | + 23 10,4 | 0,28 | 16 14 | 59 33 | | |
| 21 | 4 22 08 | + 26 36,8 | 0,18 | 16 14 | 59 34 | | |
| 22 | 5 26 20 | + 28 19,5 | 0,10 | 16 12 | 59 26 | | |
| 23 | 6 31 06 | + 28 07,9 | 0,04 | 16 07 | 59 09 | | |
| 24 | 7 33 52 | + 26 05,9 | 0,01 | 16 00 | 58 43 | | |
| 25 | 8 32 43 | + 22 31,0 | 0,00 | 15 51 | 58 09 | | |
| 26 | 9 26 59 | + 17 47,1 | 0,02 | 15 40 | 57 30 | | |
| 27 | 10 16 59 | + 12 19,0 | 0,06 | 15 29 | 56 47 | | |
| 28 | 11 03 38 | + 6 27,8 | 0,11 | 15 17 | 56 06 | | |
| 29 | 11 48 03 | + 0 30,2 | 0,19 | 15 07 | 55 28 | | |
| 30 | 12 31 22 | - 5 20,5 | 0,27 | 14 58 | 54 56 | | |
| 31 | 13 14 41 | - 10 53,8 | 0,36 | 14 52 | 54 33 | | |

Apogée le 5 juill. à 2^h. | Apogee op 5 juli om 2^h.
Périgée le 20 juill. à 14^h. | Perigeum op 20 juli om 14^h.

| JOUR — DAG | | TEMPS UNIVERSEL — WERELDTIJD | | | A 0 ^h UT — Te 0 ^h UT | |
|------------------------------|-----------------------------------|---|-------|-------|--|--------------------------------|
| du mois — van de maand | de la semaine — van de week | Lever, passage au méridien et coucher à Uccle — Opkomst, doorgang door de meridiaan en ondergang te Ukkel | | | Age — Ouderdom | Terminateur — Terminator |
| | | h m | h m | h m | d | o |
| 1 | V V | 13 02 | 17 33 | 21 53 | 7,2 | + 5,7 l. op. |
| 2 | S Z | 14 15 | 18 18 | 22 13 | 8,2 | - 5,2 |
| 3 | D Z | 15 28 | 19 07 | 22 41 | 9,2 | - 16,1 |
| 4 | L M | 16 35 | 19 59 | 23 20 | 10,2 | - 27,2 |
| 5 | M D | 17 34 | 20 53 | — | 11,2 | - 38,5 |
| 6 | M W | 18 20 | 21 48 | 0 13 | 12,2 | - 49,9 |
| 7 | J D | 18 53 | 22 42 | 1 21 | 13,2 | - 61,7 |
| 8 | V V | 19 18 | 23 34 | 2 39 | 14,2 | - 73,7 |
| 9 | S Z | 19 37 | — | 4 02 | 15,2 | - 86,0 l. op. |
| 10 | D Z | 19 52 | 0 25 | 5 26 | 16,2 | + 81,5 c. on. |
| 11 | L M | 20 05 | 1 13 | 6 49 | 17,2 | + 68,8 |
| 12 | M D | 20 18 | 2 00 | 8 12 | 18,2 | + 55,8 |
| 13 | M W | 20 31 | 2 48 | 9 36 | 19,2 | + 42,8 |
| 14 | J D | 20 47 | 3 36 | 11 02 | 20,2 | + 29,6 |
| 15 | V V | 21 08 | 4 28 | 12 31 | 21,2 | + 16,4 |
| 16 | S Z | 21 37 | 5 23 | 13 59 | 22,2 | + 3,1 |
| 17 | D Z | 22 19 | 6 22 | 15 23 | 23,2 | - 10,2 |
| 18 | L M | 23 18 | 7 24 | 16 33 | 24,2 | - 23,4 |
| 19 | M D | — | 8 26 | 17 25 | 25,2 | - 36,5 |
| 20 | M W | 0 32 | 9 25 | 18 02 | 26,2 | - 49,4 |
| 21 | J D | 1 54 | 10 21 | 18 27 | 27,2 | - 62,2 |
| 22 | V V | 3 18 | 11 12 | 18 45 | 28,2 | - 74,7 |
| 23 | S Z | 4 39 | 11 58 | 18 59 | 29,2 | - 87,0 c. on. |
| 24 | D Z | 5 56 | 12 42 | 19 11 | 0,7 | + 81,1 l. op. |
| 25 | L M | 7 10 | 13 23 | 19 21 | 1,7 | + 69,4 |
| 26 | M D | 8 22 | 14 04 | 19 32 | 2,7 | + 57,9 |
| 27 | M W | 9 34 | 14 45 | 19 44 | 3,7 | + 46,7 |
| 28 | J D | 10 46 | 15 27 | 19 58 | 4,7 | + 35,7 |
| 29 | V V | 11 58 | 16 12 | 20 16 | 5,7 | + 24,7 |
| 30 | S Z | 13 11 | 16 59 | 20 40 | 6,7 | + 13,8 |
| 31 | D Z | 14 21 | 17 49 | 21 13 | 7,7 | + 2,8 l. op. |

P. Q. le 1 août à 12^h 41^m. | E. K. op 1 aug. om 12^h 41^m.
P. L. le 9 août à 7^h 55^m. | V. M. op 9 aug. om 7^h 55^m.
D. Q. le 16 août à 5^h 12^m. | L. K. op 16 aug. om 5^h 12^m.
N. L. le 23 août à 6^h 07^m. | N. M. op 23 aug. om 6^h 07^m.
P. Q. le 31 août à 6^h 25^m. | E. K. op 31 aug. om 6^h 25^m.

| Jour du mois — Dag van de maand | A 0 ^h , TEMPS UNIVERSEL — Te 0 ^h WERELDTIJD | | | | |
|---|---|--------------------------------|--|---|--|
| | Ascension droite — Rechte klimming | Déclinaison — Declinatie | Fraction illuminée — Verlicht gedeelte | Demi- diamètre — Halve middellijn | Parallaxe horizontale — Horizontale parallax |
| | | | h m s | o / | / // |
| 1 | 13 59 01 | - 15 59,8 | 0,45 | 14 48 | 54 19 |
| 2 | 14 45 14 | - 20 28,8 | 0,55 | 14 47 | 54 15 |
| 3 | 15 34 02 | - 24 09,7 | 0,64 | 14 49 | 54 22 |
| 4 | 16 25 44 | - 26 50,4 | 0,73 | 14 53 | 54 38 |
| 5 | 17 20 07 | - 28 18,6 | 0,81 | 15 00 | 55 03 |
| 6 | 18 16 22 | - 28 23,9 | 0,88 | 15 09 | 55 35 |
| 7 | 19 13 13 | - 27 00,4 | 0,94 | 15 19 | 56 12 |
| 8 | 20 09 20 | - 24 09,2 | 0,98 | 15 30 | 56 51 |
| 9 | 21 03 46 | - 19 58,3 | 1,00 | 15 40 | 57 30 |
| 10 | 21 56 10 | - 14 41,4 | 0,99 | 15 50 | 58 05 |
| 11 | 22 46 50 | - 8 35,7 | 0,97 | 15 58 | 58 35 |
| 12 | 23 36 32 | - 2 00,4 | 0,91 | 16 04 | 58 57 |
| 13 | 0 26 18 | + 4 44,2 | 0,84 | 16 08 | 59 13 |
| 14 | 1 17 16 | + 11 17,3 | 0,75 | 16 10 | 59 21 |
| 15 | 2 10 34 | + 17 16,8 | 0,64 | 16 11 | 59 22 |
| 16 | 3 07 03 | + 22 20,1 | 0,53 | 16 10 | 59 18 |
| 17 | 4 06 56 | + 26 04,6 | 0,41 | 16 07 | 59 09 |
| 18 | 5 09 29 | + 28 11,2 | 0,30 | 16 03 | 58 56 |
| 19 | 6 12 58 | + 28 28,8 | 0,20 | 15 59 | 58 38 |
| 20 | 7 15 07 | + 26 58,2 | 0,12 | 15 53 | 58 16 |
| 21 | 8 14 05 | + 23 52,1 | 0,06 | 15 46 | 57 50 |
| 22 | 9 08 57 | + 19 30,8 | 0,02 | 15 37 | 57 20 |
| 23 | 9 59 48 | + 14 16,9 | 0,00 | 15 29 | 56 48 |
| 24 | 10 47 18 | + 8 31,5 | 0,01 | 15 19 | 56 14 |
| 25 | 11 32 25 | + 2 32,7 | 0,03 | 15 10 | 55 41 |
| 26 | 12 16 12 | - 3 24,7 | 0,08 | 15 02 | 55 10 |
| 27 | 12 59 41 | - 9 08,2 | 0,14 | 14 55 | 54 44 |
| 28 | 13 43 50 | - 14 27,0 | 0,21 | 14 50 | 54 25 |
| 29 | 14 29 29 | - 19 10,6 | 0,29 | 14 47 | 54 14 |
| 30 | 15 17 20 | - 23 08,6 | 0,38 | 14 46 | 54 13 |
| 31 | 16 07 48 | - 26 09,7 | 0,48 | 14 49 | 54 21 |

Apogée le 1 août à 21^h. | Apogee op 1 aug. om 21^h.
Périgée le 14 août à 18^h. | Perigeum op 14 aug. om 18^h.
Apogée le 29 août à 16^h. | Apogee op 29 aug. om 16^h.

| JOUR — DAG | | TEMPS UNIVERSEL — WERELDTIJD | | | A 0 ^h UT — Te 0 ^h UT | |
|------------------------------|-----------------------------------|---|-------|-------|--|--------------------------------|
| du mois — van de maand | de la semaine — van de week | Lever, passage au méridien et coucher à Uccle — Opkomst, doorgang door de meridiaan en ondergang te Ukkel | | | Age — Ouderdom | Terminateur — Terminator |
| | | h m | h m | h m | d | o |
| 1 | L M | 15 23 | 18 41 | 22 00 | 8,7 | — 8,2 l. op. |
| 2 | M D | 16 14 | 19 36 | 23 01 | 9,7 | — 19,5 |
| 3 | M W | 16 52 | 20 30 | — | 10,7 | — 31,0 |
| 4 | J D | 17 20 | 21 23 | 0 14 | 11,7 | — 42,7 |
| 5 | V V | 17 41 | 22 14 | 1 35 | 12,7 | — 54,9 |
| 6 | S Z | 17 58 | 23 03 | 2 59 | 13,7 | — 67,3 |
| 7 | D Z | 18 12 | 23 52 | 4 24 | 14,7 | — 80,1 l. op. |
| 8 | L M | 18 25 | — | 5 49 | 15,7 | + 86,8 c. on. |
| 9 | M D | 18 38 | 0 40 | 7 15 | 16,7 | + 73,4 |
| 10 | M W | 18 54 | 1 30 | 8 43 | 17,7 | + 59,9 |
| 11 | J D | 19 13 | 2 22 | 10 13 | 18,7 | + 46,3 |
| 12 | V V | 19 39 | 3 18 | 11 44 | 19,7 | + 32,7 |
| 13 | S Z | 20 17 | 4 17 | 13 12 | 20,7 | + 19,2 |
| 14 | D Z | 21 11 | 5 18 | 14 27 | 21,7 | + 5,9 |
| 15 | L M | 22 20 | 6 20 | 15 24 | 22,7 | — 7,2 |
| 16 | M D | 23 40 | 7 20 | 16 05 | 23,7 | — 20,0 |
| 17 | M W | — | 8 16 | 16 32 | 24,7 | — 32,6 |
| 18 | J D | 1 02 | 9 07 | 16 52 | 25,7 | — 44,9 |
| 19 | V V | 2 23 | 9 54 | 17 06 | 26,7 | — 57,0 |
| 20 | S Z | 3 40 | 10 38 | 17 19 | 27,7 | — 68,9 |
| 21 | D Z | 4 54 | 11 20 | 17 30 | 28,7 | — 80,5 c. on. |
| 22 | L M | 6 06 | 12 00 | 17 40 | 0,2 | + 88,1 l. op. |
| 23 | M D | 7 18 | 12 41 | 17 51 | 1,2 | + 76,8 |
| 24 | M W | 8 30 | 13 23 | 18 05 | 2,2 | + 65,7 |
| 25 | J D | 9 42 | 14 06 | 18 21 | 3,2 | + 54,7 |
| 26 | V V | 10 55 | 14 52 | 18 42 | 4,2 | + 43,8 |
| 27 | S Z | 12 06 | 15 41 | 19 11 | 5,2 | + 32,9 |
| 28 | D Z | 13 11 | 16 32 | 19 52 | 6,2 | + 22,0 |
| 29 | L M | 14 06 | 17 25 | 20 45 | 7,2 | + 10,9 |
| 30 | M D | 14 48 | 18 18 | 21 52 | 8,2 | — 0,3 l. op. |

P. L. le 7 sept. à 18^h 09^m. | V. M. op 7 sept. om 18^h 09^m.
D. Q. le 14 sept. à 10^h 33^m. | L. K. op 14 sept. om 10^h 33^m.
N. L. le 21 sept. à 19^h 54^m. | 1271 N. M. op 21 sept. om 19^h 54^m.
P. Q. le 29 sept. à 23^h 54^m. | E. K. op 29 sept. om 23^h 54^m.

| Jour du mois — Dag van de maand | A 0 ^h , TEMPS UNIVERSEL — Te 0 ^h WERELDTIJD | | | | |
|---------------------------------------|---|--------------------------------|--|--|--|
| | Ascension droite — Rechte klimming | Déclinaison — Declinatie | Fraction illuminée — Verlicht gedeelte | Demi-diamètre — Halve middellijn | Parallaxe horizontale — Horizontale parallax |
| | | | h m s | ° / | / // |
| 1 | 17 00 50 | — 28 02,7 | 0,57 | 14 54 | 54 41 |
| 2 | 17 55 57 | — 28 37,2 | 0,67 | 15 02 | 55 09 |
| 3 | 18 52 06 | — 27 46,3 | 0,76 | 15 12 | 55 47 |
| 4 | 19 48 07 | — 25 27,9 | 0,84 | 15 24 | 56 31 |
| 5 | 20 43 01 | — 21 46,2 | 0,91 | 15 37 | 57 19 |
| 6 | 21 36 18 | — 16 51,0 | 0,96 | 15 50 | 58 07 |
| 7 | 22 28 05 | — 10 56,9 | 0,99 | 16 02 | 58 51 |
| 8 | 23 18 55 | — 4 22,0 | 1,00 | 16 12 | 59 27 |
| 9 | 0 09 44 | + 2 32,4 | 0,98 | 16 19 | 59 52 |
| 10 | 1 01 36 | + 9 23,2 | 0,93 | 16 22 | 60 05 |
| 11 | 1 55 35 | + 15 45,5 | 0,86 | 16 22 | 60 05 |
| 12 | 2 52 31 | + 21 13,7 | 0,77 | 16 19 | 59 54 |
| 13 | 3 52 38 | + 25 23,4 | 0,66 | 16 14 | 59 34 |
| 14 | 4 55 14 | + 27 54,9 | 0,55 | 16 07 | 59 08 |
| 15 | 5 58 40 | + 28 37,1 | 0,44 | 15 59 | 58 38 |
| 16 | 7 00 48 | + 27 30,8 | 0,33 | 15 50 | 58 07 |
| 17 | 7 59 49 | + 24 48,0 | 0,23 | 15 42 | 57 35 |
| 18 | 8 54 48 | + 20 47,6 | 0,15 | 15 33 | 57 04 |
| 19 | 9 45 49 | + 15 50,7 | 0,08 | 15 25 | 56 33 |
| 20 | 10 33 28 | + 10 17,1 | 0,03 | 15 16 | 56 03 |
| 21 | 11 18 41 | + 4 24,2 | 0,01 | 15 09 | 55 35 |
| 22 | 12 02 30 | — 1 33,0 | 0,00 | 15 02 | 55 09 |
| 23 | 12 45 54 | — 7 21,5 | 0,01 | 14 55 | 54 45 |
| 24 | 13 29 47 | — 12 49,5 | 0,05 | 14 50 | 54 26 |
| 25 | 14 14 59 | — 17 45,7 | 0,09 | 14 46 | 54 12 |
| 26 | 15 02 08 | — 21 59,2 | 0,16 | 14 44 | 54 05 |
| 27 | 15 51 38 | — 25 18,6 | 0,23 | 14 44 | 54 06 |
| 28 | 16 43 31 | — 27 33,3 | 0,31 | 14 47 | 54 16 |
| 29 | 17 37 22 | — 28 33,5 | 0,41 | 14 53 | 54 35 |
| 30 | 18 32 20 | — 28 12,6 | 0,50 | 15 01 | 55 05 |

Périgée le 10 sept. à 12^h. | Perigee op 10 sept. om 12^h.
Apogée le 26 sept. à 10^h. | Apogee op 26 sept. om 10^h.

| JOUR — DAG | | TEMPS UNIVERSEL — WERELDTIJD | | | A 0 ^h UT — Te 0 ^h UT | |
|------------------------------|-----------------------------------|---|-------|-------|--|--------------------------------|
| du mois — van de maand | de la semaine — van de week | Lever, passage au méridien et coucher à Uccle — Opkomst, doorgang door de meridiaan en ondergang te Ukkel | | | Age — Ouderdom | Terminateur — Terminator |
| | | h m | h m | h m | d | o |
| 1 | M W | 15 20 | 19 10 | 23 09 | 9,2 | — 11,7 l. op. |
| 2 | J D | 15 43 | 20 01 | — | 10,2 | — 23,4 |
| 3 | V V | 16 01 | 20 51 | 0 30 | 11,2 | — 35,4 |
| 4 | S Z | 16 16 | 21 39 | 1 54 | 12,2 | — 47,9 |
| 5 | D Z | 16 30 | 22 28 | 3 18 | 13,2 | — 60,8 |
| 6 | L M | 16 43 | 23 18 | 4 44 | 14,2 | — 74,1 |
| 7 | M D | 16 58 | — | 6 12 | 15,2 | — 87,8 l. op. |
| 8 | M W | 17 16 | 0 10 | 7 44 | 16,2 | + 78,3 c. on. |
| 9 | J D | 17 40 | 1 06 | 9 18 | 17,2 | + 64,3 |
| 10 | V V | 18 15 | 2 05 | 10 51 | 18,2 | + 50,3 |
| 11 | S Z | 19 04 | 3 08 | 12 14 | 19,2 | + 36,5 |
| 12 | D Z | 20 10 | 4 12 | 13 20 | 20,2 | + 23,0 |
| 13 | L M | 21 28 | 5 14 | 14 06 | 21,2 | + 9,8 |
| 14 | M D | 22 50 | 6 12 | 14 37 | 22,2 | — 3,0 |
| 15 | M W | — | 7 05 | 14 58 | 23,2 | — 15,4 |
| 16 | J D | 0 11 | 7 53 | 15 14 | 24,2 | — 27,4 |
| 17 | V V | 1 29 | 8 37 | 15 27 | 25,2 | — 39,2 |
| 18 | S Z | 2 43 | 9 19 | 15 38 | 26,2 | — 50,7 |
| 19 | D Z | 3 54 | 9 59 | 15 49 | 27,2 | — 62,0 |
| 20 | L M | 5 05 | 10 39 | 16 00 | 28,2 | — 73,2 |
| 21 | M D | 6 17 | 11 20 | 16 12 | 29,2 | — 84,2 c. on. |
| 22 | M W | 7 29 | 12 03 | 16 27 | 0,5 | + 84,8 l. op. |
| 23 | J D | 8 42 | 12 48 | 16 47 | 1,5 | + 73,8 |
| 24 | V V | 9 53 | 13 36 | 17 13 | 2,5 | + 62,9 |
| 25 | S Z | 11 00 | 14 26 | 17 49 | 3,5 | + 52,0 |
| 26 | D Z | 11 58 | 15 18 | 18 38 | 4,5 | + 41,1 |
| 27 | L M | 12 45 | 16 10 | 19 39 | 5,5 | + 30,1 |
| 28 | M D | 13 20 | 17 02 | 20 51 | 6,5 | + 18,9 |
| 29 | M W | 13 45 | 17 52 | 22 08 | 7,5 | + 7,6 |
| 30 | J D | 14 05 | 18 40 | 23 28 | 8,5 | — 4,0 |
| 31 | V V | 14 21 | 19 28 | — | 9,5 | — 15,9 l. op. |

P. L. le 7 oct. à 3^h 48^m.
D. Q. le 13 oct. à 18^h 13^m.
1272 N. L. le 21 oct. à 12^h 25^m.
P. Q. le 29 oct. à 16^h 21^m.

V. M. op 7 okt. om 3^h 48^m.
L. K. op 13 okt. om 18^h 13^m.
1272 N. M. op 21 okt. om 12^h 25^m.
E. K. op 29 okt. om 16^h 21^m.

| Jour du mois — Dag van de maand | A 0 ^h , TEMPS UNIVERSEL — Te 0 ^h WERELDTIJD | | | | |
|---|---|--------------------------------|--|---|--|
| | Ascension droite — Rechte klimming | Déclinaison — Declinatie | Fraction illuminée — Verlicht gedeelte | Demi- diamètre — Halve middellijn | Parallaxe horizontale — Horizontale parallax |
| | | | h m s | o / | / // |
| 1 | 19 27 23 | — 26 27,7 | 0,60 | 15 11 | 55 45 |
| 2 | 20 21 38 | — 23 20,9 | 0,70 | 15 24 | 56 32 |
| 3 | 21 14 34 | — 18 58,9 | 0,79 | 15 39 | 57 26 |
| 4 | 22 06 13 | — 13 32,2 | 0,87 | 15 54 | 58 22 |
| 5 | 22 57 05 | — 7 15,0 | 0,94 | 16 09 | 59 15 |
| 6 | 23 48 01 | — 0 25,2 | 0,98 | 16 21 | 60 02 |
| 7 | 0 40 05 | + 6 35,4 | 1,00 | 16 31 | 60 36 |
| 8 | 1 34 24 | + 13 20,7 | 0,99 | 16 36 | 60 54 |
| 9 | 2 31 54 | + 19 21,9 | 0,95 | 16 36 | 60 54 |
| 10 | 3 32 59 | + 24 09,4 | 0,88 | 16 31 | 60 38 |
| 11 | 4 37 00 | + 27 17,8 | 0,80 | 16 23 | 60 08 |
| 12 | 5 42 09 | + 28 32,1 | 0,69 | 16 13 | 59 29 |
| 13 | 6 46 02 | + 27 51,3 | 0,59 | 16 01 | 58 45 |
| 14 | 7 46 33 | + 25 28,1 | 0,47 | 15 48 | 58 00 |
| 15 | 8 42 37 | + 21 43,3 | 0,37 | 15 36 | 57 16 |
| 16 | 9 34 15 | + 16 59,4 | 0,27 | 15 25 | 56 36 |
| 17 | 10 22 11 | + 11 36,5 | 0,18 | 15 15 | 56 00 |
| 18 | 11 07 25 | + 5 51,8 | 0,11 | 15 07 | 55 28 |
| 19 | 11 51 03 | — 0 00,6 | 0,06 | 15 00 | 55 02 |
| 20 | 12 34 06 | — 5 48,3 | 0,02 | 14 54 | 54 40 |
| 21 | 13 17 34 | — 11 19,9 | 0,00 | 14 49 | 54 22 |
| 22 | 14 02 14 | — 16 24,0 | 0,00 | 14 45 | 54 08 |
| 23 | 14 48 49 | — 20 49,1 | 0,02 | 14 43 | 54 00 |
| 24 | 15 37 40 | — 24 23,4 | 0,06 | 14 42 | 53 57 |
| 25 | 16 28 51 | — 26 55,8 | 0,11 | 14 43 | 54 00 |
| 26 | 17 21 57 | — 28 16,4 | 0,17 | 14 46 | 54 11 |
| 27 | 18 16 06 | — 28 18,5 | 0,25 | 14 51 | 54 30 |
| 28 | 19 10 18 | — 26 59,7 | 0,34 | 14 59 | 54 58 |
| 29 | 20 03 37 | — 24 22,2 | 0,43 | 15 09 | 55 36 |
| 30 | 20 55 33 | — 20 31,8 | 0,53 | 15 21 | 56 21 |
| 31 | 21 46 07 | — 15 37,4 | 0,64 | 15 36 | 57 15 |

Périgée le 8 oct. à 13^h.
Apogée le 23 oct. à 24^h.
Perigeum op 8 okt. om 13^h.
Apogee op 23 okt. om 24^h.

| JOUR — DAG | | | TEMPS UNIVERSEL — WERELDTIJD | | | A 0 ^h UT — Te 0 ^h UT | | | | |
|------------------------------|-----------------------------------|---|--|----------------------|--------------------------------|--|--------|--------|---|---|
| du mois — van de maand | de la semaine — van de week | | Lever, passage au méridien et coucher à Uccle | Age — Ouderdom | Terminateur — Terminator | | | | | |
| | | | Opkomst, doorgang door de meridiaan en ondergang te Ukkel | | | h m | h m | h m | d | ° |
| 1 | S | Z | 14 34 | 20 15 | 0 49 | 10,5 | — 28,2 | l. op. | | |
| 2 | D | Z | 14 47 | 21 03 | 2 11 | 11,5 | — 41,0 | | | |
| 3 | L | M | 15 01 | 21 53 | 3 37 | 12,5 | — 54,3 | | | |
| 4 | M | D | 15 18 | 22 47 | 5 06 | 13,5 | — 68,0 | | | |
| 5 | M | W | 15 39 | 23 46 | 6 40 | 14,5 | — 82,0 | l. op. | | |
| 6 | J | D | 16 09 | — | 8 16 | 15,5 | + 83,7 | c. on. | | |
| 7 | V | V | 16 52 | 0 49 | 9 48 | 16,5 | + 69,4 | | | |
| 8 | S | Z | 17 54 | 1 56 | 11 04 | 17,5 | + 55,2 | | | |
| 9 | D | Z | 19 11 | 3 01 | 12 00 | 18,5 | + 41,4 | | | |
| 10 | L | M | 20 35 | 4 03 | 12 38 | 19,5 | + 28,1 | | | |
| 11 | M | D | 21 58 | 4 59 | 13 03 | 20,5 | + 15,2 | | | |
| 12 | M | W | 23 18 | 5 50 | 13 21 | 21,5 | + 2,8 | | | |
| 13 | J | D | — | 6 36 | 13 35 | 22,5 | — 9,1 | | | |
| 14 | V | V | 0 33 | 7 18 | 13 47 | 23,5 | — 20,7 | | | |
| 15 | S | Z | 1 45 | 7 59 | 13 57 | 24,5 | — 32,0 | | | |
| 16 | D | Z | 2 56 | 8 39 | 14 08 | 25,5 | — 43,2 | | | |
| 17 | L | M | 4 06 | 9 19 | 14 20 | 26,5 | — 54,2 | | | |
| 18 | M | D | 5 18 | 10 01 | 14 35 | 27,5 | — 65,1 | | | |
| 19 | M | W | 6 30 | 10 46 | 14 53 | 28,5 | — 76,0 | | | |
| 20 | J | D | 7 42 | 11 33 | 15 17 | 29,5 | — 86,9 | c. on. | | |
| 21 | V | V | 8 51 | 12 22 | 15 50 | 0,7 | + 82,2 | l. op. | | |
| 22 | S | Z | 9 52 | 13 14 | 16 35 | 1,7 | + 71,3 | | | |
| 23 | D | Z | 10 42 | 14 06 | 17 32 | 2,7 | + 60,3 | | | |
| 24 | L | M | 11 20 | 14 57 | 18 40 | 3,7 | + 49,2 | | | |
| 25 | M | D | 11 48 | 15 47 | 19 55 | 4,7 | + 38,0 | | | |
| 26 | M | W | 12 09 | 16 35 | 21 12 | 5,7 | + 26,7 | | | |
| 27 | J | D | 12 25 | 17 21 | 22 30 | 6,7 | + 15,1 | | | |
| 28 | V | V | 12 39 | 18 06 | 23 49 | 7,7 | + 3,3 | | | |
| 29 | S | Z | 12 52 | 18 52 | — | 8,7 | — 8,8 | | | |
| 30 | D | Z | 13 05 | 19 39 | 1 09 | 9,7 | — 21,4 | l. op. | | |

P. L. le 5 nov. à 13^h 19^m.
D. Q. le 12 nov. à 5^h 28^m.
1273 N. L. le 20 nov. à 6^h 47^m.
P. Q. le 28 nov. à 6^h 59^m.

V. M. op 5 nov. om 13^h 19^m.
L. K. op 12 nov. om 5^h 28^m.
1273 N. M. op 20 nov. om 6^h 47^m.
E. K. op 28 nov. om 6^h 59^m.

| Jour du mois — Dag van de maand | A 0 ^h , TEMPS UNIVERSEL — Te 0 ^h WERELDTIJD | | | | |
|---|---|--------------------------------|--|---|--|
| | Ascension droite — Rechte klimming | Déclinaison — Declinatie | Fraction illuminée — Verlicht gedeelte | Demi- diamètre — Halve middellijn | Parallaxe horizontale — Horizontale parallax |
| | | | h m s | ° / | / " |
| 1 | 22 35 46 | — 9 49,9 | 0,74 | 15 52 | 58 13 |
| 2 | 23 25 21 | — 3 22,8 | 0,83 | 16 08 | 59 11 |
| 3 | 0 15 57 | + 3 27,1 | 0,91 | 16 22 | 60 05 |
| 4 | 1 08 51 | + 10 18,1 | 0,96 | 16 34 | 60 50 |
| 5 | 2 05 12 | + 16 43,0 | 0,99 | 16 42 | 61 18 |
| 6 | 3 05 48 | + 22 10,1 | 1,00 | 16 45 | 61 27 |
| 7 | 4 10 29 | + 26 07,1 | 0,97 | 16 42 | 61 16 |
| 8 | 5 17 40 | + 28 09,2 | 0,91 | 16 33 | 60 46 |
| 9 | 6 24 36 | + 28 07,0 | 0,83 | 16 21 | 60 02 |
| 10 | 7 28 26 | + 26 09,9 | 0,74 | 16 07 | 59 09 |
| 11 | 8 27 26 | + 22 40,1 | 0,63 | 15 52 | 58 13 |
| 12 | 9 21 18 | + 18 04,2 | 0,53 | 15 37 | 57 19 |
| 13 | 10 10 40 | + 12 45,9 | 0,42 | 15 24 | 56 30 |
| 14 | 10 56 42 | + 7 04,5 | 0,32 | 15 12 | 55 46 |
| 15 | 11 40 36 | + 1 14,5 | 0,23 | 15 02 | 55 11 |
| 16 | 12 23 33 | — 4 32,0 | 0,16 | 14 54 | 54 43 |
| 17 | 13 06 38 | — 10 04,5 | 0,09 | 14 49 | 54 21 |
| 18 | 13 50 46 | — 15 12,7 | 0,05 | 14 45 | 54 07 |
| 19 | 14 36 44 | — 19 45,5 | 0,02 | 14 42 | 53 58 |
| 20 | 15 25 01 | — 23 31,3 | 0,00 | 14 42 | 53 55 |
| 21 | 16 15 44 | — 26 18,1 | 0,01 | 14 42 | 53 57 |
| 22 | 17 08 32 | — 27 55,4 | 0,03 | 14 44 | 54 04 |
| 23 | 18 02 32 | — 28 15,3 | 0,07 | 14 48 | 54 17 |
| 24 | 18 56 38 | — 27 15,0 | 0,12 | 14 53 | 54 36 |
| 25 | 19 49 45 | — 24 56,7 | 0,19 | 15 00 | 55 01 |
| 26 | 20 41 14 | — 21 27,2 | 0,28 | 15 08 | 55 34 |
| 27 | 21 30 59 | — 16 55,7 | 0,37 | 15 19 | 56 14 |
| 28 | 22 19 22 | — 11 33,2 | 0,47 | 15 32 | 57 00 |
| 29 | 23 07 12 | — 5 31,3 | 0,58 | 15 46 | 57 52 |
| 30 | 23 55 33 | + 0 56,6 | 0,68 | 16 01 | 58 47 |

Périgée le 5 nov. à 22^h.
Apogée le 20 nov. à 3^h.
Perigeum op 5 nov. om 22^h.
Apogee op 20 nov. om 3^h.

| JOUR — DAG | | TEMPS UNIVERSEL — WERELDTIJD | | | A 0 ^h UT — Te 0 ^h UT | |
|------------------------------|-----------------------------------|---|-------|-------|--|--------------------------------|
| du mois — van de maand | de la semaine — van de week | Lever, passage au méridien et coucher à Uccle — Opkomst, doorgang door de meridiaan en ondergang te Ukkel | | | Age — Ouderdom | Terminateur — Terminator |
| | | h m | h m | h m | d | o |
| 1 | L M | 13 20 | 20 30 | 2 33 | 10,7 | — 34,5 l. op. |
| 2 | M D | 13 38 | 21 25 | 4 02 | 11,7 | — 48,0 |
| 3 | M W | 14 02 | 22 25 | 5 35 | 12,7 | — 61,9 |
| 4 | J D | 14 38 | 23 31 | 7 10 | 13,7 | — 76,1 l. op. |
| 5 | V V | 15 31 | — | 8 36 | 14,7 | + 89,5 c. on. |
| 6 | S Z | 16 44 | 0 39 | 9 44 | 15,7 | + 75,3 |
| 7 | D Z | 18 08 | 1 45 | 10 31 | 16,7 | + 61,4 |
| 8 | L M | 19 36 | 2 46 | 11 03 | 17,7 | + 47,8 |
| 9 | M D | 21 00 | 3 41 | 11 25 | 18,7 | + 34,8 |
| 10 | M W | 22 19 | 4 30 | 11 40 | 19,7 | + 22,3 |
| 11 | J D | 23 34 | 5 15 | 11 53 | 20,7 | + 10,3 |
| 12 | V V | — | 5 57 | 12 05 | 21,7 | — 1,3 |
| 13 | S Z | 0 46 | 6 38 | 12 16 | 22,7 | — 12,6 |
| 14 | D Z | 1 56 | 7 18 | 12 27 | 23,7 | — 23,7 |
| 15 | L M | 3 07 | 8 00 | 12 41 | 24,7 | — 34,6 |
| 16 | M D | 4 19 | 8 43 | 12 58 | 25,7 | — 45,5 |
| 17 | M W | 5 31 | 9 29 | 13 20 | 26,7 | — 56,3 |
| 18 | J D | 6 41 | 10 18 | 13 50 | 27,7 | — 67,2 |
| 19 | V V | 7 45 | 11 09 | 14 31 | 28,7 | — 78,2 |
| 20 | S Z | 8 39 | 12 02 | 15 26 | 29,7 | — 89,2 c. on. |
| 21 | D Z | 9 21 | 12 54 | 16 32 | 0,9 | + 79,6 l. op. |
| 22 | L M | 9 51 | 13 44 | 17 45 | 1,9 | + 68,4 |
| 23 | M D | 10 14 | 14 33 | 19 02 | 2,9 | + 57,0 |
| 24 | M W | 10 32 | 15 19 | 20 19 | 3,9 | + 45,6 |
| 25 | J D | 10 46 | 16 04 | 21 36 | 4,9 | + 33,9 |
| 26 | V V | 10 59 | 16 48 | 22 54 | 5,9 | + 22,0 |
| 27 | S Z | 11 11 | 17 33 | — | 6,9 | + 9,9 |
| 28 | D Z | 11 24 | 18 20 | 0 13 | 7,9 | — 2,6 |
| 29 | L M | 11 40 | 19 11 | 1 37 | 8,9 | — 15,5 |
| 30 | M D | 12 00 | 20 07 | 3 04 | 9,9 | — 28,7 |
| 31 | M W | 12 29 | 21 08 | 4 36 | 10,9 | — 42,3 l. op. |

P. L. le 4 déc. à 23^h 14^m.
D. Q. le 11 déc. à 20^h 52^m.
1274 N. L. le 20 déc. à 1^h 43^m.
P. Q. le 27 déc. à 19^h 10^m.

V. M. op 4 dec. om 23^h 14^m.
L. K. op 11 dec. om 20^h 52^m.
1274 N. M. op 20 dec. om 1^h 43^m.
E. K. op 27 dec. om 19^h 10^m.

| Jour du mois — Dag van de maand | A 0 ^h , TEMPS UNIVERSEL — Te 0 ^h WERELDTIJD | | | | |
|---|---|--------------------------------|--|---|--|
| | Ascension droite — Rechte klimming | Déclinaison — Declinatie | Fraction illuminée — Verlicht gedeelte | Demi- diamètre — Halve middellijn | Parallaxe horizontale — Horizontale parallax |
| | | | h m s | o / | / // |
| 1 | 0 45 41 | + 7 34,2 | 0,78 | 16 16 | 59 41 |
| 2 | 1 38 58 | + 14 00,7 | 0,87 | 16 29 | 60 29 |
| 3 | 2 36 36 | + 19 48,9 | 0,94 | 16 39 | 61 04 |
| 4 | 3 39 08 | + 24 26,9 | 0,98 | 16 44 | 61 23 |
| 5 | 4 45 55 | + 27 23,0 | 1,00 | 16 44 | 61 23 |
| 6 | 5 54 34 | + 28 15,3 | 0,98 | 16 38 | 61 02 |
| 7 | 7 01 49 | + 27 01,2 | 0,94 | 16 27 | 60 23 |
| 8 | 8 04 53 | + 23 57,7 | 0,87 | 16 13 | 59 32 |
| 9 | 9 02 30 | + 19 33,0 | 0,79 | 15 58 | 58 34 |
| 10 | 9 54 53 | + 14 15,9 | 0,69 | 15 42 | 57 36 |
| 11 | 10 43 04 | + 8 30,7 | 0,59 | 15 26 | 56 40 |
| 12 | 11 28 20 | + 2 35,6 | 0,49 | 15 13 | 55 51 |
| 13 | 12 11 59 | — 3 16,1 | 0,39 | 15 02 | 55 10 |
| 14 | 12 55 14 | — 8 53,5 | 0,30 | 14 53 | 54 39 |
| 15 | 13 39 07 | — 14 07,3 | 0,22 | 14 47 | 54 17 |
| 16 | 14 24 33 | — 18 47,5 | 0,14 | 14 44 | 54 04 |
| 17 | 15 12 12 | — 22 43,5 | 0,08 | 14 42 | 53 58 |
| 18 | 16 02 22 | — 25 43,7 | 0,04 | 14 43 | 54 00 |
| 19 | 16 54 51 | — 27 37,0 | 0,01 | 14 45 | 54 07 |
| 20 | 17 48 55 | — 28 14,1 | 0,00 | 14 48 | 54 20 |
| 21 | 18 43 26 | — 27 30,3 | 0,01 | 14 53 | 54 36 |
| 22 | 19 37 10 | — 25 26,8 | 0,04 | 14 58 | 54 57 |
| 23 | 20 29 14 | — 22 10,0 | 0,08 | 15 05 | 55 22 |
| 24 | 21 19 16 | — 17 50,3 | 0,14 | 15 13 | 55 51 |
| 25 | 22 07 31 | — 12 39,8 | 0,22 | 15 22 | 56 24 |
| 26 | 22 54 37 | — 6 51,3 | 0,31 | 15 32 | 57 01 |
| 27 | 23 41 32 | — 0 38,0 | 0,41 | 15 43 | 57 42 |
| 28 | 0 29 29 | + 5 45,8 | 0,52 | 15 55 | 58 25 |
| 29 | 1 19 45 | + 12 03,3 | 0,63 | 16 07 | 59 09 |
| 30 | 2 13 41 | + 17 53,4 | 0,74 | 16 18 | 59 49 |
| 31 | 3 12 16 | + 22 50,2 | 0,84 | 16 27 | 60 22 |

Périgée le 4 déc. à 11^h.
Apogée le 17 déc. à 6^h.

Perigeum op 4 dec. om 11^h.
Apogee op 17 dec. om 6^h.

LE SYSTÈME PLANÉTAIRE

DONNÉES NUMÉRIQUES

| Nom | <i>a</i> | <i>e</i> | <i>i</i> | <i>P</i> | <i>r</i> | <i>f</i> |
|---------|----------|----------|----------|-----------|-------------|--------------|
| | UA — AE | | o | a | km | |
| Mercure | 0,387 10 | 0,2056 | 7,004 | 0,240 847 | 2 440,53 | 0,000 90 |
| Vénus | 0,723 34 | 0,0068 | 3,395 | 0,615 197 | 6 051,8 | 0,000 00 |
| Terre | 1,000 00 | 0,0167 | 0,000 | 1,000 017 | 6 378,136 6 | 0,003 352 81 |
| Mars | 1,523 79 | 0,0935 | 1,848 | 1,880 848 | 3 396,19 | 0,005 89 |
| Jupiter | 5,203 81 | 0,0487 | 1,304 | 11,862 62 | 71 492 | 0,064 87 |
| Saturne | 9,572 6 | 0,0520 | 2,486 | 29,447 50 | 60 268 | 0,097 96 |
| Uranus | 19,165 0 | 0,0469 | 0,770 | 84,016 85 | 25 559 | 0,022 93 |
| Neptune | 30,180 6 | 0,0097 | 1,770 | 164,791 3 | 24 764 | 0,017 08 |

Les symboles utilisés sont les suivants:

- a* Demi-grand axe de l'orbite en unités astronomiques.
- e* Excentricité de l'orbite.
- i* Inclinaison de l'orbite sur l'écliptique.
- P* Révolution sidérale (en années julientes).
- r* Rayon équatorial en kilomètres.
- f* Aplatissement géométrique.
- M* Masse.
- ρ* Densité moyenne en g/cm³.
- p* Pesanteur équatoriale en m/s².
- R* Rotation sidérale en jours moyens.
 - (¹): Système III pour Jupiter et Saturne.
 - (²): Rotation rétrograde par rapport au pôle situé au nord du plan invariable du système solaire.
- v* Vitesse de libération en km/s.
- n* Nombre de satellites numérotés au 31 mars 2024.

Pour la Terre, la pesanteur à l'équateur est de 978,0327 gal.
a, e, i: éléments moyens pour l'époque J2000,0.

HET PLANETENSTELSEL

NUMERIEKE GEGEVENS

| <i>M</i> | <i>ρ</i> | <i>p</i> | <i>R</i> | <i>v</i> | <i>n</i> | Naam |
|----------|---------------------|-------------------|---------------|------------------|----------|-----------|
| | 10 ²⁴ kg | g/cm ³ | | km/s | | |
| 0,330 10 | 5,4289 | 3,70 | 58,646 225 2 | 4,25 | 0 | Mercurius |
| 4,867 3 | 5,243 | 8,87 | — 243,018 5 | (²) | 10,36 | 0 |
| 5,972 2 | 5,5134 | 9,80 | 0,997 269 566 | 11,19 | 1 | Aarde |
| 0,641 69 | 3,9340 | 3,71 | 1,025 956 76 | 5,03 | 2 | Mars |
| 1 898,12 | 1,3262 | 24,79 | 0,413 54 | (¹) | 60,20 | 72 |
| 568,32 | 0,6871 | 10,44 | 0,444 01 | 36,09 | 66 | Jupiter |
| 86,810 | 1,270 | 8,87 | — 0,718 33 | (²) | 21,38 | 27 |
| 102,409 | 1,638 | 11,15 | 0,671 25 | 23,56 | 14 | Uranus |
| | | | | | | Neptunus |

Hierbij werden de volgende symbolen gebruikt:

- a* Halve grote as van de baan in astronomische eenheden.
- e* Excentriciteit van de baan.
- i* Helling van de baan op de ecliptica.
- P* Siderische omloopstijd in juliaanse jaren.
- r* Equatoriale straal in kilometer.
- f* Geometrische afplatting.
- M* Massa.
- ρ* Gemiddelde dichtheid in g/cm³.
- p* Equatoriale zwaartekracht in m/s².
- R* Siderische omwentelingstijd in middelbare dagen.
- (¹): Systeem III voor Jupiter.
- (²): De aswending is teruglopend ten opzichte van de pool die ten noorden ligt van het onveranderlijk vlak van het zonnestelsel.
- v* Ontsnappingssnelheid in km/s.
- n* Aantal genummerde satellieten op 31 maart 2024.

Voor de aarde is de equatoriale zwaartekracht 978,0327 gal.
a, e, i: middelbare baanelementen voor epocha J2000,0.

LES SATELLITES

Le tableau des pages 95 à 99 contient les données suivantes relatives aux satellites numérotés à la date du 31 mars 2024: le numéro et le nom, la durée de la révolution en jours ((R) = rétrograde), le demi-grand axe de l'orbite (distance moyenne à la planète) en kilomètres, la taille (estimation du diamètre moyen) du satellite en kilomètres, la magnitude moyenne à l'opposition, et l'année de la découverte. Ces valeurs sont données à titre indicatif. Certaines d'entre elles sont encore très incertaines.

DE SATELLIETEN

De tabel op de bladzijden 95 tot 99 geeft de volgende gegevens voor de satellieten die op 31 maart 2024 genummerd zijn: het nummer en de naam, de baanperiode in dagen ((R) = retrograad), de halve grote as van de baan (gemiddelde afstand tot de planeet) in kilometer, de afmeting (schatting voor de gemiddelde diameter) van de satelliet in kilometer, de gemiddelde magnitude bij oppositie en het jaar van ontdekking. Deze waarden worden slechts ter inlichting gegeven. Sommige ervan zijn nog zeer onzeker.

Sources – Bronnen

- Pour les planètes — Voor de planeten:
 - *The Astronomical Almanac 2019*, United States Naval Observatory/Nautical Almanac Office, p. E6.
 - https://ssd.jpl.nasa.gov/?planet_phys_par
 - <https://nssdc.gsfc.nasa.gov/planetary/planetfact.html>
- Pour la Lune et les satellites de Mars — Voor de maan en de satellieten van Mars:
 - http://asa.usno.navy.mil/static/files/2018/Satellite_photo_data_2018.txt
 - http://asa.usno.navy.mil/static/files/2018/Satellite_orbital_data_2018.txt
- Pour les autres satellites — Voor de overige satellieten:
 - <https://sites.google.com/carnegiescience.edu/sheppard/moons/jupitermoons>
 - <https://sites.google.com/carnegiescience.edu/sheppard/moons/saturnmoons>
 - <https://sites.google.com/carnegiescience.edu/sheppard/moons/uranusmoons>
 - <https://sites.google.com/carnegiescience.edu/sheppard/moons/neptunemoons>

| Satellite — Satelliet | Révolution — Baanperiode | Demi-grand axe — Halve grote baanas | Taille — Afmeting | Année découv. — Jaar ontdek. |
|-----------------------------|--------------------------------|---|-------------------------|--|
| | d | km | km | |

| Terre – Aarde | | | | |
|---------------|--------|---------|--------|-----|
| Lune – Maan | 27,322 | 384 400 | 3474,8 | -13 |
| | | | | — |

| Mars | | | | |
|-----------|-------|--------|----|------|
| I Phobos | 0,319 | 9 376 | 22 | 11 |
| II Deimos | 1,262 | 23 458 | 12 | 12 |
| | | | | 1877 |

| Jupiter | | | | | |
|-----------------|-----------|------------|------|----|------|
| I Io | 1,77 | 421 800 | 3643 | 5 | 1610 |
| II Europa | 3,55 | 671 100 | 3122 | 5 | 1610 |
| III Ganymede | 7,16 | 1 070 400 | 5262 | 5 | 1610 |
| IV Callisto | 16,69 | 1 882 700 | 4821 | 6 | 1610 |
| V Amalthea | 0,50 | 181 400 | 168 | 14 | 1892 |
| VI Himalia | 250,6 | 11 461 000 | 160 | 15 | 1904 |
| VII Elara | 259,6 | 11 741 000 | 78 | 17 | 1905 |
| VIII Pasiphae | 708,0 (R) | 23 624 000 | 58 | 17 | 1908 |
| IX Sinope | 724,5 (R) | 23 939 000 | 38 | 18 | 1914 |
| X Lysithea | 259,2 | 11 717 000 | 38 | 18 | 1938 |
| XI Carme | 702,3 (R) | 23 404 000 | 46 | 18 | 1938 |
| XII Ananke | 610,5 (R) | 21 276 000 | 28 | 19 | 1951 |
| XIII Leda | 240,9 | 11 165 000 | 18 | 20 | 1974 |
| XIV Thebe | 0,68 | 221 900 | 98 | 16 | 1979 |
| XV Adrastea | 0,30 | 129 000 | 16 | 19 | 1979 |
| XVI Metis | 0,30 | 128 000 | 44 | 18 | 1979 |
| XVII Callirrhoe | 758,8 (R) | 24 102 000 | 7 | 21 | 1999 |
| XVIII Themisto | 130,0 | 7 507 000 | 9 | 21 | 2000 |
| XIX Megalite | 752,8 (R) | 23 806 000 | 6 | 22 | 2000 |
| XX Taygete | 732,2 (R) | 23 360 000 | 5 | 22 | 2000 |
| XXI Chaldene | 723,8 (R) | 23 179 000 | 4 | 23 | 2000 |
| XXII Harpalyke | 623,3 (R) | 21 105 000 | 4 | 22 | 2000 |
| XXIII Kalyke | 743,0 (R) | 23 583 000 | 5 | 22 | 2000 |
| XXIV Iocaste | 631,5 (R) | 21 269 000 | 5 | 22 | 2000 |
| XXV Erinome | 728,3 (R) | 23 279 000 | 3 | 23 | 2000 |
| XXVI Isonoe | 725,5 (R) | 23 217 000 | 4 | 23 | 2000 |
| XXVII Praxidike | 625,3 (R) | 21 147 000 | 7 | 21 | 2000 |
| XXVIII Autonoe | 762,7 (R) | 23 039 000 | 4 | 22 | 2001 |
| XXIX Thyone | 627,3 (R) | 20 940 000 | 4 | 22 | 2001 |
| XXX Herminipe | 633,9 (R) | 21 131 000 | 4 | 22 | 2001 |

| Satellite — Satelliet | Révolution | Demi-grand axe | Taille | Magn. | Année découv. — Jaar ontdek. |
|-----------------------------|------------------|----------------------------|---------------|-------|--|
| | — Baanperiode | — Halve grote baanas | — Afmeting | | |
| | d | km | km | | |
| XXXI Aitne | 730,2 (R) | 23 231 000 | 3 | 23 | 2001 |
| XXXII Eurydome | 717,3 (R) | 22 865 000 | 3 | 23 | 2001 |
| XXXIII Euanthe | 620,6 (R) | 20 799 000 | 3 | 23 | 2001 |
| XXXIV Euporie | 550,7 (R) | 19 302 000 | 2 | 23 | 2001 |
| XXXV Orthosie | 622,6 (R) | 20 721 000 | 2 | 23 | 2001 |
| XXXVI Sponde | 748,3 (R) | 23 487 000 | 2 | 23 | 2001 |
| XXXVII Kale | 729,5 (R) | 23 217 000 | 2 | 23 | 2001 |
| XXXVIII Pasithee | 719,5 (R) | 23 096 000 | 2 | 23 | 2001 |
| XXXIX Hegemone | 739,6 (R) | 23 947 000 | 3 | 23 | 2003 |
| XL Mneme | 620,0 (R) | 21 069 000 | 2 | 23 | 2003 |
| XLI Aoede | 761,5 (R) | 23 981 000 | 4 | 23 | 2003 |
| XLII Thelxinoe | 628,1 (R) | 21 162 000 | 2 | 24 | 2003 |
| XLIII Arche | 723,9 (R) | 22 931 000 | 3 | 23 | 2002 |
| XLIV Kallichore | 764,7 (R) | 24 043 000 | 2 | 24 | 2003 |
| XLV Helike | 634,8 (R) | 21 263 000 | 4 | 23 | 2003 |
| XLVI Carpo | 456,1 | 16 989 000 | 3 | 23 | 2003 |
| XLVII Eukelade | 746,4 (R) | 23 661 000 | 4 | 23 | 2003 |
| XLVIII Cyllene | 737,8 (R) | 24 349 000 | 2 | 23 | 2003 |
| XLIX Kore | 779,2 (R) | 24 543 000 | 2 | 24 | 2003 |
| L Herse | 715,4 (R) | 23 097 000 | 2 | 23 | 2003 |
| LI | 723,2 (R) | 23 314 335 | 2 | 23 | 2010 |
| LI | 588,1 (R) | 20 307 150 | 1 | 24 | 2010 |
| LIII Dia | 287,0 | 12 118 000 | 4 | 22 | 2000 |
| LIV | 602,7 (R) | 20 650 845 | 1 | 24 | 2016 |
| LV | 588,0 (R) | 20 274 000 | 2 | 23 | 2003 |
| LVI | 730,5 (R) | 23 463 885 | 1 | 24 | 2011 |
| LVII Eirene | 759,7 (R) | 23 731 770 | 4 | 23 | 2003 |
| LVIII Philophrosyne | 701,3 (R) | 22 819 950 | 2 | 24 | 2003 |
| LIX | 734,2 (R) | 23 547 105 | 2 | 24 | 2017 |
| LX Eupheme | 627,8 (R) | 21 199 710 | 2 | 23 | 2003 |
| LXI | 697,6 (R) | 22 757 000 | 2 | 24 | 2003 |
| LXII Valetudo | 533,3 | 18 980 000 | 1 | 24 | 2017 |
| LXIII | 723,1 (R) | 23 303 000 | 2 | 24 | 2017 |
| LXIV | 606,3 (R) | 20 694 000 | 2 | 23 | 2017 |
| LXV Pandia | 252,1 | 11 525 000 | 3 | 23 | 2017 |
| LXVI | 719,5 (R) | 23 232 000 | 2 | 24 | 2017 |
| LXVII | 683,0 (R) | 22 455 000 | 2 | 24 | 2017 |
| LXVIII | 602,6 (R) | 20 627 000 | 2 | 24 | 2017 |
| LXIX | 719,6 (R) | 23 232 700 | 1 | 24 | 2017 |
| LXX | 639,2 (R) | 21 487 000 | 3 | 23 | 2017 |

| Satellite — Satelliet | Révolution | Demi-grand axe | Taille | Magn. | Année découv. — Jaar ontdek. |
|-----------------------------|------------------|----------------------------|---------------|-------|--|
| | — Baanperiode | — Halve grote baanas | — Afmeting | | |
| | d | km | km | | |
| LXXI Ersa | 252,0 | 11 483 000 | 3 | 23 | 2018 |
| LXXII | 686,6 (R) | 22 462 000 | 2 | 24 | 2011 |
| Saturne – Saturnus | | | | | |
| I Mimas | 0,94 | 185 539 | 397 | 13 | 1789 |
| II Enceladus | 1,37 | 238 042 | 499 | 12 | 1789 |
| III Tethys | 1,89 | 294 672 | 1060 | 10 | 1684 |
| IV Dione | 2,74 | 377 415 | 1118 | 10 | 1684 |
| V Rhea | 4,518 | 527 068 | 1528 | 9 | 1672 |
| VI Titan | 15,95 | 1 221 865 | 5150 | 8 | 1655 |
| VII Hyperion | 21,28 | 1 500 933 | 266 | 14 | 1848 |
| VIII Iapetus | 79,33 | 3 560 854 | 1436 | 11 | 1671 |
| IX Phoebe | 548,2 (R) | 12 944 300 | 240 | 16 | 1898 |
| X Janus | 0,70 | 151 500 | 178 | 14 | 1980 |
| XI Epimetheus | 0,69 | 151 400 | 119 | 15 | 1980 |
| XII Helene | 2,74 | 377 440 | 32 | 18 | 1980 |
| XIII Telesto | 1,89 | 294 720 | 24 | 18 | 1980 |
| XIV Calypso | 1,89 | 294 720 | 19 | 19 | 1980 |
| XV Atlas | 0,602 | 137 700 | 32 | 19 | 1980 |
| XVI Prometheus | 0,613 | 139 400 | 100 | 16 | 1980 |
| XVII Pandora | 0,629 | 141 700 | 84 | 16 | 1980 |
| XVIII Pan | 0,575 | 133 600 | 20 | 19 | 1981 |
| XIX Ymir | 1315,4 (R) | 23 040 000 | 18 | 22 | 2000 |
| XX Paaliaq | 686,9 | 15 200 000 | 22 | 21 | 2000 |
| XXI Tarvos | 926,2 | 17 983 000 | 15 | 22 | 2000 |
| XXII Ijiraq | 451,4 | 11 124 000 | 12 | 23 | 2000 |
| XXIII Suttungr | 1016,7 (R) | 19 459 000 | 7 | 24 | 2000 |
| XXIV Kiviuq | 449,2 | 11 111 000 | 16 | 22 | 2000 |
| XXV Mundilfari | 952,6 (R) | 18 685 000 | 7 | 24 | 2000 |
| XXVI Albiorix | 783,5 | 16 182 000 | 32 | 21 | 2000 |
| XXVII Skathi | 728,2 (R) | 15 541 000 | 8 | 24 | 2000 |
| XXVIII Erriapus | 871,2 | 17 343 000 | 10 | 23 | 2000 |
| XXIX Siarnaq | 895,6 | 17 531 000 | 40 | 20 | 2000 |
| XXX Thrymr | 1094,3 (R) | 20 474 000 | 7 | 24 | 2000 |
| XXXI Narvi | 1003,9 (R) | 19 007 000 | 7 | 24 | 2003 |
| XXXII Methone | 1,01 | 194 000 | 3 | 25 | 2004 |
| XXXIII Pallene | 1,14 | 211 000 | 4 | 25 | 2004 |
| XXXIV Polydeuces | 2,74 | 377 220 | 4 | 25 | 2004 |
| XXXV Daphnis | 0,594 | 136 500 | 7 | 24 | 2005 |
| XXXVI Aegir | 1116,5 (R) | 20 735 000 | 6 | 24 | 2004 |

| Satellite — Satelliet | Révolution | Demi-grand axe | Taille — Afmeting | Magn. | Année découv. — Jaar ontdek. |
|-----------------------------|------------------|-----------------------|-------------------------|-------|--|
| | — Baanperiode | Halve grote baanas | | | |
| | d | km | | | |
| XXXVII Bebhionn | 834,8 | 17 119 000 | 6 | 24 | 2004 |
| XXXVIII Bergelmir | 1005,9 (R) | 19 338 000 | 6 | 24 | 2004 |
| XXXIX Bestla | 1083,6 (R) | 20 129 000 | 7 | 24 | 2004 |
| XL Farbauti | 1086,1 (R) | 20 390 000 | 5 | 25 | 2004 |
| XLI Fenrir | 1260,3 (R) | 22 453 000 | 4 | 25 | 2004 |
| XLII Fornjot | 1490,9 (R) | 25 108 000 | 6 | 25 | 2004 |
| XLIII Hati | 1038,7 (R) | 19 856 000 | 6 | 24 | 2004 |
| XLIV Hyrrokkin | 931,8 (R) | 18 437 000 | 8 | 24 | 2004 |
| XLV Kari | 1233,6 (R) | 22 118 000 | 7 | 24 | 2006 |
| XLVI Loge | 1312,0 (R) | 23 065 000 | 6 | 25 | 2006 |
| XLVII Skoll | 878,3 (R) | 17 665 000 | 6 | 25 | 2006 |
| XLVIII Surtur | 1297,7 (R) | 22 707 000 | 6 | 25 | 2006 |
| XLIX Anthe | 1,04 | 197 700 | 1 | 26 | 2004 |
| L Jarnsaxa | 964,7 (R) | 18 811 000 | 6 | 25 | 2006 |
| LI Greip | 921,2 (R) | 18 206 000 | 6 | 24 | 2006 |
| LII Tarqeq | 887,5 | 18 009 000 | 7 | 24 | 2007 |
| LIII Aegaeon | 0,808 | 167 500 | 0,5 | 27 | 2008 |
| LIV Gridr | 990,23 (R) | 19 211 000 | 4 | 25 | 2004 |
| LV Angrboda | 1080,4 (R) | 20 379 900 | 3 | 25 | 2004 |
| LVI Skrymir | 1164,3 (R) | 21 427 000 | 4 | 25 | 2004 |
| LVII Gerd | 1095,0 (R) | 20 544 500 | 3 | 25 | 2004 |
| LVIII S8353a | 1624,2 (R) | 26 737 800 | 4 | 25 | 2004 |
| LIX Eggther | 1033,0 (R) | 19 776 700 | 4 | 25 | 2004 |
| LX S2428b | 858,77 | 17 470 700 | 4 | 25 | 2004 |
| LXI Beli | 1084,1 (R) | 20 424 000 | 3 | 25 | 2004 |
| LXII Gunnlod | 1175,3 (R) | 21 564 200 | 4 | 25 | 2004 |
| LXIII Thiazz | 1361,5 (R) | 23 764 800 | 4 | 25 | 2004 |
| LXIV S5613a2 | 1412,5 (R) | 24 358 900 | 3 | 25 | 2004 |
| LXV Alvaldi | 1208,1 (R) | 21 953 200 | 4 | 25 | 2004 |
| LXVI Geirrod | 1295,8 (R) | 23 006 200 | 4 | 25 | 2004 |
| Uranus | | | | | |
| I Ariel | 2,52 | 190 900 | 1158 | 13 | 1851 |
| II Umbriel | 4,14 | 266 000 | 1169 | 14 | 1851 |
| III Titania | 8,71 | 436 300 | 1578 | 13 | 1787 |
| IV Oberon | 13,46 | 583 500 | 1522 | 13 | 1787 |
| V Miranda | 1,41 | 129 900 | 471 | 15 | 1948 |
| VI Cordelia | 0,335 | 49 800 | 40 | 23 | 1986 |
| VII Ophelia | 0,376 | 53 800 | 42 | 23 | 1986 |
| VIII Bianca | 0,435 | 59 200 | 51 | 22 | 1986 |

| Satellite — Satelliet | Révolution | Demi-grand axe | Taille — Afmeting | Magn. | Année découv. — Jaar ontdek. |
|-----------------------------|------------------|-----------------------|-------------------------|-------|--|
| | — Baanperiode | Halve grote baanas | | | |
| | d | km | | | |
| Neptune – Neptunus | | | | | |
| I Triton | 5,88 (R) | 354 800 | 2706 | 13 | 1846 |
| II Nereid | 360,1 | 5 513 400 | 340 | 19 | 1949 |
| III Naiad | 0,294 | 48 200 | 58 | 24 | 1989 |
| IV Thalassa | 0,311 | 50 100 | 80 | 23 | 1989 |
| V Despina | 0,335 | 52 500 | 148 | 22 | 1989 |
| VI Galatea | 0,429 | 62 000 | 158 | 22 | 1989 |
| VII Larissa | 0,555 | 73 500 | 192 | 22 | 1989 |
| VIII Proteus | 1,122 | 117 600 | 416 | 20 | 1989 |
| IX Halimede | 1879,7 (R) | 15 728 000 | 61 | 25 | 2002 |
| X Psamathe | 9115,9 (R) | 46 695 000 | 38 | 26 | 2003 |
| XI Sao | 2914,1 | 22 422 000 | 40 | 25 | 2002 |
| XII Laomedea | 3167,9 | 23 571 000 | 40 | 25 | 2002 |
| XIII Neso | 9374,0 (R) | 48 387 000 | 60 | 25 | 2002 |
| XIV Hippocamp | 0,950 | 105 300 | 18 | 27 | 2013 |

PHÉNOMÈNES PLANÉTAIRES GÉOCENTRIQUES EN 2025

Mercure

| Conjonct. supér. | Elongation max. Est | Station- naire | Conjonct. infér. | Station- naire | Elongation max. Ouest | Conjonct. supér. |
|---------------------|------------------------|-------------------|---------------------|-------------------|--------------------------|---------------------|
| — | — | — | — | — | — | — |
| 9 févr. | 8 mars (18°) | 14 mars | 24 mars | 6 avril | 21 avril (27°) | 30 mai |
| 30 mai | 4 juill. (26°) | 17 juill. | 31 juill. | 10 août | 19 août (19°) | 13 sept. |
| 13 sept. | 29 oct. (24°) | 9 nov. | 20 nov. | 29 nov. | 7 déc. (21°) | — |

Vénus

| Conjonct. supér. | Elongation max. Est | Station- naire | Conjonct. infér. | Station- naire | Elongation max. Ouest | Conjonct. supér. |
|---------------------|------------------------|-------------------|---------------------|-------------------|--------------------------|---------------------|
| — | — | — | — | — | — | — |
| — | 10 janv. (47°) | 28 févr. | 23 mars | 10 avril | 1 juin (46°) | — |

Planètes supérieures

| Planète | Conjonction | Stationnaire | Opposition | Stationnaire | Conjonction |
|---------|-------------|--------------|------------|--------------|-------------|
| Mars | — | — | — | — | — |
| Jupiter | | — | — | — | — |
| Saturne | | — | — | — | — |
| Uranus | | — | — | — | — |
| Neptune | | — | — | — | — |
| | — | — | — | — | — |
| Mars | | — | — | — | — |
| Jupiter | | — | — | — | — |
| Saturne | | — | — | — | — |
| Uranus | | — | — | — | — |
| Neptune | | — | — | — | — |

Conjonctions planétaires

Pour les planètes brillantes, le tableau suivant mentionne les dates des conjonctions planétaires géocentriques en longitude céleste, de même que les valeurs angulaires de la plus petite distance apparente entre les planètes lors de ces phénomènes. Cette plus petite distance survient peu avant ou peu après la conjonction. La première planète citée est celle qui se trouve le plus à l'ouest avant la conjonction. Les conjonctions ayant lieu à proximité immédiate du Soleil ne sont pas observables; dès lors, elles ne sont pas reprises dans le tableau. Le phénomène pouvant avoir lieu pendant la jour-

GEOCENTRISCHE PLANETAIRE VERSCHIJNSELEN IN 2025

Mercurius

| Boven- conjunc. | Max. oost. Elongatie | Stationair | Beneden- conjunc. | Stationair | Max. west. Elongatie | Boven- conjunc. |
|--------------------|-------------------------|------------|----------------------|------------|-------------------------|--------------------|
| — | — | — | — | — | — | — |
| 9 febr. | 8 maart (18°) | 14 maart | 24 maart | 6 april | 21 april (27°) | 30 mei |
| 30 mei | 4 juli (26°) | 17 juli | 31 juli | 10 aug. | 19 aug. (19°) | 13 sept. |
| 13 sept. | 29 okt. (24°) | 9 nov. | 20 nov. | 29 nov. | 7 dec. (21°) | — |

Venus

| Boven- conjunc. | Max. oost. Elongatie | Stationair | Beneden- conjunc. | Stationair | Max. west. Elongatie | Boven- conjunc. |
|--------------------|-------------------------|------------|----------------------|------------|-------------------------|--------------------|
| — | — | — | — | — | — | — |
| — | 10 jan. (47°) | 28 febr. | 23 maart | 10 april | 1 juni (46°) | — |

Buitenplaneten

| Planeet | Conjunctie | Stationair | Oppositie | Stationair | Conjunctie |
|----------|------------|------------|-----------|------------|------------|
| Mars | — | — | — | — | — |
| Jupiter | | — | — | — | — |
| Saturnus | | 24 juni | 11 nov. | — | — |
| Uranus | | 12 maart | 14 juli | 21 sept. | 29 nov. |
| Neptunus | | 17 mei | 6 sept. | 21 nov. | 30 jan. |
| | — | — | — | — | 17 mei |
| Mars | | — | — | — | — |
| Jupiter | | — | — | — | — |
| Saturnus | | 24 juni | 11 nov. | — | — |
| Uranus | | — | — | — | — |
| Neptunus | | 19 maart | 5 juli | 23 sept. | 11 dec. |

Conjuncties tussen de planeten

De volgende lijst vermeldt de data van de geocentrische conjuncties in ecliptische lengte van de heldere planeten, evenals de corresponderende kortste angulaire afstand tussen de twee planeten aan de hemel, voor zover er een minimum bereikt wordt minder dan 10 dagen voor of na de conjunctie. De eerst vermelde planeet is die die vóór de conjunctie de meest westelijke is. Conjuncties die niet zichtbaar zijn doordat de betrokken planeten te dicht bij de zon staan, worden niet vermeld. De conjunctie zelf of de kortste nadering zelf tussen de planeten is niet noodzakelijk waarneem-

née ou sous l'horizon, la conjonction ou la plus petite distance apparente elle-même n'est pas nécessairement observable en Belgique. C'est pourquoi il est conseillé d'observer également la nuit précédant ou suivant la date du phénomène.

- 19 janv. : Vénus $2^{\circ} 10'$ au nord de Saturne.
- 11 mars : Mercure $5^{\circ} 32'$ au sud de Vénus.
- 12 août : Vénus $0^{\circ} 52'$ au sud de Jupiter.

Conjonctions des planètes les plus brillantes avec la Lune

| | 2025 | Mercure | Vénus | Mars | Jupiter | Saturne |
|-----------|------|---------|---------|---------|---------|---------|
| Janvier | — | — | — | — | — | — |
| Février | ... | 28 | 3 | 14 | 10 | 4 |
| Mars | ... | — | — | — | — | 1 et 28 |
| Avril | ... | 1 et 28 | 1 et 28 | 9 | 6 | 28 |
| Mai | ... | 26 | 25 | 5 | 3 et 30 | 25 |
| Juin | ... | 26 | 23 | 3 | 28 | 22 |
| Juillet | ... | 27 | 22 | 1 et 30 | 25 | 19 |
| Août | ... | 25 | 21 | 28 | 23 | 16 |
| Septembre | ... | 21 | 20 | 26 | 19 | 12 |
| Octobre | ... | 22 | 19 | 24 | 16 | 8 |
| Novembre | ... | 23 | 19 | 23 | 13 | 6 |
| Décembre | ... | 20 | 19 | 21 | 10 | 2 et 29 |
| | | 18 | 19 | 20 | 7 | 27 |

PHÉNOMÈNES PLANÉTAIRES HÉLIOCENTRIQUES EN 2025

| Planète | Périhélie | Aphélie | Noeud ascendant | Noeud descendant |
|---------|-----------|-----------|-----------------|------------------|
| Mercure | — | — | — | — |
| | ... | — | 19 janv. | — |
| | 4 mars | 17 avril | 27 févr. | 7 avril |
| | 31 mai | 14 juill. | 26 mai | 4 juill. |
| | 27 août | 10 oct. | 22 août | 30 sept. |
| | 23 nov. | — | 18 nov. | 27 déc. |
| Vénus | ... | 19 févr. | 12 juin | 16 janv. |
| | 2 oct. | — | 29 août | 19 déc. |
| Terre | ... | 4 janv. | 3 juill. | — |
| Mars | ... | — | 16 avril | — |
| Jupiter | ... | — | — | 19 sept. |

Saturne, Uranus et Neptune: néant.

baar vanuit België, daar de verschijnselen overdag of onder de horizon plaats kunnen hebben. Men dient daarom de nacht vóór en de nacht na het verschijnsel ook waar te nemen.

- 19 jan. : Venus $2^{\circ} 10'$ ten noorden van Saturnus.
- 11 maart: Mercurius $5^{\circ} 32'$ ten zuiden van Venus.
- 12 aug. : Venus $0^{\circ} 52'$ ten zuiden van Jupiter.

Conjuncties van de helderste planeten met de maan

| | 2025 | Mercurius | Venus | Mars | Jupiter | Saturnus |
|-----------|------|-----------|---------|---------|---------|----------|
| Januari | — | — | — | — | — | — |
| Februari | ... | — | — | — | — | — |
| Maart | ... | 1 en 28 | 1 en 28 | — | — | 1 en 28 |
| April | ... | 26 | 25 | 5 | 3 en 30 | 25 |
| Mei | ... | 26 | 23 | 3 | 28 | 22 |
| Juni | ... | 27 | 22 | 1 en 30 | 25 | 19 |
| Juli | ... | 25 | 21 | 28 | 23 | 16 |
| Augustus | ... | 21 | 20 | 26 | 19 | 12 |
| September | ... | 22 | 19 | 24 | 16 | 8 |
| Okttober | ... | 23 | 19 | 23 | 13 | 6 |
| November | ... | 20 | 19 | 21 | 10 | 2 en 29 |
| December | ... | 18 | 19 | 20 | 7 | 27 |

HELIOPCENTRISCHE PLANETAIRE VERSCHIJNSELEN IN 2025

| Planeet | Perihelium | Aphelium | Klimmende knoop | Dalende knoop |
|-----------|------------|----------|-----------------|---------------|
| Mercurius | — | — | — | — |
| | ... | — | — | — |
| | 4 maart | 17 april | 27 febr. | 7 april |
| | 31 mei | 14 juli | 26 mei | 4 juli |
| | 27 aug. | 10 okt. | 22 aug. | 30 sept. |
| | 23 nov. | — | 18 nov. | 27 dec. |
| Venus | ... | — | — | — |
| | 19 febr. | 12 juni | 16 jan. | 8 mei |
| | 2 okt. | — | 29 aug. | 19 dec. |
| Aarde | ... | — | — | — |
| | 4 jan. | 3 juli | — | — |
| Mars | ... | — | — | — |
| | 16 april | — | — | 23 sept. |
| Jupiter | ... | — | — | — |
| | — | — | 19 sept. | — |

Saturnus, Uranus en Neptunus: geen.

PHASES DE VÉNUS ET DE MARS

SCHIJNGESTALTEN VAN VENUS EN MARS

| Date — Datum (2024) 2025 (2026) | Portion éclairée des disques — Verlicht gedeelte van de schijven | | Date — Datum (2024) 2025 (2026) | Portion éclairée des disques — Verlicht gedeelte van de schijven | | | |
|--|--|-------|--|--|-------|-------|-------|
| | VENUS | MARS | | VENUS | MARS | | |
| Déc. - Dec. | 26 | 0,582 | 0,977 | Juli | 14 | 0,688 | 0,932 |
| Janvier | 5 | 0,536 | 0,993 | Juillet | 24 | 0,724 | 0,938 |
| Januari | 15 | 0,484 | 0,999 | Août | 3 | 0,758 | 0,945 |
| | 25 | 0,426 | 0,995 | Augustus | 13 | 0,789 | 0,951 |
| Février | 4 | 0,359 | 0,982 | | 23 | 0,819 | 0,956 |
| Februari | 14 | 0,281 | 0,965 | Septembre | 2 | 0,846 | 0,962 |
| | 24 | 0,193 | 0,947 | September | 12 | 0,871 | 0,967 |
| Mars | 6 | 0,101 | 0,931 | Octobre | 2 | 0,913 | 0,977 |
| Maart | 16 | 0,029 | 0,918 | Oktober | 12 | 0,932 | 0,981 |
| | 26 | 0,013 | 0,909 | | 22 | 0,947 | 0,985 |
| Avril | 5 | 0,063 | 0,903 | Novembre | 1 | 0,961 | 0,989 |
| April | 15 | 0,148 | 0,900 | November | 11 | 0,972 | 0,992 |
| | 25 | 0,239 | 0,899 | | 21 | 0,982 | 0,994 |
| Mai | 5 | 0,320 | 0,900 | Décembre | 1 | 0,989 | 0,996 |
| Mei | 15 | 0,392 | 0,902 | December | 11 | 0,994 | 0,998 |
| | 25 | 0,455 | 0,906 | | 21 | 0,998 | 0,999 |
| Juin | 4 | 0,511 | 0,910 | 31 | 1,000 | 1,000 | |
| Juni | 14 | 0,561 | 0,915 | | | | |
| | 24 | 0,607 | 0,921 | | | | |
| Juillet | 4 | 0,649 | 0,926 | Janv. - Jan. | 10 | 1,000 | 1,000 |

APPARENCES DE L'ANNEAU DE SATURNE

L'angle formé par le demi-petit axe boréal de l'anneau et le cercle horaire passant par le centre de la planète est représenté par p et compté dans le sens contraire des aiguilles d'une montre. On désigne par a' et b' les axes extérieurs apparents de l'anneau extérieur et par a'' et b'' les axes intérieurs apparents de l'anneau intérieur. Les petits axes b' et b'' sont considérés comme positifs lorsque la face boréale des anneaux est tournée vers la Terre et comme négatifs dans le cas contraire.

En 2025 sera tournée vers la Terre la face nord éclairée des anneaux de Saturne jusqu'au 23 mars, la face sud non éclairée du 23 mars au 6 mai, puis la face sud éclairée à partir du 6 mai.

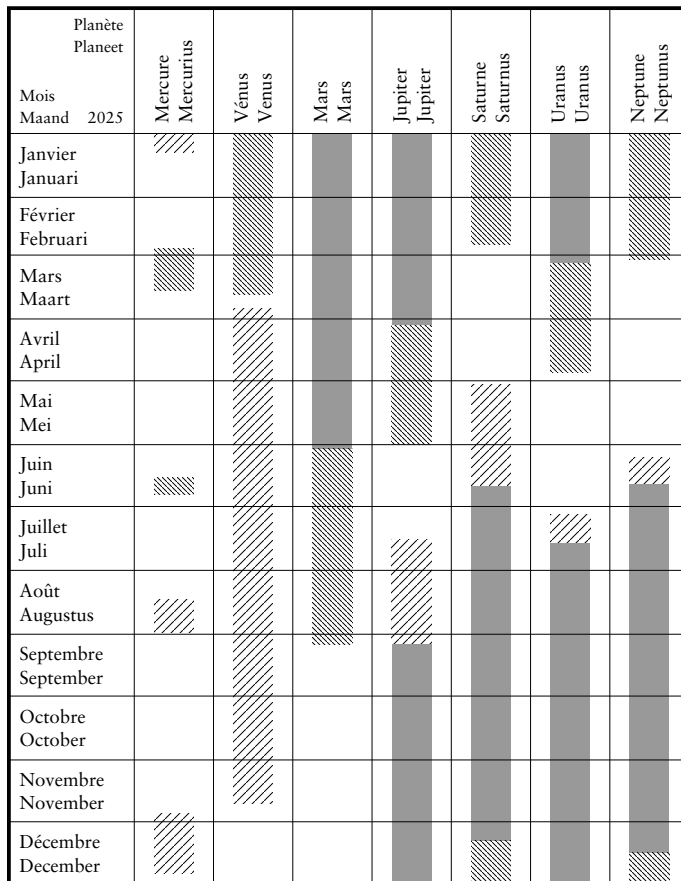
| 2025 (2026) | p | a' | b' | a'' | b'' | |
|-------------------------|---------|--------|------|-------|-------|-------|
| | — | — | — | — | — | |
| 1 Janvier - Januari | | + 5,23 | 37,6 | + 2,8 | 25,3 | + 1,9 |
| 1 Février - Februar | | + 5,05 | 36,2 | + 1,8 | 24,3 | + 1,2 |
| 1 Mars - Maart | | + 4,83 | 35,6 | + 0,8 | 23,9 | + 0,5 |
| 1 Avril - April | | + 4,57 | 35,7 | - 0,3 | 24,0 | - 0,2 |
| 1 Mai - Mei | | + 4,33 | 36,6 | - 1,3 | 24,6 | - 0,8 |
| 1 Juin - Juni | | + 4,13 | 38,1 | - 2,1 | 25,7 | - 1,4 |
| 1 Juillet - Juli | | + 4,02 | 40,1 | - 2,5 | 27,0 | - 1,7 |
| 1 Août - Augustus | | + 4,03 | 42,2 | - 2,5 | 28,4 | - 1,7 |
| 1 Septembre - September | | + 4,15 | 43,8 | - 1,9 | 29,4 | - 1,3 |
| 1 Octobre - Oktober | | + 4,32 | 44,0 | - 1,1 | 29,6 | - 0,8 |
| 1 Novembre - November | | + 4,46 | 42,9 | - 0,4 | 28,8 | - 0,3 |
| 1 Décembre - December | | + 4,51 | 40,9 | - 0,3 | 27,5 | - 0,2 |
| 1 Janvier - Januari | | + 4,44 | 38,8 | - 0,6 | 26,1 | - 0,4 |

UITZICHT VAN DE RING VAN SATURNUS

De hoek gevormd door de noordelijke halve korte as van de ring en de uurcirkel die door het middelpunt van de planeet gaat, wordt voorgesteld door p , en wordt in tegenwijzerzin gemeten. Door a' en b' duidt men de schijnbare buitenassen van de buitenring aan, en door a'' en b'' de schijnbare binnenassen van de binnenring. De korte assen b' en b'' worden positief genomen als de noordzijde van de ring naar ons toe gekeerd is, en negatief in het andere geval.

In 2025 zal tot 23 maart de verlichte noordzijde van de ring van Saturnus naar ons toegekeerd zijn, van 23 maart tot 6 mei de onverlichte zuidzijde, en vanaf 6 mei de verlichte zuidzijde.

VISIBILITÉ DES PLANÈTES
ZICHTBAARHEID VAN DE PLANETEN



Les conditions de visibilité des différentes planètes (éventuellement à l'aide d'un télescope), peuvent être déduites du graphique de la page précédente.

Pour Mercure et Vénus, une apparition matinale a lieu au voisinage de leur plus grande elongation occidentale, une apparition en soirée autour de leur plus grande elongation orientale. La durée de leur visibilité est la plus longue au voisinage du milieu de chaque apparition. La visibilité de Mercure dépend fortement de l'angle que fait l'écliptique avec l'horizon.

Les planètes extérieures redeviennent visibles le matin après leur conjonction avec le Soleil. Comme elles se lèvent chaque jour un peu plus tôt, leur période de visibilité, qui est d'abord courte, s'allonge progressivement, d'abord après minuit, ensuite également dans la soirée. En période d'opposition, elles demeurent visibles toute la nuit. Après, comme elles se couchent de plus en plus tôt le matin, leur période de visibilité se raccourcit. Progressivement, ces planètes ne seront plus visibles que le soir pendant des périodes de plus en plus courtes jusqu'à ce qu'elles disparaissent dans le crépuscule du soir. Elles ne sont pas visibles en période de conjonction avec le Soleil.

La planète est:

visible le matin
visible avant et après minuit
visible le soir
invisible

De planeet is:

's morgens zichtbaar
voor en na middernacht zichtbaar
's avonds zichtbaar
niet zichtbaar

Uit het diagram van de vorige bladzijde kan men afleiden wanneer welke planeten zichtbaar zijn (eventueel met behulp van een kijker).

Voor Mercurius en Venus heeft een ochtendverschijning plaats nabij de grootste westelijke elongatie, een avondverschijning rond de grootste oostelijke elongatie. De zichtbaarheidsduur is het grootst in de buurt van het midden van elke verschijning. De zichtbaarheid van Mercurius is sterk afhankelijk van de hoek die de ecliptica maakt met de horizon.

De buitenplaneten zijn, na hun conjunctie met de zon, eerst korte tijd 's ochtends zichtbaar. Ze komen elke dag wat vroeger op en worden steeds langer zichtbaar, eerst gedurende de tweede helft van de nacht, later ook 's avonds. Rond hun oppositie zijn ze de hele nacht waarneembaar. Daarna gaan ze steeds vroeger in de morgen onder, waardoor de duur van hun zichtbaarheid afneemt. Geleidelijk zijn ze alleen nog 's avonds zichtbaar. Dit wordt steeds korter, tot ze in de avondschemering verdwijnen. Rond hun conjunctie met de zon zijn ze niet waarneembaar.

ÉPHÉMÉRIDES

Les tableaux suivants contiennent pour chacune des planètes un certain nombre de données à intervalle de cinq, dix ou vingt jours selon la variation du mouvement apparent de la planète. En vue de faciliter leur interpolation, des données sont également fournies pour une dernière date en décembre de l'année précédente et une première date en janvier de l'année suivante; ces dates supplémentaires sont imprimées en italique.

Les heures du lever, du passage au méridien et du coucher sont données pour Uccle, en temps universel. Pour les autres localités de la Belgique, on appliquera d'abord une correction de différence de longitude, puis une correction de différence en latitude à l'aide de la table 3 (voir page 218). Il a été tenu compte de la réfraction atmosphérique qui fait paraître les astres à l'horizon alors qu'ils se trouvent encore en réalité 34 minutes d'arc au-dessous de ce plan de référence.

Les trois colonnes suivantes contiennent l'ascension droite et la déclinaison de la planète à 0^h UT pour l'équinoxe vrai de la date, suivies de l'abréviation officielle de la constellation correspondante selon le tableau suivant:

| | | | | | |
|-----|------------|-----|-----------|-----|------------|
| Aqr | Verseau | Gem | Gémeaux | Sco | Scorpion |
| Ari | Bélier | Leo | Lion | Sgr | Sagittaire |
| Cap | Capricorne | Lib | Balance | Tau | Taureau |
| Cet | Baleine | Oph | Ophiuchus | Vir | Vierge |
| Cnc | Cancer | Psc | Poissons | | |

La distance de la planète à la Terre est fournie dans la colonne suivante. Cette distance est exprimée en unités astronomiques (cette unité étant la distance moyenne de la Terre au Soleil).

Les trois dernières colonnes renferment respectivement l'élongation, le diamètre apparent et la magnitude stellaire de la planète, valeurs calculées d'après les formules tirées de l'*Explanatory Supplement to the Astronomical Ephemeris* (1992).

EFEMERIDEN

In de volgende tabellen worden, per planeet, een aantal gegevens getabuleerd om de vijf, tien of twintig dagen, naargelang de beweging van de planeet trager is. Om het interpoleren te vergemakkelijken worden ook de gegevens getabuleerd voor de laatste decemberdatum van het vorig jaar en de eerste januaridatum van het volgend jaar; deze data zijn cursief gedrukt.

Op opkomst, de meridiaandoorgang en de ondergang te Ukkel zijn in Wereldtijd uitgedrukt. Voor de andere plaatsen in België, moet men eerst een correctie toepassen voor het lengteverschil, daarna een correctie voor het breedteverschil door gebruik te maken van tafel 3 (zie blz. 219). Er werd rekening gehouden met de straalbreking die de hemellichamen aan de horizon doen verschijnen wanneer zij in werkelijkheid nog 34' onder dit vlak staan.

In de volgende drie kolommen vindt men eerst de rechte klimming en de declinatie van de planeet te 0^h UT voor de ware equinox van de dag, en vervolgens de officiële code van het corresponderende sterrenbeeld. Deze codes zijn:

| | | | | | |
|-----|----------|-----|---------------|-----|--------------|
| Aqr | Waterman | Gem | Tweelingen | Sco | Schorpioen |
| Ari | Ram | Leo | Leeuw | Sgr | Boogschutter |
| Cap | Steenbok | Lib | Weegschaal | Tau | Stier |
| Cet | Walvis | Oph | Slangendrager | Vir | Maagd |
| Cnc | Kreeft | Psc | Vissen | | |

De volgende kolom geeft de afstand van de planeet tot de aarde, uitgedrukt in astronomische eenheden (deze eenheid is de gemiddelde afstand aarde-zon).

In de laatste drie kolommen staan de elongatie, de schijnbare diameter van de planeet en haar stellaire magnitude, berekend volgens de formules die voorkomen in het *Explanatory Supplement to the Astronomical Ephemeris* (1992).

| Date — Datum (2024) 2025 (2026) | Lever — Opkomst | Passage au méridiens — Doorgang door de meridiaan | Coucher — Ondergang | A 0 ^h , TEMPS UNIVERSEL — Te 0 ^h WERELDTIJD | | | | | | | |
|--|-----------------------|---|---------------------------|---|--------------------------------|--|--|--------|---|-------|-------|
| | | | | Ascension droite — Rechte klimming | Déclinaison — Declinatie | Constel- lation — Sterren- beeld | Distance à la Terre — Afstand tot de aarde | Elong. | Diam. app. — Schijnb. diam. | Magn. | |
| | | | | h m | h m | h m | h m | o / | UA-AE | o | /" |
| Mercure — Mercurius | | | | | | | | | | | |
| Déc. - Dec. | 31 | 6 07 | 10 14 | 14 21 | 17 10,9 | - 21 42 | Oph | 1,131 | 21 W | 5,9 | - 0,4 |
| Janv. - Jan. | 5 | 6 23 | 10 23 | 14 23 | 17 39,2 | - 22 48 | Oph | 1,212 | 20 W | 5,6 | - 0,3 |
| | 10 | 6 38 | 10 34 | 14 30 | 18 09,8 | - 23 31 | Sgr | 1,278 | 18 W | 5,3 | - 0,4 |
| | 15 | 6 53 | 10 47 | 14 41 | 18 41,9 | - 23 47 | Sgr | 1,330 | 16 W | 5,1 | - 0,4 |
| | 20 | 7 04 | 11 00 | 14 57 | 19 15,1 | - 23 32 | Sgr | 1,369 | 13 W | 4,9 | - 0,5 |
| | 25 | 7 13 | 11 15 | 15 17 | 19 49,0 | - 22 43 | Sgr | 1,396 | 10 W | 4,8 | - 0,6 |
| | 30 | 7 18 | 11 29 | 15 41 | 20 23,3 | - 21 20 | Cap | 1,410 | 8 W | 4,8 | - 0,8 |
| Févr. - Febr. | 4 | 7 21 | 11 44 | 16 09 | 20 58,0 | - 19 20 | Cap | 1,410 | 4 W | 4,8 | - 1,1 |
| | 9 | 7 20 | 11 59 | 16 40 | 21 32,7 | - 16 44 | Cap | 1,396 | 2 E | 4,8 | - 1,4 |
| | 14 | 7 18 | 12 15 | 17 13 | 22 07,5 | - 13 32 | Aqr | 1,363 | 4 E | 4,9 | - 1,5 |
| | 19 | 7 12 | 12 29 | 17 48 | 22 41,9 | - 9 46 | Aqr | 1,308 | 8 E | 5,1 | - 1,4 |
| | 24 | 7 05 | 12 43 | 18 23 | 23 15,3 | - 5 35 | Aqr | 1,225 | 12 E | 5,5 | - 1,2 |
| Mars - Maart | 1 | 6 54 | 12 53 | 18 54 | 23 46,0 | - 1 16 | Psc | 1,114 | 16 E | 6,0 | - 1,0 |
| | 6 | 6 40 | 12 58 | 19 17 | 0 10,9 | + 2 40 | Psc | 0,981 | 18 E | 6,9 | - 0,6 |
| | 11 | 6 21 | 12 52 | 19 24 | 0 26,5 | + 5 33 | Psc | 0,843 | 18 E | 8,0 | + 0,2 |
| | 16 | 5 59 | 12 35 | 19 11 | 0 29,9 | + 6 49 | Psc | 0,724 | 14 E | 9,3 | + 1,6 |
| | 21 | 5 34 | 12 06 | 18 37 | 0 21,9 | + 6 12 | Psc | 0,640 | 8 E | 10,5 | + 3,6 |
| | 26 | 5 11 | 11 32 | 17 52 | 0 07,6 | + 4 05 | Psc | 0,601 | 4 W | 11,2 | + 5,0 |

| | | | | | | | | | | | |
|---------------|----|------|-------|-------|---------|---------|-----|-------|------|------|-------|
| Avril - April | 31 | 4 51 | 11 00 | 17 08 | 23 54,7 | + 1 28 | Psc | 0,602 | 11 W | 11,2 | + 3,2 |
| | 5 | 4 36 | 10 35 | 16 33 | 23 48,5 | - 0 39 | Psc | 0,635 | 18 W | 10,6 | + 1,9 |
| | 10 | 4 24 | 10 18 | 16 12 | 23 50,4 | - 1 45 | Psc | 0,688 | 23 W | 9,8 | + 1,2 |
| | 15 | 4 14 | 10 08 | 16 03 | 23 59,6 | - 1 49 | Psc | 0,753 | 26 W | 8,9 | + 0,8 |
| | 20 | 4 05 | 10 04 | 16 03 | 0 14,5 | - 0 57 | Psc | 0,825 | 27 W | 8,2 | + 0,5 |
| | 25 | 3 56 | 10 03 | 16 12 | 0 33,8 | + 0 40 | Cet | 0,900 | 27 W | 7,5 | + 0,3 |
| | 30 | 3 48 | 10 07 | 16 27 | 0 56,6 | + 2 56 | Psc | 0,977 | 26 W | 6,9 | + 0,1 |
| Mai - Mei | 5 | 3 41 | 10 13 | 16 48 | 1 22,7 | + 5 42 | Psc | 1,055 | 24 W | 6,4 | - 0,1 |
| | 10 | 3 34 | 10 23 | 17 14 | 1 51,9 | + 8 52 | Psc | 1,131 | 21 W | 5,9 | - 0,3 |
| | 15 | 3 29 | 10 37 | 17 46 | 2 24,6 | + 12 20 | Ari | 1,202 | 17 W | 5,6 | - 0,7 |
| | 20 | 3 26 | 10 54 | 18 24 | 3 01,3 | + 15 54 | Ari | 1,264 | 12 W | 5,3 | - 1,1 |
| | 25 | 3 28 | 11 16 | 19 07 | 3 42,3 | + 19 20 | Tau | 1,307 | 6 W | 5,1 | - 1,6 |
| | 30 | 3 34 | 11 41 | 19 51 | 4 27,3 | + 22 17 | Tau | 1,322 | 1 W | 5,1 | - 2,3 |
| Juin - Juni | 4 | 3 47 | 12 09 | 20 32 | 5 14,2 | + 24 19 | Tau | 1,301 | 6 E | 5,2 | - 1,7 |
| | 9 | 4 07 | 12 35 | 21 03 | 6 00,4 | + 25 15 | Tau | 1,248 | 12 E | 5,4 | - 1,2 |
| | 14 | 4 31 | 12 58 | 21 23 | 6 43,2 | + 25 06 | Gem | 1,174 | 17 E | 5,7 | - 0,7 |
| | 19 | 4 57 | 13 16 | 21 32 | 7 21,2 | + 24 04 | Gem | 1,090 | 21 E | 6,2 | - 0,3 |
| | 24 | 5 22 | 13 28 | 21 32 | 7 53,9 | + 22 26 | Gem | 1,003 | 23 E | 6,7 | - 0,0 |
| | 29 | 5 42 | 13 35 | 21 26 | 8 21,1 | + 20 25 | Cnc | 0,918 | 25 E | 7,3 | + 0,3 |
| Juill. - Juli | 4 | 5 57 | 13 36 | 21 13 | 8 42,6 | + 18 14 | Cnc | 0,836 | 26 E | 8,0 | + 0,5 |
| | 9 | 6 05 | 13 31 | 20 55 | 8 58,0 | + 16 07 | Cnc | 0,761 | 25 E | 8,8 | + 0,9 |
| | 14 | 6 04 | 13 19 | 20 33 | 9 06,7 | + 14 17 | Cnc | 0,693 | 23 E | 9,7 | + 1,3 |
| | 19 | 5 52 | 13 00 | 20 07 | 9 08,0 | + 12 57 | Cnc | 0,638 | 19 E | 10,5 | + 1,9 |
| | 24 | 5 29 | 12 33 | 19 37 | 9 01,6 | + 12 22 | Cnc | 0,601 | 14 E | 11,2 | + 2,9 |
| | 29 | 4 55 | 12 01 | 19 07 | 8 49,1 | + 12 40 | Cnc | 0,588 | 7 E | 11,4 | + 4,3 |
| Août - Aug. | 3 | 4 15 | 11 27 | 18 40 | 8 34,8 | + 13 44 | Cnc | 0,607 | 6 W | 11,1 | + 4,5 |
| | 8 | 3 38 | 10 58 | 18 20 | 8 24,8 | + 15 12 | Cnc | 0,661 | 12 W | 10,2 | + 2,8 |
| | 13 | 3 10 | 10 39 | 18 09 | 8 24,3 | + 16 33 | Cnc | 0,751 | 16 W | 9,0 | + 1,3 |
| | 18 | 2 58 | 10 32 | 18 06 | 8 35,8 | + 17 20 | Cnc | 0,869 | 18 W | 7,7 | + 0,2 |

| Date — Datum (2024) 2025 (2026) | Lever — Opkomst | Passage au méridien — Doorgang door de meridiaan | Coucher — Ondergang | A 0 ^h , TEMPS UNIVERSEL — Te 0 ^h WERELDTIJD | | | | | | | |
|--|-----------------------|--|---------------------------|---|--------------------------------|--|--|--------|---|-------|-------|
| | | | | Ascension droite — Rechte klimming | Déclinaison — Declinatie | Constel- lation — Sterren- beeld | Distance à la Terre — Afstand tot de aarde | Elong. | Diam. app. — Schijnb. diam. | Magn. | |
| | | | | | | | | | UA-AE | o | /" |
| Août - Aug. | 23 | 3 02 | 10 36 | 18 09 | 8 58,7 | + 17 10 | Cnc | 1,003 | 18 W | 6,7 | - 0,5 |
| | 28 | 3 22 | 10 48 | 18 13 | 9 30,4 | + 15 49 | Leo | 1,133 | 15 W | 5,9 | - 1,0 |
| Sept. - Sept. | 2 | 3 53 | 11 05 | 18 15 | 10 06,6 | + 13 20 | Leo | 1,243 | 11 W | 5,4 | - 1,3 |
| | 7 | 4 28 | 11 22 | 18 14 | 10 43,5 | + 10 01 | Leo | 1,321 | 6 W | 5,1 | - 1,5 |
| | 12 | 5 04 | 11 38 | 18 10 | 11 19,2 | + 6 13 | Leo | 1,370 | 2 W | 4,9 | - 1,7 |
| | 17 | 5 37 | 11 52 | 18 04 | 11 52,8 | + 2 16 | Vir | 1,394 | 3 E | 4,8 | - 1,4 |
| | 22 | 6 09 | 12 04 | 17 57 | 12 24,5 | - 1 40 | Vir | 1,398 | 7 E | 4,8 | - 1,0 |
| | 27 | 6 38 | 12 14 | 17 49 | 12 54,8 | - 5 28 | Vir | 1,387 | 11 E | 4,8 | - 0,7 |
| Oct. - Okt. | 2 | 7 06 | 12 24 | 17 40 | 13 23,9 | - 9 04 | Vir | 1,363 | 14 E | 4,9 | - 0,5 |
| | 7 | 7 32 | 12 32 | 17 31 | 13 52,2 | - 12 24 | Vir | 1,327 | 16 E | 5,1 | - 0,3 |
| | 12 | 7 56 | 12 40 | 17 23 | 14 19,9 | - 15 26 | Vir | 1,279 | 19 E | 5,3 | - 0,2 |
| | 17 | 8 19 | 12 47 | 17 15 | 14 47,0 | - 18 08 | Lib | 1,221 | 21 E | 5,5 | - 0,2 |
| | 22 | 8 39 | 12 54 | 17 08 | 15 13,2 | - 20 25 | Lib | 1,151 | 23 E | 5,8 | - 0,2 |
| | 27 | 8 55 | 12 58 | 17 01 | 15 37,7 | - 22 14 | Lib | 1,069 | 24 E | 6,3 | - 0,1 |
| Nov. - Nov. | 1 | 9 04 | 12 59 | 16 54 | 15 58,9 | - 23 29 | Sco | 0,976 | 24 E | 6,9 | - 0,1 |
| | 6 | 9 02 | 12 54 | 16 46 | 16 14,0 | - 24 00 | Sco | 0,874 | 22 E | 7,7 | + 0,1 |
| | 11 | 8 41 | 12 37 | 16 32 | 16 18,1 | - 23 34 | Sco | 0,774 | 18 E | 8,7 | + 0,7 |
| | 16 | 7 57 | 12 03 | 16 11 | 16 06,2 | - 21 49 | Sco | 0,698 | 10 E | 9,6 | + 2,5 |
| | 21 | 6 54 | 11 19 | 15 45 | 15 41,5 | - 18 52 | Lib | 0,679 | 2 W | 9,9 | + 5,2 |
| | 26 | 6 00 | 10 40 | 15 20 | 15 20,7 | - 16 15 | Lib | 0,735 | 12 W | 9,1 | + 1,7 |
| Déc. - Dec. | 1 | 5 33 | 10 17 | 15 01 | 15 16,5 | - 15 27 | Lib | 0,843 | 18 W | 8,0 | + 0,1 |

| | | | | | | | | | | | |
|---------------|------|-------|-------|---------|---------|---------|-------|-------|------|-------|-------|
| 6 | 5 30 | 10 10 | 14 49 | 15 27,7 | - 16 17 | Lib | 0,966 | 21 W | 7,0 | - 0,4 | |
| 11 | 5 41 | 10 11 | 14 41 | 15 48,4 | - 17 56 | Lib | 1,080 | 20 W | 6,2 | - 0,5 | |
| 16 | 5 59 | 10 18 | 14 37 | 16 14,4 | - 19 47 | Sco | 1,178 | 19 W | 5,7 | - 0,5 | |
| 21 | 6 19 | 10 28 | 14 36 | 16 43,6 | - 21 30 | Oph | 1,259 | 17 W | 5,3 | - 0,5 | |
| 26 | 6 40 | 10 40 | 14 39 | 17 14,8 | - 22 54 | Oph | 1,322 | 15 W | 5,1 | - 0,5 | |
| 31 | 6 59 | 10 53 | 14 46 | 17 47,4 | - 23 52 | Sgr | 1,370 | 12 W | 4,9 | - 0,5 | |
| Janv. - Jan. | 5 | 7 16 | 11 07 | 14 57 | 18 21,1 | - 24 20 | Sgr | 1,403 | 10 W | 4,8 | - 0,6 |
| Vénus – Venus | | | | | | | | | | | |
| Déc. - Dec. | 31 | 10 07 | 15 01 | 19 55 | 21 57,5 | - 14 01 | Cap | 0,758 | 47 E | 22,0 | - 4,3 |
| Janv. - Jan. | 5 | 9 55 | 15 01 | 20 07 | 22 17,5 | - 11 49 | Aqr | 0,721 | 47 E | 23,1 | - 4,4 |
| | 10 | 9 43 | 15 00 | 20 18 | 22 36,5 | - 9 31 | Aqr | 0,684 | 47 E | 24,4 | - 4,4 |
| | 15 | 9 29 | 14 58 | 20 28 | 22 54,5 | - 7 11 | Aqr | 0,647 | 47 E | 25,8 | - 4,5 |
| | 20 | 9 15 | 14 55 | 20 37 | 23 11,5 | - 4 49 | Aqr | 0,610 | 47 E | 27,4 | - 4,5 |
| | 25 | 8 59 | 14 51 | 20 44 | 23 27,4 | - 2 27 | Psc | 0,573 | 46 E | 29,1 | - 4,5 |
| | 30 | 8 43 | 14 46 | 20 50 | 23 42,1 | - 0 09 | Psc | 0,537 | 46 E | 31,1 | - 4,6 |
| Févr. - Febr. | 4 | 8 25 | 14 39 | 20 55 | 23 55,3 | + 2 06 | Psc | 0,501 | 44 E | 33,3 | - 4,6 |
| | 9 | 8 06 | 14 31 | 20 57 | 0 06,9 | + 4 13 | Psc | 0,466 | 43 E | 35,8 | - 4,6 |
| | 14 | 7 46 | 14 21 | 20 56 | 0 16,4 | + 6 11 | Psc | 0,432 | 41 E | 38,6 | - 4,6 |
| | 19 | 7 25 | 14 08 | 20 51 | 0 23,6 | + 7 55 | Psc | 0,400 | 38 E | 41,7 | - 4,6 |
| | 24 | 7 02 | 13 52 | 20 43 | 0 28,0 | + 9 22 | Psc | 0,370 | 35 E | 45,2 | - 4,6 |
| Mars - Maart | 1 | 6 38 | 13 33 | 20 29 | 0 29,1 | + 10 27 | Psc | 0,342 | 31 E | 48,7 | - 4,6 |
| | 6 | 6 13 | 13 11 | 20 09 | 0 26,7 | + 11 04 | Psc | 0,319 | 26 E | 52,4 | - 4,5 |
| | 11 | 5 47 | 12 45 | 19 42 | 0 20,6 | + 11 06 | Psc | 0,300 | 20 E | 55,6 | - 4,4 |
| | 16 | 5 21 | 12 16 | 19 10 | 0 11,6 | + 10 32 | Psc | 0,287 | 14 E | 58,1 | - 4,2 |
| | 21 | 4 57 | 11 45 | 18 33 | 0 00,8 | + 9 23 | Psc | 0,281 | 9 W | 59,4 | - 4,1 |
| | 26 | 4 35 | 11 15 | 17 54 | 23 50,0 | + 7 47 | Psc | 0,282 | 9 W | 59,1 | - 4,1 |
| | 31 | 4 15 | 10 47 | 17 17 | 23 40,9 | + 6 00 | Psc | 0,291 | 15 W | 57,4 | - 4,2 |
| Avril - April | 5 | 3 58 | 10 21 | 16 43 | 23 34,8 | + 4 18 | Psc | 0,306 | 21 W | 54,5 | - 4,3 |

| Date — Datum (2024) 2025 (2026) | Lever — Opkomst | Passage au méridiens — Doorgang door de meridiaan | Coucher — Ondergang | A 0 ^h , TEMPS UNIVERSEL — Te 0 ^h WERELDTIJD | | | | | | | |
|--|-----------------------|---|---------------------------|---|--------------------------------|--|--|--------|---|-------|-------|
| | | | | Ascension droite — Rechte klimming | Déclinaison — Declinatie | Constel- lation — Sterren- beeld | Distance à la Terre — Afstand tot de aarde | Elong. | Diam. app. — Schijnb. diam. | Magn. | |
| | | | | | | | | | UA-AE | ° | 〃 |
| Avril - April | 10 | 3 43 | 9 59 | 16 15 | 23 32,5 | + 2 50 | Psc | 0,327 | 26 W | 51,0 | - 4,4 |
| | 15 | 3 30 | 9 41 | 15 52 | 23 33,9 | + 1 46 | Psc | 0,353 | 31 W | 47,3 | - 4,5 |
| | 20 | 3 19 | 9 27 | 15 35 | 23 38,7 | + 1 07 | Psc | 0,383 | 35 W | 43,6 | - 4,5 |
| | 25 | 3 08 | 9 15 | 15 22 | 23 46,4 | + 0 52 | Psc | 0,415 | 38 W | 40,2 | - 4,5 |
| | 30 | 2 58 | 9 06 | 15 14 | 23 56,6 | + 1 00 | Psc | 0,450 | 40 W | 37,1 | - 4,5 |
| Mai - Mei | 5 | 2 48 | 8 58 | 15 09 | 0 08,7 | + 1 27 | Psc | 0,487 | 42 W | 34,3 | - 4,5 |
| | 10 | 2 38 | 8 52 | 15 07 | 0 22,4 | + 2 11 | Psc | 0,525 | 44 W | 31,8 | - 4,5 |
| | 15 | 2 29 | 8 48 | 15 07 | 0 37,4 | + 3 09 | Psc | 0,563 | 45 W | 29,6 | - 4,4 |
| | 20 | 2 19 | 8 44 | 15 10 | 0 53,5 | + 4 19 | Psc | 0,603 | 45 W | 27,7 | - 4,4 |
| | 25 | 2 10 | 8 42 | 15 14 | 1 10,5 | + 5 38 | Psc | 0,643 | 46 W | 26,0 | - 4,4 |
| | 30 | 2 01 | 8 40 | 15 19 | 1 28,2 | + 7 03 | Psc | 0,683 | 46 W | 24,4 | - 4,3 |
| Juin - Juni | 4 | 1 52 | 8 38 | 15 26 | 1 46,7 | + 8 34 | Psc | 0,723 | 46 W | 23,1 | - 4,3 |
| | 9 | 1 44 | 8 38 | 15 33 | 2 05,8 | + 10 06 | Psc | 0,763 | 46 W | 21,9 | - 4,2 |
| | 14 | 1 35 | 8 38 | 15 42 | 2 25,6 | + 11 40 | Ari | 0,803 | 45 W | 20,8 | - 4,2 |
| | 19 | 1 28 | 8 39 | 15 51 | 2 46,0 | + 13 13 | Ari | 0,843 | 45 W | 19,8 | - 4,2 |
| | 24 | 1 21 | 8 40 | 16 00 | 3 06,9 | + 14 44 | Ari | 0,882 | 44 W | 18,9 | - 4,2 |
| | 29 | 1 14 | 8 42 | 16 10 | 3 28,5 | + 16 09 | Tau | 0,921 | 44 W | 18,1 | - 4,1 |
| Juill. - Juli | 4 | 1 09 | 8 44 | 16 21 | 3 50,6 | + 17 29 | Tau | 0,960 | 43 W | 17,4 | - 4,1 |
| | 9 | 1 05 | 8 47 | 16 31 | 4 13,4 | + 18 41 | Tau | 0,998 | 42 W | 16,7 | - 4,1 |
| | 14 | 1 02 | 8 51 | 16 41 | 4 36,6 | + 19 44 | Tau | 1,035 | 41 W | 16,1 | - 4,1 |
| | 19 | 1 01 | 8 55 | 16 50 | 5 00,4 | + 20 37 | Tau | 1,072 | 41 W | 15,6 | - 4,0 |

| | | | | | | | | | | | |
|---------------|----|------|-------|-------|---------|---------|-----|-------|------|------|-------|
| | 24 | 1 01 | 9 00 | 16 59 | 5 24,6 | + 21 17 | Tau | 1,107 | 40 W | 15,1 | - 4,0 |
| | 29 | 1 03 | 9 05 | 17 07 | 5 49,2 | + 21 45 | Tau | 1,142 | 39 W | 14,6 | - 4,0 |
| Août - Aug. | 3 | 1 06 | 9 10 | 17 13 | 6 14,2 | + 21 59 | Gem | 1,177 | 38 W | 14,2 | - 4,0 |
| | 8 | 1 12 | 9 15 | 17 19 | 6 39,3 | + 21 59 | Gem | 1,210 | 37 W | 13,8 | - 4,0 |
| | 13 | 1 19 | 9 21 | 17 22 | 7 04,6 | + 21 43 | Gem | 1,243 | 36 W | 13,4 | - 4,0 |
| | 18 | 1 28 | 9 26 | 17 24 | 7 29,8 | + 21 13 | Gem | 1,274 | 34 W | 13,1 | - 4,0 |
| | 23 | 1 38 | 9 32 | 17 25 | 7 55,1 | + 20 28 | Gem | 1,305 | 33 W | 12,8 | - 4,0 |
| | 28 | 1 50 | 9 37 | 17 23 | 8 20,1 | + 19 28 | Cnc | 1,334 | 32 W | 12,5 | - 4,0 |
| Sept. - Sept. | 2 | 2 03 | 9 42 | 17 21 | 8 44,9 | + 18 14 | Cnc | 1,363 | 31 W | 12,2 | - 4,0 |
| | 7 | 2 16 | 9 47 | 17 17 | 9 09,5 | + 16 48 | Cnc | 1,390 | 30 W | 12,0 | - 3,9 |
| | 12 | 2 30 | 9 52 | 17 12 | 9 33,8 | + 15 09 | Leo | 1,416 | 29 W | 11,8 | - 3,9 |
| | 17 | 2 44 | 9 56 | 17 06 | 9 57,7 | + 13 20 | Leo | 1,441 | 27 W | 11,6 | - 3,9 |
| | 22 | 2 59 | 10 00 | 16 59 | 10 21,4 | + 11 21 | Leo | 1,466 | 26 W | 11,4 | - 3,9 |
| | 27 | 3 14 | 10 03 | 16 52 | 10 44,8 | + 9 14 | Leo | 1,488 | 25 W | 11,2 | - 3,9 |
| Oct. - Okt. | 2 | 3 29 | 10 07 | 16 44 | 11 07,9 | + 7 00 | Leo | 1,510 | 24 W | 11,1 | - 3,9 |
| | 7 | 3 44 | 10 10 | 16 35 | 11 30,9 | + 4 41 | Leo | 1,531 | 23 W | 10,9 | - 3,9 |
| | 12 | 3 59 | 10 13 | 16 27 | 11 53,8 | + 2 17 | Vir | 1,550 | 21 W | 10,8 | - 3,9 |
| | 17 | 4 14 | 10 16 | 16 18 | 12 16,6 | - 0 08 | Vir | 1,569 | 20 W | 10,6 | - 3,9 |
| | 22 | 4 29 | 10 20 | 16 09 | 12 39,5 | - 2 35 | Vir | 1,586 | 19 W | 10,5 | - 3,9 |
| | 27 | 4 44 | 10 23 | 16 00 | 13 02,5 | - 5 01 | Vir | 1,602 | 18 W | 10,4 | - 3,9 |
| Nov. - Nov. | 1 | 5 00 | 10 26 | 15 52 | 13 25,7 | - 7 25 | Vir | 1,616 | 16 W | 10,3 | - 3,9 |
| | 6 | 5 15 | 10 30 | 15 44 | 13 49,2 | - 9 45 | Vir | 1,630 | 15 W | 10,2 | - 3,9 |
| | 11 | 5 31 | 10 34 | 15 36 | 14 13,0 | - 11 59 | Vir | 1,643 | 14 W | 10,2 | - 3,9 |
| | 16 | 5 47 | 10 39 | 15 30 | 14 37,2 | - 14 07 | Lib | 1,654 | 13 W | 10,1 | - 3,9 |
| | 21 | 6 03 | 10 44 | 15 24 | 15 01,9 | - 16 06 | Lib | 1,665 | 11 W | 10,0 | - 3,9 |
| | 26 | 6 19 | 10 49 | 15 19 | 15 27,1 | - 17 54 | Lib | 1,674 | 10 W | 10,0 | - 3,9 |
| Déc. - Dec. | 1 | 6 34 | 10 55 | 15 16 | 15 52,7 | - 19 30 | Lib | 1,682 | 9 W | 9,9 | - 3,9 |
| | 6 | 6 49 | 11 02 | 15 14 | 16 18,9 | - 20 53 | Sco | 1,689 | 8 W | 9,9 | - 3,9 |
| | 11 | 7 03 | 11 09 | 15 14 | 16 45,5 | - 22 00 | Oph | 1,695 | 6 W | 9,8 | - 3,9 |

| Date — Datum (2024) 2025 (2026) | Lever — Opkomst | Passage au méridiens — Doorgang door de meridiaan | Coucher — Ondergang | A 0 ^h , TEMPS UNIVERSEL — Te 0 ^h WERELDTIJD | | | | | | | |
|--|-----------------------|---|---------------------------|---|--------------------------------|--|--|--------|---|-------|-------|
| | | | | Ascension droite — Rechte klimming | Déclinaison — Declinatie | Constel- lation — Sterren- beeld | Distance à la Terre — Afstand tot de aarde | Elong. | Diam. app. — Schijnb. diam. | Magn. | |
| | | | | | | | | | UA-AE | | |
| Déc. - Dec. | 16 | 7 16 | 11 16 | 15 16 | 17 12,5 | - 22 52 | Oph | 1,700 | 5 W | 9,8 | - 3,9 |
| | 21 | 7 28 | 11 24 | 15 20 | 17 39,8 | - 23 26 | Oph | 1,705 | 4 W | 9,8 | - 3,9 |
| | 26 | 7 37 | 11 32 | 15 26 | 18 07,2 | - 23 42 | Sgr | 1,708 | 3 W | 9,8 | - 3,9 |
| | 31 | 7 44 | 11 39 | 15 34 | 18 34,7 | - 23 40 | Sgr | 1,710 | 2 W | 9,8 | - 3,9 |
| Janv. - Jan. | 5 | 7 50 | 11 47 | 15 45 | 19 02,1 | - 23 19 | Sgr | 1,711 | 1 W | 9,8 | - 3,9 |
| Mars | | | | | | | | | | | |
| Déc. - Dec. | 31 | 17 07 | 1 24 | 9 36 | 8 21,8 | + 23 26 | Cnc | 0,659 | 157 W | 14,2 | - 1,2 |
| Janv. - Jan. | 5 | 16 37 | 0 58 | 9 13 | 8 14,7 | + 23 59 | Cnc | 0,649 | 164 W | 14,4 | - 1,3 |
| | 10 | 16 05 | 0 30 | 8 49 | 8 06,8 | + 24 31 | Cnc | 0,643 | 170 W | 14,6 | - 1,3 |
| | 15 | 15 34 | 0 02 | 8 25 | 7 58,3 | + 25 01 | Gem | 0,643 | 175 W | 14,6 | - 1,4 |
| | 20 | 15 02 | 23 28 | 8 00 | 7 49,8 | + 25 26 | Gem | 0,648 | 173 E | 14,4 | - 1,3 |
| | 25 | 14 32 | 23 01 | 7 34 | 7 41,6 | + 25 47 | Gem | 0,659 | 167 E | 14,2 | - 1,2 |
| | 30 | 14 03 | 22 34 | 7 09 | 7 34,1 | + 26 01 | Gem | 0,676 | 160 E | 13,9 | - 1,1 |
| Févr. - Febr. | 4 | 13 36 | 22 08 | 6 44 | 7 27,7 | + 26 10 | Gem | 0,697 | 154 E | 13,4 | - 1,0 |
| | 9 | 13 11 | 21 43 | 6 20 | 7 22,6 | + 26 14 | Gem | 0,723 | 148 E | 13,0 | - 0,8 |
| | 14 | 12 48 | 21 20 | 5 57 | 7 18,9 | + 26 13 | Gem | 0,753 | 142 E | 12,4 | - 0,7 |
| | 19 | 12 27 | 20 59 | 5 34 | 7 16,7 | + 26 09 | Gem | 0,787 | 136 E | 11,9 | - 0,6 |
| | 24 | 12 08 | 20 39 | 5 13 | 7 15,9 | + 26 01 | Gem | 0,823 | 131 E | 11,4 | - 0,4 |
| Mars - Maart | 1 | 11 50 | 20 20 | 4 53 | 7 16,4 | + 25 51 | Gem | 0,862 | 126 E | 10,9 | - 0,3 |

| | | | | | | | | | | | | |
|---------------|-------|-------|-------|--------|---------|---------|-------|-------|------|-------|-------|--|
| 6 | 11 34 | 20 02 | 4 33 | 7 18,2 | + 25 39 | Gem | 0,903 | 122 E | 10,4 | - 0,2 | | |
| 11 | 11 20 | 19 46 | 4 15 | 7 21,2 | + 25 24 | Gem | 0,946 | 118 E | 9,9 | - 0,0 | | |
| 16 | 11 06 | 19 30 | 3 57 | 7 25,3 | + 25 07 | Gem | 0,991 | 114 E | 9,5 | + 0,1 | | |
| 21 | 10 54 | 19 15 | 3 40 | 7 30,2 | + 24 49 | Gem | 1,036 | 110 E | 9,0 | + 0,2 | | |
| 26 | 10 42 | 19 02 | 3 24 | 7 36,0 | + 24 28 | Gem | 1,083 | 106 E | 8,7 | + 0,3 | | |
| 31 | 10 32 | 18 49 | 3 08 | 7 42,5 | + 24 05 | Gem | 1,130 | 103 E | 8,3 | + 0,4 | | |
| Avril - April | 5 | 10 23 | 18 36 | 2 52 | 7 49,6 | + 23 40 | Gem | 1,177 | 99 E | 8,0 | + 0,5 | |
| | 10 | 10 14 | 18 24 | 2 37 | 7 57,3 | + 23 12 | Gem | 1,224 | 96 E | 7,7 | + 0,6 | |
| | 15 | 10 06 | 18 13 | 2 22 | 8 05,4 | + 22 42 | Cnc | 1,272 | 93 E | 7,4 | + 0,7 | |
| | 20 | 9 58 | 18 02 | 2 07 | 8 13,9 | + 22 09 | Cnc | 1,319 | 91 E | 7,1 | + 0,8 | |
| | 25 | 9 51 | 17 51 | 1 53 | 8 22,8 | + 21 34 | Cnc | 1,366 | 88 E | 6,9 | + 0,9 | |
| | 30 | 9 45 | 17 40 | 1 38 | 8 32,0 | + 20 56 | Cnc | 1,412 | 85 E | 6,6 | + 0,9 | |
| Mai - Mei | 5 | 9 39 | 17 30 | 1 23 | 8 41,5 | + 20 16 | Cnc | 1,459 | 83 E | 6,4 | + 1,0 | |
| | 10 | 9 34 | 17 20 | 1 09 | 8 51,2 | + 19 32 | Cnc | 1,504 | 80 E | 6,2 | + 1,1 | |
| | 15 | 9 29 | 17 10 | 0 54 | 9 01,1 | + 18 47 | Cnc | 1,549 | 78 E | 6,0 | + 1,1 | |
| | 20 | 9 24 | 17 01 | 0 40 | 9 11,1 | + 17 58 | Cnc | 1,593 | 76 E | 5,9 | + 1,2 | |
| | 25 | 9 19 | 16 51 | 0 25 | 9 21,3 | + 17 07 | Cnc | 1,636 | 73 E | 5,7 | + 1,2 | |
| | 30 | 9 15 | 16 42 | 0 11 | 9 31,6 | + 16 13 | Leo | 1,678 | 71 E | 5,6 | + 1,3 | |
| Juin - Juni | 4 | 9 11 | 16 32 | 23 53 | 9 42,0 | + 15 17 | Leo | 1,720 | 69 E | 5,4 | + 1,3 | |
| | 9 | 9 07 | 16 23 | 23 38 | 9 52,4 | + 14 19 | Leo | 1,760 | 67 E | 5,3 | + 1,4 | |
| | 14 | 9 04 | 16 14 | 23 24 | 10 03,0 | + 13 18 | Leo | 1,800 | 65 E | 5,2 | + 1,4 | |
| | 19 | 9 00 | 16 05 | 23 09 | 10 13,6 | + 12 15 | Leo | 1,838 | 63 E | 5,1 | + 1,4 | |
| | 24 | 8 57 | 15 56 | 22 54 | 10 24,3 | + 11 10 | Leo | 1,875 | 61 E | 5,0 | + 1,4 | |
| | 29 | 8 54 | 15 47 | 22 39 | 10 35,0 | + 10 03 | Leo | 1,911 | 59 E | 4,9 | + 1,5 | |
| Juill. - Juli | 4 | 8 51 | 15 38 | 22 25 | 10 45,8 | + 8 54 | Leo | 1,946 | 57 E | 4,8 | + 1,5 | |
| | 9 | 8 48 | 15 29 | 22 10 | 10 56,6 | + 7 44 | Leo | 1,979 | 55 E | 4,7 | + 1,5 | |
| | 14 | 8 46 | 15 21 | 21 55 | 11 07,5 | + 6 32 | Leo | 2,012 | 54 E | 4,7 | + 1,5 | |
| | 19 | 8 43 | 15 12 | 21 40 | 11 18,5 | + 5 18 | Leo | 2,043 | 52 E | 4,6 | + 1,6 | |
| | 24 | 8 40 | 15 03 | 21 25 | 11 29,6 | + 4 04 | Leo | 2,073 | 50 E | 4,5 | + 1,6 | |
| | 29 | 8 38 | 14 55 | 21 10 | 11 40,7 | + 2 48 | Vir | 2,102 | 48 E | 4,5 | + 1,6 | |

| Date — Datum (2024) 2025 (2026) | Lever — Opkomst | Passage au méridiens — Doorgang door de meridiaan | Coucher — Ondergang | A 0 ^h , TEMPS UNIVERSEL — Te 0 ^h WERELDTIJD | | | | | | | | Magn. | |
|--|-----------------------|---|---------------------------|---|--------------------------------|--|--|--------|---|-----|-------|-------|--|
| | | | | Ascension droite — Rechte klimming | Déclinaison — Declinatie | Constel- lation — Sterren- beeld | Distance à la Terre — Afstand tot de aarde | Elong. | Diam. app. — Schijnb. diam. | | | | |
| | | | | | | | | | UA-AE | o | // | | |
| Août - Aug. | 3 | 8 36 | 14 46 | 20 56 | 11 51,9 | + 1 31 | Vir | 2,129 | 47 E | 4,4 | + 1,6 | | |
| | 8 | 8 34 | 14 38 | 20 41 | 12 03,2 | + 0 14 | Vir | 2,155 | 45 E | 4,3 | + 1,6 | | |
| | 13 | 8 32 | 14 29 | 20 26 | 12 14,6 | - 1 04 | Vir | 2,180 | 43 E | 4,3 | + 1,6 | | |
| | 18 | 8 30 | 14 21 | 20 12 | 12 26,1 | - 2 22 | Vir | 2,203 | 42 E | 4,3 | + 1,6 | | |
| | 23 | 8 29 | 14 13 | 19 57 | 12 37,7 | - 3 41 | Vir | 2,226 | 40 E | 4,2 | + 1,6 | | |
| | 28 | 8 27 | 14 05 | 19 43 | 12 49,5 | - 4 59 | Vir | 2,247 | 38 E | 4,2 | + 1,6 | | |
| Sept. - Sept. | 2 | 8 26 | 13 57 | 19 29 | 13 01,4 | - 6 17 | Vir | 2,266 | 37 E | 4,1 | + 1,6 | | |
| | 7 | 8 25 | 13 50 | 19 15 | 13 13,5 | - 7 35 | Vir | 2,285 | 35 E | 4,1 | + 1,6 | | |
| | 12 | 8 24 | 13 42 | 19 01 | 13 25,7 | - 8 52 | Vir | 2,302 | 34 E | 4,1 | + 1,6 | | |
| | 17 | 8 23 | 13 35 | 18 47 | 13 38,2 | - 10 08 | Vir | 2,318 | 32 E | 4,0 | + 1,6 | | |
| | 22 | 8 22 | 13 28 | 18 34 | 13 50,8 | - 11 23 | Vir | 2,333 | 31 E | 4,0 | + 1,6 | | |
| | 27 | 8 22 | 13 21 | 18 20 | 14 03,7 | - 12 36 | Vir | 2,346 | 29 E | 4,0 | + 1,6 | | |
| Oct. - Okt. | 2 | 8 22 | 13 15 | 18 07 | 14 16,7 | - 13 47 | Vir | 2,359 | 27 E | 4,0 | + 1,6 | | |
| | 7 | 8 21 | 13 08 | 17 55 | 14 30,1 | - 14 56 | Lib | 2,370 | 26 E | 4,0 | + 1,6 | | |
| | 12 | 8 22 | 13 02 | 17 42 | 14 43,6 | - 16 03 | Lib | 2,380 | 24 E | 3,9 | + 1,5 | | |
| | 17 | 8 22 | 12 56 | 17 31 | 14 57,4 | - 17 07 | Lib | 2,389 | 23 E | 3,9 | + 1,5 | | |
| | 22 | 8 22 | 12 51 | 17 19 | 15 11,5 | - 18 08 | Lib | 2,397 | 22 E | 3,9 | + 1,5 | | |
| | 27 | 8 22 | 12 45 | 17 08 | 15 25,8 | - 19 05 | Lib | 2,403 | 20 E | 3,9 | + 1,5 | | |
| Nov. - Nov. | 1 | 8 22 | 12 40 | 16 58 | 15 40,4 | - 19 59 | Lib | 2,409 | 19 E | 3,9 | + 1,5 | | |
| | 6 | 8 23 | 12 35 | 16 48 | 15 55,2 | - 20 48 | Sco | 2,414 | 17 E | 3,9 | + 1,4 | | |
| | 11 | 8 23 | 12 31 | 16 39 | 16 10,4 | - 21 33 | Sco | 2,418 | 16 E | 3,9 | + 1,4 | | |

| | | | | | | | | | | | | | |
|----------------|------|-------|-------|---------|---------|---------|-------|-------|-------|-------|-------|--|--|
| 16 | 8 23 | 12 27 | 16 30 | 16 25,7 | - 22 13 | Oph | 2,420 | 14 E | 3,9 | + 1,4 | | | |
| 21 | 8 22 | 12 22 | 16 22 | 16 41,3 | - 22 47 | Oph | 2,422 | 13 E | 3,9 | + 1,4 | | | |
| 26 | 8 22 | 12 19 | 16 15 | 16 57,2 | - 23 17 | Oph | 2,424 | 12 E | 3,9 | + 1,4 | | | |
| Déc. - Dec. | 1 | 8 21 | 12 15 | 16 09 | 17 13,2 | - 23 40 | Oph | 2,424 | 10 E | 3,9 | + 1,3 | | |
| | 6 | 8 19 | 12 11 | 16 04 | 17 29,4 | - 23 57 | Oph | 2,423 | 9 E | 3,9 | + 1,3 | | |
| | 11 | 8 17 | 12 08 | 15 59 | 17 45,8 | - 24 09 | Sgr | 2,422 | 8 E | 3,9 | + 1,3 | | |
| | 16 | 8 14 | 12 05 | 15 56 | 18 02,3 | - 24 13 | Sgr | 2,420 | 6 E | 3,9 | + 1,3 | | |
| | 21 | 8 11 | 12 02 | 15 53 | 18 18,9 | - 24 11 | Sgr | 2,418 | 5 E | 3,9 | + 1,2 | | |
| | 26 | 8 07 | 11 59 | 15 51 | 18 35,5 | - 24 02 | Sgr | 2,415 | 4 E | 3,9 | + 1,2 | | |
| | 31 | 8 02 | 11 56 | 15 50 | 18 52,2 | - 23 47 | Sgr | 2,411 | 3 E | 3,9 | + 1,2 | | |
| Janv. - Jan. | 5 | 7 56 | 11 53 | 15 49 | 19 08,9 | - 23 25 | Sgr | 2,407 | 1 E | 3,9 | + 1,2 | | |
| Jupiter | | | | | | | | | | | | | |
| Déc. - Dec. | 26 | 14 08 | 22 09 | 6 14 | 4 50,4 | + 21 51 | Tau | 4,149 | 159 E | 47,5 | - 2,8 | | |
| Janv. - Jan. | 5 | 13 25 | 21 25 | 5 30 | 4 45,8 | + 21 45 | Tau | 4,224 | 148 E | 46,6 | - 2,7 | | |
| | 15 | 12 43 | 20 42 | 4 46 | 4 42,2 | + 21 41 | Tau | 4,324 | 137 E | 45,5 | - 2,6 | | |
| | 25 | 12 01 | 20 01 | 4 05 | 4 40,0 | + 21 39 | Tau | 4,447 | 126 E | 44,3 | - 2,6 | | |
| Févr. - Febr. | 4 | 11 21 | 19 21 | 3 25 | 4 39,2 | + 21 39 | Tau | 4,586 | 116 E | 42,9 | - 2,5 | | |
| | 14 | 10 42 | 18 42 | 2 46 | 4 39,8 | + 21 43 | Tau | 4,738 | 106 E | 41,6 | - 2,4 | | |
| | 24 | 10 04 | 18 05 | 2 10 | 4 41,9 | + 21 48 | Tau | 4,896 | 96 E | 40,2 | - 2,4 | | |
| Mars - Maart | 6 | 9 28 | 17 29 | 1 35 | 4 45,2 | + 21 57 | Tau | 5,058 | 87 E | 38,9 | - 2,3 | | |
| | 16 | 8 52 | 16 55 | 1 01 | 4 49,8 | + 22 06 | Tau | 5,219 | 78 E | 37,7 | - 2,2 | | |
| | 26 | 8 17 | 16 21 | 0 28 | 4 55,4 | + 22 17 | Tau | 5,374 | 70 E | 36,6 | - 2,2 | | |
| Avril - April | 5 | 7 43 | 15 48 | 23 54 | 5 02,0 | + 22 28 | Tau | 5,521 | 61 E | 35,7 | - 2,1 | | |
| | 15 | 7 10 | 15 16 | 23 23 | 5 09,3 | + 22 39 | Tau | 5,658 | 53 E | 34,8 | - 2,0 | | |
| | 25 | 6 37 | 14 45 | 22 53 | 5 17,4 | + 22 50 | Tau | 5,781 | 45 E | 34,1 | - 2,0 | | |
| Mai - Mei | 5 | 6 05 | 14 14 | 22 23 | 5 26,0 | + 22 59 | Tau | 5,889 | 37 E | 33,4 | - 2,0 | | |
| | 15 | 5 34 | 13 44 | 21 54 | 5 35,1 | + 23 06 | Tau | 5,980 | 30 E | 32,9 | - 1,9 | | |

| Date — Datum (2024) 2025 (2026) | Lever — Opkomst | Passage au méridiens — Doorgang door de meridiaan | Coucher — Ondergang | A 0 ^h , TEMPS UNIVERSEL — Te 0 ^h WERELDTIJD | | | | | | | |
|--|-----------------------|---|---------------------------|---|--------------------------------|--|--|--------|---|-------|-------|
| | | | | Ascension droite — Rechte klimming | Déclinaison — Declinatie | Constel- lation — Sterren- beeld | Distance à la Terre — Afstand tot de aarde | Elong. | Diam. app. — Schijnb. diam. | Magn. | |
| | | | | | | | | | UA-AE | o | |
| Mai - Mei | 25 | 5 04 | 13 14 | 21 25 | 5 44,5 | + 23 12 | Tau | 6,054 | 22 E | 32,5 | - 1,9 |
| Juin - Juni | 4 | 4 34 | 12 44 | 20 55 | 5 54,2 | + 23 15 | Tau | 6,108 | 15 E | 32,2 | - 1,9 |
| | 14 | 4 04 | 12 15 | 20 26 | 6 04,1 | + 23 17 | Gem | 6,144 | 8 E | 32,0 | - 1,9 |
| | 24 | 3 35 | 11 46 | 19 56 | 6 14,0 | + 23 16 | Gem | 6,159 | 0 E | 32,0 | - 1,9 |
| Juill. - Juli | 4 | 3 06 | 11 16 | 19 26 | 6 23,9 | + 23 12 | Gem | 6,154 | 7 W | 32,0 | - 1,9 |
| | 14 | 2 37 | 10 47 | 18 56 | 6 33,8 | + 23 06 | Gem | 6,130 | 14 W | 32,1 | - 1,9 |
| | 24 | 2 08 | 10 17 | 18 26 | 6 43,4 | + 22 58 | Gem | 6,086 | 21 W | 32,4 | - 1,9 |
| Août - Aug. | 3 | 1 39 | 9 47 | 17 54 | 6 52,7 | + 22 48 | Gem | 6,023 | 29 W | 32,7 | - 1,9 |
| | 13 | 1 10 | 9 16 | 17 23 | 7 01,7 | + 22 37 | Gem | 5,942 | 36 W | 33,1 | - 1,9 |
| | 23 | 0 41 | 8 46 | 16 50 | 7 10,3 | + 22 25 | Gem | 5,845 | 44 W | 33,7 | - 2,0 |
| Sept. - Sept. | 2 | 0 11 | 8 14 | 16 17 | 7 18,2 | + 22 11 | Gem | 5,731 | 52 W | 34,3 | - 2,0 |
| | 12 | 23 37 | 7 42 | 15 44 | 7 25,5 | + 21 58 | Gem | 5,605 | 60 W | 35,1 | - 2,0 |
| | 22 | 23 05 | 7 09 | 15 10 | 7 32,0 | + 21 46 | Gem | 5,467 | 68 W | 36,0 | - 2,1 |
| Oct. - Okt. | 2 | 22 33 | 6 35 | 14 34 | 7 37,6 | + 21 34 | Gem | 5,320 | 76 W | 37,0 | - 2,1 |
| | 12 | 21 59 | 6 01 | 13 59 | 7 42,1 | + 21 25 | Gem | 5,168 | 85 W | 38,1 | - 2,2 |
| | 22 | 21 24 | 5 25 | 13 22 | 7 45,5 | + 21 17 | Gem | 5,014 | 94 W | 39,3 | - 2,3 |
| Nov. - Nov. | 1 | 20 47 | 4 47 | 12 44 | 7 47,7 | + 21 13 | Gem | 4,862 | 104 W | 40,5 | - 2,3 |
| | 11 | 20 08 | 4 09 | 12 06 | 7 48,5 | + 21 13 | Gem | 4,716 | 114 W | 41,7 | - 2,4 |
| | 21 | 19 28 | 3 29 | 11 26 | 7 47,9 | + 21 16 | Gem | 4,581 | 124 W | 43,0 | - 2,5 |
| Déc. - Dec. | 1 | 18 46 | 2 48 | 10 45 | 7 45,9 | + 21 22 | Gem | 4,462 | 135 W | 44,1 | - 2,5 |

| | | | | | | | | | | | |
|---------------------------|-------|-------|-------|--------|---------|---------|-------|--------|-------|-------|-------|
| 11 | 18 02 | 2 05 | 10 04 | 7 42,7 | + 21 32 | Gem | 4,363 | 145 W | 45,1 | - 2,6 | |
| 21 | 17 17 | 1 21 | 9 21 | 7 38,3 | + 21 44 | Gem | 4,290 | 157 W | 45,9 | - 2,6 | |
| 31 | 16 31 | 0 37 | 8 38 | 7 33,0 | + 21 57 | Gem | 4,245 | 168 W | 46,4 | - 2,7 | |
| Janv. - Jan. | 10 | 15 44 | 23 47 | 7 55 | 7 27,4 | + 22 11 | Gem | 4,232 | 180 W | 46,5 | - 2,7 |
| Saturne — Saturnus | | | | | | | | | | | |
| Déc. - Dec. | 26 | 11 02 | 16 25 | 21 47 | 23 04,5 | - 8 06 | Aqr | 9,934 | 69 E | 16,7 | + 1,1 |
| Janv. - Jan. | 5 | 10 24 | 15 48 | 21 12 | 23 07,2 | - 7 47 | Aqr | 10,084 | 60 E | 16,4 | + 1,1 |
| | 15 | 9 46 | 15 12 | 20 38 | 23 10,4 | - 7 26 | Aqr | 10,220 | 51 E | 16,2 | + 1,1 |
| | 25 | 9 08 | 14 36 | 20 04 | 23 14,0 | - 7 02 | Aqr | 10,339 | 41 E | 16,0 | + 1,1 |
| Févr. - Febr. | 4 | 8 31 | 14 01 | 19 31 | 23 18,0 | - 6 37 | Aqr | 10,438 | 32 E | 15,9 | + 1,2 |
| | 14 | 7 53 | 13 26 | 18 58 | 23 22,2 | - 6 09 | Aqr | 10,515 | 23 E | 15,7 | + 1,2 |
| | 24 | 7 16 | 12 51 | 18 26 | 23 26,6 | - 5 41 | Aqr | 10,569 | 15 E | 15,7 | + 1,2 |
| Mars - Maart | 6 | 6 39 | 12 16 | 17 53 | 23 31,1 | - 5 12 | Aqr | 10,597 | 6 E | 15,6 | + 1,1 |
| | 16 | 6 02 | 11 41 | 17 21 | 23 35,6 | - 4 43 | Aqr | 10,600 | 4 W | 15,6 | + 1,2 |
| | 26 | 5 24 | 11 06 | 16 48 | 23 40,2 | - 4 15 | Aqr | 10,579 | 12 W | 15,6 | + 1,2 |
| Avril - April | 5 | 4 47 | 10 31 | 16 16 | 23 44,6 | - 3 47 | Aqr | 10,532 | 21 W | 15,7 | + 1,2 |
| | 15 | 4 10 | 9 56 | 15 43 | 23 48,9 | - 3 20 | Aqr | 10,462 | 29 W | 15,8 | + 1,2 |
| | 25 | 3 33 | 9 21 | 15 10 | 23 53,0 | - 2 55 | Psc | 10,370 | 38 W | 16,0 | + 1,2 |
| Mai - Mei | 5 | 2 55 | 8 46 | 14 36 | 23 56,8 | - 2 33 | Psc | 10,258 | 47 W | 16,1 | + 1,2 |
| | 15 | 2 18 | 8 10 | 14 02 | 0 00,2 | - 2 12 | Psc | 10,129 | 55 W | 16,3 | + 1,2 |
| | 25 | 1 40 | 7 33 | 13 27 | 0 03,3 | - 1 55 | Psc | 9,986 | 64 W | 16,6 | + 1,1 |
| Juin - Juni | 4 | 1 02 | 6 57 | 12 51 | 0 05,9 | - 1 40 | Psc | 9,831 | 73 W | 16,8 | + 1,1 |
| | 14 | 0 24 | 6 19 | 12 15 | 0 07,9 | - 1 30 | Psc | 9,669 | 82 W | 17,1 | + 1,1 |
| | 24 | 23 42 | 5 42 | 11 37 | 0 09,5 | - 1 23 | Psc | 9,503 | 91 W | 17,4 | + 1,0 |
| Juill. - Juli | 4 | 23 03 | 5 03 | 10 59 | 0 10,4 | - 1 19 | Psc | 9,338 | 100 W | 17,7 | + 1,0 |
| | 14 | 22 24 | 4 24 | 10 20 | 0 10,7 | - 1 20 | Psc | 9,178 | 110 W | 18,0 | + 0,9 |

| Date — Datum (2024) 2025 (2026) | Lever — Opkomst | Passage au méridiens — Doorgang door de meridiaan | Coucher — Ondergang | A 0 ^h , TEMPS UNIVERSEL — Te 0 ^h WERELDTIJD | | | | | | | |
|--|-----------------------|---|---------------------------|---|--------------------------------|--|--|--------|---|-------|-------|
| | | | | Ascension droite — Rechte klimming | Déclinaison — Declinatie | Constel- lation — Sterren- beeld | Distance à la Terre — Afstand tot de aarde | Elong. | Diam. app. — Schijnb. diam. | Magn. | |
| | | | | | | | | | UA-AE | o | |
| Juill. - Juli | 24 | 21 45 | 3 45 | 9 40 | 0 10,5 | — 1 25 | Psc | 9,027 | 120 W | 18,3 | + 0,9 |
| Août - Aug. | 3 | 21 05 | 3 04 | 8 59 | 0 09,6 | — 1 34 | Psc | 8,890 | 129 W | 18,6 | + 0,8 |
| | 13 | 20 26 | 2 24 | 8 17 | 0 08,1 | — 1 46 | Psc | 8,771 | 139 W | 18,9 | + 0,8 |
| | 23 | 19 46 | 1 42 | 7 35 | 0 06,1 | — 2 01 | Psc | 8,674 | 149 W | 19,1 | + 0,7 |
| Sept. - Sept. | 2 | 19 05 | 1 01 | 6 52 | 0 03,8 | — 2 18 | Psc | 8,603 | 160 W | 19,2 | + 0,7 |
| | 12 | 18 25 | 0 19 | 6 08 | 0 01,1 | — 2 36 | Psc | 8,560 | 170 W | 19,3 | + 0,6 |
| | 22 | 17 44 | 23 32 | 5 25 | 23 58,3 | — 2 55 | Psc | 8,547 | 177 W | 19,4 | + 0,6 |
| Oct. - Okt. | 2 | 17 04 | 22 50 | 4 41 | 23 55,5 | — 3 14 | Aqr | 8,564 | 168 E | 19,3 | + 0,7 |
| | 12 | 16 23 | 22 08 | 3 58 | 23 52,8 | — 3 30 | Aqr | 8,611 | 158 E | 19,2 | + 0,7 |
| | 22 | 15 42 | 21 27 | 3 15 | 23 50,4 | — 3 45 | Aqr | 8,687 | 147 E | 19,0 | + 0,8 |
| Nov. - Nov. | 1 | 15 02 | 20 45 | 2 33 | 23 48,5 | — 3 56 | Aqr | 8,788 | 137 E | 18,8 | + 0,9 |
| | 11 | 14 22 | 20 05 | 1 51 | 23 47,1 | — 4 03 | Aqr | 8,912 | 127 E | 18,6 | + 0,9 |
| | 21 | 13 42 | 19 25 | 1 11 | 23 46,2 | — 4 07 | Aqr | 9,053 | 116 E | 18,3 | + 1,0 |
| Déc. - Dec. | 1 | 13 03 | 18 45 | 0 32 | 23 46,0 | — 4 06 | Aqr | 9,207 | 106 E | 18,0 | + 1,1 |
| | 11 | 12 23 | 18 06 | 23 49 | 23 46,5 | — 4 00 | Aqr | 9,370 | 96 E | 17,7 | + 1,1 |
| | 21 | 11 44 | 17 28 | 23 12 | 23 47,6 | — 3 51 | Aqr | 9,535 | 86 E | 17,4 | + 1,1 |
| | 31 | 11 06 | 16 51 | 22 36 | 23 49,3 | — 3 37 | Aqr | 9,699 | 77 E | 17,1 | + 1,2 |
| Janv. - Jan. | 10 | 10 27 | 16 14 | 22 00 | 23 51,6 | — 3 20 | Aqr | 9,856 | 67 E | 16,8 | + 1,2 |

Uranus

| | | | | | | | | | | | |
|---------------|----|-------|-------|-------|--------|---------|-----|--------|-------|-----|-------|
| Déc. - Dec. | 16 | 13 46 | 21 26 | 5 10 | 3 27,2 | + 18 33 | Tau | 18,701 | 150 E | 3,7 | + 5,6 |
| Janv. - Jan. | 5 | 12 25 | 20 05 | 3 48 | 3 24,9 | + 18 25 | Ari | 18,923 | 129 E | 3,7 | + 5,7 |
| | 25 | 11 06 | 18 45 | 2 28 | 3 23,8 | + 18 21 | Ari | 19,222 | 108 E | 3,6 | + 5,7 |
| Févr. - Febr. | 14 | 9 48 | 17 27 | 1 10 | 3 24,1 | + 18 23 | Ari | 19,559 | 88 E | 3,6 | + 5,7 |
| Mars - Maart | 6 | 8 30 | 16 10 | 23 50 | 3 25,8 | + 18 30 | Tau | 19,891 | 68 E | 3,5 | + 5,8 |
| | 26 | 7 13 | 14 54 | 22 35 | 3 28,7 | + 18 41 | Tau | 20,180 | 49 E | 3,5 | + 5,8 |
| Avril - April | 15 | 5 57 | 13 39 | 21 22 | 3 32,6 | + 18 55 | Tau | 20,396 | 30 E | 3,4 | + 5,8 |
| Mai - Mei | 5 | 4 41 | 12 25 | 20 09 | 3 37,2 | + 19 10 | Tau | 20,518 | 12 E | 3,4 | + 5,8 |
| | 25 | 3 26 | 11 11 | 18 57 | 3 42,0 | + 19 26 | Tau | 20,535 | 6 W | 3,4 | + 5,8 |
| Juin - Juni | 14 | 2 10 | 9 57 | 17 45 | 3 46,6 | + 19 42 | Tau | 20,446 | 24 W | 3,4 | + 5,8 |
| Juill. - Juli | 4 | 0 54 | 8 43 | 16 32 | 3 50,8 | + 19 55 | Tau | 20,260 | 42 W | 3,5 | + 5,8 |
| | 24 | 23 34 | 7 28 | 15 17 | 3 54,2 | + 20 05 | Tau | 19,995 | 61 W | 3,5 | + 5,8 |
| Août - Aug. | 13 | 22 17 | 6 11 | 14 02 | 3 56,5 | + 20 12 | Tau | 19,677 | 79 W | 3,6 | + 5,7 |
| Sept. - Sept. | 2 | 20 59 | 4 54 | 12 44 | 3 57,5 | + 20 15 | Tau | 19,339 | 98 W | 3,6 | + 5,7 |
| | 22 | 19 40 | 3 35 | 11 25 | 3 57,1 | + 20 14 | Tau | 19,018 | 118 W | 3,7 | + 5,7 |
| Oct. - Okt. | 12 | 18 20 | 2 14 | 10 04 | 3 55,4 | + 20 08 | Tau | 18,751 | 138 W | 3,7 | + 5,6 |
| Nov. - Nov. | 1 | 17 00 | 0 53 | 8 42 | 3 52,6 | + 20 00 | Tau | 18,574 | 159 W | 3,8 | + 5,6 |
| | 21 | 15 39 | 23 27 | 7 19 | 3 49,2 | + 19 50 | Tau | 18,509 | 179 W | 3,8 | + 5,6 |
| Déc. - Dec. | 11 | 14 18 | 22 05 | 5 56 | 3 45,9 | + 19 40 | Tau | 18,569 | 159 E | 3,8 | + 5,6 |
| | 31 | 12 57 | 20 43 | 4 33 | 3 43,1 | + 19 31 | Tau | 18,744 | 138 E | 3,7 | + 5,6 |
| Janv. - Jan. | 20 | 11 38 | 19 23 | 3 13 | 3 41,3 | + 19 26 | Tau | 19,011 | 118 E | 3,7 | + 5,7 |

Neptune - Neptunus

| | | | | | | | | | | | |
|--------------|----|-------|-------|-------|---------|--------|-----|--------|------|-----|-------|
| Déc. - Dec. | 16 | 11 59 | 17 51 | 23 42 | 23 51,6 | - 2 19 | Psc | 29,833 | 93 E | 2,2 | + 7,9 |
| Janv. - Jan. | 5 | 10 41 | 16 33 | 22 25 | 23 52,3 | - 2 14 | Psc | 30,176 | 72 E | 2,2 | + 7,9 |

| Date — Datum (2024) 2025 (2026) | Lever — Opkomst | Passage au méridian — Doorgang door de meridiaan | Coucher — Ondergang | A 0 ^h , TEMPS UNIVERSEL — Te 0 ^h WERELDTIJD | | | | | | | |
|--|-----------------------|--|---------------------------|---|--------------------------------|--|--|--------|---|-------|-------|
| | | | | Ascension droite — Rechte klimming | Déclinaison — Declinatie | Constel- lation — Sterren- beeld | Distance à la Terre — Afstand tot de aarde | Elong. | Diam. app. — Schijnb. diam. | Magn. | |
| | | | | | | | | | UA-AE | o | |
| Févr. - Febr. | 14 | 8 06 | 13 59 | 19 53 | 23 56,0 | — 1 49 | Psc | 30,718 | 33 E | 2,2 | + 7,9 |
| Mars - Maart | 6 | 6 48 | 12 43 | 18 38 | 23 58,6 | — 1 32 | Psc | 30,856 | 13 E | 2,2 | + 8,0 |
| | 26 | 5 31 | 11 27 | 17 24 | 0 01,4 | — 1 14 | Psc | 30,884 | 6 W | 2,2 | + 8,0 |
| Avril - April | 15 | 4 13 | 10 11 | 16 09 | 0 04,1 | — 0 56 | Psc | 30,800 | 25 W | 2,2 | + 8,0 |
| Mai - Mei | 5 | 2 56 | 8 55 | 14 54 | 0 06,5 | — 0 41 | Psc | 30,614 | 44 W | 2,2 | + 7,9 |
| | 25 | 1 38 | 7 38 | 13 39 | 0 08,4 | — 0 30 | Psc | 30,347 | 62 W | 2,2 | + 7,9 |
| Juin - Juni | 14 | 0 20 | 6 21 | 12 22 | 0 09,6 | — 0 23 | Psc | 30,029 | 81 W | 2,2 | + 7,9 |
| Juill. - Juli | 4 | 22 58 | 5 03 | 11 04 | 0 10,1 | — 0 21 | Psc | 29,694 | 100 W | 2,3 | + 7,9 |
| | 24 | 21 39 | 3 44 | 9 44 | 0 09,8 | — 0 24 | Psc | 29,379 | 119 W | 2,3 | + 7,8 |
| Août - Aug. | 13 | 20 20 | 2 24 | 8 24 | 0 08,7 | — 0 32 | Psc | 29,120 | 139 W | 2,3 | + 7,8 |
| Sept. - Sept. | 2 | 19 01 | 1 04 | 7 03 | 0 07,1 | — 0 43 | Psc | 28,947 | 158 W | 2,3 | + 7,8 |
| | 22 | 17 41 | 23 39 | 5 41 | 0 05,1 | — 0 57 | Psc | 28,884 | 178 W | 2,3 | + 7,8 |
| Oct. - Okt. | 12 | 16 22 | 22 19 | 4 20 | 0 03,1 | — 1 09 | Psc | 28,940 | 161 E | 2,3 | + 7,8 |
| Nov. - Nov. | 1 | 15 02 | 20 58 | 2 58 | 0 01,4 | — 1 20 | Psc | 29,109 | 141 E | 2,3 | + 7,8 |
| | 21 | 13 43 | 19 39 | 1 38 | 0 00,3 | — 1 27 | Psc | 29,372 | 121 E | 2,3 | + 7,8 |
| Déc. - Dec. | 11 | 12 24 | 18 20 | 0 19 | 23 59,8 | — 1 29 | Psc | 29,696 | 100 E | 2,3 | + 7,9 |
| | 31 | 11 06 | 17 01 | 22 57 | 0 00,3 | — 1 25 | Psc | 30,041 | 80 E | 2,2 | + 7,9 |
| Janv. - Jan. | 20 | 9 48 | 15 44 | 21 40 | 0 01,5 | — 1 17 | Psc | 30,365 | 60 E | 2,2 | + 7,9 |

Masses de quelques astéroïdes et planètes naines en masses solaires
Massa's van enkele asteroïden en dwergplaneten in zonmassa's

| | | | |
|---------------------------|-------|-------------------|---------------------|
| (1) Ceres | 4,719 | 154 | $\times 10^{-10}$ |
| (2) Pallas | 1,03 | $\times 10^{-10}$ | |
| (4) Vesta | 1,302 | 684 | 6×10^{-10} |
| (134340) Pluto | 65,50 | $\times 10^{-10}$ | |
| (136199) Eris | 84,0 | $\times 10^{-10}$ | |

Sources / Bronnen

- http://maia.usno.navy.mil/NSFA/NSFA_cbe.html
- Park, R.S. et al., High-resolution shape model of Ceres from stereophotoinmetry using Dawn Imaging Data. *Icarus* 319: 812–827.
- Brozović, M. and Jacobson, R.A., Post-new-horizons Orbits and Masses for the Satellites of Pluto, *Astronomical Journal* 167: 236.

ASTÉROÏDES ET PLANÈTES NAINES

En 2006, l'Union astronomique internationale a établi les critères auxquels doivent satisfaire un objet pour qu'il puisse être nommé «planète». Actuellement dans le système solaire il n'y a que huit objets connus qui répondent à ces critères. Ils sont décrits dans le chapitre «Planètes». Les objets qui orbitent autour du soleil, mais qui ne satisfont pas à ces critères et qui ne montrent pas d'activité cométaire, sont nommés *astéroïdes, planétoides ou petites planètes*. Les plus grand d'entre eux, qui présentent une forme relativement sphérique, sont appelés *planètes naines*.

La plupart des astéroïdes connus se situent dans ce que l'on appelle la ceinture principale, située entre Mars et Jupiter, mais, ces dernières années, ont été découverts de plus en plus d'objets que l'on appelle *transneptuniens*, qui orbitent au-delà de l'orbite de Neptune. Du fait de leur grande distance au Soleil et à la Terre, ils sont beaucoup moins brillants que ceux situés dans la ceinture principale, ce qui explique les découvertes récentes de transneptuniens relativement grands. Tous ces objets reçoivent un numéro ordinal attribué dès que leur orbite est connue de manière précise. A la date du 1^{er} mars 2024, il y avait 660 000 astéroïdes numérotés. Lorsque Pluton a reçu le statut de planète naine, on lui a attribué le numéro 134 340.

Des éphémérides pour les plus intéressants de ces objets sont données dans le tableau suivant. Celui-ci se limite pour ce qui concerne les astéroïdes de la ceinture principale à ceux pour lesquels la visibilité à Uccle égale au moins celle d'un objet de magnitude 11,3 au zénith, lorsque le Soleil se situe à plus de 18° en-dessous de l'horizon. Une correction prenant en compte la hauteur de l'objet au-dessus de l'horizon et la proximité du Soleil (mais pas celle de la Lune) a été appliquée. Une magnitude limite de 19,9 a été appliquée de la même manière pour les objets transneptuniens.

La première colonne fournit la date de l'éphéméride. Les éphémérides sont données de 10 en 10 jours pendant la période de visibilité de l'astéroïde. Une ligne de tabulation a été ajoutée en début et en fin de période afin de faciliter l'interpolation. La première ligne peut ainsi référer à décembre de l'année précédente et la dernière à janvier de l'année suivante. Dans ces cas, le nom du mois est imprimé en italiques. Les deuxième et troisième colonnes donnent l'ascension droite et la déclinaison astrométrique de l'astéroïde à 0^h Temps universel, c'est-à-dire pour l'équinoxe 2000 et sans tenir compte de l'aberration. La magnitude visuelle apparente figure

ASTEROÏDEN EN DWERGPLANETEN

In 2006 heeft de Internationale Astronomische Unie criteria opgesteld waaraan een object moet voldoen om “planeet” genoemd te worden. Momenteel zijn er in het zonnestelsel slechts acht objecten gekend die aan die criteria voldoen. Ze worden beschreven in het hoofdstuk “Planeten”. De objecten die rond de zon draaien, maar die niet aan die criteria voldoen en geen komeetactiviteit vertonen, worden *asteroiden*, *planetoïden* of *kleine planeten* genoemd. De grootste onder hen, die ongeveer een bolvorm vertonen, worden *dwarfplaneten* genoemd.

Van de bekende asteroiden bevinden de meeste zich in de zogenaamde hoofdgordel, gelegen tussen Mars en Jupiter, maar de jongste jaren worden er steeds meer zogenaamde *transneptunianen* gevonden, ook wel *ijsdwergen* genoemd, objecten in een baan voorbij de baan van Neptunus. Vanwege hun grote afstand tot de zon en de aarde zijn ze veel zwakker dan die in de hoofdgordel. Daardoor komt het dat er recent nog redelijk grote ijsdwergen ontdekt zijn. Al deze objecten krijgen een volgnummer toegewezen van zodra hun baan nauwkeurig bekend is. Op datum van 1 maart 2024 waren er 660 000 genummerde asteroiden. Toen Pluto de status van dwergplaneet kreeg, werd hem het nummer 134 340 toegewezen.

In de tabel in dit hoofdstuk worden efemeriden gegeven voor de meest interessante van deze objecten. Voor de asteroiden uit de hoofdgordel beperkt de tabel zich tot die objecten waarvan de zichtbaarheid te Ukkel minstens even goed is als die van een object van magnitude 11,3 in het zenith en met de zon meer dan 18° onder de horizon. Er wordt daarbij gecorrigeerd voor de hoogte van het object boven de horizon en de nabijheid van de zon, echter niet voor de storende invloed van de maan. Voor transneptunianen wordt op analoge wijze de limietmagnitude op 19,9 gesteld.

De eerste kolom geeft de datum van de efemeride. De efemeriden worden gegeven om de tien dagen gedurende de zichtbaarheid van de asteroïde. Om het interpoleren te vergemakkelijken wordt voor en na nog een tabulatielijn toegevoegd. Daardoor kan de eerste lijn eventueel op december van het voorafgaande jaar betrekking hebben en de laatste lijn op januari van het daaropvolgende jaar. In dat geval staat de naam van de maand cursief gedrukt. De tweede en de derde kolom geven de zogenaamde *astrometrische* rechte klimming en declinatie van de asteroïde voor 0^h Wereldtijd, d. i. betrokken op het equinoctium 2000 en zonder rekening te houden met

dans la dernière colonne.

On peut calculer les heures approchées du lever, du passage au méridien et du coucher d'un astéroïde à l'aide de différentes tables publiées dans l'*Annuaire*. On détermine l'heure du passage au méridien en premier lieu. A cet effet, on utilise la valeur de l'ascension droite de l'astéroïde figurant dans le tableau correspondant à la date recherchée (éventuellement interpolée). On en retranche la valeur du temps sidéral à Greenwich à 0^h UT trouvée dans les tableaux mensuels du Soleil, ainsi que la longitude Est du lieu d'observation (exprimée en heures et minutes). Si le résultat est négatif, on y ajoute 24 heures. Ce résultat exprimé en temps sidéral est finalement converti en temps moyen à l'aide de la table 6 (voir page 224). La valeur de l'heure de passage au méridien ainsi obtenue peut présenter une erreur de l'ordre de la minute. Pour des calculs plus précis, il y a lieu de tenir compte de la précession, de même que des variations en ascension droite et en déclinaison au cours du jour considéré.

Les heures respectives du lever et du coucher de l'astéroïde peuvent être déduites de l'heure du passage au méridien par soustraction et par addition de la valeur de l'intervalle semi-diurne. Cette dernière quantité peut être trouvée dans la table 4 (voir page 221), après une double interpolation portant sur la latitude du lieu d'observation et sur la déclinaison de l'astéroïde considéré. Cette quantité en temps sidéral est convertie en temps moyen à l'aide de la table 6 (voir page 224). L'obtention d'une valeur négative correspond au jour précédent, celle d'une valeur supérieure à 24^h se rapporte au jour suivant. Les heures ainsi obtenues peuvent présenter une erreur de l'ordre de quelques minutes.

Exemple: Calculer l'heure du lever, du passage au méridien et du coucher de (12) Victoria à Willemeau le 21 novembre 2025.

| | | | | | | | | | |
|---|-----|-----|-----|-----|-----|-----|-----|---------|---------------------------------|
| Ascension droite de (12) Victoria | ... | ... | ... | ... | ... | ... | ... | ... | 2 ^h 24 ^m |
| Temps sidéral de Greenwich à 0 ^h UT | ... | ... | ... | ... | ... | ... | ... | ... | 4 ^h 01 ^m |
| Longitude Est de Willemeau | ... | ... | ... | ... | ... | ... | ... | ... | 0 ^h 13 ^m |
| Intervalle de temps sidéral de 0 ^h UT jusqu'au passage au méridien | ... | ... | ... | ... | ... | ... | ... | ... | 22 ^h 10 ^m |
| Passage au méridien de (12) Victoria à Willemeau (UT) | ... | ... | ... | ... | ... | ... | ... | ... | 22 ^h 06 ^m |
| Déclinaison de (12) Victoria | ... | ... | ... | ... | ... | ... | + | 16° 27' | |
| Latitude de Willemeau | ... | ... | ... | ... | ... | ... | + | 50° 34' | |
| Intervalle semi-diurne correspondant (ST) | ... | ... | ... | ... | ... | ... | ... | ... | 7 ^h 24 ^m |
| Intervalle semi-diurne correspondant (UT) | ... | ... | ... | ... | ... | ... | ... | ... | 7 ^h 23 ^m |
| Lever de (12) Victoria à Willemeau (UT) | ... | ... | ... | ... | ... | ... | ... | ... | 14 ^h 43 ^m |
| Coucher de (12) Victoria à Willemeau (UT) | ... | ... | ... | ... | ... | ... | ... | ... | 5 ^h 29 ^m |

aberratie. De laatste kolom geeft de schijnbare visuele magnitude.

Men kan benaderde tijdstippen voor opkomst, meridiaandoorgang en ondergang van een asteroïde berekenen aan de hand van de verschillende tafels die in het *Jaarboek* voorkomen. Vooreerst moet men het tijdstip van meridiaandoorgang berekenen. Hiervoor neemt men de rechte klimming van de asteroïde uit de tabel voor de gevraagde datum (eventueel geïnterpoléerd), en trekt daar de sterrentijd te Greenwich om 0^h Wereldtijd (zoals gegeven in de maandelijkse tabellen voor de zon), en de oosterlengte van de waarnemingsplaats (in uren en minuten) af. Indien de uitkomst negatief is, telt men er 24 uur bij. Het verkregen resultaat in sterrentijd zet men tenslotte om in middelbare tijd aan de hand van tafel 6 (zie blz. 224). De aldus verkregen waarde voor de meridiaandoorgang zal een fout vertonen van de orde van een minuut. Voor nauwkeuriger berekeningen moet rekening gehouden worden met precessie, en met de verandering van de rechte klimming en declinatie in de loop van de dag.

De tijdstippen van opkomst en ondergang kunnen dan verkregen worden door bij het tijdstip van meridiaandoorgang de halve dagboog af te trekken of bij te tellen. De halve dagboog in sterrentijd kan gevonden worden in tafel 4 (zie blz. 221), na interpolatie voor de breedte van de waarnemingsplaats en voor de declinatie van de beschouwde asteroïde. Deze kan dan aan de hand van tafel 6 (zie blz. 224) in middelbare tijd omgezet worden. Een negatieve waarde heeft betrekking op de vorige dag, een waarde groter dan 24^h op de volgende dag. De aldus verkregen tijdstippen zullen een fout vertonen van enkele minuten.

Voorbeeld: Bereken opkomst, doorgang door de meridiaan en ondergang van (4) Vesta te As op 6 maart 2025.

| | | | | | | | | | | |
|---|-----|-----|-----|-----|-----|-----|-----|-----|-----|---------------------------------|
| Rechte klimming van (4) Vesta | ... | ... | ... | ... | ... | ... | ... | ... | ... | 15 ^h 10 ^m |
| Sterrentijd van Greenwich om 0 ^h UT | ... | ... | ... | ... | ... | ... | ... | ... | ... | 10 ^h 56 ^m |
| Oosterlengte van As | ... | ... | ... | ... | ... | ... | ... | ... | ... | 0 ^h 22 ^m |
| Interval in sterrentijd van 0 ^h UT tot meridiaandoorgang | ... | ... | ... | ... | ... | ... | ... | ... | ... | 3 ^h 52 ^m |
| Meridiaandoorgang van (4) Vesta te As (UT) | ... | ... | ... | ... | ... | ... | ... | ... | ... | 3 ^h 51 ^m |
| Declinatie van (4) Vesta | ... | ... | ... | ... | ... | ... | ... | ... | - | 7° 25' |
| Breedte van As | ... | ... | ... | ... | ... | ... | ... | ... | + | 51° 00' |
| Corresponderende halve dagboog (ST) | ... | ... | ... | ... | ... | ... | ... | ... | ... | 5 ^h 23 ^m |
| Corresponderende halve dagboog (UT) | ... | ... | ... | ... | ... | ... | ... | ... | ... | 5 ^h 22 ^m |
| Opkomst van (4) Vesta te As (UT) | ... | ... | ... | ... | ... | ... | ... | ... | ... | 22 ^h 29 ^m |
| Ondergang van (4) Vesta te As (UT) | ... | ... | ... | ... | ... | ... | ... | ... | ... | 9 ^h 13 ^m |

| Date — Datum (2024) 2025 (2026) | A 0 ^h , TEMPS UNIVERSEL Te 0 ^h WERELDTIJD | | | Date — Datum (2024) 2025 (2026) | A 0 ^h , TEMPS UNIVERSEL Te 0 ^h WERELDTIJD | | | | | | | |
|--|--|--|---------|--|--|--|--------|------|--|--|--|--|
| | Ascension droite — Rechte klimming (2000) | Déclinaison — Declinatie (2000) | Magn. | | Ascension droite — Rechte klimming (2000) | Déclinaison — Declinatie (2000) | Magn. | | | | | |
| | h m | ° / | | | h m | ° / | | | | | | |
| (1) Ceres | | | | | | | | | | | | |
| Juill. 14 | 1 10,3 | — 5 18 | 8,8 | Sept. 12 | 20 13,5 | + 8 03 | 9,6 | | | | | |
| Juli 24 | 1 15,9 | — 5 21 | 8,7 | Sept. 22 | 20 11,7 | + 6 01 | 9,8 | | | | | |
| Août 3 | 1 19,6 | — 5 37 | 8,5 | Okt. 12 | 20 14,3 | + 2 18 | 10,0 | | | | | |
| Aug. 13 | 1 21,4 | — 6 05 | 8,4 | Nov. 1 | 20 24,3 | — 0 36 | 10,2 | | | | | |
| | 23 | 1 20,9 | — 6 45 | Nov. 11 | 20 31,5 | — 1 43 | 10,3 | | | | | |
| Sept. 2 | 1 18,2 | — 7 34 | 8,0 | | 21 | 20 40,1 | — 2 35 | 10,3 | | | | |
| Sept. 12 | 1 13,2 | — 8 28 | 7,8 | (3) Juno | | | | | | | | |
| | 22 | 1 06,4 | — 9 23 | 7,7 | Mars 26 | 16 08,5 | — 7 06 | 10,8 | | | | |
| Oct. 2 | 0 58,4 | — 10 12 | 7,6 | Avril 5 | 16 06,7 | — 6 11 | 10,6 | | | | | |
| Okt. 12 | 0 49,9 | — 10 48 | 7,6 | April 15 | 16 02,9 | — 5 12 | 10,4 | | | | | |
| | 22 | 0 41,8 | — 11 07 | 7,8 | 25 | 15 57,1 | — 4 14 | 10,3 | | | | |
| Nov. 1 | 0 35,0 | — 11 08 | 8,0 | Mai 5 | 15 50,0 | — 3 19 | 10,1 | | | | | |
| Nov. 11 | 0 30,0 | — 10 49 | 8,1 | Mei 15 | 15 41,9 | — 2 32 | 10,1 | | | | | |
| | 21 | 0 27,3 | — 10 13 | 8,3 | 25 | 15 33,7 | — 1 56 | 10,2 | | | | |
| Déc. 1 | 0 26,8 | — 9 21 | 8,5 | Juin 4 | 15 26,1 | — 1 33 | 10,3 | | | | | |
| Dec. 11 | 0 28,6 | — 8 16 | 8,6 | Juni 14 | 15 19,6 | — 1 26 | 10,5 | | | | | |
| | 21 | 0 32,4 | — 7 02 | 8,7 | | | | | | | | |
| | 31 | 0 38,0 | — 5 39 | 8,8 | | | | | | | | |
| (4) Vesta | | | | | | | | | | | | |
| (2) Pallas | | | | | | | | | | | | |
| Mai 5 | 20 59,2 | + 13 03 | 10,3 | Déc. 26 | 13 47,5 | — 4 08 | 8,1 | | | | | |
| Mei 15 | 21 03,5 | + 14 09 | 10,2 | Janv. 5 | 14 03,0 | — 5 10 | 8,0 | | | | | |
| | 25 | 21 06,1 | + 15 10 | 10,2 | Jan. 15 | 14 17,7 | — 6 02 | 7,9 | | | | |
| Juin 4 | 21 07,0 | + 16 03 | 10,0 | 25 | 14 31,4 | — 6 43 | 7,8 | | | | | |
| Juni 14 | 21 06,1 | + 16 44 | 9,9 | Févr. 4 | 14 43,8 | — 7 13 | 7,6 | | | | | |
| | 24 | 21 03,3 | + 17 10 | 9,8 | 14 | 14 54,7 | — 7 30 | 7,5 | | | | |
| Juill. 4 | 20 58,6 | + 17 18 | 9,7 | 24 | 15 03,6 | — 7 34 | 7,3 | | | | | |
| Juli 14 | 20 52,4 | + 17 02 | 9,6 | Mars 6 | 15 10,1 | — 7 25 | 7,1 | | | | | |
| | 24 | 20 45,1 | + 16 23 | 9,5 | Maart 16 | 15 13,9 | — 7 05 | 6,8 | | | | |
| Août 3 | 20 37,3 | + 15 18 | 9,4 | 26 | 15 14,6 | — 6 34 | 6,6 | | | | | |
| Aug. 13 | 20 29,6 | + 13 50 | 9,4 | Avril 5 | 15 12,0 | — 5 56 | 6,3 | | | | | |
| | 23 | 20 22,7 | + 12 05 | 9,4 | April 15 | 15 06,4 | — 5 14 | 6,1 | | | | |
| Sept. 2 | 20 17,2 | + 10 06 | 9,5 | 25 | 14 58,4 | — 4 36 | 5,8 | | | | | |
| | | | | Mai 5 | 14 48,9 | — 4 06 | 5,7 | | | | | |

| Date — Datum (2024) 2025 (2026) | A 0 ^h , TEMPS UNIVERSEL Te 0 ^h WERELDTIJD | | | Date — Datum (2024) 2025 (2026) | A 0 ^h , TEMPS UNIVERSEL Te 0 ^h WERELDTIJD | | | | | | | |
|--|--|--|---------|--|--|--|---------|------|--|--|--|--|
| | Ascension droite — Rechte klimming (2000) | Déclinaison — Declinatie (2000) | Magn. | | Ascension droite — Rechte klimming (2000) | Déclinaison — Declinatie (2000) | Magn. | | | | | |
| | h m | ° / | | | h m | ° / | | | | | | |
| (8) Flora | | | | | | | | | | | | |
| Mei 15 | 14 39,5 | — 3 52 | 5,9 | Déc. 1 | 10 43,4 | + 2 43 | 10,2 | | | | | |
| Mai 25 | 14 31,3 | — 3 57 | 6,1 | 11 | 10 51,7 | + 1 21 | 10,1 | | | | | |
| Jun. 4 | 14 25,3 | — 4 22 | 6,4 | 21 | 10 57,6 | + 0 10 | 10,0 | | | | | |
| Juni 14 | 14 22,4 | — 5 06 | 6,6 | 31 | 11 01,0 | — 0 47 | 9,8 | | | | | |
| | 24 | 14 22,4 | — 6 06 | 6,8 | | | | | | | | |
| Juill. 4 | 14 25,5 | — 7 18 | 7,0 | (6) Hebe | | | | | | | | |
| Juli 14 | 14 31,2 | — 8 40 | 7,2 | Févr. 4 | 12 11,4 | + 6 25 | 10,4 | | | | | |
| | 24 | 14 39,4 | — 10 09 | 7,3 | Febr. 14 | 12 07,6 | + 7 31 | 10,2 | | | | |
| Juin 24 | 22 32,7 | — 6 32 | 9,3 | Juli 14 | 22 43,6 | — 8 00 | 8,8 | | | | | |
| | 22 | 22 39,3 | — 7 02 | 9,1 | 24 | 12 01,0 | + 8 49 | 9,9 | | | | |
| Juill. 4 | 22 39,3 | — 7 02 | 9,1 | Mars 6 | 11 52,2 | + 10 13 | 9,7 | | | | | |
| | 22 | 24 45,3 | — 9 27 | 8,5 | Maart 16 | 11 42,3 | + 11 31 | 9,7 | | | | |
| Août 3 | 22 44,1 | — 11 25 | 8,2 | Aug. 13 | 22 40,4 | — 13 47 | 7,9 | | | | | |
| | 23 | 22 34,4 | — 16 23 | 7,6 | 23 | 22 34,4 | — 16 23 | 7,6 | | | | |
| | 23 | 22 20,7 | — 21 15 | 7,9 | Sept. 2 | 22 27,4 | — 18 58 | 7,7 | | | | |
| | 21 | 22 15,7 | — 23 02 | 8,1 | Sept. 12 | 22 20,7 | — 21 15 | 7,9 | | | | |
| | 22 | 22 13,3 | — 24 13 | 8,4 | Oct. 2 | 22 13,3 | — 24 13 | 8,4 | | | | |
| | 22 | 22 14,3 | — 24 48 | 8,6 | Okt. 12 | 22 14,3 | — 24 48 | 8,6 | | | | |
| | 22 | 22 18,5 | — 24 49 | 8,8 | | | | | | | | |
| | 22 | 22 25,9 | — 24 22 | 9,0 | Avril 5 | 15 35,9 | — 15 22 | 10,5 | | | | |
| | 22 | 22 36,0 | — 23 30 | 9,2 | April 15 | 15 30,0 | — 15 08 | 10,2 | | | | |
| | 21 | 22 48,4 | — 22 18 | 9,3 | 25 | 15 21,8 | — 14 50 | 10,0 | | | | |
| | 21 | 23 02,6 | — 20 48 | 9,5 | Mai 5 | 15 12,1 | — 14 28 | 9,8 | | | | |
| | 21 | 23 18,2 | — 19 04 | 9,6 | Mei 15 | 15 01,9 | — 14 06 | 9,8 | | | | |
| | 21 | 23 34,9 | — 17 07 | 9,7 | 25 | 14 52,4 | — 13 48 | 10,1 | | | | |
| (10) Hygiea | | | | | | | | | | | | |
| (7) Iris | | | | | | | | | | | | |
| Oct. 22 | 9 53,0 | + 9 16 | 10,4 | Nov. 1 | 6 31,3 | + 24 52 | 11,4 | | | | | |
| Nov. 1 | 10 07,8 | + 7 32 | 10,4 | Nov. 11 | 6 29,6 | + 24 51 | 11,2 | | | | | |
| | 21 | 6 25,7 | + 24 49 | 11,0 | | | | | | | | |
| Nov. 11 | 10 21,3 | + 5 51 | 10,3 | Déc. 1 | 6 19,6 | + 24 48 | 10,8 | | | | | |
| | 21 | 10 33,3 | + 4 14 | 10,3 | Dec. 11 | 6 11,9 | + 24 44 | 10,6 | | | | |

| Date — Datum | | A 0 ^h , TEMPS UNIVERSEL | | | | | A 0 ^h , TEMPS UNIVERSEL | | |
|--------------------|----|------------------------------------|-------------|-------|--------------------|---------------------|------------------------------------|---------|------|
| | | — Te 0 ^h WERELDTIJD | | | | | — Te 0 ^h WERELDTIJD | | |
| | | Ascension droite | Déclinaison | Magn. | Date — Datum | Ascension droite | Déclinaison | Magn. | |
| (2024) | 21 | 6 03,2 | + 24 39 | 10,3 | (2024) | 6 28,2 | + 29 19 | 10,3 | |
| | 31 | 5 54,3 | + 24 30 | 10,5 | | 6 24,5 | + 29 37 | 10,5 | |
| | | h m | ° ′ | | | 6 24,4 | + 29 47 | 10,6 | |
| Déc. | 21 | 6 03,2 | + 24 39 | 10,3 | Févr. | 4 | 6 27,8 | + 29 51 | 10,8 |
| Dec. | 31 | 5 54,3 | + 24 30 | 10,5 | Febr. | 14 | 6 34,5 | + 29 50 | 11,0 |
| | | | | | 24 | 6 43,9 | + 29 43 | 11,1 | |
| (11) Parthenope | | | | | | | | | |
| Déc. | 26 | 2 56,4 | + 10 36 | 10,8 | Mars | 6 | 6 55,7 | + 29 30 | 11,2 |
| Janv. | 5 | 2 56,4 | + 11 06 | 11,0 | Maart | 16 | | | |
| Jan. | 15 | 2 59,2 | + 11 47 | 11,2 | Avril | 5 | | | |
| (12) Victoria | | | | | | | | | |
| Sept. | 2 | 3 05,1 | + 23 36 | 11,1 | (15) Eunomia | | | | |
| Sept. | 12 | 3 09,4 | + 23 42 | 11,0 | Déc. | 26 | 5 11,2 | + 32 17 | 8,4 |
| | 22 | 3 10,3 | + 23 29 | 10,8 | Janv. | 5 | 5 03,0 | + 30 53 | 8,7 |
| Oct. | 2 | 3 07,6 | + 22 58 | 10,6 | Jan. | 15 | 4 58,1 | + 29 30 | 8,9 |
| Okt. | 12 | 3 01,7 | + 22 06 | 10,4 | Févr. | 4 | 4 56,8 | + 28 15 | 9,2 |
| | 22 | 2 53,0 | + 20 54 | 10,2 | Febr. | 14 | 4 58,9 | + 27 11 | 9,5 |
| Nov. | 1 | 2 42,9 | + 19 28 | 9,9 | | 24 | 5 04,1 | + 26 17 | 9,7 |
| Nov. | 11 | 2 32,9 | + 17 56 | 10,0 | Mars | 6 | 5 11,8 | + 25 33 | 9,9 |
| | 21 | 2 24,2 | + 16 27 | 10,4 | Maart | 16 | 5 21,7 | + 24 57 | 10,1 |
| Déc. | 1 | 2 18,0 | + 15 10 | 10,7 | Avril | 5 | 5 33,4 | + 24 24 | 10,2 |
| Dec. | 11 | 2 14,6 | + 14 12 | 11,0 | | 26 | 5 46,5 | + 23 54 | 10,4 |
| | 21 | 2 14,3 | + 13 34 | 11,3 | April | 15 | 6 00,6 | + 23 24 | 10,5 |
| (13) Egeria | | | | | | | | | |
| Déc. | 26 | 4 01,3 | + 35 54 | 10,5 | (16) Psyche | | | | |
| Janv. | 5 | 3 54,2 | + 35 53 | 10,7 | Sept. | 22 | 5 16,4 | + 19 28 | 11,1 |
| Jan. | 15 | 3 51,1 | + 35 49 | 10,9 | Oct. | 2 | 5 23,0 | + 19 22 | 11,0 |
| | 25 | 3 51,9 | + 35 45 | 11,1 | Okt. | 12 | 5 27,1 | + 19 12 | 10,8 |
| Févr. | 4 | 3 56,3 | + 35 45 | 11,3 | | 22 | 5 28,5 | + 19 00 | 10,6 |
| (14) Irene | | | | | | | | | |
| Déc. | 26 | 7 06,5 | + 26 26 | 9,8 | Nov. | 1 | 5 26,9 | + 18 47 | 10,5 |
| Janv. | 5 | 6 55,7 | + 27 23 | 9,6 | Nov. | 11 | 5 22,6 | + 18 33 | 10,3 |
| Jan. | 15 | 6 44,8 | + 28 13 | 9,8 | | 21 | 5 15,8 | + 18 20 | 10,0 |
| | 25 | 6 35,2 | + 28 51 | 10,0 | Déc. | 1 | 5 07,2 | + 18 07 | 9,8 |
| | | | | Dec. | 11 | 4 57,9 | + 17 57 | 9,7 | |
| | | | | | 21 | 4 49,1 | + 17 51 | 10,0 | |
| | | | | | 31 | 4 41,8 | + 17 50 | 10,3 | |

| Date — Datum | A 0 ^b , TEMPS UNIVERSEL | | | | Date — Datum | A 0 ^b , TEMPS UNIVERSEL | | | | |
|--------------------|------------------------------------|---------------------------|---------|-------|------------------------|------------------------------------|---------------------------|---------|------|--|
| | Te 0 ^h WERELDTIJD | | | | | Te 0 ^h WERELDTIJD | | | | |
| | Ascension droite | Déclinaison | Magn. | | | Ascension droite | Déclinaison | Magn. | | |
| | — Rechte klimming (2000) | — Declinatie (2000) | | | | — Rechte klimming (2000) | — Declinatie (2000) | | | |
| | | | h m | ○ / | | | h m | ○ / | | |
| | (18) Melpomene | | | | (29) Amphitrite | | | | | |
| Févr. | 4 | 12 54,5 | + 0 12 | 11,0 | Déc. | 26 | 10 20,9 | + 16 37 | 10,2 | |
| Febr. | 14 | 12 53,5 | + 1 07 | 10,8 | Janv. | 5 | 10 20,1 | + 16 45 | 10,0 | |
| | 24 | 12 50,0 | + 2 17 | 10,7 | Jan. | 15 | 10 16,2 | + 17 06 | 9,8 | |
| Mars | 6 | 12 44,2 | + 3 41 | 10,4 | | 25 | 10 09,6 | + 17 37 | 9,6 | |
| Maart | 16 | 12 36,4 | + 5 11 | 10,2 | Févr. | 4 | 10 00,7 | + 18 11 | 9,4 | |
| | 26 | 12 27,6 | + 6 41 | 10,1 | Febr. | 14 | 9 50,6 | + 18 42 | 9,2 | |
| Avril | 5 | 12 18,7 | + 8 00 | 10,3 | | 24 | 9 40,5 | + 19 05 | 9,4 | |
| April | 15 | 12 10,7 | + 9 04 | 10,5 | Mars | 6 | 9 31,8 | + 19 16 | 9,7 | |
| | 25 | 12 04,3 | + 9 47 | 10,8 | Maart | 16 | 9 25,3 | + 19 13 | 10,0 | |
| Mai | 5 | 12 00,0 | + 10 09 | 11,0 | | 26 | 9 21,6 | + 18 57 | 10,2 | |
| | (20) Massalia | | | | Avril | 5 | 9 20,8 | + 18 29 | 10,4 | |
| Déc. | 21 | 11 58,7 | - 0 33 | 10,9 | April | 15 | 9 22,7 | + 17 51 | 10,6 | |
| Dec. | 31 | 12 09,2 | - 1 42 | 10,7 | | 25 | 9 27,1 | + 17 03 | 10,8 | |
| | (24) Themis | | | | Mai | 5 | 9 33,6 | + 16 08 | 10,9 | |
| Févr. | 14 | 10 47,0 | + 8 48 | 11,2 | (30) Urania | | | | | |
| Febr. | 24 | 10 39,5 | + 9 33 | 10,9 | Juill. | 24 | 20 57,8 | - 17 13 | 10,4 | |
| Mars | 6 | 10 31,7 | + 10 17 | 11,1 | Août | 3 | 20 47,9 | - 17 42 | 10,0 | |
| | (28) Bellona | | | | Aug. | 13 | 20 37,8 | - 18 09 | 10,4 | |
| Déc. | 26 | 9 15,0 | + 10 05 | 11,0 | (39) Laetitia | | | | | |
| Janv. | 5 | 9 12,1 | + 10 44 | 10,7 | Nov. | 21 | 8 55,9 | + 8 40 | 11,1 | |
| Jan. | 15 | 9 06,7 | + 11 43 | 10,5 | Déc. | 1 | 8 58,6 | + 8 20 | 11,0 | |
| | 25 | 8 59,3 | + 12 57 | 10,2 | Dec. | 11 | 8 59,0 | + 8 12 | 10,8 | |
| Févr. | 4 | 8 51,0 | + 14 20 | 10,1 | | 21 | 8 56,9 | + 8 19 | 10,7 | |
| Febr. | 14 | 8 43,1 | + 15 44 | 10,4 | | 31 | 8 52,4 | + 8 41 | 10,5 | |
| | 24 | 8 36,8 | + 17 00 | 10,6 | (40) Harmonia | | | | | |
| Mars | 6 | 8 32,9 | + 18 04 | 10,9 | Oct. | 2 | 6 49,5 | + 21 24 | 11,0 | |
| Maart | 16 | 8 32,0 | + 18 53 | 11,1 | Okt. | 12 | 7 01,5 | + 21 17 | 10,9 | |
| | 26 | 8 34,0 | + 19 26 | 11,3 | | 22 | 7 11,3 | + 21 12 | 10,8 | |
| | | | | | Nov. | 1 | 7 18,5 | + 21 11 | 10,6 | |

| Date — Datum (2024) 2025 (2026) | A 0 ^h , TEMPS UNIVERSEL Te 0 ^h WERELDTIJD | | | Date — Datum (2024) 2025 (2026) | A 0 ^h , TEMPS UNIVERSEL Te 0 ^h WERELDTIJD | | |
|--|--|--|-------|--|--|--|-------|
| | Ascension droite — Rechte klimming (2000) | Déclinaison — Declinatie (2000) | Magn. | | Ascension droite — Rechte klimming (2000) | Déclinaison — Declinatie (2000) | Magn. |
| | h m | ° / | | | h m | ° / | |
| Nov. 11 | 7 22,9 | + 21 17 | 10,4 | Nov. 11 | 3 35,2 | + 7 56 | 10,8 |
| Nov. 21 | 7 23,9 | + 21 31 | 10,2 | Nov. 21 | 3 26,9 | + 7 31 | 10,8 |
| Déc. 1 | 7 21,4 | + 21 55 | 10,0 | Déc. 1 | 3 19,0 | + 7 18 | 10,9 |
| Dec. 11 | 7 15,3 | + 22 28 | 9,7 | Dec. 11 | 3 12,4 | + 7 17 | 11,1 |
| 21 | 7 06,1 | + 23 06 | 9,4 | | | | |
| 31 | 6 54,9 | + 23 45 | 9,1 | | | | |
| (63) Ausonia | | | | | | | |
| (43) Ariadne | | | | | | | |
| Juill. 14 | 21 16,3 | - 22 06 | 9,8 | Juill. 14 | 21 16,3 | - 22 06 | 9,8 |
| Juli 24 | 21 07,5 | - 22 19 | 9,5 | Juli 24 | 21 07,5 | - 22 19 | 9,5 |
| Août 3 | 20 57,2 | - 22 29 | 9,3 | Août 3 | 20 57,2 | - 22 29 | 9,3 |
| Aug. 13 | 20 47,0 | - 22 29 | 9,6 | Aug. 13 | 20 47,0 | - 22 29 | 9,6 |
| 21 | 20 38,3 | - 22 18 | 9,9 | 23 | 20 38,3 | - 22 18 | 9,9 |
| (44) Nysa | | | | | | | |
| (68) Leto | | | | | | | |
| Oct. 12 | 7 45,4 | + 18 23 | 11,1 | Sept. 22 | 4 11,3 | + 20 48 | 11,2 |
| Okt. 22 | 8 00,7 | + 17 42 | 10,9 | Okt. 2 | 4 13,1 | + 21 24 | 11,0 |
| Nov. 1 | 8 14,2 | + 17 02 | 10,8 | Okt. 12 | 4 11,8 | + 21 55 | 10,9 |
| Nov. 11 | 8 25,8 | + 16 26 | 10,6 | 22 | 4 07,3 | + 22 21 | 10,7 |
| 21 | 8 35,0 | + 15 57 | 10,4 | Nov. 1 | 3 59,9 | + 22 39 | 10,5 |
| Déc. 1 | 8 41,5 | + 15 39 | 10,2 | Nov. 11 | 3 50,4 | + 22 49 | 10,2 |
| Dec. 11 | 8 44,8 | + 15 36 | 9,9 | 21 | 3 39,9 | + 22 52 | 10,0 |
| 21 | 8 44,7 | + 15 49 | 9,7 | Déc. 1 | 3 29,8 | + 22 48 | 10,3 |
| 31 | 8 41,0 | + 16 20 | 9,4 | Dec. 11 | 3 21,4 | + 22 43 | 10,6 |
| | | | | 21 | 3 15,4 | + 22 39 | 10,9 |
| | | | | 31 | 3 12,4 | + 22 40 | 11,2 |
| (51) Nemausa | | | | | | | |
| Déc. 26 | 7 52,3 | + 5 18 | 11,0 | (69) Hesperia | | | |
| Janv. 5 | 7 43,7 | + 5 34 | 10,8 | Déc. 26 | 5 10,2 | + 9 22 | 10,8 |
| Jan. 15 | 7 33,8 | + 6 13 | 10,7 | Janv. 5 | 5 03,3 | + 9 30 | 11,0 |
| 25 | 7 24,1 | + 7 09 | 10,7 | Jan. 15 | 4 58,6 | + 9 52 | 11,2 |
| Févr. 4 | 7 15,8 | + 8 18 | 10,9 | | | | |
| Febr. 14 | 7 10,1 | + 9 34 | 11,2 | (79) Eurynome | | | |
| (52) Europa | | | | | | | |
| Oct. 22 | 3 49,2 | + 9 02 | 11,1 | Déc. 26 | 7 55,3 | + 12 35 | 10,6 |
| Nov. 1 | 3 42,9 | + 8 27 | 10,9 | Janv. 5 | 7 46,0 | + 12 46 | 10,3 |
| | | | | Jan. 15 | 7 35,6 | + 13 09 | 10,2 |

| Date — Datum (2024) 2025 (2026) | A 0 ^h , TEMPS UNIVERSEL Te 0 ^h WERELDTIJD | | | Date — Datum (2024) 2025 (2026) | A 0 ^h , TEMPS UNIVERSEL Te 0 ^h WERELDTIJD | | | |
|--|--|--|---------|--|--|--|---------|------|
| | Ascension droite — Rechte klimming (2000) | Déclinaison — Declinatie (2000) | Magn. | | Ascension droite — Rechte klimming (2000) | Déclinaison — Declinatie (2000) | Magn. | |
| | h m | ° / | | | h m | ° / | | |
| Janv. 25 | 7 25,9 | + 13 41 | 10,5 | Oct. 2 | 20 46,9 | - 7 15 | 9,8 | |
| Févr. 4 | 7 18,0 | + 14 17 | 10,8 | Okt. 12 | 20 50,6 | - 6 24 | 10,0 | |
| Febr. 14 | 7 13,1 | + 14 52 | 11,1 | 22 | 20 57,2 | - 5 30 | 10,2 | |
| | 24 | 7 11,5 | + 15 25 | 11,4 | Nov. 1 | 21 06,5 | - 4 30 | 10,3 |
| (80) Sappho | | | | | | | | |
| (129) Antigone | | | | | | | | |
| Nov. 11 | 6 12,7 | + 15 11 | 11,2 | Juill. 24 | 21 10,7 | - 14 06 | 10,4 | |
| Nov. 21 | 6 07,3 | + 14 06 | 11,0 | Août 3 | 21 03,0 | - 15 36 | 10,1 | |
| Déc. 1 | 5 58,8 | + 13 07 | 10,8 | Aug. 13 | 20 55,2 | - 17 06 | 10,3 | |
| Dec. 11 | 5 48,1 | + 12 18 | 10,6 | 21 | 5 36,9 | + 11 42 | 10,7 | |
| | 31 | 5 26,7 | + 11 23 | 10,9 | (139) Juewa | | | |
| (82) Alkmene | | | | | | | | |
| Déc. 11 | 7 37,1 | + 26 06 | 11,5 | Mars 6 | 12 16,9 | + 0 13 | 11,1 | |
| Dec. 21 | 7 31,5 | + 26 35 | 11,2 | Maart 16 | 12 07,6 | + 0 10 | 10,8 | |
| | 31 | 7 23,1 | + 27 05 | 10,9 | 26 | 11 57,7 | + 0 10 | 10,8 |
| (196) Philomela | | | | | | | | |
| (85) Io | | | | | | | | |
| Déc. 1 | 5 17,5 | + 23 53 | 11,3 | Déc. 11 | 5 08,4 | + 24 03 | 11,0 | |
| | 21 | 4 59,4 | + 24 09 | 11,3 | 21 | 4 59,4 | + 24 09 | 11,3 |
| (245) Vera | | | | | | | | |
| Sept. 22 | 1 43,8 | + 13 23 | 11,1 | Nov. 1 | 3 22,5 | + 16 23 | 11,3 | |
| Oct. 2 | 1 37,9 | + 11 45 | 10,9 | Nov. 11 | 3 13,9 | + 16 14 | 11,0 | |
| Okt. 12 | 1 30,7 | + 9 54 | 10,6 | 21 | 3 05,1 | + 16 04 | 11,3 | |
| | 22 | 1 23,1 | + 8 01 | 10,7 | (89) Julia | | | |
| Nov. 1 | 1 16,4 | + 6 16 | 11,1 | (313) Chaldaea | | | | |
| Juill. 14 | 21 47,2 | - 14 21 | 9,4 | | | | | |
| Juli 24 | 21 39,4 | - 13 19 | 9,1 | Mars 16 | 11 48,7 | + 1 04 | 11,0 | |
| Août 3 | 21 29,0 | - 12 21 | 8,8 | Maart 26 | 11 41,5 | + 3 21 | 11,3 | |
| | 13 | 21 17,4 | - 11 25 | 8,6 | | | | |
| | 23 | 21 06,1 | - 10 32 | 8,8 | (354) Eleonora | | | |
| | Sept. 2 | 20 56,5 | - 9 41 | 9,1 | | | | |
| | 12 | 20 49,7 | - 8 51 | 9,3 | Avril 5 | 16 34,6 | + 3 20 | 10,8 |
| | 22 | 20 46,5 | - 8 03 | 9,6 | April 15 | 16 33,2 | + 4 35 | 10,6 |

| Date — Datum (2024) 2025 (2026) | A 0 ^h , TEMPS UNIVERSEL Te 0 ^h WERELDTIJD | | | Date — Datum (2024) 2025 (2026) | A 0 ^h , TEMPS UNIVERSEL Te 0 ^h WERELDTIJD | | |
|--|--|--|-------|--|--|--|-------|
| | Ascension droite — Rechte klimming (2000) | Déclinaison — Declinatie (2000) | Magn. | | Ascension droite — Rechte klimming (2000) | Déclinaison — Declinatie (2000) | Magn. |
| | h m | ° / | | | h m | ° / | |
| | | | | | | | |
| Avril 25 | 16 29,3 | + 5 43 | 10,5 | Oct. 2 | 23 43,6 | + 2 48 | 10,9 |
| Mai 5 | 16 23,3 | + 6 40 | 10,4 | Okt. 12 | 23 38,5 | + 1 07 | 11,2 |
| Mei 15 | 16 15,7 | + 7 18 | 10,3 | | (471) Papagena | | |
| 25 | 16 07,3 | + 7 33 | 10,3 | | | | |
| Juin 4 | 15 59,1 | + 7 23 | 10,4 | Août 23 | 3 23,6 | + 1 38 | 10,6 |
| Juni 14 | 15 52,0 | + 6 49 | 10,6 | Sept. 2 | 3 32,7 | + 1 45 | 10,4 |
| 24 | 15 46,5 | + 5 55 | 10,7 | Sept. 12 | 3 39,5 | + 1 43 | 10,2 |
| | (433) Eros | | | 22 | 3 43,6 | + 1 36 | 10,0 |
| Sept. 27 | 2 01,3 | + 40 51 | 11,4 | Oct. 2 | 3 44,6 | + 1 27 | 9,8 |
| Oct. 2 | 1 57,6 | + 42 26 | 11,2 | Okt. 12 | 3 42,4 | + 1 19 | 9,6 |
| Okt. 7 | 1 52,3 | + 43 52 | 11,0 | 22 | 3 37,1 | + 1 18 | 9,4 |
| 12 | 1 45,2 | + 45 07 | 10,9 | Nov. 1 | 3 29,2 | + 1 30 | 9,2 |
| 17 | 1 36,5 | + 46 05 | 10,7 | Nov. 11 | 3 19,6 | + 1 59 | 9,1 |
| 22 | 1 26,6 | + 46 45 | 10,6 | 21 | 3 09,8 | + 2 46 | 9,2 |
| 27 | 1 16,0 | + 47 03 | 10,5 | Déc. 1 | 3 01,1 | + 3 53 | 9,4 |
| Nov. 1 | 1 05,3 | + 46 58 | 10,4 | Dec. 11 | 2 54,6 | + 5 16 | 9,6 |
| Nov. 6 | 0 55,3 | + 46 30 | 10,4 | 21 | 2 51,0 | + 6 51 | 9,9 |
| 11 | 0 46,6 | + 45 41 | 10,4 | 31 | 2 50,5 | + 8 34 | 10,1 |
| 16 | 0 39,8 | + 44 36 | 10,4 | | (584) Semiramis | | |
| 21 | 0 35,3 | + 43 17 | 10,4 | Juill. 24 | 22 20,7 | + 2 56 | 11,0 |
| 26 | 0 33,1 | + 41 50 | 10,4 | Août 3 | 22 15,5 | + 4 26 | 10,7 |
| Déc. 1 | 0 33,4 | + 40 18 | 10,5 | Aug. 13 | 22 07,6 | + 5 33 | 10,4 |
| Dec. 6 | 0 36,0 | + 38 46 | 10,5 | 23 | 21 58,1 | + 6 14 | 10,3 |
| 11 | 0 40,9 | + 37 14 | 10,6 | Sept. 2 | 21 48,4 | + 6 26 | 10,3 |
| 16 | 0 47,7 | + 35 46 | 10,6 | Sept. 12 | 21 40,3 | + 6 15 | 10,4 |
| 21 | 0 56,4 | + 34 22 | 10,7 | 22 | 21 35,1 | + 5 48 | 10,6 |
| 26 | 1 06,7 | + 33 02 | 10,7 | Oct. 2 | 21 33,7 | + 5 16 | 10,9 |
| 31 | 1 18,6 | + 31 47 | 10,8 | Okt. 12 | 21 36,2 | + 4 47 | 11,1 |
| | (779) Nina | | | | | | |
| | (444) Gyptis | | | Août 23 | 0 22,9 | + 27 17 | 11,2 |
| Sept. 2 | 0 02,3 | + 7 39 | 11,2 | Sept. 2 | 0 18,4 | + 28 33 | 11,1 |
| Sept. 12 | 23 56,6 | + 6 15 | 11,0 | Sept. 12 | 0 11,2 | + 29 12 | 10,9 |
| 22 | 23 50,0 | + 4 34 | 10,7 | 22 | 0 02,4 | + 29 12 | 10,8 |

| Date — Datum (2024) 2025 (2026) | A 0 ^h , TEMPS UNIVERSEL Te 0 ^h WERELDTIJD | | | Date — Datum (2024) 2025 (2026) | A 0 ^h , TEMPS UNIVERSEL Te 0 ^h WERELDTIJD | | |
|--|--|--|-------|--|--|--|-------|
| | Ascension droite — Rechte klimming (2000) | Déclinaison — Declinatie (2000) | Magn. | | Ascension droite — Rechte klimming (2000) | Déclinaison — Declinatie (2000) | Magn. |
| | h m | ° / | | | h m | ° / | |
| | | | | | | | |
| Oct. 2 | 23 53,4 | + 28 32 | 10,8 | Janv. 31 | 9 36,8 | + 42 39 | 11,0 |
| Okt. 12 | 23 45,7 | + 27 20 | 10,9 | Févr. 1 | 9 41,9 | + 42 49 | 11,1 |
| 22 | 23 40,4 | + 25 48 | 11,0 | Febr. 2 | 9 46,7 | + 42 56 | 11,2 |
| Nov. 1 | 23 38,4 | + 24 10 | 11,2 | 3 | 9 51,2 | + 43 01 | 11,3 |
| | | | | 4 | 9 55,4 | + 43 04 | 11,4 |
| | (887) Alinda | | | | (84922) 2003 VS2 | | |
| Janv. 1 | 5 11,8 | - 0 18 | 10,1 | Déc. 26 | 6 04,3 | + 31 33 | 19,7 |
| Jan. 2 | 5 19,1 | + 1 40 | 10,0 | 3 | 5 26,9 | + 3 43 | 9,9 |
| 3 | 5 26,9 | + 3 43 | 9,9 | Janv. 5 | 6 03,2 | + 31 32 | 19,7 |
| 4 | 5 35,0 | + 5 52 | 9,8 | Jan. 15 | 6 02,2 | + 31 31 | 19,7 |
| 5 | 5 43,5 | + 8 05 | 9,7 | 25 | 6 01,3 | + 31 29 | 19,8 |
| 6 | 5 52,3 | + 10 22 | 9,6 | Févr. 4 | 6 00,5 | + 31 27 | 19,8 |
| 7 | 6 01,6 | + 12 41 | 9,5 | Febr. 14 | 5 59,8 | + 31 25 | 19,8 |
| 8 | 6 11,2 | + 15 01 | 9,4 | 24 | 5 59,4 | + 31 22 | 19,8 |
| 9 | 6 21,1 | + 17 20 | 9,4 | Mars 6 | 5 59,2 | + 31 19 | 19,8 |
| 10 | 6 31,2 | + 19 37 | 9,3 | Oct. 12 | 6 17,7 | + 31 03 | 19,8 |
| 11 | 6 41,6 | + 21 51 | 9,3 | Okt. 22 | 6 17,4 | + 31 04 | 19,8 |
| 12 | 6 52,1 | + 23 59 | 9,3 | Nov. 1 | 6 17,0 | + 31 06 | 19,8 |
| 13 | 7 02,8 | + 26 02 | 9,3 | Nov. 11 | 6 16,4 | + 31 07 | 19,8 |
| 14 | 7 13,4 | + 27 58 | 9,3 | 21 | 6 15,6 | + 31 08 | 19,8 |
| 15 | 7 24,1 | + 29 46 | 9,4 | Déc. 1 | 6 14,7 | + 31 09 | 19,7 |
| 16 | 7 34,7 | + 31 25 | 9,5 | Dec. 11 | 6 13,7 | + 31 09 | 19,7 |
| 17 | 7 45,2 | + 32 57 | 9,6 | 21 | 6 12,6 | + 31 09 | 19,7 |
| 18 | 7 55,4 | + 34 20 | 9,7 | 31 | 6 11,5 | + 31 09 | 19,7 |
| 19 | 8 05,4 | + 35 35 | 9,8 | | (134340) Pluto | | |
| 20 | 8 15,1 | + 36 42 | 9,9 | | | | |
| 21 | 8 24,5 | + 37 42 | 10,0 | | | | |
| 22 | 8 33,5 | + 38 35 | 10,1 | Juin 14 | 20 25,3 | - 23 02 | 15,1 |
| 23 | 8 42,1 | + 39 21 | 10,2 | Juni 24 | 20 24,5 | - 23 06 | 15,1 |
| 24 | 8 50,3 | + 40 02 | 10,4 | Juill. 4 | 20 23,7 | - 23 10 | 15,1 |
| 25 | 8 58,2 | + 40 37 | 10,5 | Juli 14 | 20 22,7 | - 23 14 | 15,0 |
| 26 | 9 05,6 | + 41 07 | 10,6 | 24 | 20 21,8 | - 23 18 | 15,0 |
| 27 | 9 12,6 | + 41 32 | 10,7 | Août 3 | 20 20,8 | - 23 22 | 15,0 |
| 28 | 9 19,2 | + 41 54 | 10,8 | Aug. 13 | 20 19,8 | - 23 26 | 15,1 |
| 29 | 9 25,4 | + 42 12 | 10,9 | 23 | 20 18,9 | - 23 29 | 15,1 |
| 30 | 9 31,3 | + 42 27 | 10,9 | Sept. 2 | 20 18,2 | - 23 32 | 15,1 |

| Date — Datum (2024) 2025 (2026) | A 0 ^h , TEMPS UNIVERSEL — Te 0 ^h WERELDTIJD | | | Date — Datum (2024) 2025 (2026) | A 0 ^h , TEMPS UNIVERSEL — Te 0 ^h WERELDTIJD | | |
|--|--|--|-------|--|--|--|-------|
| | Ascension droite — Rechte klimming (2000) | Déclinaison — Declinatie (2000) | Magn. | | Ascension droite — Rechte klimming (2000) | Déclinaison — Declinatie (2000) | Magn. |
| | h m | ° / | | | h m | ° / | |
| Sept. 12 | 20 17,5 | - 23 34 | 15,2 | Sept. 12 | 14 35,2 | + 14 11 | 17,3 |
| Sept. 22 | 20 17,0 | - 23 36 | 15,2 | Sept. 22 | 14 35,8 | + 14 05 | 17,3 |
| Oct. 2 | 20 16,6 | - 23 37 | 15,2 | Nov. 11 | 14 39,8 | + 13 39 | 17,3 |
| Okt. 12 | 20 16,5 | - 23 37 | 15,2 | Nov. 21 | 14 40,7 | + 13 37 | 17,3 |
| 22 | 20 16,6 | - 23 37 | 15,2 | Déc. 1 | 14 41,5 | + 13 35 | 17,3 |
| Nov. 1 | 20 16,8 | - 23 36 | 15,3 | Dec. 11 | 14 42,3 | + 13 35 | 17,3 |
| Nov. 11 | 20 17,3 | - 23 34 | 15,3 | 21 | 14 42,9 | + 13 36 | 17,3 |
| 21 | 20 17,9 | - 23 32 | 15,3 | 31 | 14 43,5 | + 13 38 | 17,3 |
| (136108) Haumea | | | | | | | |
| Déc. 26 | 14 39,7 | + 13 57 | 17,4 | (136199) Eris | | | |
| Janv. 5 | 14 40,2 | + 13 59 | 17,4 | Déc. 26 | 1 44,9 | - 0 43 | 18,7 |
| Jan. 15 | 14 40,6 | + 14 03 | 17,4 | Janv. 5 | 1 44,8 | - 0 42 | 18,7 |
| 25 | 14 40,9 | + 14 08 | 17,3 | Jan. 15 | 1 44,8 | - 0 41 | 18,7 |
| Févr. 4 | 14 41,0 | + 14 13 | 17,3 | 25 | 1 44,8 | - 0 39 | 18,7 |
| Febr. 14 | 14 41,1 | + 14 19 | 17,3 | Févr. 4 | 1 44,9 | - 0 37 | 18,7 |
| 24 | 14 40,9 | + 14 25 | 17,3 | Febr. 14 | 1 45,0 | - 0 35 | 18,7 |
| Mars 6 | 14 40,7 | + 14 31 | 17,3 | Août 3 | 1 49,5 | - 0 08 | 18,7 |
| Maart 16 | 14 40,3 | + 14 37 | 17,3 | Aug. 13 | 1 49,4 | - 0 10 | 18,7 |
| 26 | 14 39,8 | + 14 43 | 17,3 | 23 | 1 49,2 | - 0 11 | 18,7 |
| Avril 5 | 14 39,2 | + 14 49 | 17,3 | Sept. 2 | 1 49,0 | - 0 13 | 18,6 |
| April 15 | 14 38,6 | + 14 54 | 17,3 | Sept. 12 | 1 48,8 | - 0 15 | 18,6 |
| 25 | 14 38,0 | + 14 57 | 17,2 | 22 | 1 48,5 | - 0 17 | 18,6 |
| Mai 5 | 14 37,3 | + 15 00 | 17,3 | Oct. 2 | 1 48,1 | - 0 19 | 18,6 |
| Mei 15 | 14 36,6 | + 15 02 | 17,3 | Okt. 12 | 1 47,8 | - 0 21 | 18,6 |
| 25 | 14 35,9 | + 15 03 | 17,3 | 22 | 1 47,4 | - 0 23 | 18,6 |
| Juin 4 | 14 35,4 | + 15 03 | 17,3 | Nov. 1 | 1 47,0 | - 0 25 | 18,6 |
| Juni 14 | 14 34,8 | + 15 01 | 17,3 | Nov. 11 | 1 46,6 | - 0 26 | 18,6 |
| 24 | 14 34,4 | + 14 59 | 17,3 | 21 | 1 46,3 | - 0 27 | 18,6 |
| Juill. 4 | 14 34,1 | + 14 55 | 17,3 | Déc. 1 | 1 46,0 | - 0 28 | 18,6 |
| Juli 14 | 14 33,9 | + 14 50 | 17,3 | Dec. 11 | 1 45,7 | - 0 28 | 18,7 |
| 24 | 14 33,8 | + 14 45 | 17,3 | 21 | 1 45,5 | - 0 28 | 18,7 |
| Août 3 | 14 33,8 | + 14 39 | 17,4 | Sept. 2 | 1 45,4 | - 0 27 | 18,7 |
| Aug. 13 | 14 34,0 | + 14 32 | 17,4 | 31 | 1 45,4 | - 0 27 | 18,7 |
| 23 | 14 34,2 | + 14 26 | 17,4 | | | | |
| Sept. 2 | 14 34,7 | + 14 18 | 17,4 | | | | |

| Date — Datum (2024) 2025 (2026) | A 0 ^h , TEMPS UNIVERSEL — Te 0 ^h WERELDTIJD | | | Date — Datum (2024) 2025 (2026) | A 0 ^h , TEMPS UNIVERSEL — Te 0 ^h WERELDTIJD | | |
|--|--|--|-------|--|--|--|-------|
| | Ascension droite — Rechte klimming (2000) | Déclinaison — Declinatie (2000) | Magn. | | Ascension droite — Rechte klimming (2000) | Déclinaison — Declinatie (2000) | Magn. |
| | h m | ° / | | | h m | ° / | |
| Nov. 1 | 13 25,7 | + 20 05 | 17,2 | (136472) Makemake | | | |
| Nov. 11 | 13 26,5 | + 20 03 | 17,2 | Nov. 21 | 13 27,2 | + 20 02 | 17,2 |
| 21 | 13 27,9 | + 20 02 | 17,2 | Déc. 1 | 13 27,9 | + 20 02 | 17,2 |
| Janv. 5 | 13 26,3 | + 20 40 | 17,2 | Dec. 11 | 13 28,4 | + 20 03 | 17,2 |
| 15 | 13 26,5 | + 20 45 | 17,2 | 21 | 13 28,9 | + 20 05 | 17,2 |
| 25 | 13 26,5 | + 20 50 | 17,1 | 31 | 13 29,2 | + 20 08 | 17,2 |
| Févr. 4 | 13 26,3 | + 20 56 | 17,1 | (229762) G!kunhomdima | | | |
| Febr. 14 | 13 26,1 | + 21 02 | 17,1 | 24 | 13 25,7 | + 21 08 | 17,1 |
| Mars 6 | 13 25,2 | + 21 14 | 17,1 | Nov. 11 | 5 35,8 | + 5 03 | 19,6 |
| Maart 16 | 13 24,7 | + 21 19 | 17,1 | Nov. 21 | 5 35,1 | + 5 01 | 19,6 |
| 26 | 13 24,1 | + 21 24 | 17,1 | Déc. 1 | 5 34,3 | + 5 00 | 19,6 |
| Avril 5 | 13 23,4 | + 21 28 | 17,1 | Dec. 11 | 5 33,5 | + 4 59 | 19,6 |
| April 15 | 13 22,7 | + 21 31 | 17,1 | 21 | 5 32,7 | + 5 00 | 19,6 |
| 25 | 13 22,1 | + 21 33 | 17,1 | 31 | 5 31,9 | + 5 01 | 19,6 |
| Mai 5 | 13 21,4 | + 21 34 | 17,1 | (230965) 2004 XA192 | | | |
| Mei 15 | 13 20,9 | + 21 34 | 17,1 | 25 | 13 20,3 | + 21 33 | 17,1 |
| 25 | 13 20,3 | + 21 33 | 17,1 | Déc. 26 | 8 29,1 | + 41 49 | 19,8 |
| Juin 4 | 13 19,9 | + 21 31 | 17,1 | Janv. 5 | 8 27,9 | + 41 53 | 19,8 |
| Juni 14 | 13 19,6 | + 21 27 | 17,2 | Jan. 15 | 8 26,7 | + 41 57 | 19,8 |
| 24 | 13 19,4 | + 21 23 | 17,2 | 25 | 8 25,4 | + 41 58 | 19,8 |
| Juill. 4 | 13 19,3 | + 21 18 | 17,2 | Févr. 4 | 8 24,1 | + 41 59 | 19,8 |
| Juli 14 | 13 19,3 | + 21 12 | 17,2 | Febr. 14 | 8 22,8 | + 41 59 | 19,9 |
| 24 | 13 19,4 | + 21 05 | 17,2 | 24 | 8 21,7 | + 41 57 | 19,9 |
| Août 3 | 13 19,7 | + 20 58 | 17,2 | Mars 6 | 8 20,7 | + 41 53 | 19,9 |
| Aug. 13 | 13 20,1 | + 20 51 | 17,2 | Déc. 1 | 8 38,1 | + 40 11 | 19,9 |
| 23 | 13 20,6 | + 20 44 | 17,2 | 11 | 8 37,4 | + 40 16 | 19,9 |
| Sept. 2 | 13 21,2 | + 20 37 | 17,2 | 21 | 8 36,5 | + 40 21 | 19,9 |
| Oct. 22 | 13 24,9 | + 20 08 | 17,2 | 31 | 8 35,4 | + 40 25 | 19,8 |

COMÈTES

Etant donné que le nombre de comètes numérotées augmente de plus en plus rapidement, il n'est plus possible à partir de l'*Annuaire 2020* de donner la liste complète des comètes numérotées. La liste des comètes numérotées jusqu'au 1 mars 2018 a été publiée dans l'*Annuaire 2019* à la page 141. A partir de 2020, nous nous limitons à la liste des nouvelles comètes numérotées, ainsi qu'aux comètes qui passent au périhélie au cours de l'année. Ainsi, de la place est libérée pour donner les éphémérides de davantage de comètes.

NOUVELLES COMÈTES PERIODIQUES NUMÉROTÉES

A la liste des comètes périodiques figurant dans l'*Annuaire 2024* sont venues s'ajouter nouvelles comètes, de sorte qu'à la date du 1^{er} avril 2024 le nombre total de comètes numérotées s'élève à Le tableau de la page 142 mentionne les données suivantes pour les nouvelles comètes numérotées:

- le numéro;
- le nom;
- la période orbitale en années;
- la distance périhélique en unités astronomiques;
- la distance aphélique en unités astronomiques;
- la première désignation de la comète, dans laquelle on retrouve également l'année de découverte;
- la date du prochain passage au périhélie.

La période orbitale, la distance périhélique et la distance aphélique sont déduites des éléments orbitaux instantanés et varient avec le temps. Elles sont données pour l'époque à laquelle le Minor Planet Center a publié ces éléments orbitaux. Celle-ci peut varier de comète à comète mais demeure pour les nouvelles comètes numérotées aux alentours de la date à laquelle la numérotation a été publiée, ce qui signifie 1 ou 2 ans avant la date de publication de cet Annuaire.

KOMETEN

Gezien het aantal genummerde kometen steeds sneller stijgt, wordt er vanaf het *Jaarboek 2020* geen volledige lijst genummerde kometen meer gegeven. De lijst genummerde kometen tot 1 maart 2018 wordt gegeven in het *Jaarboek 2019* op blz. 141. Vanaf 2020 beperken we ons tot de lijst nieuw genummerde kometen, evenals de kometen die in de loop van het jaar door het perihelium gaan. Zo wordt plaats vrijgemaakt om efemeriden te geven van meer kometen.

NIEUW-GENUMMERDE PERIODIEKE KOMETEN

Aan de lijst periodieke kometen zoals verschenen in het *Jaarboek 2024* zijn kometen toegevoegd, zodat op datum van 1 april 2024 het totale aantal genummerde kometen bedraagt. De tabel op blz. 142 geeft de volgende gegevens van de nieuw-genummerde kometen:

- het nummer;
- de naam;
- de baanperiode in jaren;
- de periheliumafstand in astronomische eenheden;
- de apheliumafstand in astronomische eenheden;
- de eerste aanduiding van de komeet, wat tevens het ontdekingsjaar bevat;
- de datum van de eerstvolgende periheliumdoorgang.

De baanperiode, periheliumafstand en apheliumafstand zijn afgeleid uit de ogenblikkelijke baanelementen en variëren met de tijd. Ze zijn gegeven voor de periode waarvoor het Minor Planet Center de baanelementen gepubliceerd heeft. Deze kan van komeet tot komeet variëren, maar ligt voor nieuw-genummerde kometen meestal rond het tijdstip waarop de nummering bekend gemaakt werd, wat betekent 1 of 2 jaar voor de geldigheid van dit *Jaarboek*.

Nouvelles comètes périodiques numérotées
Nieuw-genummerde periodieke kometen

| Désignation — Aanduiding | Nom — Naam | Période orbitale — Omloop- tijd | Distance périhélique — Perihelium- afstand | Distance aphélique — Aphelium- afstand | Première désignation — Eerste aanduiding | Date du prochain retour au périhélie — Datum van de eerstkomende periheliumdoorgang |
|--------------------------------|-------------------|---|--|--|--|---|
| | | yr | UA — AE | UA — AE | | |
| 461P | WISE | 5,57 | 1,351 | 4,94 | 2010 OE ₁₀₁ | 2027, Mai - Mei |
| 462P | LONEOS-PANSTARRS | 10,79 | 2,059 | 7,71 | 2022 M1 | 2033, Mars - Maart |
| 463P | NEOWISE | 5,13 | 0,519 | 5,43 | 2018 HT ₃ | 2028, Mai - Mei |
| 464P | PANSTARRS | 10,15 | 3,372 | 6,00 | 2014 OL ₄₆₅ | 2033, Avril - April |
| 465P | Hill | 14,81 | 2,328 | 9,73 | 2008 L2 | 2037, Déc. - Dec. |
| 466P | PANSTARRS | 8,15 | 2,155 | 5,94 | 2015 T3 | 2031, Févr. - Febr. |
| 467P | LINEAR-Grauer | 14,09 | 5,508 | 6,16 | 2010 TO ₂₀ | 2036, Déc. - Dec. |
| 468P | SidingSpring | 19,02 | 3,950 | 10,30 | 2004 V3 | 2042, Oct. - Okt. |
| 469P | PANSTARRS | 9,02 | 2,991 | 5,67 | 2015 XG ₄₂₂ | 2025, Déc. - Dec. |
| 470P | PANSTARRS | 9,47 | 2,728 | 6,22 | 2014 W1 | 2033, Avril - April |
| 471P | | 13,65 | 2,123 | 9,30 | 2023 KF ₃ | 2037, Mai - Mei |
| 472P | NEAT-LINEAR | 21,89 | 3,389 | 12,26 | 2002 T6 | 2045, Oct. - Okt. |
| 473P | NEAT | 22,50 | 1,406 | 14,53 | 2001 Q6 | 2046, Juill. - Juli |
| 474P | Hogan | 5,55 | 2,542 | 3,73 | 2023 S4 | 2029, Janv. - Jan. |
| 475P | Spacewatch-LINEAR | 19,76 | 4,077 | 10,54 | 2004 DO ₂₉ | 2044, Avril - April |
| 476P | PANSTARRS | 10,53 | 3,118 | 6,49 | 2015 HG ₁₆ | 2035, Mars - Maart |
| 477P | PANSTARRS | 5,21 | 1,751 | 4,26 | 2018 P3 | 2029, Mars - Maart |

| | | | | | | |
|------|------------------|-------|-------|-------|------------------------|---------------------|
| 478P | ATLAS | 6,96 | 2,394 | 4,90 | 2023 Y3 | 2031, Avril - April |
| 479P | Elenin | 13,33 | 1,244 | 10,00 | 2011 NO ₁ | 2037, Sept. - Sept. |
| 480P | PANSTARRS | 9,89 | 3,473 | 5,74 | 2014 A3 | 2033, Mars - Maart |
| 481P | Lemmon-PANSTARRS | 10,12 | 3,072 | 6,28 | 2012 WA ₃₄ | 2033, Août - Aug. |
| 482P | PANSTARRS | 7,28 | 1,906 | 5,60 | 2014 VF ₄₀ | 2030, Sept. - Sept. |
| 483P | PANSTARRS | 5,68 | 2,462 | 3,90 | 2016 J1 | 2027, Nov. - Nov. |
| 484P | Spacewatch | 7,29 | 2,134 | 5,38 | 2005 XR ₁₃₂ | 2028, Mars - Maart |
| 485P | Sheppard-Tholen | 17,91 | 3,991 | 9,70 | 2022 U6 | 2041, Juill. - Juli |

**COMÈTES NUMÉROTÉES
QUI PASSENT AU PERIHÉLIE EN 2025**

Le tableau de la page 146 donne les informations suivantes sur les comètes numérotées qui passent au périhélie en 2025:

- le numéro;
- le nom;
- la période orbitale en années;
- la distance périhélique en unités astronomiques;
- la distance aphélique en unités astronomiques;
- la date du passage au périhélie en 2025;
- la date du prochain passage au périhélie après 2025.

La période orbitale, la distance périhélique et la distance aphélique sont déduites des éléments orbitaux instantanés et varient avec le temps. Elles sont données pour l'époque à laquelle le Minor Planet Center a publié ces éléments orbitaux. Celle-ci peut varier de comète à comète.

**GENUMMERDE KOMETEN
DIE IN 2025 DOOR HET PERIHELIUM GAAN**

De tabel op blz. 146 geeft de volgende gegevens van de genummerde kometen die in 2025 door het perihelium gaan:

- het nummer;
- de naam;
- de baanperiode in jaren;
- de periheliumafstand in astronomische eenheden;
- de apheliumafstand in astronomische eenheden;
- de datum van de periheliumdoorgang in 2025;
- de datum van de eerstvolgende periheliumdoorgang na 2025.

De baanperiode, periheliumafstand en apheliumafstand zijn afgeleid uit de ogenblikkelijke baanelementen en variëren met de tijd. Ze zijn gegeven voor de periode waarvoor het Minor Planet Center de baanelementen gepubliceerd heeft. Deze kan van komeet tot komeet variëren.

Comètes périodiques numérotées qui passent au périhélie en 2025
Genummerde periodieke kometen die in 2025 door het perihelium gaan

| Désignation — Aanduiding | Nom — Naam | Période orbitale — Omloop- tijd | Distance périhélique — Perihelium- afstand | Distance aphélique — Aphelium- afstand | Date du passage au périhélie 2025 — Datum van de periheliumdoorgang 2025 | Date du prochain retour au périhélie — Datum van de volgende periheliumdoorgang |
|--------------------------------|-------------------|---|--|--|--|---|
| | | yr | UA — AE | UA — AE | | |
| 136P | Mueller | 8,57 | 2,960 | 5,42 | 3 Janv. - Jan. | 2033, Oct. - Okt. |
| 367P | Catalina | 6,57 | 2,527 | 4,49 | 11 Janv. - Jan. | 2031, Août - Aug. |
| 105P | SingerBrewster | 6,47 | 2,052 | 4,89 | 22 Janv. - Jan. | 2031, Juill. - Juli |
| 366P | Spacewatch | 6,54 | 2,280 | 4,71 | 30 Janv. - Jan. | 2031, Août - Aug. |
| 249P | LINEAR | 4,59 | 0,498 | 5,03 | 1 Févr. - Febr. | 2029, Sept. - Sept. |
| 236P | LINEAR | 7,20 | 1,829 | 5,63 | 3 Févr. - Febr. | 2032, Avril - April |
| 48P | Johnson | 6,55 | 2,006 | 5,00 | 2 Mars - Maart | 2031, Sept. - Sept. |
| 229P | Gibbs | 7,78 | 2,442 | 5,41 | 5 Mars - Maart | 2032, Oct. - Okt. |
| 302P | Lemmon-PANSTARRS | 8,82 | 3,289 | 5,25 | 9 Mars - Maart | 2033, Déc. - Dec. |
| 323P | SOHO | 4,15 | 0,040 | 5,13 | 14 Mars - Maart | 2029, Juin - Juni |
| 21P | Giacobini-Zinner | 6,53 | 1,009 | 5,98 | 25 Mars - Maart | 2031, Août - Aug. |
| 351P | Wiegert-PANSTARRS | 9,35 | 3,130 | 5,75 | 26 Mars - Maart | 2034, Juill. - Juli |
| 49P | Arend-Rigaux | 6,74 | 1,432 | 5,71 | 10 Avril - April | 2032, Janv. - Jan. |
| 289P | Blanpain | 5,31 | 0,956 | 5,13 | 14 Avril - April | 2030, Août - Aug. |
| 456P | PANSTARRS | 5,63 | 2,792 | 3,54 | 15 Avril - April | 2030, Déc. - Dec. |
| 341P | Gibbs | 8,89 | 2,507 | 6,07 | 22 Avril - April | 2034, Mars - Maart |
| 250P | Larson | 7,32 | 2,266 | 5,27 | 16 Mai - Mei | 2032, Sept. - Sept. |

| | | | | | | | 2025 | KOMÉTEN |
|------|------------------|-------|-------|------|------------------|---------------------|------|---------|
| 217P | LINEAR | 7,84 | 1,226 | 6,67 | 24 Mai - Mei | 2033, Févr. - Febr. | | |
| 164P | Christensen | 6,99 | 1,677 | 5,63 | 27 Mai - Mei | 2032, Mai - Mei | | |
| 65P | Gunn | 7,68 | 2,925 | 4,86 | 16 Juin - Juni | 2033, Févr. - Febr. | | |
| 60P | Tsulinshan | 6,62 | 1,645 | 5,41 | 20 Juill. - Juli | 2032, Mars - Maart | | |
| 306P | LINEAR | 5,52 | 1,271 | 4,98 | 1 Août - Aug. | 2031, Mars - Maart | | |
| 43P | Wolf-Harrington | 8,99 | 2,440 | 6,20 | 4 Août - Aug. | 2034, Août - Aug. | | |
| 195P | Hill | 16,51 | 4,446 | 8,52 | 5 Août - Aug. | 2041, Oct. - Okt. | | |
| 294P | LINEAR | 5,69 | 1,267 | 5,11 | 11 Août - Aug. | 2031, Avril - April | | |
| 340P | Boattini | 8,76 | 3,057 | 5,44 | 29 Août - Aug. | 2034, Mai - Mei | | |
| 441P | PANSTARRS | 8,41 | 3,327 | 4,94 | 9 Sept. - Sept. | 2034, Janv. - Jan. | | |
| 248P | Gibbs | 14,66 | 2,161 | 9,82 | 14 Sept. - Sept. | 2040, Janv. - Jan. | | |
| 171P | Spahr | 6,70 | 1,769 | 5,34 | 25 Sept. - Sept. | 2032, Juin - Juni | | |
| 414P | STEREO | 4,67 | 0,525 | 5,06 | 26 Sept. - Sept. | 2030, Mai - Mei | | |
| 198P | ODAS | 6,82 | 1,998 | 5,19 | 9 Oct. - Okt. | 2032, Juill. - Juli | | |
| 47P | Ashbrook-Jackson | 8,37 | 2,808 | 5,44 | 28 Oct. - Okt. | 2034, Mars - Maart | | |
| 317P | WISE | 5,11 | 1,274 | 4,66 | 30 Oct. - Okt. | 2030, Déc. - Dec. | | |
| 172P | Yeung | 8,67 | 3,357 | 5,08 | 2 Nov. - Nov. | 2034, Juill. - Juli | | |
| 40P | Vaisala | 11,03 | 1,829 | 8,08 | 11 Nov. - Nov. | 2036, Nov. - Nov. | | |
| 210P | Christensen | 5,63 | 0,526 | 5,80 | 22 Nov. - Nov. | 2031, Juill. - Juli | | |
| 313P | Gibbs | 5,63 | 2,421 | 3,91 | 2 Déc. - Dec. | 2031, Août - Aug. | | |
| 469P | PANSTARRS | 9,02 | 2,991 | 5,67 | 8 Déc. - Dec. | 2035, Janv. - Jan. | | |
| 240P | NEAT | 7,60 | 2,126 | 5,60 | 20 Déc. - Dec. | 2033, Juill. - Juli | | |
| 331P | Gibbs | 5,21 | 2,881 | 3,13 | 25 Déc. - Dec. | 2031, Mars - Maart | | |
| 261P | Larson | 6,52 | 2,014 | 4,96 | 27 Déc. - Dec. | 2032, Juill. - Juli | | |

COMÈTES LES PLUS BRILLANTES EN 2025

Nous nous sommes limités aux comètes qui atteindront la magnitude 15,9 en 2025 et qui seront observables dans de bonnes conditions.

Pour chaque comète, le tableau fournit successivement, à intervalle de dix jours:

- son ascension droite et sa déclinaison (équinoxe 2000,0);
- ses distances à la Terre et au Soleil (en UA);
- son élongation (distance angulaire au Soleil en degrés);
- sa magnitude apparente totale m_1 ;
- la période de visibilité nocturne, c'est-à-dire lorsque le Soleil est au moins 12 degrés sous l'horizon et la comète est au moins 9 degrés au-dessus de l'horizon; ici n'a pas été prise en compte l'influence perturbatrice éventuelle de la Lune; il y a deux lignes de tabulation si la comète est visible en début de nuit et en fin de nuit, mais pas au milieu de la nuit;
- la hauteur maximale de la comète au-dessus de l'horizon à Uccle pendant sa période de visibilité, ainsi que l'heure à laquelle cette hauteur est atteinte; il s'agit environ de la meilleure heure pour l'observation.

Les éphémérides comme les magnitudes ont été obtenues à partir du site Web du Minor Planet Center. Celles-ci ont été calculées en tenant compte des forces non-gravitationnelles de la comète. Les conditions locales pour Uccle ont été déterminées à l'aide des éléments orbitaux, également publiés par le Minor Planet Center, toutefois *sans* tenir compte des forces non-gravitationnelles.

Les magnitudes des comètes sont très incertaines, de sorte que la magnitude a été arrondie à l'unité. On sait que les comètes présentent parfois des éruptions et de ce fait, peuvent être beaucoup plus brillantes que prévu.

Tous les moments indiqués dans ce tableau ont été arrondis à l'heure la plus proche, étant donné que les minutes ont ici peu d'intérêt.

Le tableau donne les éphémérides aussi bien des comètes numérotées que des comètes non numérotées lorsque les éphémérides étaient déjà connues au moment de la rédaction du manuscrit. Les comètes découvertes

DE HELDERSTE KOMETEN IN 2025

Hier beperken we ons tot de kometen die in 2025 magnitude 15,9 kunnen bereiken en in gunstige omstandigheden kunnen waargenomen worden.

Voor elke komeet geeft de tabel om de 10 dagen achtereenvolgens:

- haar rechte klimming en declinatie (equinox 2000,0);
- haar afstand tot de aarde en tot de zon (in AE);
- haar elongatie (hoekafstand tot de zon in graden);
- haar totale schijnbare magnitude m_1 ;
- de periode van zichtbaarheid over de nacht, dit is wanneer de zon minimaal 12 graden onder de horizon staat en de komeet minimaal 9 graden boven de horizon; hierbij werd geen rekening gehouden met de eventuele storende invloed van de maan; indien de komeet in het begin van de nacht en het einde van de nacht, maar niet in het midden van de nacht zichtbaar is, staan er twee tabulatilijnen;
- de maximale hoogte van de komeet boven de horizon te Ukkel gedurende haar periode van zichtbaarheid, alsmede het uur waarop die hoogte bereikt wordt; dit is ongeveer het beste uur voor de waarneming.

De efemeriden, evenals de magnitudes werden gehaald van de website van het Minor Planet Center. Deze houden rekening met de niet-gravitationele krachten van de komeet. De lokale omstandigheden voor Ukkel werden bepaald aan de hand van baanelementen, eveneens gepubliceerd door het Minor Planet Center, echter *zonder* rekening te houden met de niet-gravitationele krachten.

Magnitudes van kometen zijn heel onzeker, daarom wordt de magnitude tot op 1 eenheid afgerond. Het is geweten dat kometen soms uitbarstingen vertonen en daardoor veel helderder kunnen worden dan voorspeld.

Alle tijdstippen in deze tabel werden afgerond tot het meest nabije volle uur, gezien de minuten hier weinig zin hebben.

De tabel geeft efemeriden zowel van genummerde kometen, als van ongenummerde kometen waarvan de efemeriden al gekend waren bij het sa-

après la rédaction du manuscrit, et qui pourtant sont suffisamment brillantes, ne sont évidemment pas reprises dans ce tableau.

Les comètes dont le nom est précédé de "P/" sont de courte période, ce qui signifie que leur période de retour est inférieure à 200 ans. Les comètes dont le nom est précédé de "C/", sont de longue période ou sont non périodiques.

Les heures de lever, de coucher et de passage au méridien peuvent être calculées de la même manière que pour les astéroïdes, comme indiqué à la page 128.

Source

Le site web:
<http://www.minorplanetcenter.net/iau/MPEph/MPEph.html>

menstellen van het manuscript. Kometen die na het samenstellen van het manuscript ontdekt zijn, en toch voldoende helder worden, zijn uiteraard niet in deze tabel opgenomen.

De kometen waarvan de naam door "P/" wordt voorafgegaan, zijn kortperiodiek, wat betekent dat hun omloopperiode kleiner is dan 200 jaar. De kometen waarvan de naam door "C/" wordt voorafgegaan, zijn langperiodiek of niet-periodiek.

Tijdstippen van opkomst, ondergang en meridiaandoorgang kunnen berekend worden op dezelfde manier als bij asteroïden, zoals aangegeven op blz. 129.

Bron

De website:
<http://www.minorplanetcenter.net/iau/MPEph/MPEph.html>

| Date — Datum (2024) 2025 (2026) | A 0 ^h , TEMPS UNIVERSEL — Te 0 ^h , WERELDTIJD | | | | | | | Visible — Zichtbaar | H (T) |
|--|---|-----------------|---|--|--------|----------------|-----------------------------------|---------------------------|-------|
| | Asc. droite — Rechte klim. (2000) | Decl. (2000) | Dist. à la Terre — Afst. tot de aarde | Dist. au Soleil — Afst. tot de zon | Elong. | m ₁ | | | |
| | h m | o / | UA-AE | UA-AE | o | | | | |
| | | | | | | | | | |
| 13P/Olbers | | | | | | | | | |
| Févr. 4 | 18 09,2 | - 18 24 | 3,758 | 3,112 | 43 | 15 | 06 ^h - 06 ^h | +11 (06 ^h) | |
| Febr. 14 | 18 19,2 | - 19 03 | 3,745 | 3,213 | 51 | 16 | 05 ^h - 06 ^h | +12 (06 ^h) | |
| 24 | 18 27,8 | - 19 40 | 3,716 | 3,313 | 59 | 16 | 05 ^h - 05 ^h | +12 (05 ^h) | |
| Mars 6 | 18 35,1 | - 20 17 | 3,674 | 3,413 | 67 | 16 | 05 ^h - 05 ^h | +13 (05 ^h) | |
| 24P/Schaumasse | | | | | | | | | |
| Oct. 2 | 6 32,6 | + 19 06 | 1,372 | 1,712 | 91 | 15 | 23 ^h - 05 ^h | +56 (05 ^h) | |
| Okt. 12 | 7 01,5 | + 19 33 | 1,221 | 1,631 | 94 | 14 | 23 ^h - 05 ^h | +58 (05 ^h) | |
| 22 | 7 33,2 | + 19 54 | 1,081 | 1,552 | 97 | 13 | 23 ^h - 05 ^h | +59 (05 ^h) | |
| Nov. 1 | 8 08,4 | + 20 08 | 0,955 | 1,476 | 99 | 12 | 23 ^h - 05 ^h | +59 (05 ^h) | |
| Nov. 11 | 8 47,7 | + 20 10 | 0,846 | 1,406 | 100 | 11 | 23 ^h - 06 ^h | +59 (05 ^h) | |
| 21 | 9 31,2 | + 19 54 | 0,756 | 1,342 | 100 | 10 | 23 ^h - 06 ^h | +59 (05 ^h) | |
| Déc. 1 | 10 18,6 | + 19 15 | 0,686 | 1,287 | 99 | 10 | 23 ^h - 06 ^h | +58 (05 ^h) | |
| Dec. 11 | 11 08,3 | + 18 06 | 0,637 | 1,242 | 98 | 9 | 23 ^h - 06 ^h | +57 (06 ^h) | |
| 21 | 11 58,1 | + 16 29 | 0,607 | 1,209 | 96 | 8 | 23 ^h - 06 ^h | +56 (06 ^h) | |
| 31 | 12 45,0 | + 14 34 | 0,595 | 1,189 | 95 | 8 | 24 ^h - 06 ^h | +54 (06 ^h) | |
| Janv. 10 | 13 27,2 | + 12 34 | 0,596 | 1,184 | 94 | 8 | 24 ^h - 06 ^h | +52 (06 ^h) | |
| 29P/Schwassmann-Wachmann | | | | | | | | | |
| Déc. 26 | 10 12,1 | + 8 51 | 5,668 | 6,252 | 123 | 16 | 22 ^h - 06 ^h | +48 (04 ^h) | |
| Janv. 5 | 10 10,3 | + 8 51 | 5,540 | 6,254 | 133 | 16 | 21 ^h - 06 ^h | +48 (03 ^h) | |
| Jan. 15 | 10 07,5 | + 8 57 | 5,434 | 6,256 | 144 | 16 | 21 ^h - 06 ^h | +48 (02 ^h) | |
| 25 | 10 03,9 | + 9 07 | 5,352 | 6,258 | 155 | 16 | 20 ^h - 06 ^h | +48 (01 ^h) | |
| Févr. 4 | 9 59,7 | + 9 21 | 5,298 | 6,260 | 166 | 16 | 19 ^h - 06 ^h | +49 (01 ^h) | |
| Febr. 14 | 9 55,2 | + 9 37 | 5,276 | 6,262 | 176 | 16 | 18 ^h - 06 ^h | +49 (00 ^h) | |
| 24 | 9 50,6 | + 9 54 | 5,285 | 6,263 | 171 | 16 | 18 ^h - 05 ^h | +49 (23 ^h) | |
| Mars 6 | 9 46,2 | + 10 11 | 5,325 | 6,265 | 160 | 16 | 19 ^h - 04 ^h | +49 (23 ^h) | |
| Maart 16 | 9 42,4 | + 10 26 | 5,394 | 6,267 | 149 | 16 | 19 ^h - 04 ^h | +50 (22 ^h) | |
| 26 | 9 39,4 | + 10 38 | 5,489 | 6,269 | 138 | 16 | 19 ^h - 03 ^h | +50 (21 ^h) | |
| Avril 5 | 9 37,2 | + 10 47 | 5,607 | 6,270 | 128 | 16 | 20 ^h - 02 ^h | +50 (20 ^h) | |
| April 15 | 9 36,0 | + 10 51 | 5,742 | 6,272 | 118 | 16 | 20 ^h - 02 ^h | +50 (20 ^h) | |
| 25 | 9 35,9 | + 10 50 | 5,890 | 6,274 | 108 | 16 | 20 ^h - 01 ^h | +48 (20 ^h) | |
| Mai 5 | 9 36,7 | + 10 45 | 6,046 | 6,275 | 99 | 16 | 21 ^h - 00 ^h | +42 (21 ^h) | |
| Mei 15 | 9 38,6 | + 10 35 | 6,207 | 6,277 | 89 | 16 | 21 ^h - 24 ^h | +34 (21 ^h) | |

| Date — Datum (2024) 2025 (2026) | A 0 ^h , TEMPS UNIVERSEL — Te 0 ^h , WERELDTIJD | | | | | | | Visible — Zichtbaar | H (T) |
|--|---|-----------------|---|--|--------|----------------|-----------------------------------|---------------------------|-------|
| | Asc. droite — Rechte klim. (2000) | Decl. (2000) | Dist. à la Terre — Afst. tot de aarde | Dist. au Soleil — Afst. tot de zon | Elong. | m ₁ | | | |
| | h m | o / | UA-AE | UA-AE | o | | | | |
| | | | | | | | | | |
| Déc. 21 | 11 33,4 | - 2 57 | 6,161 | 6,305 | 94 | 16 | 01 ^h - 06 ^h | +36 (05 ^h) | |
| Dec. 31 | 11 34,4 | - 3 18 | 6,000 | 6,306 | 104 | 16 | 00 ^h - 06 ^h | +36 (05 ^h) | |
| Janv. 10 | 11 34,3 | - 3 33 | 5,846 | 6,306 | 114 | 16 | 23 ^h - 06 ^h | +36 (04 ^h) | |
| 37P/Forbes | | | | | | | | | |
| Déc. 26 | 20 42,2 | - 16 51 | 2,503 | 1,777 | 34 | 16 | 17 ^h - 17 ^h | +12 (17 ^h) | |
| Janv. 5 | 21 08,8 | - 14 30 | 2,592 | 1,818 | 31 | 16 | 17 ^h - 17 ^h | +11 (17 ^h) | |
| Jan. 15 | 21 34,1 | - 12 03 | 2,681 | 1,862 | 27 | 16 | 17 ^h - 17 ^h | +10 (17 ^h) | |
| 40P/Vaisala | | | | | | | | | |
| Oct. 22 | 12 20,2 | + 3 31 | 2,680 | 1,835 | 26 | 16 | 05 ^h - 05 ^h | +13 (05 ^h) | |
| Nov. 1 | 12 45,9 | + 1 25 | 2,630 | 1,827 | 29 | 15 | 05 ^h - 05 ^h | +16 (05 ^h) | |
| Nov. 11 | 13 11,5 | - 0 39 | 2,581 | 1,823 | 32 | 15 | 05 ^h - 06 ^h | +18 (06 ^h) | |
| 21 | 13 37,2 | - 2 37 | 2,535 | 1,826 | 36 | 15 | 05 ^h - 06 ^h | +21 (06 ^h) | |
| Déc. 1 | 14 02,7 | - 4 27 | 2,489 | 1,833 | 39 | 15 | 05 ^h - 06 ^h | +22 (06 ^h) | |
| Dec. 11 | 14 27,9 | - 6 06 | 2,444 | 1,847 | 43 | 15 | 04 ^h - 06 ^h | +24 (06 ^h) | |
| 21 | 14 52,7 | - 7 34 | 2,399 | 1,865 | 47 | 16 | 04 ^h - 06 ^h | +25 (06 ^h) | |
| 31 | 15 16,9 | - 8 47 | 2,354 | 1,889 | 51 | 16 | 04 ^h - 06 ^h | +25 (06 ^h) | |
| Janv. 10 | 15 40,4 | - 9 46 | 2,308 | 1,918 | 55 | 16 | 04 ^h - 06 ^h | +25 (06 ^h) | |
| 47P/Ashbrook-Jackson | | | | | | | | | |
| Juin 24 | 23 19,6 | - 13 10 | 2,439 | 2,899 | 107 | 16 | 01 ^h - 02 ^h | +13 (02 ^h) | |
| Juill. 4 | 23 23,9 | - 12 35 | 2,306 | 2,886 | 115 | 16 | 01 ^h - 02 ^h | +18 (02 ^h) | |
| Juli 14 | 23 26,1 | - 12 09 | 2,182 | 2,873 | 124 | 16 | 24 ^h - 02 ^h | +23 (02 ^h) | |
| 24 | 23 26,2 | - 11 52 | 2,071 | 2,862 | 133 | 15 | 23 ^h - 02 ^h | +27 (02 ^h) | |
| Août 3 | 23 24,0 | - 11 42 | 1,975 | 2,851 | 143 | 15 | 22 ^h - 03 ^h | +28 (02 ^h) | |
| Aug. 13 | 23 19,6 | - 11 38 | 1,900 | 2,842 | 153 | 15 | 22 ^h - 03 ^h | +28 (02 ^h) | |
| 23 | 23 13,3 | - 11 38 | 1,848 | 2,833 | 164 | 15 | 21 ^h - 03 ^h | +28 (01 ^h) | |
| Sept. 2 | 23 05,8 | - 11 37 | 1,821 | 2,826 | 174 | 15 | 20 ^h - 04 ^h | +28 (00 ^h) | |
| Sept. 12 | 22 57,9 | - 11 33 | 1,822 | 2,820 | 171 | 15 | 19 ^h - 03 ^h | +28 (23 ^h) | |
| 22 | 22 50,5 | - 11 21 | 1,849 | 2,815 | 160 | 15 | 19 ^h - 02 ^h | +28 (22 ^h) | |
| Oct. 2 | 22 44,3 | - 11 00 | 1,902 | 2,812 | 150 | 15 | 19 ^h - 02 ^h | +28 (22 ^h) | |
| Okt. 12 | 22 40,1 | - 10 29 | 1,978 | 2,809 | 139 | 15 | 18 ^h - 01 ^h | +29 (21 ^h) | |
| 22 | 22 38,1 | - 9 47 | 2,074 | 2,808 | 129 | 15 | 18 ^h - 00 ^h | +29 (20 ^h) | |
| Nov. 1 | 22 38,5 | - 8 56 | 2,184 | 2,808 | 119 | 15 | 18 ^h - 24 ^h | +30 (20 ^h) | |
| Nov. 11 | 22 41,1 | - 7 57 | 2,307 | 2,809 | 110 | 15 | 17 ^h - 23 ^h | +31 (19 ^h) | |

| | | A 0 ^h , TEMPS UNIVERSEL — Te 0 ^h , WERELDTIJD | | | | | | | | |
|------------------------------|--|---|---|--|--------|-------|---------------------------|-----------------------------------|------------------------|--|
| Date — Datum (2024) | Asc. droite — Rechte klim. (2000) | Decl. (2000) | Dist. à la Terre — Afst. tot de aarde | Dist. au Soleil — Afst. tot de zon | Elong. | m_1 | Visible — Zichtbaar | $H (T)$ | | |
| 2026 | h m | o / | UA-AE | UA-AE | o | | o | | | |
| Déc. | 21 | 22 45,9 | — 6 49 | 2,438 | 2,811 | 102 | 16 | 17 ^h – 23 ^h | +32 (18 ^h) | |
| | 1 | 22 52,5 | — 5 34 | 2,574 | 2,814 | 94 | 16 | 17 ^h – 22 ^h | +34 (18 ^h) | |
| | 11 | 23 00,6 | — 4 12 | 2,713 | 2,819 | 86 | 16 | 17 ^h – 22 ^h | +35 (17 ^h) | |
| | 21 | 23 10,1 | — 2 44 | 2,852 | 2,825 | 79 | 16 | 17 ^h – 22 ^h | +36 (17 ^h) | |
| 49P/Arend-Rigaux | | | | | | | | | | |
| Déc. | 26 | 0 07,3 | - 21 13 | 1,730 | 1,823 | 79 | 15 | 17 ^h – 20 ^h | +18 (18 ^h) | |
| Janv. | 5 | 0 22,0 | - 18 26 | 1,762 | 1,763 | 74 | 15 | 17 ^h – 20 ^h | +21 (17 ^h) | |
| Jan. | 15 | 0 38,8 | - 15 24 | 1,789 | 1,705 | 69 | 15 | 17 ^h – 20 ^h | +23 (17 ^h) | |
| | 25 | 0 57,5 | - 12 09 | 1,812 | 1,651 | 65 | 15 | 18 ^h – 20 ^h | +25 (18 ^h) | |
| Févr. | 4 | 1 18,0 | - 8 43 | 1,832 | 1,601 | 61 | 15 | 18 ^h – 20 ^h | +26 (18 ^h) | |
| Febr. | 14 | 1 40,2 | - 5 07 | 1,850 | 1,556 | 57 | 15 | 18 ^h – 20 ^h | +26 (18 ^h) | |
| | 24 | 2 04,0 | - 1 25 | 1,867 | 1,517 | 54 | 15 | 18 ^h – 20 ^h | +26 (18 ^h) | |
| Mars | 6 | 2 29,4 | + 2 20 | 1,884 | 1,485 | 51 | 15 | 19 ^h – 20 ^h | +25 (19 ^h) | |
| Maart | 16 | 2 56,4 | + 6 03 | 1,905 | 1,459 | 49 | 14 | 19 ^h – 20 ^h | +24 (19 ^h) | |
| | 26 | 3 24,9 | + 9 40 | 1,929 | 1,442 | 47 | 14 | 19 ^h – 21 ^h | +22 (19 ^h) | |
| Avril | 5 | 3 55,0 | + 13 05 | 1,958 | 1,433 | 45 | 14 | 20 ^h – 21 ^h | +21 (20 ^h) | |
| April | 15 | 4 26,6 | + 16 11 | 1,994 | 1,432 | 43 | 14 | 20 ^h – 21 ^h | +19 (20 ^h) | |
| | 25 | 4 59,3 | + 18 54 | 2,038 | 1,440 | 41 | 15 | 20 ^h – 21 ^h | +17 (20 ^h) | |
| Mai | 5 | 5 33,1 | + 21 08 | 2,089 | 1,457 | 39 | 15 | 21 ^h – 21 ^h | +14 (21 ^h) | |
| Mei | 15 | 6 07,4 | + 22 50 | 2,147 | 1,481 | 38 | 15 | 21 ^h – 21 ^h | +11 (21 ^h) | |
| 65P/Gunn | | | | | | | | | | |
| Févr. | 14 | 17 40,5 | - 24 22 | 3,364 | 2,989 | 60 | 15 | 06 ^h – 06 ^h | +10 (06 ^h) | |
| Febr. | 24 | 17 54,8 | - 24 47 | 3,233 | 2,979 | 67 | 15 | 05 ^h – 05 ^h | +10 (05 ^h) | |
| Mars | 6 | 18 08,3 | - 25 09 | 3,097 | 2,971 | 74 | 14 | 05 ^h – 05 ^h | +10 (05 ^h) | |
| Maart | 16 | 18 20,7 | - 25 30 | 2,957 | 2,962 | 81 | 14 | 05 ^h – 05 ^h | +10 (05 ^h) | |
| | 26 | 18 31,8 | - 25 50 | 2,816 | 2,955 | 88 | 14 | 04 ^h – 04 ^h | +10 (04 ^h) | |
| Avril | 5 | 18 41,5 | - 26 11 | 2,675 | 2,949 | 96 | 14 | 04 ^h – 04 ^h | +10 (04 ^h) | |
| April | 15 | 18 49,5 | - 26 35 | 2,537 | 2,943 | 104 | 14 | 03 ^h – 04 ^h | +10 (04 ^h) | |
| | 25 | 18 55,6 | - 27 03 | 2,406 | 2,938 | 112 | 14 | 03 ^h – 03 ^h | +10 (03 ^h) | |
| Mai | 5 | 18 59,4 | - 27 37 | 2,283 | 2,934 | 121 | 14 | 03 ^h – 03 ^h | +10 (03 ^h) | |
| Mei | 15 | 19 00,8 | - 28 15 | 2,173 | 2,931 | 130 | 14 | 02 ^h – 02 ^h | +10 (02 ^h) | |

| | | A 0 ^h , TEMPS UNIVERSEL — Te 0 ^h , WERELDTIJD | | | | | | | | | |
|--|--|---|---|--|---------------------------------|---------------------------|-------|-----------------------------------|-----------------------------------|------------------------|--|
| Date — Datum (2024) 2025 (2026) | Asc. droite — Rechte klim. (2000) | Decl. (2000) | Dist. à la Terre — Afst. tot de aarde | Dist. au Soleil — Afst. tot de zon | Elong. <i>m</i> ₁ | Visible — Zichtbaar | H (T) | | | | |
| | h m | ° / | UA-AE | UA-AE | ○ | | ○ | | | | |
| 78P/Gehrels | | | | | | | | | | | |
| Déc. | 11 | 21 03,3 | — 12 06 | 2,944 | 2,529 | 56 | 16 | 17 ^h — 19 ^h | +24 (17 ^h) | | |
| Dec. | 21 | 21 19,1 | — 11 14 | 3,005 | 2,486 | 50 | 16 | 17 ^h — 19 ^h | +23 (17 ^h) | | |
| | 31 | 21 35,7 | — 10 11 | 3,056 | 2,443 | 44 | 16 | 17 ^h — 19 ^h | +21 (17 ^h) | | |
| Janv. | 10 | 21 53,1 | — 8 59 | 3,098 | 2,402 | 38 | 16 | 17 ^h — 18 ^h | +19 (17 ^h) | | |
| 128P/Shoemaker-Holt | | | | | | | | | | | |
| Sept. | 12 | 0 35,5 | + | 7 04 | 2,507 | 3,461 | 158 | 16 | 19 ^h — 04 ^h | +46 (01 ^h) | |
| Sept. | 22 | 0 30,2 | + | 6 24 | 2,446 | 3,437 | 169 | 16 | 19 ^h — 04 ^h | +46 (00 ^h) | |
| Oct. | 2 | 0 24,3 | + | 5 37 | 2,414 | 3,414 | 177 | 16 | 19 ^h — 05 ^h | +45 (23 ^h) | |
| Okt. | 12 | 0 18,5 | + | 4 47 | 2,410 | 3,391 | 167 | 16 | 18 ^h — 04 ^h | +44 (23 ^h) | |
| | 22 | 0 13,3 | + | 4 00 | 2,435 | 3,369 | 156 | 16 | 18 ^h — 03 ^h | +43 (22 ^h) | |
| Nov. | 1 | 0 09,3 | + | 3 19 | 2,485 | 3,347 | 145 | 16 | 18 ^h — 02 ^h | +43 (21 ^h) | |
| Nov. | 11 | 0 06,9 | + | 2 48 | 2,559 | 3,325 | 134 | 16 | 17 ^h — 02 ^h | +42 (20 ^h) | |
| | 21 | 0 06,3 | + | 2 29 | 2,651 | 3,304 | 124 | 16 | 17 ^h — 01 ^h | +42 (20 ^h) | |
| Déc. | 1 | 0 07,7 | + | 2 22 | 2,757 | 3,284 | 114 | 16 | 17 ^h — 00 ^h | +42 (19 ^h) | |
| Dec. | 11 | 0 10,9 | + | 2 29 | 2,873 | 3,264 | 105 | 16 | 17 ^h — 24 ^h | +42 (19 ^h) | |
| 164P/Christensen | | | | | | | | | | | |
| Août | 13 | 7 31,0 | + | 23 11 | 2,649 | 1,834 | 29 | 16 | 03 ^h — 03 ^h | +11 (03 ^h) | |
| Aug. | 23 | 7 56,8 | + | 23 05 | 2,637 | 1,874 | 33 | 16 | 03 ^h — 03 ^h | +16 (03 ^h) | |
| Sept. | 2 | 8 21,7 | + | 22 48 | 2,621 | 1,917 | 37 | 16 | 02 ^h — 04 ^h | +21 (04 ^h) | |
| 210P/Christensen | | | | | | | | | | | |
| Déc. | 1 | 14 20,1 | — 11 46 | 0,656 | 0,554 | 32 | 10 | 06 ^h — 06 ^h | +14 (06 ^h) | | |
| Dec. | 11 | 14 29,7 | — 9 08 | 0,822 | 0,652 | 41 | 11 | 05 ^h — 06 ^h | +21 (06 ^h) | | |
| | 21 | 14 47,0 | — 8 31 | 0,963 | 0,784 | 48 | 12 | 04 ^h — 06 ^h | +24 (06 ^h) | | |
| | 31 | 15 04,8 | — 8 30 | 1,072 | 0,928 | 54 | 13 | 04 ^h — 06 ^h | +26 (06 ^h) | | |
| Janv. | 10 | 15 20,6 | — 8 33 | 1,151 | 1,074 | 60 | 14 | 04 ^h — 06 ^h | +28 (06 ^h) | | |
| 217P/LINEAR | | | | | | | | | | | |
| Août | 13 | 6 44,2 | + | 16 04 | 2,215 | 1,579 | 40 | 16 | 03 ^h — 03 ^h | +13 (03 ^h) | |
| Aug. | 23 | 7 09,0 | + | 15 49 | 2,235 | 1,655 | 44 | 16 | 03 ^h — 03 ^h | +18 (03 ^h) | |

| Date — Datum (2024) 2025 (2026) | A 0 ^h , TEMPS UNIVERSEL — Te 0 ^h , WERELDTIJD | | | | | | Visible — Zichtbaar | H (T) |
|--|---|-----------------|---|--|--------|----------------|---------------------------|-------|
| | Asc. droite — Rechte klim. (2000) | Decl. (2000) | Dist. à la Terre — Afst. tot de aarde | Dist. au Soleil — Afst. tot de zon | Elong. | m ₁ | | |
| | h m | o / | UA-AE | UA-AE | o | | | |

240P/NEAT

| | | | | | | | | | | |
|-------|----|--------|---|-------|-------|-------|-----|----|-----------------------------------|------------------------|
| Sept. | 2 | 3 56,0 | - | 1 30 | 1,851 | 2,286 | 102 | 16 | 00 ^h - 04 ^h | +36 (04 ^h) |
| Sept. | 12 | 4 04,8 | - | 1 06 | 1,723 | 2,259 | 109 | 16 | 24 ^h - 04 ^h | +38 (04 ^h) |
| | 22 | 4 11,3 | - | 0 42 | 1,601 | 2,234 | 116 | 16 | 23 ^h - 04 ^h | +39 (04 ^h) |
| Oct. | 2 | 4 15,2 | - | 0 14 | 1,488 | 2,211 | 124 | 15 | 22 ^h - 05 ^h | +39 (03 ^h) |
| Okt. | 12 | 4 16,0 | + | 0 23 | 1,386 | 2,190 | 133 | 15 | 22 ^h - 05 ^h | +40 (03 ^h) |
| | 22 | 4 13,6 | + | 1 13 | 1,299 | 2,172 | 142 | 15 | 21 ^h - 05 ^h | +40 (02 ^h) |
| Nov. | 1 | 4 07,8 | + | 2 22 | 1,230 | 2,157 | 152 | 15 | 20 ^h - 05 ^h | +42 (01 ^h) |
| Nov. | 11 | 3 59,3 | + | 3 55 | 1,183 | 2,144 | 161 | 15 | 19 ^h - 06 ^h | +43 (00 ^h) |
| | 21 | 3 49,0 | + | 5 52 | 1,162 | 2,134 | 166 | 15 | 18 ^h - 05 ^h | +45 (00 ^h) |
| Déc. | 1 | 3 38,3 | + | 8 09 | 1,167 | 2,127 | 162 | 15 | 17 ^h - 04 ^h | +47 (23 ^h) |
| Dec. | 11 | 3 29,0 | + | 10 40 | 1,199 | 2,123 | 153 | 15 | 17 ^h - 04 ^h | +50 (22 ^h) |
| | 21 | 3 22,2 | + | 13 16 | 1,256 | 2,122 | 142 | 15 | 17 ^h - 03 ^h | +52 (21 ^h) |
| | 31 | 3 18,8 | + | 15 52 | 1,334 | 2,123 | 132 | 15 | 17 ^h - 03 ^h | +55 (20 ^h) |
| Janv. | 10 | 3 18,9 | + | 18 23 | 1,428 | 2,128 | 123 | 15 | 17 ^h - 02 ^h | +58 (20 ^h) |

323P/SOHO

| | | | | | | | | | | |
|-------|----|---------|---|-------|-------|-------|----|----|-----------------------------------|------------------------|
| Févr. | 24 | 21 24,9 | - | 19 18 | 0,309 | 0,703 | 18 | 16 | 19 ^h - 05 ^h | +43 (00 ^h) |
| Mars | 6 | 22 50,6 | - | 9 14 | 0,591 | 0,407 | 5 | 15 | 19 ^h - 01 ^h | +53 (19 ^h) |
| Maart | 16 | 0 06,7 | + | 1 25 | 1,035 | 0,128 | 7 | 11 | 19 ^h - 20 ^h | +23 (19 ^h) |

C/2017 K2 (PANSTARRS)

| | | | | | | | | | | |
|-------|----|--------|---|-------|-------|-------|-----|----|-----------------------------------|------------------------|
| Déc. | 26 | 5 48,1 | + | 21 03 | 6,612 | 7,588 | 173 | 14 | 17 ^h - 06 ^h | +60 (23 ^h) |
| Janv. | 5 | 5 41,9 | + | 21 24 | 6,728 | 7,665 | 161 | 14 | 17 ^h - 05 ^h | +61 (22 ^h) |
| Jan. | 15 | 5 36,3 | + | 21 43 | 6,877 | 7,742 | 150 | 15 | 17 ^h - 04 ^h | +61 (22 ^h) |
| | 25 | 5 31,5 | + | 22 02 | 7,054 | 7,818 | 139 | 15 | 18 ^h - 04 ^h | +61 (21 ^h) |
| Févr. | 4 | 5 27,5 | + | 22 21 | 7,257 | 7,895 | 127 | 15 | 18 ^h - 03 ^h | +62 (20 ^h) |
| Febr. | 14 | 5 24,6 | + | 22 38 | 7,479 | 7,970 | 117 | 15 | 18 ^h - 02 ^h | +62 (20 ^h) |
| | 24 | 5 22,7 | + | 22 56 | 7,714 | 8,046 | 106 | 15 | 18 ^h - 02 ^h | +62 (19 ^h) |
| Mars | 6 | 5 21,9 | + | 23 13 | 7,959 | 8,121 | 96 | 15 | 19 ^h - 01 ^h | +62 (19 ^h) |
| Maart | 16 | 5 22,0 | + | 23 30 | 8,206 | 8,197 | 86 | 15 | 19 ^h - 00 ^h | +58 (19 ^h) |
| | 26 | 5 22,9 | + | 23 46 | 8,451 | 8,271 | 76 | 15 | 19 ^h - 24 ^h | +51 (19 ^h) |
| Avril | 5 | 5 24,6 | + | 24 03 | 8,689 | 8,346 | 67 | 15 | 20 ^h - 23 ^h | +43 (20 ^h) |
| April | 15 | 5 27,1 | + | 24 19 | 8,916 | 8,420 | 58 | 16 | 20 ^h - 23 ^h | +34 (20 ^h) |

| Date — Datum (2024) 2025 (2026) | A 0 ^h , TEMPS UNIVERSEL — Te 0 ^h , WERELDTIJD | | | | | | Visible — Zichtbaar | H (T) |
|--|---|-----------------|---|--|--------|----------------|---------------------------|-------|
| | Asc. droite — Rechte klim. (2000) | Decl. (2000) | Dist. à la Terre — Afst. tot de aarde | Dist. au Soleil — Afst. tot de zon | Elong. | m ₁ | | |
| | h m | o / | UA-AE | UA-AE | o | | | |

Mai 25 5 30,0 + 24 35 9,127 8,495 49 16 20^h - 22^h +26 (20^h)Mai 5 5 33,5 + 24 50 9,321 8,568 40 16 21^h - 21^h +17 (21^h)

C/2021 G2 (ATLAS)

| | | | | | | | | | | |
|-------|----|---------|---|-------|-------|-------|-----|----|-----------------------------------|------------------------|
| Mars | 26 | 15 34,2 | - | 12 42 | 4,504 | 5,209 | 131 | 16 | 23 ^h - 04 ^h | +27 (03 ^h) |
| Avril | 5 | 15 32,6 | - | 11 24 | 4,417 | 5,232 | 141 | 16 | 22 ^h - 04 ^h | +28 (02 ^h) |
| April | 15 | 15 29,8 | - | 10 02 | 4,355 | 5,255 | 151 | 16 | 22 ^h - 04 ^h | +29 (02 ^h) |
| | 25 | 15 26,3 | - | 8 38 | 4,320 | 5,280 | 161 | 16 | 21 ^h - 03 ^h | +31 (01 ^h) |

Mai 5 15 22,3 - 7 16 4,316 5,306 168 16 21^h - 03^h +32 (00^h)

C/2021 S3 (PANSTARRS)

| | | | | | | | | | | |
|-------|----|---------|---|-------|-------|-------|----|----|---|------------------------|
| Déc. | 26 | 21 12,4 | + | 31 40 | 4,424 | 4,173 | 69 | 15 | 17 ^h - 22 ^h | +57 (17 ^h) |
| Janv. | 5 | 21 25,0 | + | 31 13 | 4,615 | 4,271 | 64 | 15 | 17 ^h - 22 ^h | +51 (17 ^h) |
| Jan. | 15 | 21 37,3 | + | 30 59 | 4,800 | 4,368 | 59 | 15 | { 17 ^h - 21 ^h } { 06 ^h - 06 ^h } | +45 (17 ^h) |
| | 25 | 21 49,4 | + | 30 58 | 4,979 | 4,465 | 54 | 16 | { 18 ^h - 21 ^h } { 06 ^h - 06 ^h } | +38 (18 ^h) |
| Févr. | 4 | 22 01,3 | + | 31 07 | 5,147 | 4,561 | 49 | 16 | { 18 ^h - 20 ^h } { 05 ^h - 06 ^h } | +32 (18 ^h) |
| Febr. | 14 | 22 12,7 | + | 31 26 | 5,304 | 4,657 | 45 | 16 | { 18 ^h - 20 ^h } { 05 ^h - 06 ^h } | +25 (18 ^h) |

C/2022 E2 (ATLAS)

| | | | | | | | | | | |
|-------|----|--------|---|-------|-------|-------|-----|----|---|------------------------|
| Déc. | 26 | 2 36,3 | + | 64 56 | 3,125 | 3,780 | 125 | 13 | 17 ^h - 06 ^h | +76 (20 ^h) |
| Janv. | 5 | 2 05,7 | + | 61 59 | 3,252 | 3,803 | 117 | 13 | 17 ^h - 06 ^h | +79 (19 ^h) |
| Jan. | 15 | 1 46,2 | + | 59 00 | 3,408 | 3,828 | 108 | 14 | 17 ^h - 06 ^h | +82 (18 ^h) |
| | 25 | 1 34,4 | + | 56 16 | 3,584 | 3,854 | 99 | 14 | 18 ^h - 06 ^h | +82 (18 ^h) |
| Févr. | 4 | 1 27,9 | + | 53 55 | 3,772 | 3,882 | 89 | 14 | 18 ^h - 06 ^h | +75 (18 ^h) |
| Febr. | 14 | 1 25,1 | + | 52 00 | 3,963 | 3,912 | 80 | 14 | 18 ^h - 06 ^h | +66 (18 ^h) |
| | 24 | 1 24,7 | + | 50 31 | 4,150 | 3,944 | 71 | 14 | 18 ^h - 05 ^h | +57 (18 ^h) |
| Mars | 6 | 1 26,1 | + | 49 24 | 4,328 | 3,977 | 63 | 14 | 19 ^h - 05 ^h | +48 (19 ^h) |
| Maart | 16 | 1 28,6 | + | 48 37 | 4,492 | 4,012 | 56 | 14 | { 19 ^h - 01 ^h } { 02 ^h - 05 ^h } | +41 (19 ^h) |
| | 26 | 1 31,8 | + | 48 09 | 4,638 | 4,049 | 49 | 14 | { 19 ^h - 24 ^h } { 02 ^h - 04 ^h } | +33 (19 ^h) |

| Date — Datum (2024) 2025 (2026) | A 0 ^h , TEMPS UNIVERSEL — Te 0 ^h , WERELDTIJD | | | | | | Visible — Zichtbaar | H (T) | |
|--|---|-----------------|---|--|--------|----------------|--|--|------------------------|
| | Asc. droite — Rechte klim. (2000) | Decl. (2000) | Dist. à la Terre — Afst. tot de aarde | Dist. au Soleil — Afst. tot de zon | Elong. | m ₁ | | | |
| | h m | o / | UA-AE | UA-AE | o | | | | |
| Avril 5 | 1 35,5 | + 47 56 | 4,763 | 4,087 | 43 | 14 | { 20 ^h – 23 ^h 02 ^h – 04 ^h } | +27 (20 ^h) | |
| April 15 | 1 39,4 | + 47 56 | 4,866 | 4,126 | 38 | 15 | { 20 ^h – 23 ^h 01 ^h – 04 ^h } | +21 (20 ^h) | |
| | 25 | 1 43,1 | + 48 09 | 4,944 | 4,167 | 36 | 15 | { 20 ^h – 22 ^h 00 ^h – 03 ^h } | +21 (03 ^h) |
| Mai 5 | 1 46,6 | + 48 32 | 4,998 | 4,209 | 35 | 15 | { 21 ^h – 22 ^h 24 ^h – 03 ^h } | +22 (03 ^h) | |
| Mei 15 | 1 49,6 | + 49 05 | 5,027 | 4,252 | 36 | 15 | { 21 ^h – 22 ^h 22 ^h – 02 ^h } | +24 (02 ^h) | |
| Juin 4 | 1 51,9 | + 49 45 | 5,032 | 4,296 | 39 | 15 | 21 ^h – 02 ^h | +26 (02 ^h) | |
| Juni 14 | 1 53,2 | + 50 33 | 5,014 | 4,342 | 44 | 15 | 22 ^h – 02 ^h | +29 (02 ^h) | |
| | 24 | 1 53,2 | + 51 27 | 4,975 | 4,388 | 50 | 15 | 22 ^h – 02 ^h | +33 (02 ^h) |
| Juill. 4 | 1 48,0 | + 53 26 | 4,844 | 4,484 | 64 | 15 | 22 ^h – 02 ^h | +46 (02 ^h) | |
| Juli 14 | 1 42,1 | + 54 26 | 4,759 | 4,534 | 71 | 15 | 22 ^h – 02 ^h | +55 (02 ^h) | |
| | 24 | 1 33,3 | + 55 24 | 4,666 | 4,584 | 79 | 15 | 21 ^h – 02 ^h | +65 (02 ^h) |
| Août 3 | 1 21,4 | + 56 14 | 4,571 | 4,636 | 87 | 15 | 21 ^h – 03 ^h | +75 (03 ^h) | |
| Aug. 13 | 1 06,2 | + 56 50 | 4,479 | 4,688 | 96 | 15 | 21 ^h – 03 ^h | +83 (03 ^h) | |
| | 23 | 0 47,8 | + 57 05 | 4,396 | 4,741 | 104 | 15 | 20 ^h – 03 ^h | +84 (02 ^h) |
| Sept. 2 | 0 27,1 | + 56 52 | 4,328 | 4,794 | 112 | 15 | 20 ^h – 04 ^h | +84 (01 ^h) | |
| Sept. 12 | 0 05,2 | + 56 05 | 4,281 | 4,848 | 119 | 15 | 19 ^h – 04 ^h | +85 (00 ^h) | |
| | 22 | 23 43,5 | + 54 44 | 4,261 | 4,903 | 125 | 15 | 19 ^h – 04 ^h | +86 (23 ^h) |
| Oct. 2 | 23 23,7 | + 52 49 | 4,272 | 4,959 | 129 | 15 | 19 ^h – 05 ^h | +88 (22 ^h) | |
| Okt. 12 | 23 06,6 | + 50 29 | 4,316 | 5,015 | 130 | 15 | 18 ^h – 05 ^h | +90 (21 ^h) | |
| | 22 | 22 52,8 | + 47 52 | 4,393 | 5,071 | 128 | 15 | 18 ^h – 05 ^h | +87 (21 ^h) |
| Nov. 1 | 22 42,3 | + 45 07 | 4,504 | 5,128 | 124 | 15 | 18 ^h – 05 ^h | +84 (20 ^h) | |
| Nov. 11 | 22 34,9 | + 42 25 | 4,644 | 5,186 | 118 | 16 | 17 ^h – 04 ^h | +82 (19 ^h) | |
| | 21 | 22 30,2 | + 39 50 | 4,809 | 5,244 | 111 | 16 | 17 ^h – 03 ^h | +79 (18 ^h) |
| Déc. 1 | 22 27,7 | + 37 29 | 4,993 | 5,303 | 103 | 16 | 17 ^h – 02 ^h | +77 (18 ^h) | |
| Dec. 11 | 22 27,0 | + 35 24 | 5,191 | 5,361 | 95 | 16 | 17 ^h – 01 ^h | +75 (17 ^h) | |
| C/2022 N2 (PANSTARRS) | | | | | | | | | |
| Déc. 26 | 22 59,0 | – 3 03 | 4,498 | 4,271 | 71 | 16 | 17 ^h – 21 ^h | +35 (17 ^h) | |
| Janv. 5 | 23 07,0 | – 2 12 | 4,598 | 4,234 | 62 | 16 | 17 ^h – 21 ^h | +34 (17 ^h) | |
| Jan. 15 | 23 15,8 | – 1 16 | 4,689 | 4,198 | 55 | 16 | 17 ^h – 20 ^h | +32 (17 ^h) | |
| | 25 | 23 25,3 | – 0 13 | 4,770 | 4,163 | 47 | 16 | 18 ^h – 20 ^h | +28 (18 ^h) |

| Date — Datum (2024) 2025 (2026) | A 0 ^h , TEMPS UNIVERSEL — Te 0 ^h , WERELDTIJD | | | | | | Visible — Zichtbaar | H (T) | |
|--|---|-----------------|---|--|--------|----------------|-----------------------------------|-----------------------------------|------------------------|
| | Asc. droite — Rechte klim. (2000) | Decl. (2000) | Dist. à la Terre — Afst. tot de aarde | Dist. au Soleil — Afst. tot de zon | Elong. | m ₁ | | | |
| | h m | o / | UA-AE | UA-AE | o | | | | |
| Févr. 4 | 23 35,5 | + 0 54 | 4,839 | 4,130 | 40 | 16 | 18 ^h – 19 ^h | +23 (18 ^h) | |
| Febr. 14 | 23 46,3 | + 2 06 | 4,895 | 4,098 | 33 | 16 | 18 ^h – 19 ^h | +18 (18 ^h) | |
| | 24 | 23 57,5 | + 3 21 | 4,937 | 4,068 | 26 | 16 | 18 ^h – 19 ^h | +12 (18 ^h) |
| Juin 24 | 2 25,0 | + 19 07 | 4,375 | 3,840 | 52 | 15 | 01 ^h – 02 ^h | +11 (02 ^h) | |
| Juill. 4 | 2 36,4 | + 20 12 | 4,256 | 3,833 | 59 | 15 | 01 ^h – 02 ^h | +18 (02 ^h) | |
| Juli 14 | 2 47,3 | + 21 12 | 4,132 | 3,829 | 66 | 15 | 00 ^h – 02 ^h | +25 (02 ^h) | |
| | 24 | 2 57,6 | + 22 09 | 4,002 | 3,826 | 73 | 15 | 24 ^h – 02 ^h | +34 (02 ^h) |
| Août 3 | 3 06,9 | + 23 00 | 3,870 | 3,825 | 80 | 15 | 23 ^h – 03 ^h | +42 (03 ^h) | |
| Aug. 13 | 3 15,3 | + 23 47 | 3,736 | 3,827 | 87 | 15 | 23 ^h – 03 ^h | +51 (03 ^h) | |
| | 23 | 3 22,5 | + 24 29 | 3,603 | 3,830 | 95 | 15 | 22 ^h – 03 ^h | +58 (03 ^h) |
| Sept. 2 | 3 28,4 | + 25 05 | 3,474 | 3,836 | 103 | 14 | 21 ^h – 04 ^h | +63 (04 ^h) | |
| Sept. 12 | 3 32,7 | + 25 36 | 3,352 | 3,843 | 112 | 14 | 21 ^h – 04 ^h | +65 (04 ^h) | |
| | 22 | 3 35,4 | + 26 00 | 3,239 | 3,853 | 121 | 14 | 20 ^h – 04 ^h | +65 (03 ^h) |
| Oct. 2 | 3 36,3 | + 26 18 | 3,140 | 3,864 | 130 | 14 | 19 ^h – 05 ^h | +66 (03 ^h) | |
| Okt. 12 | 3 35,6 | + 26 29 | 3,058 | 3,878 | 140 | 14 | 19 ^h – 05 ^h | +66 (02 ^h) | |
| | 22 | 3 33,3 | + 26 33 | 2,997 | 3,893 | 150 | 14 | 18 ^h – 05 ^h | +66 (01 ^h) |
| Nov. 1 | 3 29,9 | + 26 28 | 2,961 | 3,910 | 161 | 14 | 18 ^h – 05 ^h | +66 (01 ^h) | |
| Nov. 11 | 3 25,7 | + 26 17 | 2,951 | 3,929 | 170 | 14 | 17 ^h – 06 ^h | +65 (00 ^h) | |
| | 21 | 3 21,3 | + 26 00 | 2,970 | 3,950 | 172 | 14 | 17 ^h – 06 ^h | +65 (23 ^h) |
| Déc. 1 | 3 17,3 | + 25 39 | 3,018 | 3,973 | 163 | 14 | 17 ^h – 05 ^h | +65 (22 ^h) | |
| Dec. 11 | 3 14,1 | + 25 17 | 3,094 | 3,997 | 153 | 14 | 17 ^h – 05 ^h | +64 (22 ^h) | |
| | 21 | 3 12,3 | + 24 56 | 3,195 | 4,023 | 143 | 15 | 17 ^h – 04 ^h | +64 (21 ^h) |
| Janv. 31 | 3 11,9 | + 24 39 | 3,319 | 4,051 | 133 | 15 | 17 ^h – 03 ^h | +64 (20 ^h) | |
| Janv. 10 | 3 13,1 | + 24 27 | 3,463 | 4,081 | 123 | 15 | 17 ^h – 03 ^h | +64 (20 ^h) | |
| C/2022 QE78 (ATLAS) | | | | | | | | | |
| Déc. 1 | 9 25,6 | + 21 28 | 5,068 | 5,507 | 112 | 16 | 22 ^h – 06 ^h | +61 (04 ^h) | |
| Dec. 11 | 9 26,9 | + 22 18 | 4,936 | 5,515 | 122 | 16 | 21 ^h – 06 ^h | +62 (04 ^h) | |
| | 21 | 9 26,9 | + 23 14 | 4,820 | 5,525 | 132 | 16 | 20 ^h – 06 ^h | +62 (03 ^h) |
| Janv. 31 | 9 25,8 | + 24 17 | 4,725 | 5,535 | 142 | 16 | 20 ^h – 06 ^h | +64 (02 ^h) | |
| Janv. 10 | 9 23,7 | + 25 23 | 4,656 | 5,546 | 152 | 16 | 19 ^h – 06 ^h | +65 (02 ^h) | |
| C/2023 A3 | | | | | | | | | |
| Déc. 26 | 19 35,9 | + 5 52 | 2,606 | 1,884 | 35 | 12 | 17 ^h – 18 ^h | +22 (17 ^h) | |
| Janv. 5 | 19 45,2 | + 6 40 | 2,817 | 2,039 | 31 | 13 | 17 ^h – 18 ^h | +17 (17 ^h) | |
| Jan. 15 | 19 53,7 | + 7 37 | 3,000 | 2,190 | 29 | 13 | 17 ^h – 18 ^h | +11 (17 ^h) | |

| Date — Datum (2024) 2025 (2026) | A 0 ^h , TEMPS UNIVERSEL — Te 0 ^h , WERELDTIJD | | | | | | | Visible — Zichtbaar | H (T) |
|--|---|-----------------|---|--|--------|----------------|-----------------------------------|---------------------------|-------|
| | Asc. droite — Rechte klim. (2000) | Decl. (2000) | Dist. à la Terre — Afst. tot de aarde | Dist. au Soleil — Afst. tot de zon | Elong. | m ₁ | | | |
| | h m | o / | UA-AE | UA-AE | o | | | | |
| Févr. 25 | 20 01,3 | + 8 41 | 3,154 | 2,337 | 29 | 13 | 06 ^h – 06 ^h | +14 (06 ^h) | |
| 4 | 20 08,1 | + 9 53 | 3,280 | 2,480 | 30 | 14 | 05 ^h – 06 ^h | +18 (06 ^h) | |
| Febr. 14 | 20 14,0 | + 11 13 | 3,380 | 2,621 | 34 | 14 | 04 ^h – 06 ^h | +22 (06 ^h) | |
| 24 | 20 18,8 | + 12 39 | 3,454 | 2,758 | 39 | 14 | 04 ^h – 05 ^h | +26 (05 ^h) | |
| Mars 6 | 20 22,6 | + 14 12 | 3,505 | 2,892 | 45 | 14 | 03 ^h – 05 ^h | +29 (05 ^h) | |
| Maaart 16 | 20 25,0 | + 15 50 | 3,534 | 3,024 | 52 | 15 | 02 ^h – 05 ^h | +33 (05 ^h) | |
| 26 | 20 26,0 | + 17 33 | 3,545 | 3,153 | 59 | 15 | 02 ^h – 04 ^h | +36 (04 ^h) | |
| Avril 5 | 20 25,3 | + 19 20 | 3,541 | 3,280 | 67 | 15 | 01 ^h – 04 ^h | +40 (04 ^h) | |
| April 15 | 20 22,7 | + 21 07 | 3,527 | 3,406 | 75 | 15 | 24 ^h – 04 ^h | +44 (04 ^h) | |
| 25 | 20 18,2 | + 22 53 | 3,506 | 3,529 | 83 | 15 | 23 ^h – 03 ^h | +48 (03 ^h) | |
| Mai 5 | 20 11,4 | + 24 35 | 3,485 | 3,650 | 91 | 15 | 22 ^h – 03 ^h | +53 (03 ^h) | |
| Mei 15 | 20 02,4 | + 26 06 | 3,469 | 3,769 | 100 | 15 | 21 ^h – 02 ^h | +57 (02 ^h) | |
| 25 | 19 51,3 | + 27 24 | 3,463 | 3,887 | 107 | 15 | 21 ^h – 02 ^h | +62 (02 ^h) | |
| Juin 4 | 19 38,2 | + 28 22 | 3,473 | 4,003 | 115 | 16 | 22 ^h – 02 ^h | +66 (02 ^h) | |
| Juni 14 | 19 23,9 | + 28 55 | 3,503 | 4,118 | 121 | 16 | 22 ^h – 02 ^h | +68 (02 ^h) | |
| 24 | 19 08,8 | + 29 02 | 3,557 | 4,232 | 126 | 16 | 22 ^h – 02 ^h | +68 (01 ^h) | |
| Juill. 4 | 18 53,9 | + 28 42 | 3,639 | 4,344 | 128 | 16 | 22 ^h – 02 ^h | +68 (00 ^h) | |
| C/2023 C2 | | | | | | | | | |
| Mars 6 | 21 49,5 | + 7 20 | 3,542 | 2,658 | 23 | 14 | 05 ^h – 05 ^h | +10 (05 ^h) | |
| Maart 16 | 22 03,3 | + 10 34 | 3,550 | 2,709 | 28 | 14 | 04 ^h – 05 ^h | +13 (05 ^h) | |
| 26 | 22 16,7 | + 13 51 | 3,552 | 2,763 | 33 | 14 | 04 ^h – 04 ^h | +16 (04 ^h) | |
| Avril 5 | 22 29,4 | + 17 10 | 3,548 | 2,820 | 37 | 14 | 03 ^h – 04 ^h | +19 (04 ^h) | |
| April 15 | 22 41,6 | + 20 31 | 3,538 | 2,879 | 43 | 14 | 02 ^h – 04 ^h | +22 (04 ^h) | |
| 25 | 22 53,0 | + 23 52 | 3,523 | 2,940 | 48 | 14 | 01 ^h – 03 ^h | +25 (03 ^h) | |
| Mai 5 | 23 03,6 | + 27 15 | 3,504 | 3,004 | 53 | 14 | 01 ^h – 03 ^h | +28 (03 ^h) | |
| Mei 15 | 23 13,4 | + 30 37 | 3,482 | 3,069 | 58 | 15 | 24 ^h – 02 ^h | +32 (02 ^h) | |
| 25 | 23 22,0 | + 33 57 | 3,458 | 3,136 | 63 | 15 | 23 ^h – 02 ^h | +35 (02 ^h) | |
| Juin 4 | 23 29,5 | + 37 15 | 3,433 | 3,205 | 69 | 15 | 22 ^h – 02 ^h | +40 (02 ^h) | |
| Juni 14 | 23 35,5 | + 40 28 | 3,407 | 3,275 | 74 | 15 | 22 ^h – 02 ^h | +46 (02 ^h) | |
| 24 | 23 39,8 | + 43 36 | 3,382 | 3,346 | 79 | 15 | 22 ^h – 02 ^h | +53 (02 ^h) | |
| Juill. 4 | 23 42,2 | + 46 35 | 3,360 | 3,419 | 85 | 15 | 22 ^h – 02 ^h | +62 (02 ^h) | |
| Juli 14 | 23 42,3 | + 49 22 | 3,341 | 3,492 | 90 | 15 | 22 ^h – 02 ^h | +71 (02 ^h) | |
| 24 | 23 39,8 | + 51 55 | 3,327 | 3,566 | 95 | 15 | 21 ^h – 02 ^h | +81 (02 ^h) | |
| Août. 3 | 23 34,6 | + 54 09 | 3,320 | 3,641 | 100 | 15 | 21 ^h – 03 ^h | +87 (02 ^h) | |
| 13 | 23 26,7 | + 56 00 | 3,321 | 3,717 | 105 | 15 | 21 ^h – 03 ^h | +85 (02 ^h) | |
| 23 | 23 16,4 | + 57 23 | 3,332 | 3,793 | 110 | 15 | 20 ^h – 03 ^h | +83 (01 ^h) | |

| Date — Datum (2024) 2025 (2026) | A 0 ^h , TEMPS UNIVERSEL — Te 0 ^h , WERELDTIJD | | | | | | | Visible — Zichtbaar | H (T) |
|--|---|-----------------|---|--|--------|----------------|-----------------------------------|---------------------------|-------|
| | Asc. droite — Rechte klim. (2000) | Decl. (2000) | Dist. à la Terre — Afst. tot de aarde | Dist. au Soleil — Afst. tot de zon | Elong. | m ₁ | | | |
| | h m | o / | UA-AE | UA-AE | o | | | | |
| Sept. 2 | 23 04,5 | + 58 16 | 3,354 | 3,870 | 114 | 16 | 20 ^h – 04 ^h | +83 (00 ^h) | |
| Sept. 12 | 22 52,2 | + 58 37 | 3,389 | 3,947 | 117 | 16 | 19 ^h – 04 ^h | +82 (23 ^h) | |
| 22 | 22 40,4 | + 58 29 | 3,438 | 4,025 | 119 | 16 | 19 ^h – 04 ^h | +82 (22 ^h) | |
| Oct. 2 | 22 30,5 | + 57 54 | 3,502 | 4,103 | 121 | 16 | 19 ^h – 05 ^h | +83 (22 ^h) | |
| C/2023 Q1 | | | | | | | | | |
| Déc. 26 | 8 41,3 | + 75 33 | 1,899 | 2,590 | 125 | 16 | 17 ^h – 06 ^h | +65 (02 ^h) | |
| Janv. 5 | 8 29,8 | + 75 46 | 1,903 | 2,603 | 126 | 16 | 17 ^h – 06 ^h | +65 (01 ^h) | |
| Jan. 15 | 8 14,1 | + 75 18 | 1,921 | 2,620 | 126 | 16 | 17 ^h – 06 ^h | +66 (00 ^h) | |
| 25 | 7 59,0 | + 74 06 | 1,954 | 2,642 | 125 | 16 | 18 ^h – 06 ^h | +67 (23 ^h) | |
| Févr. 4 | 7 48,2 | + 72 13 | 2,002 | 2,668 | 123 | 16 | 18 ^h – 06 ^h | +69 (23 ^h) | |
| Febr. 14 | 7 43,2 | + 69 49 | 2,065 | 2,697 | 120 | 16 | 18 ^h – 06 ^h | +71 (22 ^h) | |
| C/2023 R1 | | | | | | | | | |
| Juin 4 | 22 26,1 | + 23 43 | 4,494 | 4,533 | 86 | 16 | 22 ^h – 02 ^h | +41 (02 ^h) | |
| Juni 14 | 22 19,1 | + 24 29 | 4,276 | 4,481 | 95 | 16 | 22 ^h – 02 ^h | +47 (02 ^h) | |
| 24 | 22 09,7 | + 25 05 | 4,065 | 4,429 | 105 | 16 | 22 ^h – 02 ^h | +54 (02 ^h) | |
| Juill. 4 | 21 57,8 | + 25 27 | 3,867 | 4,379 | 114 | 15 | 22 ^h – 02 ^h | +62 (02 ^h) | |
| Juli 14 | 21 43,3 | + 25 30 | 3,689 | 4,329 | 123 | 15 | 22 ^h – 02 ^h | +65 (02 ^h) | |
| 24 | 21 26,5 | + 25 09 | 3,539 | 4,281 | 132 | 15 | 21 ^h – 02 ^h | +64 (01 ^h) | |
| Août. 3 | 21 07,9 | + 24 19 | 3,425 | 4,233 | 138 | 15 | 21 ^h – 03 ^h | +64 (00 ^h) | |
| Aug. 13 | 20 48,5 | + 22 57 | 3,352 | 4,187 | 141 | 15 | 21 ^h – 03 ^h | +62 (23 ^h) | |
| 23 | 20 29,4 | + 21 06 | 3,321 | 4,142 | 139 | 15 | 20 ^h – 03 ^h | +60 (22 ^h) | |
| Sept. 2 | 20 11,5 | + 18 52 | 3,335 | 4,098 | 134 | 15 | 20 ^h – 04 ^h | +58 (21 ^h) | |
| Sept. 12 | 19 55,6 | + 16 24 | 3,389 | 4,056 | 125 | 15 | 19 ^h – 02 ^h | +56 (20 ^h) | |
| 22 | 19 42,4 | + 13 51 | 3,477 | 4,015 | 116 | 15 | 19 ^h – 01 ^h | +53 (19 ^h) | |
| Oct. 2 | 19 31,8 | + 11 22 | 3,591 | 3,975 | 105 | 15 | 19 ^h – 00 ^h | +51 (19 ^h) | |
| Okt. 12 | 19 23,8 | + 9 01 | 3,724 | 3,937 | 95 | 15 | 18 ^h – 23 ^h | +48 (18 ^h) | |
| 22 | 19 18,2 | + 6 54 | 3,866 | 3,900 | 85 | 15 | 18 ^h – 22 ^h | +45 (18 ^h) | |
| Nov. 1 | 19 14,8 | + 5 00 | 4,010 | 3,865 | 75 | 15 | 18 ^h – 22 ^h | +42 (18 ^h) | |
| Nov. 11 | 19 13,0 | + 3 20 | 4,148 | 3,832 | 65 | 15 | 17 ^h – 21 ^h | +38 (17 ^h) | |
| 21 | 19 12,7 | + 1 55 | 4,275 | 3,800 | 55 | 15 | 17 ^h – 20 ^h | +34 (17 ^h) | |
| Déc. 1 | 19 13,6 | + 0 42 | 4,384 | 3,770 | 46 | 15 | 17 ^h – 19 ^h | +29 (17 ^h) | |
| Dec. 11 | 19 15,4 | – 0 19 | 4,473 | 3,742 | 38 | 15 | 17 ^h – 19 ^h | +24 (17 ^h) | |
| 21 | 19 17,8 | – 1 09 | 4,537 | 3,716 | 30 | 15 | 17 ^h – 18 ^h | +18 (17 ^h) | |
| 31 | 19 20,7 | – 1 49 | 4,573 | 3,692 | 24 | 15 | 17 ^h – 17 ^h | +11 (17 ^h) | |

| Date — Datum (2024) 2025 (2026) | A 0 ^h , TEMPS UNIVERSEL — Te 0 ^h , WERELDTIJD | | | | | | | Visible — Zichtbaar | H (T) | |
|--|---|-----------------|---|--|--------|----------------|-----------------------------------|-----------------------------------|------------------------|--|
| | Asc. droite — Rechte klim. (2000) | Decl. (2000) | Dist. à la Terre — Afst. tot de aarde | Dist. au Soleil — Afst. tot de zon | Elong. | m ₁ | | | | |
| | h m | o / | UA-AE | UA-AE | o | | | | | |
| | | | | | | | | | | |
| C/2024 A1 | | | | | | | | | | |
| Déc. 26 | 7 42,2 | - 24 27 | 3,467 | 4,147 | 128 | 16 | 23 ^h - 03 ^h | +15 (01 ^h) | | |
| Janv. 5 | 7 30,6 | - 22 45 | 3,371 | 4,117 | 134 | 16 | 22 ^h - 03 ^h | +16 (00 ^h) | | |
| Jan. 15 | 7 18,5 | - 20 33 | 3,307 | 4,089 | 138 | 16 | 21 ^h - 02 ^h | +19 (23 ^h) | | |
| | 25 | 7 06,7 | - 17 53 | 3,277 | 4,062 | 138 | 16 | 19 ^h - 02 ^h | +21 (23 ^h) | |
| Févr. 4 | 6 55,9 | - 14 51 | 3,284 | 4,037 | 135 | 16 | 18 ^h - 01 ^h | +24 (22 ^h) | | |
| Febr. 14 | 6 46,7 | - 11 36 | 3,326 | 4,013 | 128 | 16 | 18 ^h - 01 ^h | +28 (21 ^h) | | |
| | 24 | 6 39,5 | - 8 15 | 3,400 | 3,992 | 120 | 16 | 18 ^h - 00 ^h | +31 (20 ^h) | |
| Mars 6 | 6 34,3 | - 4 57 | 3,502 | 3,972 | 111 | 16 | 19 ^h - 24 ^h | +34 (19 ^h) | | |
| Maart 16 | 6 31,2 | - 1 48 | 3,625 | 3,954 | 102 | 16 | 19 ^h - 23 ^h | +37 (19 ^h) | | |
| | 26 | 6 30,1 | + 1 09 | 3,763 | 3,937 | 93 | 16 | 19 ^h - 23 ^h | +38 (19 ^h) | |
| Avril 5 | 6 30,8 | + 3 53 | 3,909 | 3,923 | 83 | 16 | 20 ^h - 23 ^h | +35 (20 ^h) | | |
| Déc. 1 | 8 51,9 | + 45 56 | 3,542 | 4,149 | 122 | 16 | 18 ^h - 06 ^h | +85 (04 ^h) | | |
| Dec. 11 | 8 45,4 | + 49 16 | 3,471 | 4,181 | 131 | 16 | 17 ^h - 06 ^h | +89 (03 ^h) | | |
| | 21 | 8 35,3 | + 52 34 | 3,430 | 4,214 | 138 | 16 | 17 ^h - 06 ^h | +88 (02 ^h) | |
| C/2024 E1 | | | | | | | | | | |
| Mai 5 | 18 18,8 | + 54 49 | 3,767 | 4,003 | 96 | 16 | 21 ^h - 03 ^h | +84 (03 ^h) | | |
| Mei 15 | 18 09,4 | + 56 17 | 3,626 | 3,889 | 98 | 16 | 21 ^h - 02 ^h | +85 (02 ^h) | | |
| | 25 | 17 56,4 | + 57 25 | 3,491 | 3,775 | 98 | 16 | 21 ^h - 02 ^h | +83 (01 ^h) | |
| Juin 4 | 17 40,2 | + 58 07 | 3,364 | 3,658 | 99 | 15 | 22 ^h - 02 ^h | +83 (01 ^h) | | |
| Juni 14 | 17 21,5 | + 58 14 | 3,245 | 3,541 | 99 | 15 | 22 ^h - 02 ^h | +83 (00 ^h) | | |
| | 24 | 17 01,8 | + 57 40 | 3,134 | 3,421 | 98 | 15 | 22 ^h - 02 ^h | +83 (23 ^h) | |
| Juill. 4 | 16 42,8 | + 56 21 | 3,033 | 3,300 | 96 | 15 | 22 ^h - 02 ^h | +84 (22 ^h) | | |
| Juli 14 | 16 26,0 | + 54 20 | 2,940 | 3,178 | 94 | 14 | 22 ^h - 02 ^h | +81 (22 ^h) | | |
| | 24 | 16 12,6 | + 51 39 | 2,855 | 3,053 | 91 | 14 | 21 ^h - 02 ^h | +76 (21 ^h) | |
| Août 3 | 16 02,8 | + 48 24 | 2,779 | 2,926 | 88 | 14 | 21 ^h - 03 ^h | +71 (21 ^h) | | |
| Aug. 13 | 15 56,9 | + 44 43 | 2,710 | 2,797 | 84 | 14 | 21 ^h - 03 ^h | +66 (21 ^h) | | |
| | 23 | 15 54,4 | + 40 41 | 2,648 | 2,666 | 80 | 13 | 20 ^h - 02 ^h | +61 (20 ^h) | |
| Sept. 2 | 15 55,1 | + 36 23 | 2,591 | 2,533 | 75 | 13 | 20 ^h - 01 ^h | +56 (20 ^h) | | |
| Sept. 12 | 15 58,4 | + 31 54 | 2,538 | 2,397 | 70 | 13 | 19 ^h - 00 ^h | +52 (19 ^h) | | |
| | 22 | 16 04,3 | + 27 18 | 2,487 | 2,258 | 65 | 12 | 19 ^h - 23 ^h | +47 (19 ^h) | |
| Oct. 2 | 16 12,3 | + 22 36 | 2,437 | 2,117 | 60 | 12 | 19 ^h - 22 ^h | +42 (19 ^h) | | |
| Okt. 12 | 16 22,2 | + 17 52 | 2,386 | 1,972 | 54 | 12 | 18 ^h - 21 ^h | +38 (18 ^h) | | |
| | 22 | 16 34,0 | + 13 04 | 2,331 | 1,824 | 48 | 11 | 18 ^h - 20 ^h | +33 (18 ^h) | |

| Date — Datum (2024) 2025 (2026) | A 0 ^h , TEMPS UNIVERSEL — Te 0 ^h , WERELDTIJD | | | | | | | Visible — Zichtbaar | H (T) | |
|--|---|-----------------|---|--|--------|----------------|-----------------------------------|-----------------------------------|------------------------|--|
| | Asc. droite — Rechte klim. (2000) | Decl. (2000) | Dist. à la Terre — Afst. tot de aarde | Dist. au Soleil — Afst. tot de zon | Elong. | m ₁ | | | | |
| | h m | o / | UA-AE | UA-AE | o | | | | | |
| | | | | | | | | | | |
| P/2010 H2 (Vales) | | | | | | | | | | |
| Déc. 26 | 13 21,6 | + 5 17 | 3,146 | 3,093 | 78 | 13 | 01 ^h - 06 ^h | +44 (06 ^h) | | |
| Nov. 11 | 13 02,9 | + 3 17 | 2,206 | 1,518 | 36 | 10 | 01 ^h - 06 ^h | +44 (06 ^h) | | |
| | 21 | 17 20,3 | - 1 48 | 2,132 | 1,360 | 29 | 10 | 00 ^h - 06 ^h | +44 (05 ^h) | |
| Déc. 1 | 17 39,9 | - 7 06 | 2,047 | 1,200 | 23 | 9 | 17 ^h - 17 ^h | +10 (17 ^h) | | |
| P/2010 Y3 (Catalina) | | | | | | | | | | |
| Mars 6 | 3 23,2 | + 26 18 | 0,343 | 0,932 | 70 | 16 | 19 ^h - 23 ^h | +52 (19 ^h) | | |
| Maart 16 | 3 52,5 | + 46 15 | 0,325 | 0,950 | 73 | 16 | 19 ^h - 02 ^h | +60 (19 ^h) | | |

ESSAIMS DE MÉTÉORES

Le tableau de la page 166 donne les principaux essaims qui peuvent être observés à nos latitudes. Ils sont classés par ordre d'apparition au cours de l'année. Pour chaque essaim, le tableau donne la période de visibilité normale, la date du maximum d'activité, la position (ascension droite et déclinaison pour l'équinoxe J2000) du radiant (le point d'où semblent provenir les météores) au moment du maximum d'activité. Pour les essaims qui possèdent une plus longue période de visibilité, la position du radiant est susceptible de se déplacer dans le ciel durant la période de visibilité.

La colonne suivante donne le taux horaire zénithal, qui est le nombre moyen de météores visibles par heure dans l'hypothèse que le radiant se trouve au zénith et que la magnitude limite atteint 6,5 au zénith. Pour obtenir la fréquence effective, il faut diviser le taux zénithal par une quantité qui dépend de la hauteur du radiant et de la magnitude limite. Pour une magnitude limite de 6,5, cette quantité est égale à 1 au zénith puis augmente lentement quand la hauteur passe de 90° à 65° (1,1). L'augmentation s'accélère pour dépasser 2 à une hauteur inférieure à 30°. La correction due à la magnitude limite dépend de l'essaim. Lors d'un ciel dégradé, la correction est plus petite pour un essaim comportant beaucoup de météores brillants que pour un essaim comportant beaucoup de météores sombres.

La colonne suivante donne l'intervalle de temps pendant lequel le radiant est au-dessus de l'horizon en Belgique et le Soleil à plus de 12° sous l'horizon pour la nuit la plus proche du maximum d'activité.

Les deux dernières colonnes donnent des informations sur la Lune à la date du maximum d'activité: l'intervalle de temps pendant lequel la Lune est au-dessus de l'horizon quand le radiant est observable, à nouveau pour la nuit la plus proche du maximum d'activité, ainsi que la fraction illuminée de la Lune à 0^h UT pour cette nuit. Si la Lune n'est pas présente au moment où le radiant est observable, aucune indication n'est donnée.

Source

– International Meteor Organization, <http://www.imo.net/>

METEOORZWERMEN

De tabel op bladzijde 167 geeft de belangrijkste zwermen die op onze breedten kunnen waargenomen worden. Zij zijn gerangschikt in volgorde van hun verschijning in de loop van het jaar. Voor iedere zwerm geeft de tabel de normale zichtbaarheidsperiode, de datum van de maximale activiteit, de positie (rechte klimming en declinatie voor equinox J2000) van de radiant (het punt van waaruit de meteoren schijnen te komen) op het ogenblik van de maximale activiteit. Voor zwermen die een langere zichtbaarheidsperiode hebben, kan de positie van de radiant zich in de loop van de zichtbaarheidsperiode aan de hemel verplaatsen.

De volgende kolom geeft de uurfrequentie in het zenit, dit is het gemiddeld aantal waarneembare meteoren per uur in de veronderstelling dat de radiant zich in het zenit bevindt en de limietmagnitude in het zenit 6,5 bedraagt. Om de werkelijke frequentie te bekomen, moet men de zenithfrequentie delen door een grootheid die afhankelijk is van de hoogte van de radiant en van de limietmagnitude. Bij een limietmagnitude van 6,5 is deze grootheid 1 in het zenit, wordt langzaam groter naarmate de hoogte afneemt van 90° tot 65°(1,1). Daarna gaat de toename sneller om groter dan 2 te worden voor een hoogte kleiner dan 30°. De correctie voor de limietmagnitude is afhankelijk van de zwerm. Bij een slechtere hemel is voor een zwerm die veel heldere meteoren bevat de correctie kleiner dan voor een zwerm met veel zwakke meteoren.

De volgende kolom geeft het tijdsinterval waarin de radiant boven de horizon is in België en de zon meer dan 12° onder de horizon voor de nacht het dichtst bij de maximale activiteit.

De laatste twee kolommen geven informatie over de maan op de dag van het maximum: het tijdsinterval waarin de maan boven de horizon is wanneer de radiant zichtbaar is, weerom voor de nacht het dichtst bij de maximale activiteit, en het maximale verlichte gedeelte van de maan tijdens dit tijdsinterval. Indien de maan niet zichtbaar is wanneer de radiant boven de horizon is, wordt geen tijdsinterval gegeven en geldt het maximale verlichte gedeelte voor 0^h UT.

Bron

– International Meteor Organization, <http://www.imo.net/>

| Essaim | Période de visibilité normale | Au maximum d'activité | | | | | | | | |
|------------------------------------|-------------------------------|------------------------------|----------------|----------|------------------------|-----------------------------------|-----------------------------------|------|------------|-----------------|
| | | Date Jour (Heure UT) | Radiant (2000) | | Taux horaire au zénith | Radiant observable à Uccle (UT) | Lune | | Heure (UT) | Fraction illum. |
| | | | α | δ | | | h | m | o | |
| Quadrantides | déc. 28 – janv. 12 | janv. 03 (15 ^h) | 15 20 | + 49 | 80 | 17 ^h – 07 ^h | 17 ^h – 20 ^h | 0,16 | | |
| Lyrides | avril 14 – avril 30 | avril 22 (14 ^h) | 18 04 | + 34 | 18 | 20 ^h – 03 ^h | -- | 0,29 | | |
| η -Aquarides | avril 19 – mai 28 | mai 06 (03 ^h) | 22 32 | – 01 | 50 | 01 ^h – 03 ^h | 01 ^h – 02 ^h | 0,65 | | |
| γ -Draconides de juillet | juill. 25 – juill. 31 | juill. 28 (07 ^h) | 18 40 | + 51 | 5 | 21 ^h – 03 ^h | -- | 0,11 | | |
| δ -Aquarides S | juill. 12 – août 23 | juill. 31 | 22 40 | – 16 | 25 | 21 ^h – 03 ^h | -- | 0,35 | | |
| α -Capricornides | juill. 03 – août 15 | juill. 31 | 20 28 | – 10 | 5 | 21 ^h – 03 ^h | -- | 0,35 | | |
| Perséides | juill. 17 – août 24 | août 12 (20 ^h) | 03 12 | + 58 | 100 | 21 ^h – 03 ^h | 21 ^h – 03 ^h | 0,84 | | |
| Aurigides | août 28 – sept. 05 | sept. 01 (03 ^h) | 06 04 | + 39 | 6 | 20 ^h – 04 ^h | 20 ^h – 21 ^h | 0,55 | | |
| ϵ -Perséides de septembre | sept. 05 – sept. 21 | sept. 09 (12 ^h) | 03 12 | + 40 | 8 | 19 ^h – 04 ^h | 19 ^h – 04 ^h | 0,98 | | |
| Camélopardalides d'octobre | oct. 05 – oct. 06 | oct. 05 (22 ^h) | 10 56 | + 79 | 5 | 18 ^h – 05 ^h | 18 ^h – 05 ^h | 0,98 | | |
| Draconides | oct. 06 – oct. 10 | oct. 08 (19 ^h) | 17 28 | + 54 | 5 | 18 ^h – 05 ^h | 18 ^h – 05 ^h | 0,95 | | |
| Orionides | oct. 02 – nov. 07 | oct. 21 | 06 20 | + 16 | 20 | 21 ^h – 05 ^h | -- | 0,00 | | |
| Taurides S | sept. 20 – nov. 20 | nov. 05 | 03 28 | + 15 | 7 | 17 ^h – 06 ^h | 17 ^h – 06 ^h | 1,00 | | |
| Taurides N | oct. 20 – déc. 10 | nov. 12 | 03 52 | + 22 | 5 | 17 ^h – 06 ^h | 00 ^h – 06 ^h | 0,40 | | |
| Léonides | nov. 06 – nov. 30 | nov. 17 (18 ^h) | 10 08 | + 22 | 10 | 22 ^h – 06 ^h | -- | 0,04 | | |
| σ -Hydrides | nov. 03 – déc. 20 | déc. 09 | 08 20 | + 02 | 7 | 21 ^h – 06 ^h | 21 ^h – 06 ^h | 0,78 | | |
| Géminalides | déc. 04 – déc. 20 | déc. 14 (08 ^h) | 07 28 | + 33 | 150 | 17 ^h – 06 ^h | 02 ^h – 06 ^h | 0,28 | | |
| Ursides | déc. 17 – déc. 26 | déc. 22 (16 ^h) | 14 28 | + 76 | 10 | 17 ^h – 06 ^h | -- | 0,08 | | |

En gras: les plus importants essaims.

| Zwerm | Normale zichtbaarheidsperiode | Bij maximumactiviteit | | | | | | | | |
|----------------------------------|-------------------------------|-----------------------------|----------------|----------|-----------------------------|-----------------------------------|-----------------------------------|------|----------|---------------|
| | | Datum Dag (Uur UT) | Radiant (2000) | | Uur-frequentie in het zenit | Radiant waarnembaar te Ukkel (UT) | Maan | | Uur (UT) | Verlicht deel |
| | | | α | δ | | | h | m | o | |
| Quadrantiden | dec. 28 – jan. 12 | jan. 03 (15 ^h) | 15 20 | + 49 | 80 | 17 ^h – 07 ^h | 17 ^h – 20 ^h | 0,16 | | |
| Lyriden | april 14 – april 30 | april 22 (14 ^h) | 18 04 | + 34 | 18 | 20 ^h – 03 ^h | -- | 0,29 | | |
| η -Aquariiden | april 19 – mei 28 | mei 06 (03 ^h) | 22 32 | – 01 | 50 | 01 ^h – 03 ^h | 01 ^h – 02 ^h | 0,65 | | |
| Juli- γ -Draconiden | juli 25 – juli 31 | juli 28 (07 ^h) | 18 40 | + 51 | 5 | 21 ^h – 03 ^h | -- | 0,11 | | |
| δ -Aquariiden S | juli 12 – aug. 23 | juli 31 | 22 40 | – 16 | 25 | 21 ^h – 03 ^h | -- | 0,35 | | |
| α -Capricorniden | juli 03 – aug. 15 | juli 31 | 20 28 | – 10 | 5 | 21 ^h – 03 ^h | -- | 0,35 | | |
| Perseïden | juli 17 – aug. 24 | aug. 12 (20 ^h) | 03 12 | + 58 | 100 | 21 ^h – 03 ^h | 21 ^h – 03 ^h | 0,84 | | |
| Aurigiden | aug. 28 – sept. 05 | sept. 01 (03 ^h) | 06 04 | + 39 | 6 | 20 ^h – 04 ^h | 20 ^h – 21 ^h | 0,55 | | |
| September- ϵ -Perseïden | sept. 05 – sept. 21 | sept. 09 (12 ^h) | 03 12 | + 40 | 8 | 19 ^h – 04 ^h | 19 ^h – 04 ^h | 0,98 | | |
| Okttober-Camelopardaliden | okt. 05 – okt. 06 | okt. 05 (22 ^h) | 10 56 | + 79 | 5 | 18 ^h – 05 ^h | 18 ^h – 05 ^h | 0,98 | | |
| Draconiden | okt. 06 – okt. 10 | okt. 08 (19 ^h) | 17 28 | + 54 | 5 | 18 ^h – 05 ^h | 18 ^h – 05 ^h | 0,95 | | |
| Orioniden | okt. 02 – nov. 07 | okt. 21 | 06 20 | + 16 | 20 | 21 ^h – 05 ^h | -- | 0,00 | | |
| Tauriden S | sept. 20 – nov. 20 | nov. 05 | 03 28 | + 15 | 7 | 17 ^h – 06 ^h | 17 ^h – 06 ^h | 1,00 | | |
| Tauriden N | okt. 20 – dec. 10 | nov. 12 | 03 52 | + 22 | 5 | 17 ^h – 06 ^h | 00 ^h – 06 ^h | 0,40 | | |
| Leoniden | nov. 06 – nov. 30 | nov. 17 (18 ^h) | 10 08 | + 22 | 10 | 22 ^h – 06 ^h | -- | 0,04 | | |
| σ -Hydriden | nov. 03 – dec. 20 | dec. 09 | 08 20 | + 02 | 7 | 21 ^h – 06 ^h | 21 ^h – 06 ^h | 0,78 | | |
| Geminiden | dec. 04 – dec. 20 | dec. 14 (08 ^h) | 07 28 | + 33 | 150 | 17 ^h – 06 ^h | 02 ^h – 06 ^h | 0,28 | | |
| Ursiden | dec. 17 – dec. 26 | dec. 22 (16 ^h) | 14 28 | + 76 | 10 | 17 ^h – 06 ^h | -- | 0,08 | | |

In vetjes: de belangrijkste zwermen.

PHÉNOMÈNES OBSERVABLES

Parmi les phénomènes observables en 2025, nous décrivons ci-après: les éclipses de Soleil et de Lune, les occultations d'étoiles et de planètes par la Lune visibles à Uccle, ainsi que les phénomènes des satellites de Jupiter visibles à Uccle. En 2025, il n'y a pas de passages de planètes devant le disque solaire. En 2025, il n'y a pas de phénomènes mutuels des satellites de Jupiter visibles à Uccle.

ÉCLIPSES DE SOLEIL ET DE LUNE EN 2025

Il y aura en 2025 quatre éclipses: deux de Soleil, et deux de Lune:

- | | |
|--------------------|---|
| 14 mars 2025: | éclipse totale de Lune, – <i>en partie visible en Belgique.</i> |
| 29 mars 2025: | éclipse partielle de Soleil, – <i>en Belgique visible comme éclipse partielle.</i> |
| 7 septembre 2025: | éclipse totale de Lune, – <i>en partie visible en Belgique.</i> |
| 21 septembre 2025: | éclipse partielle de Soleil, – <i>invisible en Belgique.</i> |

ZICHTBARE VERSCHIJNSELEN

Onder de in 2025 zichtbare verschijnselen worden hierna beschreven: de zons- en maansverduisteringen, de bedekkingen van sterren en planeten door de maan, en de verschijnselen van de satellieten van Jupiter die zichtbaar zijn te Ukkel. In 2025 zijn er geen overgangen van planeten over de zonneschijf. In 2025 zijn er geen onderlinge verschijnselen van de satellieten van Jupiter zichtbaar te Ukkel.

ZONS- EN MAANSVERDUISTERINGEN IN 2025

Er zullen in 2025 vier verduisteringen plaatsvinden: twee zonsverduisteringen, en twee maansverduisteringen:

- | | |
|--------------------|---|
| 14 maart 2025: | totale maansverduistering, – <i>gedeeltelijk zichtbaar in België.</i> |
| 29 maart 2025: | gedeeltelijke zonsverduistering, – <i>in België zichtbaar als gedeeltelijke verduistering.</i> |
| 7 september 2025: | totale maansverduistering, – <i>gedeeltelijk zichtbaar in België.</i> |
| 21 september 2025: | gedeeltelijke zonsverduistering, – <i>onzichtbaar in België.</i> |

I.— 14 mars 2025,
éclipse totale de Lune,
en partie visible en Belgique

| PHASES — | Temps universel h m | Longitude | Angle | Hauteur |
|---------------------------------|---------------------------|--------------------------------------|--------------------|-------------------------------|
| | | par rapport à Greenwich o ° /' | Latitude o ° /' | de position à Uccle o ° |
| Entrée dans la pénombre ... | 3 55,7 | 57 43 W | 3 25 N | 132 +19 |
| Entrée dans l'ombre | 5 09,3 | 75 37 W | 3 07 N | 140 + 8 |
| Coucher de la Lune à Uccle ... | 5 59,3 | 87 47 W | 2 55 N | 154 0 |
| Commencement de la totalité ... | 6 25,6 | 94 11 W | 2 49 N | 170 -- |
| Maximum de l'éclipse | 6 58,8 | 102 15 W | 2 41 N | 209 -- |
| Fin de la totalité | 7 31,9 | 110 19 W | 2 33 N | 248 -- |
| Sortie de l'ombre | 8 48,2 | 128 52 W | 2 14 N | 279 -- |
| Sortie de la pénombre | 10 01,9 | 146 48 W | 1 57 N | 286 -- |

La longitude et la latitude se rapportent au point de la Terre où la Lune se trouve à cet instant au zénith. L'angle de position est défini à partir de la ligne imaginaire qui relie le centre du disque lunaire au centre de l'ombre de la Terre. Il est mesuré au centre du disque lunaire, à partir du Nord, dans le sens inverse du mouvement des aiguilles d'une montre. Au début et à la fin des phases de pénombre et d'ombre, c'est l'angle de position du point de contact. La hauteur et les instants de lever et coucher de la Lune sont calculés pour son centre, sans tenir compte de la réfraction.

Grandeur de l'éclipse: 1,183, le diamètre du disque lunaire étant pris pour unité.

La carte à la page 181 montre la région où l'éclipse est observable. L'explication des codes utilisés se trouve à la page 178.

I.— 14 maart 2025,
totale maansverduistering,
gedeeltelijk zichtbaar in België

| FASEN — | Wereldtijd h m | Lengte | Positie- hoek | Hooge |
|----------------------------------|-------------------|---------------------------------|------------------|---------|
| | | t. o. v. Greenwich o ° /' | | |
| Intrede in de bijschaduw | 3 55,7 | 57 43 W | 3 25 N | 132 +19 |
| Intrede in de kernschaduw ... | 5 09,3 | 75 37 W | 3 07 N | 140 + 8 |
| Maansondergang te Ukkel ... | 5 59,3 | 87 47 W | 2 55 N | 154 0 |
| Begin van de totaliteit | 6 25,6 | 94 11 W | 2 49 N | 170 -- |
| Maximum van de verduistering | 6 58,8 | 102 15 W | 2 41 N | 209 -- |
| Einde van de totaliteit | 7 31,9 | 110 19 W | 2 33 N | 248 -- |
| Uittreden uit de kernschaduw | 8 48,2 | 128 52 W | 2 14 N | 279 -- |
| Uittreden uit de bijschaduw ... | 10 01,9 | 146 48 W | 1 57 N | 286 -- |

De lengte en de breedte hebben betrekking op het punt op aarde waar de maan zich op dat ogenblik in het zenit bevindt. De positiehoek is die van de denkbeeldige lijn die het midden van de maanschijf met het midden van de aardschaduw verbindt, en wordt gemeten in het midden van de maanschijf, in tegenwijzerzin vanaf het noorden. Bij het begin en het einde van de bij- en kernschaduwfase is dit de positiehoek van het contactpunt. De hoogte van de maan en de tijdstippen van maansopkomst en -ondergang worden bepaald door haar middelpunt zonder rekening te houden met refractie.

Grootte van de verduistering: 1,183, als de middellijn van de maanschijf als eenheid genomen wordt.

Het gebied waar de verduistering waarneembaar is, wordt gegeven op de kaart op blz. 181. De verklaring van de gebruikte codes staat op blz. 179.

**II.— 29 mars 2025,
éclipse partielle de Soleil,
en Belgique visible comme éclipse partielle**

| PHASES — | Temps universel — h m | Longitude par rapport à Greenwich | | Latitude — ° / |
|---------------------------|--------------------------------|---|---------|----------------------|
| | | ° | / | |
| Commencement de l'éclipse | | 8 50,7 | 42 39 W | 13 57 N |
| Maximum de l'éclipse | | 10 47,2 | 76 37 W | 61 08 N |
| Fin de l'éclipse | | 12 43,7 | 91 39 E | 71 07 N |

Grandeur maximale de l'éclipse: 0,938, le diamètre du disque solaire étant pris pour unité.

La carte à la page 182 montre la région où l'éclipse est observable. L'explication des codes utilisés se trouve à la page 180.

Phases à Uccle - Bruxelles (Observatoire)

| PHASES — | Temps universel — h m s | Angle de position par rapport au pôle — au zénith | | Hauteur à Uccle — ° |
|----------------------|----------------------------------|---|-----|---------------------------------|
| | | — | — | |
| Premier contact | | 10 14 05 | 273 | 291 |
| Maximum de l'éclipse | | 11 07 11 | 321 | 329 |
| Soleil au méridien | | 11 47 15 | 1 | 1 |
| Dernier contact | | 12 01 13 | 10 | 7 |

Grandeur de l'éclipse: 0,348, le diamètre du disque solaire étant pris pour unité.

L'angle de position par rapport au pôle, resp. au zénith, est l'angle formé par la direction du centre du disque lunaire avec la direction du pôle, resp. du zénith. Ces deux angles sont mesurés au centre du disque solaire dans le sens inverse du mouvement des aiguilles d'une montre. Au commencement et à la fin de l'éclipse, ils correspondent aux angles de position des points de contact.

La hauteur du Soleil est celle d'un point de référence, qui se situe pendant l'éclipse dans la partie éclipsée du Soleil, et qui coïncide aux instants de contact avec le point de contact du Soleil et de la Lune. On ne tient pas compte de la réfraction.

**II.— 29 maart 2025,
gedeeltelijke zonsverduistering,
in België zichtbaar als gedeeltelijke verduistering**

| FASEN — | Wereldtijd — h m | Lengte t. o. v. Greenwich | | Breedte — ° / |
|------------------------------|------------------------|---------------------------------|---------|---------------------|
| | | — | — | |
| Begin van de verduistering | | 8 50,7 | 42 39 W | 13 57 N |
| Maximum van de verduistering | | 10 47,2 | 76 37 W | 61 08 N |
| Einde van de verduistering | | 12 43,7 | 91 39 E | 71 07 N |

Maximale grootte van de verduistering: 0,938, als de middellijn van de zonneschijf als eenheid genomen wordt.

Het gebied waar de verduistering waarneembaar is, wordt gegeven op de kaart op blz. 182. De verklaring van de gebruikte codes staat op blz. 180.

Fasen te Ukkel - Brussel (Sterrenwacht)

| FASEN — | Wereldtijd — h m s | Positiehoek t. o. v. de pool | | Hoogte te Ukkel — ° |
|------------------------------|--------------------------|------------------------------------|-----|---------------------------------|
| | | — | — | |
| Eerste contact | | 10 14 05 | 273 | 291 |
| Maximum van de verduistering | | 11 07 11 | 321 | 329 |
| Zon in de meridiaan | | 11 47 15 | 1 | 1 |
| Laatste contact | | 12 01 13 | 10 | 7 |

Grootte van de verduistering: 0,348, als de middellijn van de zonneschijf als eenheid genomen wordt.

De positiehoek ten opzichte van de pool, resp. het zenit, is de hoek die de richting van het middelpunt van de maanschijf insluit met de richting naar de pool, resp. het zenit. Beide hoeken worden in tegenwijzerzin gemeten in het middelpunt van de zonneschijf. Bij het begin en het einde van de verduistering zijn deze hoeken tevens de positiehoeken van het contactpunt.

De hoogte van de zon wordt bepaald door een referentiepunt dat zich tijdens de verduistering in het verduisterde deel van de zon bevindt en op de tijdstippen van de contacten samenvalt met het contactpunt tussen zon en maan. Er wordt geen rekening gehouden met straalbreking.

Visibilité en Belgique

Le tableau ci-après donne les phases pour quelques localités belges représentatives.

| LIEU | Début Temps universel | Maximum Temps universel | Fin Temps universel | Grandeur |
|-------------------------------|-----------------------------|-------------------------------|---------------------------|----------|
| — | — h m s | — h m s | — h m s | — |
| Bruxelles | 10 14 07 | 11 07 15 | 12 01 20 | 0,349 |
| Nivelles | 10 13 51 | 11 06 51 | 12 00 47 | 0,345 |
| Jodoigne | 10 14 56 | 11 07 38 | 12 01 14 | 0,340 |
| Tournai | 10 12 13 | 11 05 50 | 12 00 29 | 0,358 |
| Mons | 10 13 04 | 11 06 13 | 12 00 22 | 0,348 |
| Charleroi | 10 13 55 | 11 06 42 | 12 00 26 | 0,341 |
| Chimay | 10 13 23 | 11 06 00 | 11 59 36 | 0,337 |
| Philippeville | 10 13 56 | 11 06 29 | 12 00 00 | 0,336 |
| Namur | 10 14 42 | 11 07 13 | 12 00 39 | 0,336 |
| Dinant | 10 14 39 | 11 07 00 | 12 00 15 | 0,332 |
| Gedinne | 10 14 29 | 11 06 36 | 11 59 39 | 0,328 |
| Huy | 10 15 27 | 11 07 45 | 12 00 55 | 0,332 |
| Liège | 10 16 09 | 11 08 18 | 12 01 17 | 0,329 |
| Werbomont | 10 16 11 | 11 08 03 | 12 00 44 | 0,324 |
| Eupen | 10 17 01 | 11 08 48 | 12 01 23 | 0,323 |
| Sankt Vith | 10 16 57 | 11 08 24 | 12 00 39 | 0,316 |
| Marche-en-Famenne ... | 10 15 26 | 11 07 26 | 12 00 19 | 0,326 |
| Bastogne | 10 15 59 | 11 07 32 | 11 59 55 | 0,317 |
| Libramont | 10 15 16 | 11 07 00 | 11 59 38 | 0,321 |
| Bouillon | 10 14 35 | 11 06 29 | 11 59 16 | 0,323 |
| Virton | 10 15 19 | 11 06 40 | 11 58 53 | 0,313 |
| Arlon | 10 15 56 | 11 07 09 | 11 59 13 | 0,311 |

Zichtbaarheid in België

De volgende tabel geeft de fasen voor enkele representatieve Belgische woonplaatsen.

| PLAATS | Begin Wereldtijd | Maximum Wereldtijd | Einde Wereldtijd | Grootte |
|--------------------------------|---------------------|-----------------------|---------------------|---------|
| — | — h m s | — h m s | — h m s | — |
| Veurne | 10 11 24 | 11 05 44 | 12 01 10 | 0,374 |
| Oostende | 10 11 57 | 11 06 13 | 12 01 34 | 0,373 |
| Brugge | 10 12 29 | 11 06 33 | 12 01 40 | 0,369 |
| Poperinge | 10 11 18 | 11 05 29 | 12 00 45 | 0,371 |
| Kortrijk | 10 12 12 | 11 06 02 | 12 00 54 | 0,363 |
| Gent | 10 13 12 | 11 06 52 | 12 01 32 | 0,360 |
| Oudenaarde | 10 12 48 | 11 06 25 | 12 01 03 | 0,359 |
| Geraardsbergen | 10 13 14 | 11 06 38 | 12 01 01 | 0,354 |
| Aalst | 10 13 38 | 11 07 02 | 12 01 25 | 0,354 |
| Sint-Niklaas | 10 14 00 | 11 07 29 | 12 01 55 | 0,356 |
| Mechelen | 10 14 29 | 11 07 39 | 12 01 45 | 0,350 |
| Antwerpen | 10 14 31 | 11 07 51 | 12 02 07 | 0,354 |
| Essen | 10 14 49 | 11 08 16 | 12 02 39 | 0,356 |
| Turnhout | 10 15 33 | 11 08 36 | 12 02 31 | 0,348 |
| Geel | 10 15 30 | 11 08 25 | 12 02 12 | 0,345 |
| Neerpelt | 10 16 21 | 11 09 00 | 12 02 29 | 0,340 |
| Hasselt | 10 15 57 | 11 08 28 | 12 01 50 | 0,337 |
| Tongeren | 10 16 04 | 11 08 23 | 12 01 33 | 0,333 |
| Maaseik | 10 16 54 | 11 09 12 | 12 02 19 | 0,333 |
| Leuven | 10 14 46 | 11 07 41 | 12 01 31 | 0,344 |
| Diest | 10 15 28 | 11 08 13 | 12 01 51 | 0,341 |
| Brussel | 10 14 07 | 11 07 15 | 12 01 20 | 0,349 |

**III.— 7 septembre 2025,
éclipse totale de Lune,
en partie visible en Belgique**

| PHASES — | Temps universel — h m | Longitude | Angle | Hauteur | |
|----------------------------------|--------------------------------|----------------------------|----------|-------------|---------|
| | | par rapport à Greenwich | Latitude | de position | à Uccle |
| | | — | — | — | |
| Entrée dans la pénombre ... | 15 26,9 | 126 32 E | 6 46 S | 51 | -- |
| Entrée dans l'ombre | 16 26,8 | 112 03 E | 6 29 S | 46 | -- |
| Commencement de la totalité ... | 17 30,4 | 96 40 E | 6 12 S | 26 | -- |
| Maximum de l'éclipse | 18 11,8 | 86 38 E | 6 00 S | 332 | -- |
| Lever de la Lune à Uccle | 18 17,0 | 85 24 E | 5 59 S | 322 | 0 |
| Fin de la totalité | 18 53,2 | 76 37 E | 5 49 S | 277 | + 6 |
| Sortie de l'ombre | 19 56,9 | 61 14 E | 5 31 S | 257 | +15 |
| Sortie de la pénombre | 20 56,6 | 46 47 E | 5 14 S | 252 | +22 |

La longitude et la latitude se rapportent au point de la Terre où la Lune se trouve à cet instant au zénith. L'angle de position est défini à partir de la ligne imaginaire qui relie le centre du disque lunaire au centre de l'ombre de la Terre. Il est mesuré au centre du disque lunaire, à partir du Nord, dans le sens inverse du mouvement des aiguilles d'une montre. Au début et à la fin des phases de pénombre et d'ombre, c'est l'angle de position du point de contact. La hauteur et les instants de lever et coucher de la Lune sont calculés pour son centre, sans tenir compte de la réfraction.

Grandeur de l'éclipse: 1,367, le diamètre du disque lunaire étant pris pour unité.

La carte à la page 183 montre la région où l'éclipse est observable. L'explication des codes utilisés se trouve à la page 178.

**III.— 7 september 2025,
totale maansverduistering,
gedeeltelijk zichtbaar in België**

| FASEN — | Wereldtijd — h m | Lengte t. o. v. Greenwich | | Positie- hoek — ° | Hoogte te Ukkel — ° |
|----------------------------------|------------------------|---------------------------------|-----------|----------------------------|---------------------------------|
| | | Breedte — °, ' | — °, ' | | |
| Intrede in de bijschaduw | 15 26,9 | 126 32 E | 6 46 S | 51 | -- |
| Intrede in de kernschaduw ... | 16 26,8 | 112 03 E | 6 29 S | 46 | -- |
| Begin van de totaliteit | 17 30,4 | 96 40 E | 6 12 S | 26 | -- |
| Maximum van de verduistering | 18 11,8 | 86 38 E | 6 00 S | 332 | -- |
| Maansopkomst te Ukkel ... | 18 17,0 | 85 24 E | 5 59 S | 322 | 0 |
| Einde van de totaliteit | 18 53,2 | 76 37 E | 5 49 S | 277 | + 6 |
| Uittrede uit de kernschaduw | 19 56,9 | 61 14 E | 5 31 S | 257 | +15 |
| Uittrede uit de bijschaduw ... | 20 56,6 | 46 47 E | 5 14 S | 252 | +22 |

De lengte en de breedte hebben betrekking op het punt op aarde waar de maan zich op dat ogenblik in het zenit bevindt. De positiehoek is die van de denkbeeldige lijn die het midden van de maanschijf met het midden van de aardschaduw verbindt, en wordt gemeten in het midden van de maanschijf, in tegenwijzerzin vanaf het noorden. Bij het begin en het einde van de bij- en kernschaduwfase is dit de positiehoek van het contactpunt. De hoogte van de maan en de tijdstippen van maansopkomst en -ondergang worden bepaald door haar middelpunt zonder rekening te houden met refractie.

Grootte van de verduistering: 1,367, als de middellijn van de maanschijf als eenheid genomen wordt.

Het gebied waar de verduistering waarneembaar is, wordt gegeven op de kaart op blz. 183. De verklaring van de gebruikte codes staat op blz. 179.

**IV.— 21 septembre 2025,
éclipse partielle de Soleil,
invisible en Belgique**

| PHASES — | Temps universel h m | Longitude par rapport à Greenwich | | Latitude ° ,' |
|---------------------------|---------------------------|---|----------|------------------|
| | | ° | , | |
| Commencement de l'éclipse | | 17 29,7 | 174 22 W | 13 57 S |
| Maximum de l'éclipse | | 19 41,6 | 153 53 E | 60 53 S |
| Fin de l'éclipse | | 21 53,7 | 60 24 W | 72 14 S |

Grandeur maximale de l'éclipse: 0,855, le diamètre du disque solaire étant pris pour unité.

La carte à la page 184 montre la région où l'éclipse est observable. L'explication des codes utilisés se trouve à la page 180.

Explications

Les codes utilisés sur les cartes pour indiquer la visibilité des éclipses de Lune sont: l'entrée dans la pénombre est visible dans les régions 1 à 6, l'entrée dans l'ombre dans les régions 2 à 7, le début de la totalité dans les régions 3 à 8. Les sorties de la totalité, de l'ombre et de la pénombre sont respectivement observables dans les régions 4 à 9, 5 à 10, et 6 à 11. Dans la région 6, on peut observer l'éclipse entière, dans les régions 5 à 7 les phases ombrales sont observables; dans les régions 4 à 8 la totalité est entièrement visible.

**IV.— 21 september 2025,
gedeeltelijke zonsverduistering,
onzichtbaar in België**

| FASEN — | Wereldtijd h m | Lengte t. o. v. Greenwich | | Breedte ° ,' |
|------------------------------|-------------------|---------------------------------|----------|-----------------|
| | | ° | , | |
| Begin van de verduistering | | 17 29,7 | 174 22 W | 13 57 S |
| Maximum van de verduistering | | 19 41,6 | 153 53 E | 60 53 S |
| Einde van de verduistering | | 21 53,7 | 60 24 W | 72 14 S |

Maximale grootte van de verduistering: 0,855, als de middellijn van de zonneschijf als eenheid genomen wordt.

Het gebied waar de verduistering waarneembaar is, wordt gegeven op de kaart op blz. 184. De verklaring van de gebruikte codes staat op blz. 180.

Toelichtingen

De codes die op de kaarten gebruikt worden om de zichtbaarheid van maansverduisteringen aan te geven zijn de volgende: de intrede in de bijschaduw is zichtbaar vanuit de gebieden 1 tot en met 6, de intrede in de kernschaduw in de gebieden 2 tot en met 7, het begin van de totaliteit in de gebieden 3 tot en met 8. De uitstredes uit de totaliteit, de kernschaduw en de bijschaduw zijn respectievelijk waarneembaar vanuit de gebieden 4 tot en met 9, 5 tot en met 10, en 6 tot en met 11. In gebied 6 is de volledige verduistering waarneembaar, in de gebieden 5 tot en met 7 zijn de kernschaduwfasen volledig waarneembaar, en in de gebieden 4 tot en met 8 is de totaliteit in zijn geheel waarneembaar.

Sur les cartes de visibilité d'éclipses de Soleil, les codes suivants sont utilisés:

- P Eclipse partielle de Soleil, visible.
- p Eclipse partielle de Soleil, en partie visible.
- R Eclipse annulaire, dont la phase annulaire est entièrement observable.
- r Eclipse annulaire, dont la phase annulaire est partiellement observable.
- T Eclipse totale, dont la phase de totalité est entièrement observable.
- t Eclipse totale, dont la phase de totalité est partiellement observable.

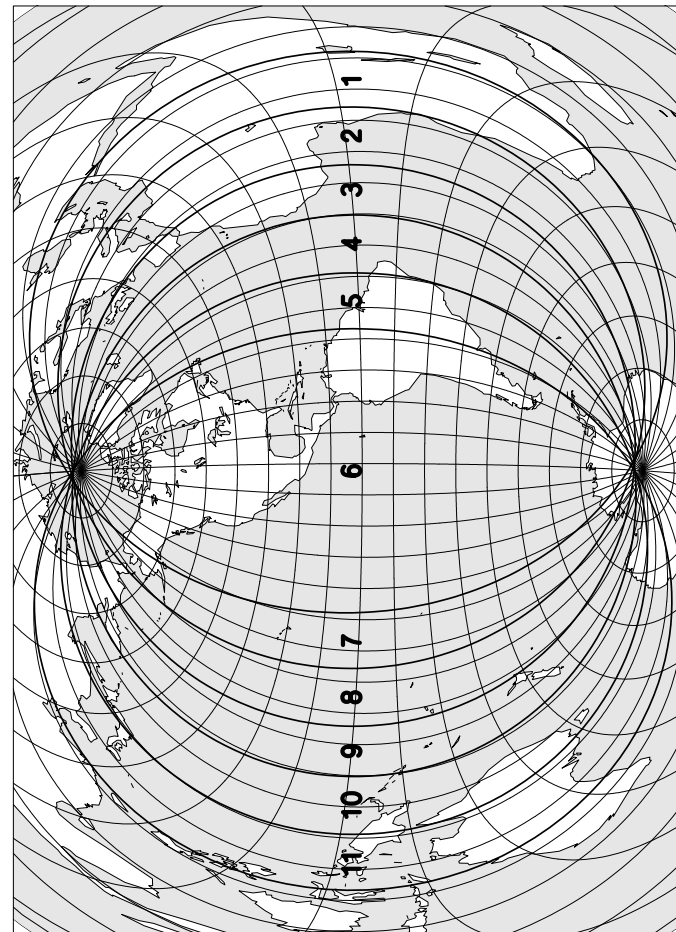
Les données de base ayant servi à la rédaction du chapitre sur les éclipses ont été empruntées aux résultats de l'intégration numérique DE440 du Jet Propulsion Laboratory.

Op de kaarten met de zichtbaarheid van zonsverduisteringen worden de volgende codes gebruikt:

- P Gedeeltelijke zonsverduistering, zichtbaar.
- p Gedeeltelijke zonsverduistering, gedeeltelijk zichtbaar.
- R Ringvormige zonsverduistering, waarvan de ringvormige fase in zijn geheel waarneembaar is.
- r Ringvormige zonsverduistering, waarvan de ringvormige fase gedeeltelijk waarneembaar is.
- T Totale zonsverduistering, waarvan de totale fase in zijn geheel waarneembaar is.
- t Totale zonsverduistering, waarvan de totale fase gedeeltelijk waarneembaar is.

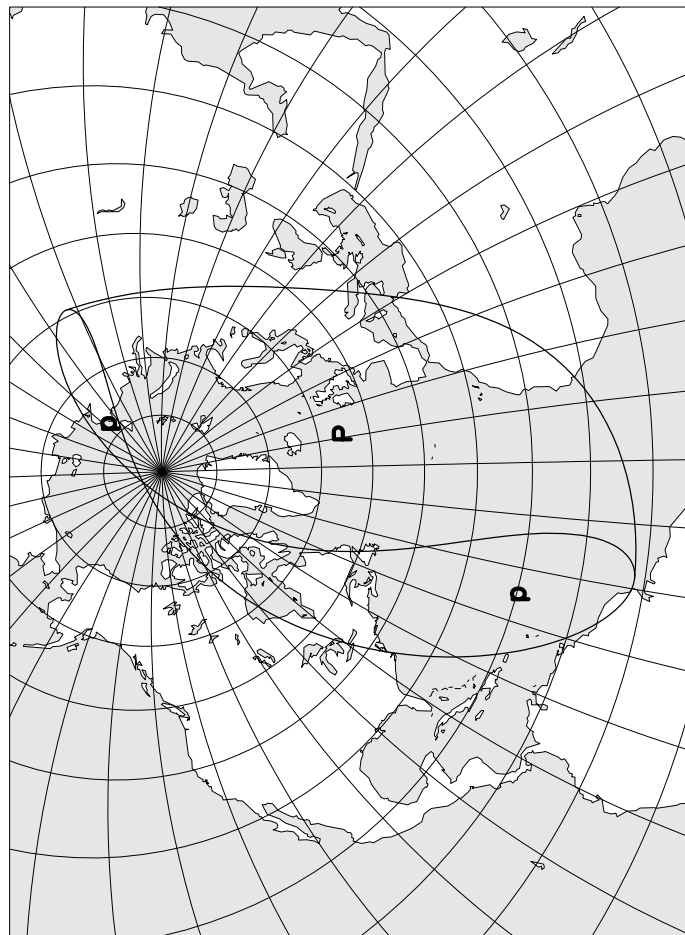
De basisgegevens voor dit hoofdstuk werden ontleend aan de resultaten van de numerieke integratie DE440, van het Jet Propulsion Laboratory.

Eclipse totale de Lune du 14 mars 2025



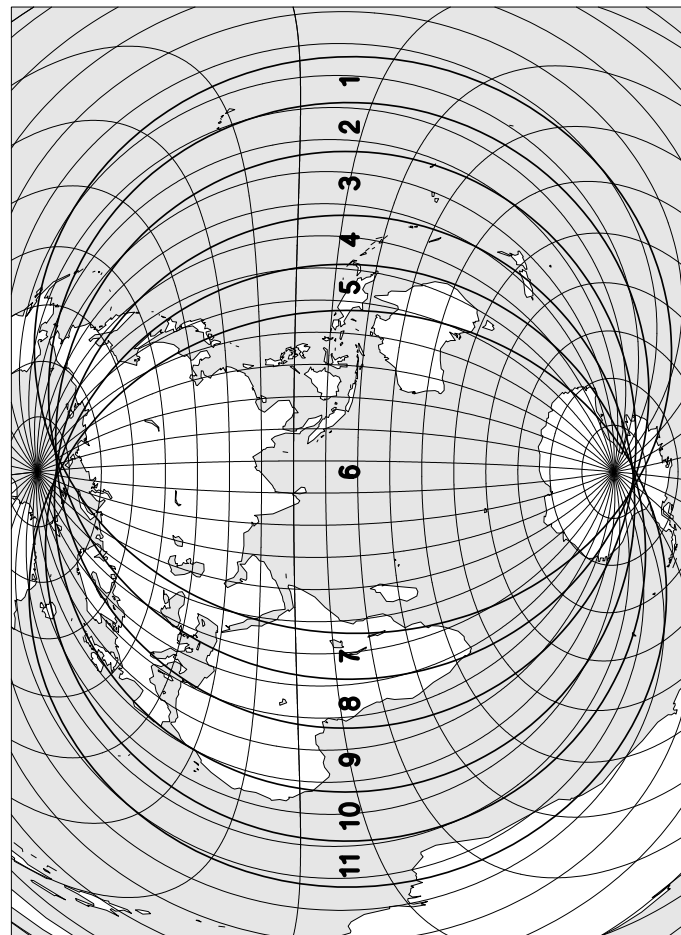
Totale maansverduistering van 14 maart 2025

Eclipse partielle de Soleil du 29 mars 2025



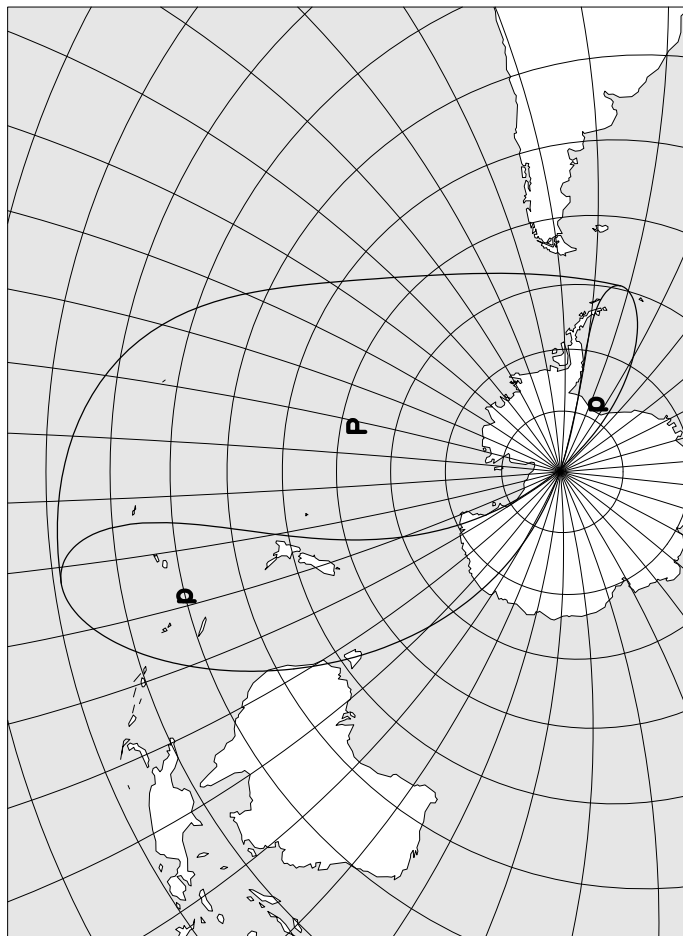
Gedeeltelijke zonsverduistering van 29 maart 2025

Eclipse totale de Lune du 7 septembre 2025



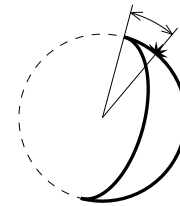
Totale maansverduistering van 7 september 2025

Eclipse partielle de Soleil du 21 septembre 2025



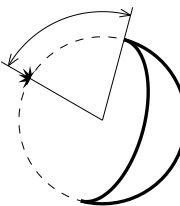
Gedeeltelijke zonsverduistering van 21 september 2025

Cusp angle



Phénomène au bord éclairé de la Lune:
"cusp angle" négatif.

Verschijnsel aan de verlichte maanrand:
negatieve cusp angle.



Phénomène au bord sombre de la Lune:
"cusp angle" positif.

Verschijnsel aan de donkere maanrand:
positieve cusp angle.

OCCULTATIONS D'ÉTOILES ET DE PLANÈTES PAR LA LUNE

Le tableau des occultations d'étoiles et de planètes par la Lune visibles à Uccle en 2025 contient les éléments relatifs aux étoiles et planètes plus brillantes que la magnitude 8,5 dont l'occultation peut être observée dans des circonstances favorables. Les formules élaborées par Schaefer et al. (*Icarus* 100, 60-72 (1972)) ont été utilisées pour déterminer si une occultation est visible depuis Uccle. Comparés aux critères en vigueur jusqu'à l'*Annuaire 2019* compris, les critères de van Schaefer et al. sont plus stricts pour les occultations au bord éclairé de la Lune, tandis qu'il n'est plus fait de distinction entre disparition et réapparition.

Les six premières colonnes fournissent les données pour l'observation des occultations à Uccle, à savoir:

- la date du phénomène;
- le numéro de l'étoile occultée dans le GSC (Guide Star Catalog) ou dans le TYC (catalogue Tycho-2) et éventuellement son nom. La liste des étoiles a été compilée à partir des catalogues Hipparcos, Tycho (ESA, 1997) et PPM (S. Röser et U. Bastian, 1991);
- la magnitude visuelle de l'étoile;
- la nature du phénomène:

| | |
|---|---|
| D | Disparition (disappearance) |
| R | Réapparition (reappearance) |
| 1 | Premier contact (seulement pour les planètes) |
| 2 | Deuxième contact (seulement pour les planètes) |
| 3 | Troisième contact (seulement pour les planètes) |
| 4 | Quatrième ou dernier contact (seulement pour les planètes) |
| d | Le phénomène a lieu au bord sombre de la Lune (dark) |
| b | Le phénomène a lieu au bord éclairé de la Lune (bright) |
| e | Le phénomène a lieu pendant une éclipse totale de Lune (eclips) |
| t | Le phénomène a lieu pendant le crépuscule civil (twilight) |
| j | Le phénomène a lieu en cours de journée (jour) |

- l'âge de la Lune, en jours, l'instant de la Nouvelle Lune étant choisi pour origine;
- l'instant du phénomène exprimé en Temps universel.

BEDEKKINGEN VAN STERREN EN PLANETEN DOOR DE MAAN

De tabel met de bedekkingen van sterren en planeten door de maan zichtbaar te Ukkel in 2025 bevat de elementen van de sterren en planeten helderder dan magnitude 8,5 waarvan de bedekking onder gunstige omstandigheden kan waargenomen worden. Om vast te stellen of een bedekking waarneembaar is te Ukkel werden de formules gebruikt van Schaefer et al. (*Icarus* 100, 60-72 (1972)). vergeleken bij de criteria die tot en met het *Jaarboek 2019* gehanteerd werden, zijn de criteria van Schaefer et al. vooral strenger voor bedekkingen aan de verlichte maanrand, terwijl er geen onderscheid meer gemaakt wordt tussen verdwijningen en wederver schijningen.

De eerste zes kolommen duiden de gegevens aan voor de waarneming van de bedekkingen te Ukkel, namelijk:

- de datum van het verschijnsel;
- het nummer van de bedekte ster in de GSC (Guide Star Catalog) of TYC (Tycho-2 catalogus), en eventueel haar naam. De lijst van de sterren werd gecompileerd aan de hand van de Hipparcos-, Tycho- (ESA, 1997) en PPM-catalogi (S. Röser en U. Bastian, 1991);
- de visuele magnitude van de ster;
- de aard van het verschijnsel:

| | |
|---|--|
| D | Verdwijning (disappearance) |
| R | Wederverschijning (reappearance) |
| 1 | Eerste contact (enkel voor planeten) |
| 2 | Tweede contact (enkel voor planeten) |
| 3 | Derde contact (enkel voor planeten) |
| 4 | Vierde of laatste contact (enkel voor planeten) |
| d | Het verschijnsel heeft plaats aan de donkere maanrand (dark) |
| b | Het verschijnsel heeft plaats aan de verlichte maanrand (bright) |
| e | Het verschijnsel heeft plaats tijdens een totale maansverduistering (eclips) |
| t | Het verschijnsel heeft plaats tijdens de burgerlijke schemering (twilight) |
| j | Het verschijnsel heeft overdag plaats (jour) |

- de ouderdom van de maan in dagen, met nieuwe maan als oorsprong;
- het tijdstip van het verschijnsel, uitgedrukt in Wereldtijd.

Les deux colonnes suivantes fournissent les coefficients a et b permettant de calculer les instants des phénomènes pour des lieux autres que Uccle. Le calcul se fait en appliquant la formule

$$T = T_0 + a \Delta L + b \Delta \phi$$

où T est l'instant du phénomène au lieu considéré; T_0 l'instant du phénomène à Uccle; ΔL la différence de longitude (exprimée en degrés et comptée positivement vers l'est) et $\Delta \phi$ la différence de latitude (exprimée en degrés et comptée positivement vers le nord) entre le lieu d'observation considéré et Uccle. Les coefficients a et b sont exprimés en minutes de temps par degré.

Lors de l'utilisation de ces formules, les instants ainsi obtenus pour des endroits situés à l'intérieur du territoire belge pourront présenter des erreurs maximales de 0,3 minute, mais généralement, ces erreurs ne seront pas plus grandes que 0,1 minute. Les valeurs de a et b sont omises lorsque les erreurs pourraient être supérieures à 0,3 minute, comme dans le cas d'occultations rasantes.

Les trois dernières colonnes fournissent encore quelques données pour le phénomène à Uccle:

- l'angle de position P de l'étoile au moment de sa disparition ou de sa réapparition au bord du disque lunaire, compté à partir du Nord dans le sens inverse des aiguilles d'une montre;
- l'angle appelé *cusp angle*. C'est l'angle mesuré le long du bord lunaire à partir de l'étoile (ou de la planète) jusqu'à la pointe la plus proche du croissant, où le terminateur rejoint le bord de la Lune. Par convention, cet angle est négatif (positif) lorsque l'occultation a lieu au bord éclairé (sombre) de la Lune. Cet angle est nul lorsque le phénomène a lieu au terminateur. Cet angle n'est pas indiqué lorsque le phénomène a lieu pendant une éclipse de Lune. La lettre N, S, E ou W indique la pointe du croissant qui a servi de référence. Voir la figure à la page 185;
- la hauteur h du phénomène au-dessus de l'horizon.

De volgende twee kolommen geven de coëfficiënten a en b voor de berekening van de tijdstippen der verschijnselen op andere waarnemingsplaatsen. Men gebruikt hierbij de volgende formule:

$$T = T_0 + a \Delta L + b \Delta \phi$$

T zijnde het tijdstip van het verschijnsel voor de gegeven waarnemingsplaats, T_0 het tijdstip van het verschijnsel te Ukkel, ΔL het lengteverschil (in graden en positief naar het oosten) en $\Delta \phi$ het breedteverschil (in graden en positief naar het noorden) tussen de waarnemingsplaats en Ukkel. De coëfficiënten a en b worden opgegeven in tijdsminuten per graad.

Bij gebruik van deze formules zullen de verkregen tijdstippen binnen het Belgische grondgebied fouten vertonen die tot 0,3 minuten kunnen oplopen, maar meestal niet groter zijn dan 0,1 minuut. Indien de fouten groter zouden worden dan 0,3 minuten, worden de waarden van a en b niet vermeld. Dit is namelijk het geval voor rakende bedekkingen.

De laatste drie kolommen geven nog enkele gegevens voor het verschijnsel te Ukkel:

- de positiehoek P van de ster op het ogenblik van haar verdwijning of wederverschijning aan de rand van de maanschijf; deze hoek wordt gemeten vanaf het noorden in tegenwijzerzin;
- de zogenaamde *cusp angle*, dit is de hoek gemeten langs de maanrand vanaf de ster (of de planeet) tot de dichtstbijzijnde hoorn van de maansikkel, het punt waar de terminator de maanrand raakt. Deze hoek is per conventie positief als het verschijnsel aan de donkere maanrand plaats heeft en negatief als het verschijnsel aan de verlichte maanrand plaats heeft. Is die hoek nul, dan heeft het verschijnsel plaats aan de terminator. Deze hoek wordt niet opgegeven indien het verschijnsel plaats heeft tijdens een maansverduistering. Een letter N, S, E of W geeft aan welke de dichtstbijzijnde hoorn is. Zie de figuur op blz. 185;
- de hoogte h van het verschijnsel boven de horizon.

Exemple: Calculer l'instant de la disparition de l'étoile 134 B. Gen le 9 mars 2025 à Chaumont-Gistoux.

$$\begin{aligned} \text{On a pour Uccle: } & \dots \dots \dots \dots \dots \quad L_o = + 4^{\circ},4 \quad \Phi_o = + 50^{\circ},8 \\ & \underline{\Delta L = + 0^{\circ},3} \quad \underline{\Delta\Phi = - 0^{\circ},1} \\ & a = + 0,6 \quad b = - 1,4 \end{aligned}$$

$$\begin{aligned} \text{Instant du phénomène à Uccle: } & \dots \dots \dots \dots \dots \quad T_o = 0^{\text{h}} 22^{\text{m}},0 \\ & \underline{a \Delta L = + 0^{\text{m}},2} \quad \underline{b \Delta\Phi = + 0^{\text{m}},1} \\ & T = 0^{\text{h}} 22^{\text{m}},3 \end{aligned}$$

Instant du phénomène à Chaumont-Gistoux: $\dots \dots \dots \dots \dots$

Voorbeeld: Bereken het tijdstip van verdwijning van de ster +23°53'38 op 1 april 2025 te Vilvoorde.

$$\begin{aligned} \text{Men heeft voor Vilvoorde: } & \dots \dots \dots \quad L = + 4^{\circ},4 \quad \Phi = + 50^{\circ},9 \\ \text{Men heeft voor Ukkel: } & \dots \dots \dots \quad L_o = + 4^{\circ},4 \quad \Phi_o = + 50^{\circ},8 \end{aligned}$$

$$\begin{aligned} \Delta L = + 0^{\circ},0 & \quad \underline{\Delta\Phi = + 0^{\circ},1} \\ a = - 0,8 & \quad b = - 2,3 \end{aligned}$$

$$\begin{aligned} \text{Tijdstip van het verschijnsel te Ukkel: } & \dots \dots \dots \dots \dots \quad T_o = 21^{\text{h}} 52^{\text{m}},9 \\ & \underline{a \Delta L = + 0^{\text{m}},0} \quad \underline{b \Delta\Phi = - 0^{\text{m}},2} \\ & T = 21^{\text{h}} 52^{\text{m}},7 \end{aligned}$$

$$\begin{aligned} \text{Tijdstip van het verschijnsel te Vilvoorde: } & \dots \dots \dots \dots \dots \end{aligned}$$

| Date — Datum 2025 | ETOILE — STER | | | Magn. | Phéno- mène — Ver- schijn- sel | Age — Ouder- dom | UT | a | b | P | Cusp angle | h | o |
|----------------------------|------------------------|---------------------------|-----|-------|---|---------------------------|-------|-------|-----|--------|---------------|---|---|
| | Nº GSC / TYC nr. | Nom — Naam | d | | | | | | | | | | |
| Janv. 4 | | Saturne — Saturnus | 1,1 | D1d | 4,8 | 17 25,5 | + 1,1 | + 0,0 | 60 | + 81 N | 28 | | |
| Jan. 4 | | Saturne — Saturnus | 1,1 | D2d | 4,8 | 17 26,1 | + 1,1 | + 0,0 | 60 | + 81 N | 28 | | |
| 4 | 5820-00461 | 85 Aqr | 6,7 | Dd | 4,8 | 17 26,3 | + 1,1 | - 0,1 | 62 | + 83 N | 28 | | |
| 4 | 5820-00107 | 84 Aqr | 7,1 | Dd | 4,8 | 17 35,5 | + 0,1 | + 1,5 | 9 | + 30 N | 27 | | |
| 4 | 5820-01291 | 83 h Aqr | 5,4 | Dd | 4,8 | 17 51,5 | — | — | 339 | + 1 N | 26 | | |
| 4 | 5820-00155 | 87 Aqr | 7,4 | Dd | 4,8 | 18 18,0 | + 0,9 | - 0,3 | 62 | + 84 N | 24 | | |
| 4 | | Saturne — Saturnus | 1,1 | R3b | 4,8 | 18 33,5 | + 0,7 | + 0,0 | 227 | - 68 S | 22 | | |
| 4 | | Saturne — Saturnus | 1,1 | R4b | 4,8 | 18 34,1 | + 0,7 | + 0,0 | 227 | - 69 S | 22 | | |
| 4 | 5248-00902 | —01°4515 | 7,9 | Dd | 4,9 | 19 33,1 | + 0,5 | - 0,4 | 57 | + 79 N | 15 | | |
| 5 | 4663-00160 | 71 B. Psc | 6,8 | Dd | 5,9 | 20 24,5 | — | — | 41 | + 65 N | 21 | | |
| 5 | 5253-00343 | —0017-01084 | 7,5 | Dd | 6,9 | 20 16,5 | — | — | 10 | + 33 N | 21 | | |
| 7 | 0624-01324 | 102 π Psc | 5,5 | Dd | 7,8 | 17 29,4 | + 0,3 | + 2,5 | 11 | + 32 N | 51 | | |
| 7 | 0624-00723 | 281 B. Psc | 6,8 | Dd | 7,8 | 17 30,9 | + 1,0 | + 1,5 | 44 | + 64 N | 51 | | |
| 8 | 1219-01987 | 27 Ari | 6,2 | Dd | 8,8 | 16 49,7 | + 0,9 | + 1,6 | 60 | + 77 N | 48 | | |
| 8 | 1226-02015 | +18°337 | 7,0 | Dd | 9,0 | 22 42,3 | + 0,9 | - 1,6 | 94 | + 70 S | 38 | | |
| 9 | 1797-01555 | 66 Ari | 6,0 | Dd | 9,8 | 17 20,5 | — | — | 9 | + 21 N | 49 | | |
| 9 | 1798-00536 | 9 Tau = V486 Tau | 6,7 | Dd | 10,0 | 21 32,8 | + 1,5 | - 1,6 | 107 | + 63 S | 57 | | |
| 10 | 1800-02204 | 23 Tau (Merope) | 4,1 | Dd | 10,2 | 2 04,4 | + 0,3 | - 0,6 | 53 | + 63 N | 19 | | |
| 10 | 1800-02202 | 25 η Tau (Alcyone) | 2,9 | Dd | 10,2 | 2 45,9 | — | — | 17 | + 26 N | 13 | | |
| 10 | 1800-02203 | 27 Tau (Atlas) | 3,6 | Dd | 10,2 | 3 11,1 | + 0,1 | - 0,5 | 51 | + 60 N | 10 | | |
| 10 | 1800-02200 | 28 Tau = BU Tau (Pleione) | 5,0 | Dd | 10,2 | 3 20,1 | + 0,4 | + 0,3 | 27 | + 37 N | 9 | | |
| 11 | 1869-01850 | 107 B. (Aur) | 6,3 | Dd | 11,8 | 18 42,7 | — | — | 131 | + 55 S | 47 | | |
| 12 | 1870-01883 | 406 B. Tau | 5,6 | Dd | 12,1 | 2 01,4 | + 0,7 | - 1,3 | 85 | + 76 N | 41 | | |
| 12 | 1871-02618 | 136 Tau | 4,6 | Dd | 12,2 | 3 21,7 | — | — | 161 | + 29 S | 28 | | |

| Date — Datum 2025 | ETOILE — STER | | | Magn. | Phéno- mène — Ver- schijn- sel | Age — Ouder- dom | UT | <i>a</i> | <i>b</i> | <i>P</i> | Cusp angle | <i>b</i> |
|----------------------------|------------------------|------------------|--------------|-------|---|---------------------------|---------|----------|----------|----------|---------------|----------|
| | Nº GSC / TYC nr. | Nom — Naam | d | | | | | | | | | |
| | | | h | | | | | | | | | |
| Jan. | 12 | 1901-01581 | +27°1219 | 6,7 | Dd | 13,0 | 21 43,6 | + 1,4 | + 0,9 | 83 | + 59 N | 63 |
| Janv. | 17 | 0841-00433 | 162 B. Leo | 6,6 | Rd | 17,1 | 1 37,9 | — | — | 269 | + 69 S | 49 |
| | 18 | 0273-00621 | +01°2624 | 6,3 | Rd | 19,0 | 23 38,1 | — | — | 7 | + 16 N | 18 |
| | 20 | 4954-01496 | 25 f Vir | 5,9 | Rd | 20,1 | 0 39,0 | — | — | 226 | + 22 S | 16 |
| | 20 | 4954-01497 | 261 B. Vir | 6,7 | Rd | 20,2 | 2 53,2 | + 1,3 | + 0,1 | 295 | + 88 N | 30 |
| | 21 | 5547-00178 | 62 Vir | 6,7 | Rd | 21,1 | 1 25,4 | + 0,9 | + 1,4 | 277 | + 75 S | 12 |
| | 23 | 6180-00855 | 43 B. Lib | 5,7 | Rd | 23,3 | 4 53,0 | — | — | 357 | + 18 N | 15 |
| | 24 | 6782-02146 | -24°12296 | 7,2 | Rd | 24,3 | 5 21,1 | + 0,7 | + 0,0 | 321 | + 49 N | 10 |
| Févr. | 2 | 0013-00974 | | 7,6 | Dd | 4,3 | 19 17,4 | — | — | 126 | + 31 S | 23 |
| Febr. | 3 | 0617-01239 | | 7,6 | Ddt | 5,2 | 17 12,6 | + 0,6 | + 2,0 | 16 | + 39 N | 48 |
| | 3 | 0617-00202 | | 8,3 | Dd | 5,3 | 19 22,6 | + 0,7 | + 1,0 | 27 | + 50 N | 35 |
| | 3 | 0624-00561 | | 7,6 | Dd | 5,4 | 22 01,0 | + 0,2 | - 0,6 | 59 | + 81 N | 12 |
| | 4 | 1218-01302 | + 16°283 | 7,5 | Dd | 6,3 | 20 31,2 | + 0,9 | + 0,8 | 33 | + 52 N | 38 |
| | 6 | 1797-01555 | 66 Ari | 6,0 | Dd | 7,5 | 0 21,5 | - 0,1 | - 1,4 | 88 | + 78 S | 15 |
| | 6 | 1820-00706 | | 7,8 | Dd | 8,3 | 20 57,1 | — | — | 123 | + 49 S | 56 |
| | 7 | 1855-00230 | 354 B. Tau | 6,3 | Dd | 9,3 | 20 08,6 | + 1,6 | + 0,4 | 77 | + 77 N | 67 |
| | 8 | 1869-01850 | 107 B. (Aur) | 6,3 | Dd | 9,6 | 2 57,9 | - 0,5 | - 1,6 | 117 | + 64 S | 14 |
| | 17 | 5540-01438 | 50 Vir | 6,0 | Rd | 18,7 | 5 03,7 | + 0,9 | - 1,8 | 333 | + 51 N | 23 |
| Mars | 2 | 0612-00224 | + 08°183 | 7,2 | Dd | 2,8 | 20 02,6 | — | — | 8 | + 33 N | 9 |
| Maart | 3 | 1207-01354 | + 14°326 | 6,5 | Ddt | 3,7 | 17 48,9 | — | — | 127 | + 31 S | 41 |
| | 3 | 1207-01174 | | 8,1 | Dd | 3,7 | 18 11,4 | + 0,9 | + 0,1 | 50 | + 72 N | 38 |
| | 3 | 1214-00084 | + 15°305 | 7,0 | Dd | 3,8 | 20 47,0 | + 0,0 | - 1,9 | 102 | + 56 S | 15 |
| | 4 | 1231-00903 | + 20°496 | 7,3 | Dd | 4,8 | 20 37,1 | + 0,8 | + 0,8 | 28 | + 46 N | 29 |
| | 6 | 1853-01550 | 38 B. (Aur) | 6,6 | Dd | 6,8 | 19 36,9 | + 1,4 | - 0,5 | 81 | + 86 N | 59 |

| | | | | | | | | | | | | |
|-------|------------|------------|---------------------------|-----|------|---------|---------|-------|-------|--------|--------|----|
| 6 | 1854-00154 | + 27°734 | 7,0 | Dd | 6,9 | 22 15,7 | + 0,3 | - 2,1 | 116 | + 59 S | 36 | |
| 8 | 1904-01157 | 47 Gem | 5,8 | Dd | 8,9 | 21 46,7 | + 0,8 | - 2,3 | 132 | + 58 S | 57 | |
| 9 | 1917-02488 | 134 B. Gem | 6,4 | Dd | 9,0 | 0 29,0 | + 0,6 | - 1,4 | 82 | + 72 N | 33 | |
| 17 | 5551-01507 | 550 B. Vir | 5,9 | Rd | 17,0 | 1 07,4 | + 0,2 | - 1,6 | 354 | + 33 N | 25 | |
| 20 | 6783-02697 | 6 π Sco | 2,9 | Rd | 20,1 | 2 33,0 | + 0,9 | - 0,1 | 322 | + 53 N | 11 | |
| Avril | 1 | 1799-01441 | 17 Tau (Electra) | 3,7 | Dd | 3,4 | 20 52,1 | + 0,2 | - 0,9 | 66 | + 83 N | 18 |
| April | 1 | 1799-01440 | 16 Tau (Celaeno) | 5,5 | Dd | 3,4 | 21 07,5 | — | — | 17 | + 34 N | 16 |
| | 1 | 1799-00079 | | 7,9 | Dd | 3,4 | 21 12,2 | - 0,1 | - 1,3 | 89 | + 74 S | 15 |
| | 1 | 1800-01974 | | 7,7 | Dd | 3,4 | 21 24,4 | + 0,1 | - 0,7 | 59 | + 75 N | 13 |
| | 1 | 1800-02204 | 23 Tau (Merope) | 4,1 | Dd | 3,4 | 21 24,6 | - 0,4 | - 1,8 | 113 | + 51 S | 13 |
| | 1 | 1799-00184 | + 23°512 | 7,2 | Dd | 3,4 | 21 30,7 | — | — | 7 | + 23 N | 12 |
| | 1 | 1800-01908 | + 23°523 | 7,3 | Dd | 3,4 | 21 32,7 | + 0,2 | - 0,4 | 47 | + 63 N | 12 |
| | 1 | 1800-02201 | 24 Tau | 6,3 | Dd | 3,4 | 21 45,2 | - 0,2 | - 1,1 | 84 | + 80 S | 10 |
| | 1 | 1800-02202 | 25 η Tau (Alcyone) | 2,9 | Dd | 3,5 | 21 48,0 | - 0,2 | - 1,2 | 87 | + 77 S | 10 |
| | 1 | 1800-01567 | + 23°538 | 7,3 | Dd | 3,5 | 21 52,9 | - 0,8 | - 2,3 | 132 | + 32 S | 9 |
| | 1 | 1800-01622 | + 23°540 | 6,8 | Dd | 3,5 | 21 55,1 | + 0,1 | - 0,4 | 47 | + 63 N | 9 |
| | 1 | 1800-02200 | 28 Tau = BU Tau (Pleione) | 5,0 | Dd | 3,5 | 22 24,2 | - 0,4 | - 1,2 | 92 | + 72 S | 5 |
| | 1 | 1800-02203 | 27 Tau (Atlas) | 3,6 | Dd | 3,5 | 22 25,2 | - 0,6 | - 1,5 | 110 | + 54 S | 5 |
| | 1 | 1800-02202 | 25 η Tau (Alcyone) | 2,9 | Rb | 3,5 | 22 37,9 | - 0,4 | - 0,9 | 257 | - 87 N | 3 |
| | 2 | 1839-00482 | | 7,9 | Dd | 4,4 | 20 57,1 | + 0,1 | - 1,7 | 102 | + 69 S | 28 |
| | 2 | 1839-00349 | | 8,1 | Dd | 4,4 | 21 14,4 | + 0,1 | - 1,5 | 93 | + 78 S | 26 |
| | 3 | 1874-00461 | | 8,3 | Dd | 5,4 | 19 22,9 | + 1,3 | - 0,5 | 72 | + 75 N | 53 |
| | 3 | 1870-01883 | 406 B. Tau | 5,6 | Dd | 5,4 | 20 37,9 | + 0,0 | - 3,0 | 143 | + 35 S | 41 |
| | 3 | 1870-01502 | | 8,2 | Dd | 5,4 | 20 42,2 | + 0,5 | - 1,8 | 109 | + 69 S | 41 |
| | 4 | 1876-01769 | + 28°966 | 6,7 | Dd | 5,5 | 0 09,8 | + 0,1 | - 0,5 | 45 | + 46 N | 11 |
| | 4 | 1902-01751 | | 7,8 | Dd | 6,4 | 21 39,9 | + 0,4 | - 2,0 | 118 | + 68 S | 40 |
| | 4 | 1902-01729 | + 27°1270 | 7,2 | Dd | 6,4 | 21 41,5 | + 0,5 | - 1,8 | 108 | + 77 S | 40 |
| | 4 | 1903-00670 | + 27°1292 | 7,5 | Dd | 6,5 | 23 43,6 | - 0,5 | - 2,1 | 142 | + 44 S | 21 |
| | 4 | 1903-01429 | + 27°1296 | 7,2 | Dd | 6,5 | 23 52,0 | + 0,2 | - 1,1 | 70 | + 64 N | 21 |
| | 5 | 1929-01415 | | 7,7 | Dd | 7,5 | 22 33,7 | + 0,2 | - 2,2 | 134 | + 58 S | 39 |
| | 8 | 0841-00433 | 162 B. Leo | 6,6 | Dd | 10,5 | 22 23,9 | + 1,8 | - 0,9 | 92 | + 69 N | 47 |

| Date — Datum 2025 | | ETOILE — STER | | Magn. | Phéno- mène — Ver- schijn- sel | Age — Ouder- dom | UT | <i>a</i> | <i>b</i> | <i>P</i> | Cusp angle | <i>b</i> |
|----------------------------|----|------------------------|--------------------|-------|---|---------------------------|---------|----------|----------|----------|---------------|----------|
| | | Nº GSC / TYC nr. | Nom — Naam | | | | | | | | | |
| Avril | 11 | 4954-01496 | 25 <i>f</i> Vir | 5,9 | Dd | 13,5 | 22 24,9 | + 2,4 | + 0,8 | 80 | + 66 N | 33 |
| April | 20 | 6884-02464 | 234 B. Sgr | 6,0 | Rd | 21,7 | 2 53,2 | + 1,4 | + 1,3 | 247 | + 74 S | 5 |
| | 22 | 6359-01519 | 28 <i>φ</i> Cap | 5,2 | Rd | 23,7 | 3 22,0 | + 1,0 | + 1,9 | 219 | + 58 S | 4 |
| | 29 | 1820-01416 | 59 <i>χ</i> Tau | 5,4 | Dd | 2,1 | 20 57,1 | - 0,7 | - 1,8 | 126 | + 37 S | 8 |
| | 30 | 1856-00980 | | 7,9 | Dd | 3,0 | 20 29,8 | - 0,2 | - 1,7 | 113 | + 59 S | 22 |
| | 30 | 1856-00805 | + 27°783 | 7,4 | Dd | 3,1 | 22 01,5 | - 0,2 | - 0,9 | 66 | + 73 N | 9 |
| Mai | 1 | 1887-01176 | | 7,6 | Dd | 4,1 | 21 03,4 | — | — | 39 | + 38 N | 26 |
| Mei | 1 | 1888-01386 | + 27°1164 | 6,9 | Dd | 4,1 | 22 18,0 | - 0,5 | - 1,8 | 134 | + 47 S | 15 |
| | 4 | 1405-00418 | | 7,7 | Dd | 7,0 | 19 56,7 | + 1,2 | - 1,4 | 110 | + 88 S | 51 |
| | 4 | 1405-01111 | + 18°2183 | 7,1 | Dd | 7,1 | 21 20,6 | + 0,4 | - 2,1 | 137 | + 61 S | 41 |
| | 6 | 0261-00085 | + 08°2434 | 7,4 | Dd | 9,0 | 20 03,8 | + 1,3 | - 1,2 | 125 | + 77 S | 46 |
| | 10 | 5540-01438 | 50 Vir | 6,0 | Dd | 12,2 | 0 14,3 | — | — | 50 | + 33 N | 20 |
| | 20 | 6363-01045 | 152 B. Cap | 6,4 | Rd | 22,3 | 2 37,3 | + 1,0 | + 1,6 | 246 | + 86 S | 11 |
| | 22 | 5247-01100 | 337 B. Aqr | 6,3 | Rd | 24,3 | 2 07,3 | + 0,3 | + 1,6 | 271 | + 65 N | 5 |
| | 29 | 1904-00234 | + 26°1481 | 6,7 | Dd | 2,8 | 21 12,6 | - 0,1 | - 1,1 | 73 | + 71 N | 13 |
| | 30 | 1927-01626 | 35 B. Cnc | 6,6 | Dd | 3,8 | 22 02,0 | - 0,3 | - 1,5 | 107 | + 83 S | 12 |
| Juin | 3 | 0267-01191 | 83 Leo | 6,5 | Ddt | 7,7 | 20 15,1 | + 1,2 | - 1,6 | 120 | + 83 S | 36 |
| Juni | 3 | 0267-01193 | 84 τ Leo | 5,0 | Dd | 7,8 | 21 06,4 | + 1,1 | - 1,7 | 107 | + 84 N | 31 |
| | 3 | 0267-01194 | + 03°2505 | 7,5 | Dd | 7,8 | 21 07,4 | + 1,0 | - 1,7 | 112 | + 89 N | 31 |
| | 3 | 0267-00843 | + 03°2506 | 7,2 | Dd | 7,8 | 21 26,9 | + 1,0 | - 1,7 | 104 | + 81 N | 28 |
| | 20 | 0018-00698 | + 06°124 | 7,4 | Rd | 23,9 | 1 48,8 | - 0,1 | + 2,1 | 191 | + 34 S | 15 |
| | 23 | 1800-02204 | 23 Tau (Merope) | 4,1 | Rd | 27,0 | 2 38,2 | + 0,1 | + 1,0 | 301 | + 53 N | 12 |
| | 23 | 1800-02202 | 25 η Tau (Alcyone) | 2,9 | Ddt | 27,0 | 2 45,6 | — | — | 350 | + 4 N | 13 |
| | 23 | 1800-02202 | 25 η Tau (Alcyone) | 2,9 | Rdt | 27,0 | 2 53,7 | — | — | 331 | + 22 N | 14 |

| | | | | | | | | | | | | |
|--------|----|------------|--------------------|-----|-----|------|---------|-------|-------|-----|--------|----|
| Juill. | 3 | 1800-02203 | 27 Tau (Atlas) | 3,6 | Dbt | 27,0 | 2 57,4 | - 0,4 | + 1,6 | 50 | - 57 N | 14 |
| Juli | 3 | 5550-00417 | 497 B. Vir | 6,9 | Dd | 8,4 | 21 06,0 | + 1,1 | - 1,7 | 121 | + 80 S | 17 |
| | 17 | 0017-00302 | | 7,7 | Rd | 21,6 | 2 05,4 | + 0,5 | + 2,0 | 210 | + 54 S | 34 |
| | 18 | 0624-00561 | | 7,6 | Rd | 22,6 | 1 22,5 | + 0,2 | + 2,0 | 218 | + 60 S | 27 |
| | 18 | 0627-01377 | 100 Psc | 7,3 | Rd | 22,7 | 2 54,4 | + 1,4 | + 1,1 | 276 | + 63 N | 40 |
| | 20 | 1797-01555 | 66 Ari | 6,0 | Rd | 24,7 | 3 01,6 | + 0,0 | + 2,1 | 222 | + 54 S | 33 |
| | 21 | 1820-01416 | 59 χ Tau | 5,4 | Rd | 25,6 | 0 13,9 | - 0,6 | + 1,2 | 242 | + 68 S | 3 |
| | 22 | 1856-00805 | + 27°783 | 7,4 | Rd | 26,6 | 1 47,2 | + 0,1 | + 0,5 | 317 | + 47 N | 9 |
| Août | 13 | 0006-01362 | 87 G. Psc | 6,9 | Rd | 19,2 | 0 22,0 | + 0,9 | + 1,6 | 237 | + 81 S | 35 |
| Aug. | 13 | 0013-01547 | 116 B. Psc | 6,5 | Rd | 19,3 | 2 58,7 | — | — | 301 | + 34 N | 44 |
| | 14 | 0617-00558 | 241 B. Psc | 6,8 | Rd | 20,4 | 3 41,6 | + 1,3 | + 0,8 | 241 | + 84 S | 51 |
| | 16 | 1231-00913 | | 7,5 | Rd | 22,3 | 1 19,2 | + 0,3 | + 1,9 | 237 | + 73 S | 36 |
| | 16 | 1231-00811 | + 21°416 | 7,2 | Rd | 22,3 | 1 39,2 | + 0,6 | + 1,7 | 253 | + 88 S | 39 |
| | 16 | 1231-01180 | | 7,6 | Rd | 22,3 | 1 56,1 | + 1,6 | + 0,5 | 299 | + 45 N | 42 |
| | 18 | 1854-00154 | + 27°734 | 7,0 | Rd | 24,2 | 0 11,3 | + 0,0 | + 0,9 | 300 | + 57 N | 13 |
| | 19 | 1886-01698 | | 7,7 | Rd | 25,4 | 3 42,8 | + 1,0 | + 0,3 | 310 | + 56 N | 35 |
| | 20 | 1913-00930 | | 7,5 | Rd | 26,3 | 2 30,9 | + 0,0 | + 0,9 | 296 | + 77 N | 14 |
| | 30 | 6787-02513 | 4 Sco | 5,6 | Dd | 7,5 | 19 13,6 | + 1,3 | - 0,7 | 55 | + 42 N | 8 |
| Sept. | 7 | 5249-01400 | 90 φ Aqr | 4,2 | Rd | 15,7 | 22 15,5 | + 0,8 | + 1,5 | 212 | + 33 S | 30 |
| Sept. | 8 | 5249-01398 | 96 Aqr | 5,6 | Rd | 15,8 | 1 34,3 | + 0,5 | + 1,0 | 203 | + 38 S | 30 |
| | 10 | 0612-00325 | 180 B. Psc | 6,8 | Rd | 17,8 | 1 39,0 | — | — | 289 | + 45 N | 48 |
| | 12 | 1230-01048 | + 19°432 | 7,1 | Rd | 19,8 | 0 59,6 | + 0,5 | + 2,2 | 215 | + 54 S | 50 |
| | 12 | 1230-01424 | 48 ε Ari | 4,6 | Rd | 19,9 | 3 59,6 | + 1,4 | + 0,3 | 251 | + 90 S | 60 |
| | 12 | 1799-01440 | 16 Tau (Celaeno) | 5,5 | Rd | 20,6 | 20 44,2 | — | — | 332 | + 14 N | 8 |
| | 12 | 1799-01441 | 17 Tau (Electra) | 3,7 | Rd | 20,6 | 20 59,4 | - 0,3 | + 1,2 | 272 | + 74 N | 10 |
| | 12 | 1799-01439 | 20 Tau (Maia) | 3,9 | Rd | 20,6 | 21 07,3 | — | — | 330 | + 16 N | 11 |
| | 12 | 1800-02204 | 23 Tau (Merope) | 4,1 | Rd | 20,6 | 21 19,5 | - 0,6 | + 1,7 | 213 | + 47 S | 12 |
| | 12 | 1800-02201 | 24 Tau | 6,3 | Rd | 20,7 | 21 49,5 | - 0,3 | + 1,7 | 232 | + 66 S | 16 |
| | 12 | 1800-02202 | 25 η Tau (Alcyone) | 2,9 | Rd | 20,7 | 21 51,1 | - 0,4 | + 1,7 | 227 | + 61 S | 17 |
| | 12 | 1800-01622 | + 23°540 | 6,8 | Rd | 20,7 | 21 58,5 | - 0,1 | + 1,4 | 264 | + 82 N | 18 |

| Date — Datum 2025 | ETOILE — STER | | | Magn. | Phéno- mène — Ver- schijn- sel | Age — Ouder- dom | UT | <i>a</i> | <i>b</i> | <i>P</i> | Cusp angle | <i>b</i> | 196 |
|----------------------------|------------------------|------------------|---------------|-------|---|---------------------------|---------|----------|----------|----------|---------------|----------|--------------|
| | Nº GSC / TYC nr. | Nom — Naam | d | | | | | | | | | | OCCULTATIONS |
| | Sept. | 12 | 1800-02200 | 5,0 | Rd | 20,7 | 22 20,0 | - 0,6 | + 2,2 | 200 | + 34 S | 21 | |
| Sept. | 12 | 1800-01601 | 105 B. Tau | 7,0 | Rd | 20,7 | 22 22,0 | + 0,0 | + 1,5 | 259 | + 88 N | 21 | |
| | 12 | 1804-00265 | | 7,5 | Rd | 20,7 | 22 40,5 | + 0,1 | + 1,6 | 255 | + 89 S | 24 | |
| | 12 | 1804-02047 | + 23°561 | 6,6 | Rd | 20,7 | 22 41,9 | + 0,0 | + 1,6 | 251 | + 85 S | 24 | |
| | 12 | 1800-00985 | | 7,5 | Rd | 20,7 | 22 52,3 | - 0,1 | + 1,8 | 235 | + 68 S | 26 | |
| | 12 | 1804-00163 | + 24°578 | 7,4 | Rd | 20,7 | 23 10,0 | + 0,2 | + 1,6 | 254 | + 88 S | 29 | |
| | 13 | 1817-00797 | + 24°598 | 7,5 | Rd | 20,8 | 2 17,5 | + 1,8 | + 0,0 | 294 | + 54 N | 56 | |
| | 14 | 1840-01229 | + 26°764 | 7,3 | Rd | 21,8 | 0 08,6 | + 0,1 | + 1,7 | 252 | + 79 S | 30 | |
| | 14 | 1840-01235 | + 27°716 | 7,0 | Rd | 21,8 | 1 53,6 | + 0,4 | + 2,4 | 226 | + 52 S | 46 | |
| | 14 | 1853-01550 | 38 B. (Aur) | 6,6 | Rd | 21,9 | 4 22,2 | + 1,4 | + 0,9 | 257 | + 83 S | 65 | |
| | 14 | 1871-02618 | 136 Tau | 4,6 | Rd | 22,7 | 21 58,3 | - 0,8 | + 1,5 | 222 | + 42 S | 4 | |
| | 14 | 1871-02617 | + 27°914 | 7,0 | Rd | 22,7 | 22 50,3 | - 0,6 | + 1,6 | 236 | + 56 S | 11 | |
| | 15 | 1876-01769 | + 28°966 | 6,7 | Rd | 22,8 | 0 27,9 | + 0,5 | + 0,7 | 305 | + 56 N | 25 | |
| | 16 | 1904-00138 | | 7,6 | Rd | 23,9 | 3 30,4 | — | — | 215 | + 26 S | 42 | |
| | 16 | 1904-01157 | 47 Gem | 5,8 | Rd | 23,9 | 4 29,8 | + 1,3 | - 0,2 | 305 | + 64 N | 51 | |
| | 17 | 1927-00254 | | 8,1 | Rd | 24,9 | 3 13,8 | + 0,9 | - 0,5 | 327 | + 48 N | 29 | |
| | 19 | | Vénus – Venus | -3,9 | D1bj | 27,2 | 12 00,3 | + 1,0 | - 2,0 | 130 | - 73 S | 44 | |
| | 19 | | Vénus – Venus | -3,9 | D2bj | 27,2 | 12 00,8 | + 1,0 | - 2,0 | 130 | - 73 S | 44 | |
| | 19 | | Vénus – Venus | -3,9 | R3dj | 27,3 | 13 17,7 | + 0,7 | - 2,1 | 304 | + 79 N | 34 | |
| | 19 | | Vénus – Venus | -3,9 | R4dj | 27,3 | 13 18,1 | + 0,7 | - 2,1 | 304 | + 79 N | 34 | |
| Oct. | 2 | 6354-00402 | 26 Cap | 6,7 | Dd | 11,1 | 22 26,1 | + 1,1 | - 0,7 | 73 | + 87 S | 13 | |
| Okt. | 4 | 5808-01683 | 33 1 Aqr | 4,3 | Dd | 12,2 | 1 31,8 | + 0,1 | - 0,1 | 41 | + 64 N | 2 | |
| | 9 | 1219-00097 | + 18°325 | 6,8 | Rd | 17,2 | 1 43,8 | + 1,0 | + 1,6 | 215 | + 60 S | 57 | |
| | 11 | 1838-01923 | + 26°731 | 6,6 | Rd | 19,2 | 1 04,7 | + 1,4 | + 0,6 | 277 | + 72 N | 57 | |

| 11 | 1869-01850 | 107 B. (Aur) | 6,3 | Rd | 20,1 | 21 39,4 | - 0,3 | + 1,6 | 243 | + 67 S | 18 | 2025 | BEDEKKINGEN | |
|------|------------|--------------------|------------|-----|------|---------|---------|-------|-----|--------|--------|------|-------------|--|
| | | | | | | | | | | | | | | |
| 12 | 1870-01883 | 406 B. Tau | 5,6 | Rd | 20,3 | 4 11,0 | — | — | 223 | + 46 S | 67 | | | |
| 13 | 1901-01374 | + 27°1236 | 6,7 | Rd | 21,2 | 1 22,4 | + 0,6 | + 1,9 | 251 | + 66 S | 42 | | | |
| 13 | 1902-01751 | | 7,8 | Rd | 21,4 | 4 41,3 | + 1,5 | - 0,5 | 290 | + 75 N | 66 | | | |
| 13 | 1902-01729 | + 27°1270 | 7,2 | Rd | 21,4 | 4 43,1 | + 1,5 | - 0,9 | 299 | + 66 N | 66 | | | |
| 14 | 1929-01209 | | 7,8 | Rd | 22,3 | 2 18,2 | + 0,9 | + 0,5 | 299 | + 72 N | 40 | | | |
| 14 | 1929-01415 | | 7,7 | Rd | 22,4 | 4 26,8 | + 1,4 | - 0,9 | 313 | + 59 N | 57 | | | |
| 16 | 1410-00784 | 8 Leo | 5,7 | Rd | 24,2 | 0 53,6 | — | — | 356 | + 24 N | 5 | | | |
| 16 | 1410-00303 | | 8,0 | Rd | 24,3 | 3 47,3 | + 0,8 | + 0,9 | 289 | + 88 S | 31 | | | |
| 17 | 0841-01181 | + 10°2160 | 7,2 | Rd | 25,3 | 3 41,1 | + 0,4 | + 2,2 | 260 | + 58 S | 19 | | | |
| 17 | 0841-00957 | | 8,3 | Rd | 25,4 | 4 56,8 | + 0,8 | + 0,5 | 298 | + 84 N | 30 | | | |
| 19 | 4939-00347 | 31 B. Vir | 6,3 | Rd | 27,4 | 5 31,9 | + 0,4 | + 0,3 | 311 | + 69 N | 14 | | | |
| 29 | 6343-00491 | -22°5511 | 7,2 | Dd | 8,3 | 18 48,8 | + 1,8 | - 0,6 | 94 | + 70 S | 16 | | | |
| 30 | 6366-01227 | -17°6329 | 7,3 | Dd | 9,4 | 20 55,0 | + 1,2 | - 0,7 | 76 | + 85 S | 16 | | | |
| 30 | 6362-01078 | 40 γ Cap (Nashira) | 3,7 | Dd | 9,4 | 22 30,0 | + 0,2 | + 0,1 | 35 | + 55 N | 7 | | | |
| 31 | 5814-01594 | 58 Aqr | 6,4 | Dd | 10,4 | 2 310,4 | + 0,7 | - 1,0 | 74 | + 84 S | 13 | | | |
| 31 | 5814-01593 | 57 σ Aqr | 4,8 | Dd | 10,5 | 23 19,9 | — | — | 345 | + 8 N | 11 | | | |
| Nov. | 1 | 5249-01400 | 90 φ Aqr | 4,2 | Dd | 11,2 | 18 20,7 | — | — | 125 | + 32 S | 28 | | |
| Nov. | 1 | 5247-01101 | 319 B. Aqr | 6,8 | Dd | 11,4 | 23 01,0 | — | — | 107 | + 49 S | 25 | | |
| 5 | 1230-01425 | 47 Ari | 5,8 | Rd | 15,4 | 21 08,5 | + 0,2 | + 2,4 | 203 | + 77 E | 48 | | | |
| 6 | 1817-00176 | + 24°599 | 6,2 | Rd | 16,3 | 19 03,3 | - 0,4 | + 2,0 | 215 | + 59 S | 23 | | | |
| 8 | 1855-00230 | 354 B. Tau | 6,3 | Rd | 17,6 | 2 14,4 | + 1,5 | - 1,4 | 300 | + 50 N | 67 | | | |
| 9 | 1888-01386 | + 27°1164 | 6,9 | Rd | 18,7 | 6 08,6 | + 1,1 | - 0,9 | 259 | + 79 S | 48 | | | |
| 11 | 1405-00943 | 83 Cnc | 6,6 | Rd | 21,4 | 22 56,0 | - 0,2 | + 1,2 | 279 | + 81 S | 7 | | | |
| 13 | 0840-00227 | + 12°2177 | 7,3 | Rd | 22,6 | 2 25,7 | + 0,8 | + 1,7 | 269 | + 68 S | 27 | | | |
| 13 | 0840-00817 | | 7,7 | Rd | 22,7 | 5 07,4 | — | — | 10 | + 11 N | 47 | | | |
| 14 | 0268-01064 | 59 c Leo | 5,0 | Rd | 23,6 | 2 09,5 | + 0,4 | + 0,8 | 295 | + 87 N | 14 | | | |
| 14 | 0268-00515 | | 8,2 | Rd | 23,7 | 4 03,5 | + 0,5 | - 1,3 | 341 | + 42 N | 30 | | | |
| 14 | 0268-00396 | | 8,2 | Rd | 23,7 | 5 39,5 | — | — | 351 | + 31 N | 40 | | | |
| 15 | 4931-00416 | 9 B. Vir | 6,2 | Rd | 24,7 | 4 51,3 | + 0,7 | - 0,2 | 318 | + 64 N | 26 | | | |
| 27 | 5808-01683 | 33 1 Aqr | 4,3 | Dd | 7,5 | 17 54,9 | + 1,4 | + 0,1 | 69 | + 89 N | 25 | | | |

| Date — Datum | ETOILE — STER | | | Magn. | Phéno- mène — Ver- schijn- sel | Age — Ouder- dom | UT | α | b | P | Cusp angle | h |
|--------------------|------------------------|---------------------------|-----|-------|---|---------------------------|-------|----------|-----|--------|---------------|-----|
| | Nº GSC / TYC nr. | Nom — Naam | | | | | | | | | | |
| | 2025 | | | | | | | | | | | |
| Nov. 27 | 5809-01679 | -14°6218 | 6,9 | Dd | 7,5 | 19 47,3 | + 0,6 | + 0,2 | 40 | + 60 N | 19 | |
| Nov. 28 | 5248-01392 | 82 Aqr | 6,2 | Dd | 8,7 | 23 01,5 | + 0,3 | - 0,9 | 67 | + 90 N | 6 | |
| 29 | 5252-00886 | -01°4489 | 7,1 | Dd | 9,6 | 20 53,4 | + 1,3 | - 0,6 | 78 | + 78 S | 33 | |
| 30 | 0013-01547 | 116 B. Psc | 6,5 | Dd | 10,4 | 16 21,6 | + 0,1 | + 2,3 | 8 | + 31 N | 29 | |
| Déc. 2 | 1219-00097 | +18°325 | 6,8 | Dd | 12,7 | 23 35,3 | — | — | 126 | + 42 S | 50 | |
| Dec. 3 | 1229-01969 | 34 μ Ari | 5,7 | Dd | 12,9 | 3 44,3 | + 0,4 | + 0,3 | 30 | + 40 N | 14 | |
| 4 | 1799-01440 | 16 Tau (Celaeno) | 5,5 | Dd | 13,9 | 3 12,0 | + 0,5 | - 1,1 | 80 | + 74 N | 32 | |
| 4 | 1799-01441 | 17 Tau (Electra) | 3,7 | Dd | 13,9 | 3 17,0 | + 0,2 | - 2,3 | 119 | + 67 S | 31 | |
| 4 | 1803-01585 | 19 η Tau (Taygeta) | 4,3 | Dd | 13,9 | 3 30,0 | + 0,7 | - 0,1 | 45 | + 39 N | 29 | |
| 4 | 1799-01439 | 20 Tau (Maia) | 3,9 | Dd | 13,9 | 3 37,5 | + 0,4 | - 0,9 | 72 | + 65 N | 28 | |
| 4 | 1803-01584 | 21 Tau (Asterope) | 5,8 | Dd | 13,9 | 3 54,0 | — | — | 27 | + 20 N | 26 | |
| 4 | 1800-02202 | 25 η Tau (Alcyone) | 2,9 | Dd | 13,9 | 4 28,7 | — | — | 151 | + 36 S | 20 | |
| 4 | 1800-02200 | 28 Tau = BU Tau (Pleione) | 5,0 | Dd | 13,9 | 5 13,0 | — | — | 168 | + 19 S | 14 | |
| 4 | 1800-02200 | 28 Tau = BU Tau (Pleione) | 5,0 | Rd | 13,9 | 5 17,2 | — | — | 178 | + 10 S | 13 | |
| 5 | 1870-01883 | 406 B. Tau | 5,6 | Rd | 15,7 | 23 24,4 | + 1,5 | - 0,5 | 296 | + 47 N | 64 | |
| 6 | 1871-02618 | 136 Tau | 4,6 | Rd | 15,7 | 0 17,1 | — | — | 211 | + 48 S | 67 | |
| 6 | 1872-02488 | 415 B. (Tau) | 6,0 | Rd | 15,9 | 4 00,8 | + 1,2 | - 0,4 | 244 | + 78 S | 47 | |
| 7 | 1926-00770 | 5 B. Cnc | 6,3 | Rd | 17,7 | 22 34,4 | + 0,5 | + 2,2 | 249 | + 61 S | 36 | |
| 9 | 1404-01801 | 80 Cnc | 6,9 | Rd | 19,0 | 5 49,7 | + 0,8 | - 1,8 | 307 | + 69 N | 49 | |
| 10 | 0833-01381 | 32 α Leo (Regulus) | 1,4 | Dbt | 20,0 | 7 32,9 | + 1,1 | - 1,5 | 94 | - 73 N | 37 | |
| 10 | 0833-01381 | 32 α Leo (Regulus) | 1,4 | Rdj | 20,1 | 8 29,9 | + 0,1 | - 2,2 | 333 | + 48 N | 29 | |
| 11 | 0846-01243 | — | 7,5 | Rd | 20,8 | 1 28,1 | — | — | 248 | + 46 S | 27 | |
| 16 | 6161-01490 | 9 G. Lib | 6,5 | Rd | 26,0 | 5 41,4 | + 1,0 | + 1,2 | 279 | + 87 S | 9 | |
| 23 | 6354-01492 | 22 η Cap (Chow) | 4,8 | Dd | 3,7 | 17 53,6 | + 0,8 | - 0,9 | 72 | + 85 N | 7 | |

| | | | | | | | | | | | |
|----|------------|-------------------------|-----|----|------|---------|-------|-------|-----|--------|----|
| 25 | 5812-01448 | 204 B. Aqr | 6,9 | Dd | 5,6 | 17 11,6 | + 1,2 | + 0,2 | 56 | + 78 N | 28 |
| 27 | 0005-00788 | + 02°32' | 7,2 | Dd | 7,7 | 19 09,6 | + 1,0 | + 0,5 | 48 | + 71 N | 39 |
| 28 | 0612-00248 | 198 B. Psc | 6,7 | Dd | 8,7 | 19 04,7 | — | — | 112 | + 46 S | 48 |
| 29 | 1214-00532 | 20 H ¹ . Ari | 6,4 | Dd | 9,9 | 23 30,1 | + 0,7 | + 0,4 | 36 | + 54 N | 30 |
| 30 | 1230-01424 | 48 ε Ari | 4,6 | Dd | 10,7 | 18 35,6 | + 1,1 | + 1,4 | 62 | + 75 N | 56 |

198

OCCULTATIONS

2025

2025

BEDEKKINGEN

199

PHÉNOMÈNES DES SATELLITES DE JUPITER EN 2025

Sont tenus pour observables à Uccle, et insérés en cette liste, les phénomènes qui ont lieu alors que le Soleil et Jupiter sont situés respectivement au moins 5 degrés sous et 9 degrés au-dessus de l'horizon.

Les prédictions des phénomènes sont basés sur la théorie L1 de Valery Lainey (IMCCE). Les moments indiqués sont géocentriques et sont valables pour les milieux géométriques des phénomènes, ce qui revient à dire que le Soleil, la Terre et les satellites sont considérés comme des points.

En pratique, les phénomènes ont une certaine durée. Pour les occultations et les passages, cette durée correspond au laps de temps entre le premier et le deuxième contact (respectivement entre le troisième et le quatrième contact). Elle est d'environ 3,5 minutes pour Io, 4 minutes pour Europe, 8 minutes pour Ganymède et 10 minutes pour Callisto. Pour les éclipses et les passages d'ombre, il faut de plus distinguer l'ombre et la pénombre. Durant une éclipse, le satellite commence à s'atténuer dès le moment où il pénètre dans la pénombre de Jupiter, pour disparaître complètement au moment où il est totalement dans le cône d'ombre de Jupiter. Un passage d'ombre suit un scénario analogue. Pour ces derniers cas, la durée des phénomènes est d'environ 4 minutes pour Io, 5 minutes pour Europe, 11 minutes pour Ganymède et 17 minutes pour Callisto. Dans le cas de Callisto, et dans une moindre mesure dans celui de Ganymède, ces durées peuvent s'allonger lorsque les phénomènes se produisent loin de l'équateur de Jupiter.

Pour les passages devant le disque de Jupiter, il faut de plus que le satellite soit devant la portion éclairée du disque de Jupiter. Dans le cas des passages d'ombre, il faut que l'ombre se trouve sur l'hémisphère de Jupiter qui est tourné vers la Terre.

En raison de la conjonction de Jupiter du 24 juin, il n'y a pas de phénomènes observables à Uccle entre le 10 mai et le 27 juillet.

La figure à la page 209 représente les différents phénomènes d'un satellite de Jupiter observables de la Terre. Au centre du cliché est insérée une figure perspective montrant approximativement l'aspect que revêtent ces phénomènes vus de la Terre.

VERSCHIJNSELEN VAN DE SATELLIETEN VAN JUPITER IN 2025

Worden beschouwd als waarneembaar te Ukkel, en worden als dusdanig in deze lijst opgenomen, de verschijnselen die plaats hebben wanneer de zon zich minstens 5 graden onder en Jupiter minstens 9 graden boven de horizon bevinden.

De berekening van de verschijnselen gebeurden aan de hand van de theorie L1 van Valery Lainey (IMCCE). De opgegeven tijdstippen zijn geocentrisch en gelden voor het geometrische midden van de verschijnselen, wat betekent dat de zon, de aarde en de satelliëten als puntvormig beschouwd worden.

In de praktijk duren de verschijnselen een zekere tijd. Voor bedekkingen en overgangen is dat de duur tussen het eerste en het tweede (resp. derde en vierde) contact. Deze bedraagt ongeveer 3,5 minuut voor Io, 4 minuten voor Europa, 8 minuten voor Ganymedes en 10 minuten voor Callisto. Voor verduisteringen en schaduwovergangen is er bovendien nog de kernschaduw en de bijschaduw. Bij een verduistering begint de satelliet al te verzakken op het ogenblik dat hij de bijschaduw van Jupiter raakt, en is pas volledig verdwenen als hij zich volledig in de kernschaduw van Jupiter bevindt. Bij een schaduwovergang is er een analoog scenario. De duur hiervan bedraagt ongeveer 4 minuten voor Io, 5 minuten voor Europa, 11 minuten voor Ganymedes en 17 minuten voor Callisto. Vooral voor Callisto, en in mindere mate voor Ganymedes, kunnen de verschijnselen langer duren dan hierboven aangegeven, als ze zich ver van de evenaar van Jupiter voordoen.

Voor overgangen voor de Jupiterschijf wordt bovendien geëist dat de satelliet zich voor het verlichte deel van de Jupiterschijf bevindt; voor schaduwovergangen wordt geëist dat de schaduw zich op de naar de aarde toegekeerde hemisfeer van Jupiter bevindt.

Wegens de conjunctie van Jupiter op 24 juni zijn er geen verschijnselen waarneembaar te Ukkel tussen 10 mei en 27 juli.

De figuur op blz. 209 stelt de verschillende verschijnselen voor van een satelliet van Jupiter. Het perspectiefschema middenin toont bij benadering de stand van de satelliet waargenomen vanaf de aarde.

| Date — Datum 2025 | Satel- lite — Satel- liet | Phéno- mène — Ver- schijnsel | Temps universel Wereldtijd h m | Date — Datum 2025 | Satel- lite — Satel- liet | Phéno- mène — Ver- schijnsel | Temps universel Wereldtijd h m | | |
|----------------------------|---------------------------------------|--|---|----------------------------|---------------------------------------|--|---|-------|---------|
| | | | | | | | | Janv. | 1 |
| Jan. | 1 | I | Sh.I. | 4 11 | Janv. | 13 | III | Sh.I. | 18 37 |
| | 1 | II | Oc.D. | 17 15 | | 13 | III | Sh.E. | 20 54 |
| | 1 | II | Ec.R. | 21 05,6 | | 15 | II | Oc.D. | 21 55 |
| | 2 | I | Oc.D. | 0 54 | | 16 | II | Ec.R. | 2 21,9 |
| | 2 | I | Ec.R. | 3 43,0 | | 17 | I | Tr.I. | 1 35 |
| | 2 | III | Oc.D. | 21 53 | | 17 | I | Sh.I. | 2 31 |
| | 2 | I | Tr.I. | 22 01 | | 17 | II | Tr.I. | 16 56 |
| | 2 | I | Sh.I. | 22 40 | | 17 | II | Sh.I. | 18 46 |
| | 2 | III | Oc.R. | 24 00 | | 17 | II | Tr.E. | 19 27 |
| | 3 | I | Tr.E. | 0 12 | | 17 | II | Sh.E. | 21 20 |
| | 3 | III | Ec.D. | 0 26,0 | | 17 | I | Oc.D. | 22 53 |
| | 3 | I | Sh.E. | 0 52 | | 18 | I | Ec.R. | 2 01,7 |
| | 3 | III | Ec.R. | 2 43,4 | | 18 | I | Tr.I. | 20 02 |
| | 3 | I | Oc.D. | 19 20 | | 18 | I | Sh.I. | 20 59 |
| | 3 | I | Ec.R. | 22 11,7 | | 18 | I | Tr.E. | 22 13 |
| | 4 | I | Tr.I. | 16 28 | | 18 | I | Sh.E. | 23 11 |
| | 4 | I | Sh.I. | 17 09 | | 19 | I | Oc.D. | 17 20 |
| | 4 | I | Tr.E. | 18 39 | | 19 | I | Ec.R. | 20 30,4 |
| | 4 | I | Sh.E. | 19 21 | | 20 | I | Sh.E. | 17 40 |
| | 5 | I | Ec.R. | 16 40,4 | | 20 | III | Tr.I. | 18 40 |
| | 6 | III | Sh.E. | 16 53 | | 20 | III | Tr.E. | 20 50 |
| | 7 | II | Tr.I. | 1 26 | | 20 | III | Sh.I. | 22 37 |
| | 7 | II | Sh.I. | 2 53 | | 21 | III | Sh.E. | 0 56 |
| | 7 | II | Tr.E. | 3 57 | | 23 | II | Oc.D. | 0 19 |
| | 8 | II | Oc.D. | 19 34 | | 24 | II | Tr.I. | 19 19 |
| | 8 | II | Ec.R. | 23 43,7 | | 24 | II | Sh.I. | 21 22 |
| | 9 | I | Oc.D. | 2 39 | | 24 | II | Tr.E. | 21 50 |
| | 9 | I | Tr.I. | 23 48 | | 24 | II | Sh.E. | 23 56 |
| | 10 | I | Sh.I. | 0 35 | | 25 | I | Oc.D. | 0 42 |
| | 10 | III | Oc.D. | 1 17 | | 25 | I | Tr.I. | 21 51 |
| | 10 | I | Tr.E. | 1 59 | | 25 | I | Sh.I. | 22 55 |
| | 10 | I | Sh.E. | 2 47 | | 26 | I | Tr.E. | 0 02 |
| | 10 | III | Oc.R. | 3 26 | | 26 | I | Sh.E. | 1 07 |
| | 10 | II | Tr.E. | 17 07 | | 26 | II | Ec.R. | 18 19,1 |
| | 10 | II | Sh.E. | 18 45 | | 26 | I | Oc.D. | 19 09 |
| | 10 | I | Oc.D. | 21 06 | | 26 | I | Ec.R. | 22 25,5 |
| | 11 | I | Ec.R. | 0 06,7 | | 27 | I | Sh.I. | 17 24 |
| | 11 | I | Tr.I. | 18 14 | | 27 | I | Tr.E. | 18 30 |
| | 11 | I | Sh.I. | 19 04 | | 27 | I | Sh.E. | 19 36 |
| | 11 | I | Tr.E. | 20 26 | | 27 | III | Tr.I. | 22 15 |
| | 11 | I | Sh.E. | 21 16 | | 28 | III | Tr.E. | 0 27 |
| | 12 | I | Ec.R. | 18 35,4 | | 28 | III | Sh.I. | 2 38 |

| Date — Datum 2025 | Satel- lite — Satel- liet | Phéno- mène — Ver- schijnsel | Temps universel Wereldtijd h m | Date — Datum 2025 | Satel- lite — Satel- liet | Phéno- mène — Ver- schijnsel | Temps universel Wereldtijd h m | | |
|----------------------------|---------------------------------------|--|---|----------------------------|---------------------------------------|--|---|-------|---------|
| | | | | | | | | Janv. | 31 |
| Jan. | 31 | II | Tr.I. | 21 43 | Févr. | 18 | I | Oc.D. | 19 11 |
| | 31 | II | Sh.I. | 23 58 | | 18 | II | Sh.E. | 21 01 |
| Févr. | 1 | II | Tr.E. | 0 15 | | 18 | I | Ec.R. | 22 39,9 |
| Febr. | 1 | I | Tr.I. | 23 42 | | 19 | I | Sh.I. | 17 40 |
| | 2 | I | Sh.I. | 0 51 | | 19 | I | Tr.E. | 18 34 |
| | 2 | I | Tr.E. | 1 53 | | 19 | I | Sh.E. | 19 52 |
| | 2 | II | Ec.R. | 20 57,7 | | 21 | III | Oc.D. | 23 13 |
| | 2 | I | Oc.D. | 20 59 | | 23 | II | Oc.D. | 23 35 |
| | 3 | I | Ec.R. | 0 20,7 | | 24 | I | Tr.I. | 23 49 |
| | 3 | I | Tr.I. | 18 09 | | 25 | II | Tr.I. | 18 29 |
| | 3 | I | Sh.I. | 19 20 | | 25 | III | Sh.I. | 18 41 |
| | 3 | I | Tr.E. | 20 21 | | 25 | II | Tr.E. | 21 01 |
| | 3 | I | Sh.E. | 21 31 | | 25 | II | Sh.I. | 21 02 |
| | 4 | III | Tr.I. | 1 56 | | 25 | I | Oc.D. | 21 05 |
| | 4 | I | Ec.R. | 18 49,5 | | 25 | III | Sh.E. | 21 06 |
| | 7 | III | Oc.R. | 17 51 | | 25 | II | Sh.E. | 23 37 |
| | 7 | III | Ec.D. | 20 27,1 | | 26 | I | Ec.R. | 0 35,1 |
| | 7 | III | Ec.R. | 22 51,0 | | 26 | I | Tr.I. | 18 17 |
| | 8 | II | Tr.I. | 0 11 | | 26 | I | Sh.I. | 19 36 |
| | 9 | I | Tr.I. | 1 33 | | 26 | I | Tr.E. | 20 29 |
| | 9 | II | Oc.D. | 18 28 | | 27 | II | Ec.R. | 18 13,9 |
| | 9 | I | Oc.D. | 22 50 | | 27 | I | Ec.R. | 19 03,9 |
| | 9 | II | Ec.R. | 23 36,4 | | 27 | I | Ec.R. | 19 45 |
| | 10 | I | Tr.I. | 20 01 | Mars | 4 | III | Tr.E. | 19 45 |
| | 10 | I | Sh.I. | 21 15 | Maart | 4 | II | Tr.I. | 21 03 |
| | 10 | I | Tr.E. | 22 13 | | 4 | III | Sh.I. | 22 41 |
| | 10 | I | Sh.E. | 23 27 | | 4 | I | Oc.D. | 22 59 |
| | 11 | II | Sh.E. | 18 25 | | 4 | II | Tr.E. | 23 37 |
| | 11 | I | Ec.R. | 20 44,7 | | 4 | II | Sh.I. | 23 37 |
| | 12 | I | Sh.E. | 17 56 | | 5 | I | Tr.I. | 20 13 |
| | 14 | III | Oc.D. | 19 21 | | 5 | I | Sh.I. | 21 31 |
| | 14 | III | Oc.R. | 21 40 | | 5 | I | Tr.E. | 22 25 |
| | 15 | III | Ec.D. | 0 27,6 | | 5 | I | Sh.E. | 23 43 |
| | 16 | II | Oc.D. | 21 00 | | 6 | II | Oc.R. | 18 09 |
| | 16 | II | Oc.R. | 23 36 | | 6 | II | Ec.D. | 18 13,2 |
| | 16 | II | Ec.D. | 23 36,5 | | 6 | II | Ec.R. | 20 52,8 |
| | 17 | I | Oc.D. | 0 42 | | 6 | I | Ec.R. | 20 59,1 |
| | 17 | I | Tr.I. | 21 54 | | 7 | I | Sh.E. | 18 12 |
| | 17 | I | Sh.I. | 23 11 | | 11 | III | Tr.I. | 21 27 |
| | 18 | I | Tr.E. | 0 06 | | 11 | II | Tr.I. | 23 40 |
| | 18 | II | Sh.I. | 18 26 | | 11 | III | Tr.E. | 23 50 |

| | Date — Datum 2025 | Satel- lite — Satel- liet | Phéno- mène — Ver- schijnsel | Temps universel | | Date — Datum 2025 | Satel- lite — Satel- liet | Phéno- mène — Ver- schijnsel | Temps universel | |
|-------|----------------------------|---------------------------------------|--|--------------------|-----|----------------------------|---------------------------------------|--|--------------------|---------|
| | | | | Wereldtijd | h m | | | | Wereldtijd | h m |
| Mars | 12 | I | Tr.I. | 22 10 | | April | 20 | I | Tr.I. | 21 04 |
| Maart | 12 | I | Sh.I. | 23 27 | | Avril | 21 | II | Oc.D. | 21 22 |
| | 13 | II | Oc.D. | 18 13 | | | 21 | I | Ec.R. | 21 27,4 |
| | 13 | I | Oc.D. | 19 24 | | | 23 | II | Sh.E. | 20 23 |
| | 13 | II | Oc.R. | 20 50 | | | 28 | I | Oc.D. | 20 16 |
| | 13 | II | Ec.D. | 20 51,6 | | | 29 | I | Tr.E. | 19 48 |
| | 13 | I | Ec.R. | 22 54,3 | | | 29 | I | Sh.E. | 20 41 |
| | 13 | II | Ec.R. | 23 31,6 | | | 30 | II | Sh.I. | 20 20 |
| | 14 | I | Tr.E. | 18 51 | | | 30 | II | Tr.E. | 21 16 |
| | 14 | I | Sh.E. | 20 08 | | Mai | 4 | III | Oc.R. | 19 51 |
| | 15 | III | Ec.R. | 19 00,1 | | Mei | 4 | III | Ec.D. | 20 30,9 |
| | 20 | II | Oc.D. | 20 55 | | | 6 | I | Sh.I. | 20 23 |
| | 20 | I | Oc.D. | 21 21 | | | 7 | I | Ec.R. | 19 46,1 |
| | 21 | I | Tr.I. | 18 37 | | | 9 | II | Ec.R. | 20 38,2 |
| | 21 | I | Sh.I. | 19 52 | | Juill. | 28 | I | Ec.D. | 3 29,4 |
| | 21 | I | Tr.E. | 20 49 | | Août | 5 | I | Tr.I. | 3 24 |
| | 21 | I | Sh.E. | 22 04 | | Aug. | 6 | I | Oc.R. | 2 49 |
| | 22 | I | Ec.R. | 19 18,3 | | | 10 | II | Ec.D. | 3 41,7 |
| | 22 | III | Ec.D. | 20 29,6 | | | 19 | II | Tr.I. | 2 17 |
| | 22 | II | Sh.E. | 20 42 | | | 19 | II | Sh.E. | 3 19 |
| | 22 | III | Ec.R. | 23 01,2 | | | 20 | I | Ec.D. | 3 40,3 |
| | 28 | I | Tr.I. | 20 35 | | | 21 | I | Sh.E. | 3 14 |
| | 28 | I | Sh.I. | 21 48 | | | 21 | I | Tr.E. | 4 07 |
| | 28 | I | Tr.E. | 22 47 | | | 21 | I | Sh.E. | 2 54 |
| | 29 | III | Oc.D. | 19 36 | | | 24 | III | Tr.I. | 2 20 |
| | 29 | II | Sh.I. | 20 41 | | | 26 | II | Sh.I. | 3 09 |
| | 29 | II | Tr.E. | 20 54 | | | 28 | II | Oc.R. | 2 50 |
| | 29 | I | Ec.R. | 21 13,4 | | | 28 | I | Sh.I. | 2 54 |
| | 29 | III | Oc.R. | 22 05 | | | 28 | I | Tr.I. | 3 52 |
| Avril | 4 | I | Tr.I. | 22 34 | | | 29 | I | Oc.R. | 3 19 |
| April | 5 | I | Oc.D. | 19 47 | | | 31 | III | Sh.I. | 2 36 |
| | 5 | II | Tr.I. | 21 01 | | Sept. | 5 | I | Ec.D. | 1 56,7 |
| | 6 | I | Tr.E. | 19 16 | | Sept. | 6 | I | Sh.E. | 1 30 |
| | 6 | I | Sh.E. | 20 25 | | | 6 | I | Tr.E. | 2 34 |
| | 7 | II | Ec.R. | 20 46,5 | | | 7 | IV | Oc.R. | 3 44 |
| | 9 | III | Sh.E. | 21 18 | | | 11 | II | Ec.D. | 3 14,3 |
| | 12 | I | Oc.D. | 21 46 | | | 11 | III | Oc.R. | 4 00 |
| | 13 | I | Tr.I. | 19 04 | | | 12 | I | Ec.D. | 3 50,6 |
| | 13 | I | Sh.I. | 20 08 | | | 13 | I | Sh.I. | 1 09 |
| | 13 | I | Tr.E. | 21 16 | | | 13 | I | Tr.I. | 2 17 |
| | 14 | I | Ec.R. | 19 32,4 | | | 13 | II | Tr.E. | 2 48 |
| | 16 | III | Tr.E. | 21 06 | | | 13 | I | Sh.E. | 3 23 |

| | Date — Datum 2025 | Satel- lite — Satel- liet | Phéno- mène — Ver- schijnsel | Temps universel | | Date — Datum 2025 | Satel- lite — Satel- liet | Phéno- mène — Ver- schijnsel | Temps universel | | |
|-------|----------------------------|---------------------------------------|--|--------------------|-----|----------------------------|---------------------------------------|--|--------------------|---------|--------|
| | | | | Wereldtijd | h m | | | | Wereldtijd | h m | |
| Sept. | 13 | I | Tr.E. | 4 31 | | Okt. | 15 | II | Tr.I. | 0 01 | |
| Sept. | 14 | I | Oc.R. | 1 45 | | Oct. | 15 | II | Sh.E. | 0 11 | |
| | 15 | IV | Sh.I. | 1 10 | | | 15 | I | Tr.E. | 1 09 | |
| | 15 | IV | Sh.E. | 3 59 | | | 15 | II | Tr.E. | 2 51 | |
| | 18 | III | Ec.R. | 3 19,7 | | | 17 | III | Oc.R. | 0 41 | |
| | 20 | II | Tr.I. | 2 42 | | | 19 | IV | Tr.I. | 1 08 | |
| | 20 | I | Sh.I. | 3 03 | | | 19 | IV | Tr.E. | 4 52 | |
| | 20 | II | Sh.E. | 3 03 | | | 20 | I | Sh.I. | 5 04 | |
| | 20 | I | Tr.I. | 4 13 | | | 20 | II | Ec.D. | 5 17,5 | |
| | 21 | I | Oc.R. | 3 43 | | | 21 | I | Ec.D. | 2 16,8 | |
| | 22 | I | Tr.E. | 0 57 | | | 21 | I | Sh.I. | 23 32 | |
| | 25 | III | Ec.D. | 4 16,2 | | | 21 | II | Sh.I. | 23 59 | |
| | 27 | II | Sh.I. | 2 53 | | | 22 | I | Tr.I. | 0 48 | |
| | 27 | I | Sh.I. | 4 56 | | | 22 | I | Sh.E. | 1 46 | |
| | 28 | I | Ec.D. | 2 06,9 | | | 22 | II | Tr.I. | 2 36 | |
| | 29 | I | Tr.I. | 0 38 | | | 22 | II | Sh.E. | 2 47 | |
| | 29 | I | Sh.E. | 1 38 | | | 22 | I | Tr.E. | 3 02 | |
| | 29 | III | Tr.E. | 2 39 | | | 22 | II | Tr.E. | 5 26 | |
| | 29 | I | Tr.E. | 2 52 | | | 23 | I | Oc.R. | 0 20 | |
| | 29 | II | Oc.R. | 2 55 | | | 23 | III | Ec.R. | 23 17,2 | |
| | 30 | I | Oc.R. | 0 08 | | | 23 | II | Oc.R. | 23 56 | |
| Oct. | 5 | I | Ec.D. | 4 00,7 | | | 24 | III | Oc.D. | 1 21 | |
| Okt. | 6 | II | Ec.D. | 0 11,1 | | | 24 | III | Oc.R. | 4 39 | |
| | 6 | I | Sh.I. | 1 18 | | | 26 | IV | Ec.R. | 23 31,5 | |
| | 6 | III | Sh.E. | 1 29 | | | 28 | I | Ec.D. | 4 10,6 | |
| | 6 | I | Tr.I. | 2 33 | | | 29 | I | Sh.I. | 1 25 | |
| | 6 | I | Sh.E. | 3 31 | | | 29 | II | Sh.I. | 2 36 | |
| | 6 | III | Tr.I. | 3 34 | | | 29 | I | Tr.I. | 2 40 | |
| | 6 | I | Tr.E. | 4 47 | | | 29 | I | Sh.E. | 3 39 | |
| | 7 | I | Oc.R. | 2 04 | | | 29 | I | Tr.E. | 4 54 | |
| | 8 | II | Tr.E. | 0 13 | | | 29 | II | Tr.I. | 5 10 | |
| | 10 | IV | Ec.D. | 2 14,6 | | | 29 | II | Sh.E. | 5 24 | |
| | 10 | IV | Ec.R. | 5 23,4 | | | 29 | I | Ec.D. | 22 39,1 | |
| | 13 | III | Sh.I. | 2 26 | | | 30 | I | Oc.R. | 2 13 | |
| | 13 | II | Ec.D. | 2 44,3 | | | 30 | I | Sh.E. | 22 07 | |
| | 13 | I | Sh.I. | 3 11 | | | 30 | I | Tr.E. | 23 22 | |
| | 13 | I | Tr.I. | 4 27 | | | 31 | III | Ec.D. | 0 08,4 | |
| | 13 | I | Sh.E. | 5 24 | | | 31 | II | Oc.R. | 2 26 | |
| | 13 | III | Sh.E. | 5 29 | | | 31 | III | Ec.R. | 3 16,8 | |
| | 14 | I | Ec.D. | 0 22,9 | | | 31 | III | Oc.D. | 5 13 | |
| | 14 | I | Oc.R. | 3 58 | | | Nov. | 3 | III | Tr.E. | 22 30 |
| | 14 | I | Sh.E. | 23 53 | | | Nov. | 4 | I | Ec.D. | 6 04,4 |

| Date — Datum 2025 | Satel- lite — Satel- liet | Phéno- mène — Ver- schijnsel | Temps universel Wereldtijd h m | Date — Datum 2025 | Satel- lite — Satel- liet | Phéno- mène — Ver- schijnsel | Temps universel Wereldtijd h m |
|----------------------------|---------------------------------------|--|---|----------------------------|---------------------------------------|--|---|
| | | | | | | | |
| Nov. 4 | IV | Tr.E. | 22 20 | Nov. 21 | I | Tr.I. | 2 35 |
| Nov. 5 | I | Sh.I. | 3 18 | Nov. 21 | I | Sh.E. | 3 47 |
| 5 | I | Tr.I. | 4 30 | 21 | IV | Sh.E. | 4 32 |
| 5 | II | Sh.I. | 5 12 | 21 | II | Ec.D. | 4 47,5 |
| 5 | I | Sh.E. | 5 32 | 21 | I | Tr.E. | 4 50 |
| 6 | I | Ec.D. | 0 32,9 | 21 | I | Ec.D. | 22 49,1 |
| 6 | I | Oc.R. | 4 04 | 22 | I | Oc.R. | 2 09 |
| 6 | I | Sh.I. | 21 47 | 22 | I | Tr.I. | 21 02 |
| 6 | I | Tr.I. | 22 58 | 22 | I | Sh.E. | 22 16 |
| 6 | II | Ec.D. | 23 40,7 | 22 | I | Tr.E. | 23 17 |
| 7 | I | Sh.E. | 0 01 | 22 | II | Sh.I. | 23 43 |
| 7 | I | Tr.E. | 1 12 | 23 | II | Tr.I. | 1 48 |
| 7 | III | Ec.D. | 4 07,7 | 23 | II | Sh.E. | 2 32 |
| 7 | II | Oc.R. | 4 54 | 23 | II | Tr.E. | 4 39 |
| 7 | I | Oc.R. | 22 31 | 23 | I | Oc.R. | 20 36 |
| 8 | II | Tr.E. | 23 46 | 24 | II | Oc.R. | 22 54 |
| 10 | III | Sh.E. | 21 24 | 25 | III | Sh.I. | 2 13 |
| 10 | III | Tr.I. | 22 58 | 25 | III | Sh.E. | 5 23 |
| 11 | III | Tr.E. | 2 14 | 25 | III | Tr.I. | 6 13 |
| 12 | I | Sh.I. | 5 11 | 27 | I | Ec.D. | 6 14,6 |
| 12 | I | Tr.I. | 6 20 | 28 | I | Sh.I. | 3 26 |
| 13 | IV | Oc.D. | 1 01 | 28 | I | Tr.I. | 4 23 |
| 13 | I | Ec.D. | 2 26,8 | 28 | I | Sh.E. | 5 41 |
| 13 | IV | Oc.R. | 4 57 | 28 | I | Tr.E. | 6 38 |
| 13 | I | Oc.R. | 5 54 | 28 | III | Oc.R. | 23 11 |
| 13 | I | Sh.I. | 23 40 | 29 | I | Ec.D. | 0 43,0 |
| 14 | I | Tr.I. | 0 47 | 29 | I | Oc.R. | 3 57 |
| 14 | I | Sh.E. | 1 54 | 29 | IV | Oc.R. | 20 53 |
| 14 | II | Ec.D. | 2 14,0 | 29 | I | Sh.I. | 21 54 |
| 14 | I | Tr.E. | 3 02 | 29 | I | Tr.I. | 22 49 |
| 15 | I | Oc.R. | 0 21 | 30 | I | Sh.E. | 0 09 |
| 15 | II | Sh.I. | 21 06 | 30 | I | Tr.E. | 1 04 |
| 15 | I | Tr.E. | 21 29 | 30 | II | Sh.I. | 2 19 |
| 15 | II | Tr.I. | 23 23 | 30 | II | Tr.I. | 4 11 |
| 15 | II | Sh.E. | 23 55 | 30 | II | Sh.E. | 5 08 |
| 16 | II | Tr.E. | 2 14 | 30 | I | Oc.R. | 22 24 |
| 17 | III | Sh.I. | 22 15 | Déc. | 1 | II | Ec.D. |
| 18 | III | Sh.E. | 1 24 | Dec. | 2 | II | Oc.R. |
| 18 | III | Tr.I. | 2 38 | Dec. | 2 | III | Sh.I. |
| 18 | III | Tr.E. | 5 54 | 2 | III | Sh.I. | 6 12 |
| 20 | I | Ec.D. | 4 20,6 | 3 | II | Tr.E. | 20 12 |
| 21 | IV | Sh.I. | 1 04 | 5 | I | Sh.I. | 5 19 |
| 21 | I | Sh.I. | 1 33 | 5 | I | Tr.I. | 6 09 |

| Date — Datum 2025 | Satel- lite — Satel- liet | Phéno- mène — Ver- schijnsel | Temps universel Wereldtijd h m | Date — Datum 2025 | Satel- lite — Satel- liet | Phéno- mène — Ver- schijnsel | Temps universel Wereldtijd h m |
|----------------------------|---------------------------------------|--|---|----------------------------|---------------------------------------|--|---|
| | | | | | | | |
| Déc. 5 | III | Ec.D. | 20 00,9 | Déc. 17 | II | Sh.I. | 20 48 |
| Dec. 5 | III | Ec.R. | 23 14,1 | Dec. 17 | II | Tr.I. | 21 58 |
| 5 | III | Oc.D. | 23 19 | 17 | II | Sh.E. | 23 39 |
| 6 | I | Ec.D. | 2 37,0 | 18 | II | Tr.E. | 0 49 |
| 6 | III | Oc.R. | 2 38 | 19 | II | Oc.R. | 18 57 |
| 6 | I | Oc.R. | 5 43 | 20 | III | Ec.D. | 3 58,9 |
| 6 | I | Sh.I. | 23 48 | 20 | I | Ec.D. | 6 25,3 |
| 7 | I | Tr.I. | 0 35 | 21 | I | Sh.I. | 3 35 |
| 7 | I | Sh.E. | 2 03 | 21 | I | Tr.I. | 4 04 |
| 7 | I | Tr.E. | 2 50 | 21 | I | Sh.E. | 5 50 |
| 7 | II | Sh.I. | 4 55 | 21 | I | Tr.E. | 6 20 |
| 7 | II | Tr.I. | 6 31 | 22 | I | Ec.D. | 0 53,8 |
| 7 | I | Ec.D. | 21 05,6 | 22 | I | Oc.R. | 3 39 |
| 7 | IV | Sh.E. | 22 40 | 22 | I | Sh.I. | 22 03 |
| 8 | I | Oc.R. | 0 10 | 22 | I | Tr.I. | 22 30 |
| 8 | IV | Tr.I. | 2 16 | 23 | I | Sh.E. | 0 19 |
| 8 | IV | Tr.E. | 6 12 | 23 | I | Tr.E. | 0 46 |
| 8 | I | Sh.E. | 20 31 | 23 | II | Ec.D. | 4 20,3 |
| 8 | I | Tr.E. | 21 17 | 23 | I | Ec.D. | 19 22,4 |
| 8 | II | Ec.D. | 23 11,9 | 23 | III | Tr.I. | 19 50 |
| 9 | II | Oc.R. | 3 33 | 23 | III | Sh.E. | 21 20 |
| 10 | II | Tr.I. | 19 40 | 23 | I | Oc.R. | 22 05 |
| 10 | II | Sh.E. | 21 02 | 23 | III | Tr.E. | 23 08 |
| 10 | II | Tr.E. | 22 31 | 24 | I | Sh.E. | 18 47 |
| 13 | III | Ec.D. | 0 00,1 | 24 | I | Tr.E. | 19 12 |
| 13 | I | Ec.D. | 4 31,1 | 24 | IV | Tr.E. | 20 49 |
| 13 | III | Oc.R. | 6 03 | 24 | II | Sh.I. | 23 24 |
| 14 | I | Sh.I. | 1 41 | 25 | II | Tr.I. | 0 14 |
| 14 | I | Tr.I. | 2 20 | 25 | II | Sh.E. | 2 15 |
| 14 | I | Sh.E. | 3 56 | 25 | II | Tr.E. | 3 05 |
| 14 | I | Tr.E. | 4 36 | 26 | II | Oc.R. | 21 11 |
| 14 | I | Ec.D. | 22 59,7 | 28 | I | Sh.I. | 5 28 |
| 15 | I | Oc.R. | 1 55 | 28 | I | Tr.I. | 5 48 |
| 15 | I | Sh.I. | 20 09 | 29 | I | Ec.D. | 2 48,1 |
| 15 | I | Tr.I. | 20 46 | 29 | I | Oc.R. | 5 23 |
| 15 | I | Sh.E. | 22 25 | 29 | I | Sh.I. | 23 57 |
| 15 | I | Tr.E. | 23 02 | 30 | I | Tr.I. | 0 14 |
| 16 | II | Ec.D. | 1 46,0 | 30 | I | Sh.E. | 2 13 |
| 16 | IV | Ec.D. | 2 11,2 | 30 | I | Tr.E. | 2 30 |
| 16 | II | Oc.R. | 5 49 | 30 | II | Ec.D. | 6 54,9 |
| 16 | IV | Ec.R. | 5 54,8 | 30 | I | Ec.D. | 21 16,7 |
| 16 | III | Tr.E. | 19 49 | 30 | III | Sh.I. | 22 04 |
| 16 | I | Oc.R. | 20 21 | 30 | III | Tr.I. | 23 07 |

| Date — Datum 2025 | Satel- lite — Satel- liet | Phéno- mène — Ver- schijnsel | Temps universel — Wereldtijd h m | Date — Datum 2025 | Satel- lite — Satel- liet | Phéno- mène — Ver- schijnsel | Temps universel — Wereldtijd h m |
|----------------------------|---------------------------------------|--|--|----------------------------|---------------------------------------|--|--|
| Déc. 30 | I | Oc.R. | 23 49 | Dec. 31 | I | Sh.I. | 18 25 |
| Dec. 31 | III | Sh.E. | 1 19 | Déc. 31 | I | Tr.I. | 18 40 |
| 31 | III | Tr.E. | 2 24 | 31 | I | Sh.E. | 20 41 |
| | | | | 31 | I | Tr.E. | 20 56 |

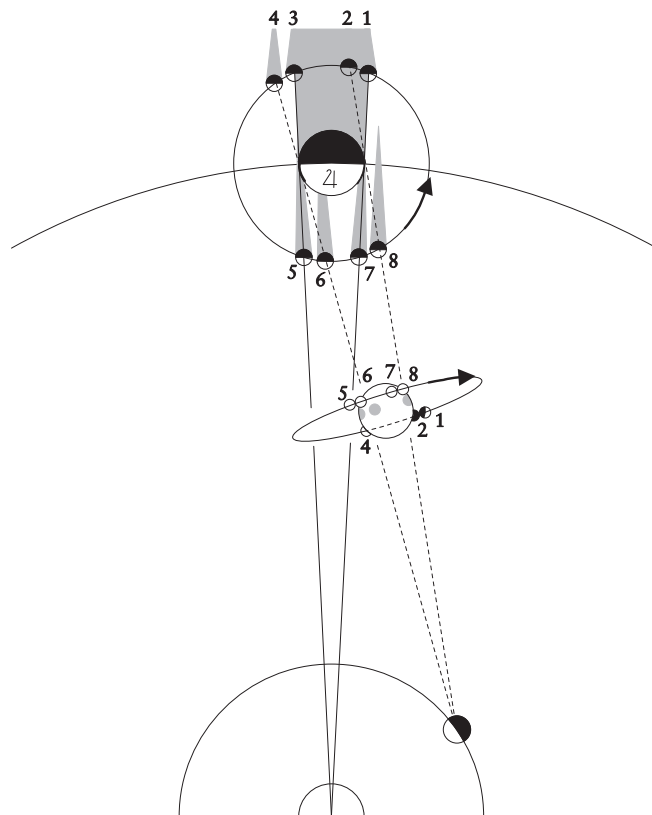
Phénomènes

- Ec. Eclipse dans l'ombre de la planète.
- Oc. Occultation par le disque planétaire.
- Tr. Passage du satellite devant le disque planétaire.
- Sh. Passage de l'ombre du satellite sur la planète.
- D. Disparition.
- R. Réapparition.
- I. Immersion.
- E. Emersion.

Verschijnselen

- Ec. Verduistering in de schaduw van de planeet.
- Oc. Bedekking door de planeetschijf.
- Tr. Overgang van de satelliet over de planeetschijf.
- Sh. Overgang van de schaduw van de satelliet op de planeet.
- D. Verdwijning.
- R. Wederverschijning.
- I. Aanvang.
- E. Einde.

Phénomènes des satellites de Jupiter Verschijnselen van de satellieten van Jupiter



- 1. — Ec. D.
- 2. — Oc. D.
- 3. — Ec. R.
- 4. — Oc. R.
- 5. — Sh. I.
- 6. — Tr. I.
- 7. — Sh. E.
- 8. — Tr. E.

TABLES

TABLES RELATIVES AUX LEVERS
ET COUCHERS DES ASTRES

TABLE 1.— Levers et couchers du Soleil

La table 1 permet de calculer, pour les différents points du pays, les corrections à ajouter en fonction de la latitude et de la date, aux heures du lever du Soleil qui, dans les éphémérides, sont données pour Uccle. Les corrections des heures du coucher sont égales à celles du lever, mais changées de signe.

On doit également ajouter une correction égale à la différence de longitude, entre le lieu considéré (¹) et Uccle, prise en valeur absolue et affectée du signe + ou – suivant que le lieu considéré est à l'Ouest ou à l'Est d'Uccle.

Exemple: Calculer l'heure du lever du Soleil à Rumillies, le 9 avril 2025.

| | | |
|------------------------------------|-----|-----------------------------------|
| Heure du lever à Uccle | ... | 5 ^h 01 ^m |
| Latitude de Rumillies | ... | + 50° 37',2 |
| Correction de latitude (table 1) | ... | + 0 ^m ,0 |
| Longitude Est de Rumillies (L) | ... | 0 ^h 13 ^m ,8 |
| Longitude Est d'Uccle (L_o) | ... | 0 ^h 17 ^m ,4 |
| Valeur absolue de ($L - L_o$) | ... | 3 ^m ,6 |
| Correction de longitude | ... | + 3 ^m ,6 |
| Heure du lever à Rumillies | ... | 5 ^h 05 ^m |

(¹) Les coordonnées géographiques des chefs-lieux de canton de justice de paix sont données dans l'*Annuaire 1992* (pp. 236 à 243).

TAFELS

TAFELS BETREFFENDE DE OPKOMSTEN
EN ONDERGANGEN VAN DE HEMELLICHAMEN

TAFEL 1.— Opkomsten en ondergangen van de zon

De efemeriden van de zon leveren de tijdstippen van de opkomst en de ondergang te Ukkel. Met behulp van tafel 1 is het mogelijk voor andere plaatsen in ons land de correctie aan de tijdstippen van opkomst te bepalen in functie van de breedte en de datum. Het berekenen van de tijdstippen van de ondergang geschiedt op dezelfde wijze, maar de correcties moeten met het tegengesteld teken genomen worden.

Men moet ook een correctie bijvoegen, die gelijk is aan de absolute waarde van het lengteverschil tussen de bedoelde plaats (¹) en Ukkel, met het teken + of – naarmate de bedoelde plaats zich ten westen of ten oosten van Ukkel bevindt.

Voorbeeld: Bereken het tijdstip van ondergang van de zon te Schulen op 15 november 2025.

| | | |
|-----------------------------------|-----|-----------------------------------|
| Tijdstip van ondergang te Ukkel | ... | 15 ^h 55 ^m |
| Breedte van Schulen | ... | + 50° 57',5 |
| Breedtecorrectie (tafel 1) | ... | - 0 ^m ,8 |
| Oosterlengte van Schulen (L) | ... | 0 ^h 20 ^m ,7 |
| Oosterlengte van Ukkel (L_o) | ... | 0 ^h 17 ^m ,4 |
| Absolute waarde van ($L - L_o$) | ... | 3 ^m ,3 |
| Lengtecorrectie | ... | - 3 ^m ,3 |
| Tijdstip van ondergang te Schulen | ... | 15 ^h 51 ^m |

(¹) De geografische coördinaten van de hoofdplaatsen van de Vredegerechtskantons, vindt men in het *Jaarboek 1992* (blz. 236 tot 243).

TABLE 1.— Corrections pour les levers du Soleil (2)

| DATES — DATA | Latitude — Breedte | | | | | |
|--------------------|--------------------|---------|---------|---------|---------|----|
| | 49° 30' | 50° 00' | 50° 30' | 51° 00' | 51° 30' | |
| | m | m | m | m | m | |
| Janvier | 1 | -6 | -4 | -1 | +1 | +3 |
| Januari | 11 | -6 | -3 | -1 | +1 | +3 |
| | 21 | -5 | -3 | -1 | +1 | +3 |
| | 31 | -4 | -3 | -1 | +1 | +2 |
| Février | 10 | -3 | -2 | -1 | +1 | +2 |
| Februari | 20 | -2 | -1 | -1 | 0 | +1 |
| Mars | 2 | -1 | -1 | 0 | 0 | +1 |
| Maart | 12 | -1 | 0 | 0 | 0 | 0 |
| | 22 | 0 | 0 | 0 | 0 | 0 |
| Avril | 1 | +1 | +1 | 0 | 0 | -1 |
| April | 11 | +2 | +1 | 0 | 0 | -1 |
| | 21 | +3 | +2 | +1 | 0 | -2 |
| Mai | 1 | +4 | +2 | +1 | -1 | -2 |
| Mei | 11 | +5 | +3 | +1 | -1 | -3 |
| | 21 | +5 | +3 | +1 | -1 | -3 |
| | 31 | +6 | +4 | +1 | -1 | -3 |
| Juin | 10 | +7 | +4 | +2 | -1 | -4 |
| Juni | 20 | +7 | +4 | +2 | -1 | -4 |
| | 30 | +7 | +4 | +2 | -1 | -4 |

(2) Pour les couchers du Soleil, les corrections sont égales et de signe contraire à celles indiquées dans ce tableau.

TAFEL 1.— Correcties voor de opkomsten van de zon (2)

| DATES — DATA | Latitude — Breedte | | | | | |
|--------------------|--------------------|---------|---------|---------|---------|----|
| | 49° 30' | 50° 00' | 50° 30' | 51° 00' | 51° 30' | |
| | m | m | m | m | m | |
| Juillet | 10 | +6 | +4 | +1 | -1 | -4 |
| Juli | 20 | +6 | +3 | +1 | -1 | -3 |
| | 30 | +5 | +3 | +1 | -1 | -3 |
| Août | 9 | +4 | +2 | +1 | -1 | -2 |
| Augustus | 19 | +3 | +2 | +1 | -1 | -2 |
| | 29 | +2 | +1 | +1 | 0 | -1 |
| Septembre | 8 | +1 | +1 | 0 | 0 | -1 |
| September | 18 | +1 | 0 | 0 | 0 | 0 |
| | 28 | 0 | 0 | 0 | 0 | 0 |
| Octobre | 8 | -1 | -1 | 0 | 0 | +1 |
| Okttober | 18 | -2 | -1 | 0 | 0 | +1 |
| | 28 | -3 | -2 | -1 | 0 | +2 |
| Novembre | 7 | -4 | -2 | -1 | +1 | +2 |
| November | 17 | -5 | -3 | -1 | +1 | +3 |
| | 27 | -5 | -3 | -1 | +1 | +3 |
| Décembre | 7 | -6 | -4 | -1 | +1 | +3 |
| December | 17 | -6 | -4 | -1 | +1 | +3 |
| | 27 | -6 | -4 | -1 | +1 | +3 |

(2) Bij de ondergangen van de zon moeten de voorgaande correcties met het tegengesteld teken toegepast worden.

TABLE 2.— Azimut d'un astre au moment de son lever et de son coucher

La table 2 donne l'azimut d'un astre au moment de son lever et de son coucher apparents. C'est l'arc de l'horizon compté à partir du sud vers l'ouest, de 0° à 360° , jusqu'à la position apparente de l'astre.

Cette table a été calculée en tenant compte de la réfraction horizontale. On a admis que la valeur de la réfraction à l'horizon était de $34'$ (³); autrement dit, on considère que l'astre se lève ou se couche lorsque sa distance zénithale vaut $90^\circ 34'$.

Cette table est valable pour les étoiles dont la déclinaison est comprise entre $+30^\circ$ et -30° , pour le centre du disque du Soleil, de la Lune et des planètes.

Dans le cas du Soleil et de la Lune, rappelons que les tableaux mensuels donnent les instants des leviers et couchers du bord supérieur du disque, c'est-à-dire les instants auxquels le centre du disque se trouve à une distance zénithale de

$$90^\circ 34' + 16' = 90^\circ 50'$$

si on adopte la valeur de $16'$ pour le demi-diamètre apparent moyen du Soleil.

Exemple: Calculer l'azimut du Soleil à Guirsch, pour le 15 septembre 2025, aux moments du lever et du coucher apparents de cet astre.

La latitude de Guirsch est de $+49^\circ 43',2$ et la déclinaison du Soleil à 12^h vaut $+2^\circ 49',0$.

Par interpolation, on obtient:

| | | |
|-------------------|---------------------------------|--------|
| Azimut au lever | | 265°,0 |
| Azimut au coucher | | 95°,0 |

(³) *The Astronomical Almanac 1993*, p. A12.

TAFEL 2.— Azimut van een hemellichaam op het tijdstip van zijn opkomst en ondergang

In tafel 2 vindt men het azimut van een hemellichaam op het ogenblik van zijn schijnbare opkomst en ondergang. Het is het boogdeel van de horizon, gerekend van 0° tot 360° vanaf het zuidpunt naar het westen toe, tot aan de schijnbare positie van het hemellichaam.

Deze tafel werd berekend, rekening houdend met de horizontale refractie. Hiervoor werd $34'$ (³) aangenomen als waarde voor de straalbreking aan de horizon; met andere woorden, men beschouwt als opkomst of ondergang van een hemellichaam, het ogenblik waarop zijn zenitafstand $90^\circ 34'$ bedraagt.

Deze tafel is geldig voor de sterren waarvan de declinatie begrepen is tussen $+30^\circ$ en -30° , voor het midden van de schijf van de zon, de maan en de planeten.

In het geval van de zon en de maan, herinneren wij er aan, dat de maandelijkse tabellen de tijdstippen geven van de opkomst en de ondergang van de bovenste rand van de schijf; dit betekent dat het midden van de schijf zich op die ogenblikken bevindt op een zenitafstand van

$$90^\circ 34' + 16' = 90^\circ 50'$$

indien men voor de gemiddelde schijnbare halve diameter van de zon de waarde $16'$ aanneemt.

Voorbeeld: Berekenen van het azimut van de zon te Sint-Eloois-Vijve op 30 juni 2025 bij zijn schijnbare opkomst en ondergang.

De breedte van Sint-Eloois-Vijve is $+50^\circ 54',4$ en de declinatie van de zon om 12^h bedraagt $+23^\circ 08',1$.

Door interpolatie vindt men:

| | | |
|----------------------|---------------------|--------|
| Azimut bij opkomst | | 230°,5 |
| Azimut bij ondergang | | 129°,5 |

(³) *The Astronomical Almanac 1993*, blz. A12.

TABLE 2.— Azimut d'un astre au moment de son lever
et de son coucher apparents

| Déclinaison de l'astre — Declinatie van het hemel- lichaam | Latitude — Breedte | | | | | | | |
|--|-----------------------|--------------------------------|-----------------------|--------------------------------|-----------------------|--------------------------------|-----------------------|--------------------------------|
| | 49° | | 50° | | 51° | | 52° | |
| | Lever — Opkomst | Coucher — Onder- gang | Lever — Opkomst | Coucher — Onder- gang | Lever — Opkomst | Coucher — Onder- gang | Lever — Opkomst | Coucher — Onder- gang |
| ○ | ○ | ○ | ○ | ○ | ○ | ○ | ○ | ○ |
| 0 | 269,3 | 90,7 | 269,3 | 90,7 | 269,3 | 90,7 | 269,3 | 90,7 |
| - 1 | 270,9 | 89,1 | 270,9 | 89,1 | 270,9 | 89,1 | 270,9 | 89,1 |
| - 2 | 272,4 | 87,6 | 272,4 | 87,6 | 272,5 | 87,5 | 272,5 | 87,5 |
| - 3 | 273,9 | 86,1 | 274,0 | 86,0 | 274,1 | 85,9 | 274,1 | 85,9 |
| - 4 | 275,4 | 84,6 | 275,6 | 84,4 | 275,7 | 84,3 | 275,8 | 84,2 |
| - 5 | 277,0 | 83,0 | 277,1 | 82,9 | 277,3 | 82,7 | 277,4 | 82,6 |
| - 6 | 278,5 | 81,5 | 278,7 | 81,3 | 278,9 | 81,1 | 279,0 | 81,0 |
| - 7 | 280,0 | 80,0 | 280,2 | 79,8 | 280,5 | 79,5 | 280,7 | 79,3 |
| - 8 | 281,6 | 78,4 | 281,8 | 78,2 | 282,1 | 77,9 | 282,3 | 77,7 |
| - 9 | 283,1 | 76,9 | 283,4 | 76,6 | 283,7 | 76,3 | 284,0 | 76,0 |
| - 10 | 284,7 | 75,3 | 285,0 | 75,0 | 285,3 | 74,7 | 285,6 | 74,4 |
| - 11 | 286,2 | 73,8 | 286,6 | 73,4 | 286,9 | 73,1 | 287,3 | 72,7 |
| - 12 | 287,8 | 72,2 | 288,2 | 71,8 | 288,6 | 71,4 | 289,0 | 71,0 |
| - 13 | 289,4 | 70,6 | 289,8 | 70,2 | 290,2 | 69,8 | 290,7 | 69,3 |
| - 14 | 290,9 | 69,1 | 291,4 | 68,6 | 291,9 | 68,1 | 292,4 | 67,6 |
| - 15 | 292,5 | 67,5 | 293,0 | 67,0 | 293,5 | 66,5 | 294,1 | 65,9 |
| - 16 | 294,1 | 65,9 | 294,6 | 65,4 | 295,2 | 64,8 | 295,8 | 64,2 |
| - 17 | 295,7 | 64,3 | 296,3 | 63,7 | 296,9 | 63,1 | 297,5 | 62,5 |
| - 18 | 297,4 | 62,6 | 298,0 | 62,0 | 298,6 | 61,4 | 299,3 | 60,7 |
| - 19 | 299,0 | 61,0 | 299,7 | 60,3 | 300,3 | 59,7 | 301,1 | 58,9 |
| - 20 | 300,7 | 59,3 | 301,4 | 58,6 | 302,1 | 57,9 | 302,9 | 57,1 |
| - 21 | 302,3 | 57,7 | 303,1 | 56,9 | 303,9 | 56,1 | 304,7 | 55,3 |
| - 22 | 304,0 | 56,0 | 304,8 | 55,2 | 305,7 | 54,3 | 306,6 | 53,4 |
| - 23 | 305,7 | 54,3 | 306,6 | 53,4 | 307,5 | 52,5 | 308,5 | 51,5 |
| - 24 | 307,5 | 52,5 | 308,4 | 51,6 | 309,4 | 50,6 | 310,4 | 49,6 |
| - 25 | 309,3 | 50,7 | 310,2 | 49,8 | 311,3 | 48,7 | 312,4 | 47,6 |
| - 26 | 311,1 | 48,9 | 312,1 | 47,9 | 313,2 | 46,8 | 314,4 | 45,6 |
| - 27 | 312,9 | 47,1 | 314,0 | 46,0 | 315,2 | 44,8 | 316,5 | 43,5 |
| - 28 | 314,8 | 45,2 | 315,9 | 44,1 | 317,2 | 42,8 | 318,6 | 41,4 |
| - 29 | 316,7 | 43,3 | 317,9 | 42,1 | 319,3 | 40,7 | 320,8 | 39,2 |
| - 30 | 318,7 | 41,3 | 320,0 | 40,0 | 321,5 | 38,5 | 323,1 | 36,9 |

TAFEL 2.— Azimut van een hemellichaam op het tijdstip
van zijn schijnbare opkomst en ondergang

| Déclinaison de l'astre — Declinatie van het hemel- lichaam | Latitude — Breedte | | | | | | | |
|--|-----------------------|--------------------------------|-----------------------|--------------------------------|-----------------------|--------------------------------|-----------------------|--------------------------------|
| | 49° | | 50° | | 51° | | 52° | |
| | Lever — Opkomst | Coucher — Onder- gang | Lever — Opkomst | Coucher — Onder- gang | Lever — Opkomst | Coucher — Onder- gang | Lever — Opkomst | Coucher — Onder- gang |
| ○ | ○ | ○ | ○ | ○ | ○ | ○ | ○ | ○ |
| 0 | 269,3 | 90,7 | 269,3 | 90,7 | 269,3 | 90,7 | 269,3 | 90,7 |
| + 1 | 267,8 | 92,2 | 267,8 | 92,2 | 267,7 | 92,3 | 267,6 | 92,4 |
| + 2 | 266,3 | 93,7 | 266,2 | 93,8 | 266,1 | 93,9 | 266,0 | 94,0 |
| + 3 | 264,8 | 95,2 | 264,7 | 95,3 | 264,5 | 95,5 | 264,4 | 95,6 |
| + 4 | 263,2 | 96,8 | 263,1 | 96,9 | 262,9 | 97,1 | 262,8 | 97,2 |
| + 5 | 261,7 | 98,3 | 261,5 | 98,3 | 261,3 | 98,7 | 261,1 | 98,9 |
| + 6 | 260,2 | 99,8 | 260,0 | 100,0 | 259,7 | 100,3 | 259,5 | 100,5 |
| + 7 | 258,6 | 101,4 | 258,4 | 101,6 | 258,1 | 101,9 | 257,8 | 102,2 |
| + 8 | 257,1 | 102,9 | 256,8 | 103,2 | 256,5 | 103,5 | 256,2 | 103,8 |
| + 9 | 255,5 | 104,5 | 255,2 | 104,8 | 254,9 | 105,1 | 254,5 | 105,5 |
| + 10 | 254,0 | 106,0 | 253,6 | 106,4 | 253,3 | 106,7 | 252,9 | 107,1 |
| + 11 | 252,4 | 107,6 | 252,0 | 108,0 | 251,6 | 108,4 | 251,2 | 108,8 |
| + 12 | 250,8 | 109,2 | 250,4 | 109,6 | 250,0 | 110,0 | 249,5 | 110,5 |
| + 13 | 249,3 | 110,7 | 248,8 | 111,2 | 248,3 | 111,7 | 247,8 | 112,2 |
| + 14 | 247,7 | 112,3 | 247,2 | 112,8 | 246,6 | 113,4 | 246,1 | 113,9 |
| + 15 | 246,1 | 113,9 | 245,5 | 114,5 | 244,9 | 115,1 | 244,3 | 115,7 |
| + 16 | 244,4 | 115,6 | 243,9 | 116,1 | 243,2 | 116,8 | 242,6 | 117,4 |
| + 17 | 242,8 | 117,2 | 242,2 | 117,8 | 241,5 | 118,5 | 240,8 | 119,2 |
| + 18 | 241,2 | 118,8 | 240,5 | 119,5 | 239,8 | 120,2 | 239,0 | 121,0 |
| + 19 | 239,5 | 120,5 | 238,8 | 121,2 | 238,0 | 122,0 | 237,2 | 122,8 |
| + 20 | 237,8 | 122,2 | 237,1 | 122,9 | 236,2 | 123,8 | 235,4 | 124,6 |
| + 21 | 236,1 | 123,9 | 235,3 | 124,7 | 234,4 | 125,6 | 233,5 | 126,5 |
| + 22 | 234,4 | 125,6 | 233,5 | 126,5 | 232,6 | 127,4 | 231,6 | 128,4 |
| + 23 | 232,6 | 127,4 | 231,7 | 128,3 | 230,7 | 129,3 | 229,7 | 130,3 |
| + 24 | 230,8 | 129,2 | 229,9 | 130,1 | 228,8 | 131,2 | 227,7 | 132,3 |
| + 25 | 229,0 | 131,0 | 228,0 | 132,0 | 226,9 | 133,1 | 225,6 | 134,4 |
| + 26 | 227,2 | 132,8 | 226,1 | 133,9 | 224,9 | 135,1 | 223,6 | 136,4 |
| + 27 | 225,3 | 134,7 | 224,1 | 135,9 | 222,8 | 137,2 | 221,4 | 138,6 |
| + 28 | 223,4 | 136,6 | 222,1 | 137,9 | 220,7 | 139,3 | 219,2 | 140,8 |
| + 29 | 221,4 | 138,6 | 220,0 | 140,0 | 218,5 | 141,5 | 216,9 | 143,1 |
| + 30 | 219,3 | 140,7 | 217,8 | 142,2 | 216,2 | 143,8 | 214,4 | 145,6 |

TABLE 3.— Levers et couchers de la Lune et des planètes

La table 3 permet de trouver, pour les différents points du pays, les corrections à apporter, en fonction de la latitude (⁴) et de l'intervalle semi-diurne, aux heures du lever de la Lune et des planètes qui, dans les éphémérides, sont données pour Uccle.

Dans ce tableau, le signe + indique que la correction doit être ajoutée à l'heure du lever de l'astre à Uccle; le signe -, qu'elle doit en être retranchée.

Les corrections des heures du coucher sont égales à celles du lever, mais de signe contraire, c'est-à-dire que, si les premières doivent être *retranchées*, les secondes doivent être *ajoutées*, et réciproquement.

L'intervalle semi-diurne est la différence, en valeur absolue, entre le passage au méridien et le lever (ou le coucher). Suivant le cas, il est nécessaire d'utiliser, soit le lever de la veille, soit le coucher du lendemain.

On doit également ajouter une correction égale à la différence de longitude, entre le lieu considéré (⁴) et Uccle, prise en valeur absolue et affectée du signe + ou - suivant que le lieu considéré est à l'Ouest ou à l'Est d'Uccle.

Exemple: A quelle heure, Temps universel, la Lune se couche-t-elle à Chastre, le 12 novembre 2025?

| | | | | | | | | |
|--|-----|-----|-----|-----|-----|-----|-----------------------------------|---------------------------------|
| Heure du coucher à Uccle | ... | ... | ... | ... | ... | ... | 13 ^h 21 ^m | 13 ^h 21 ^m |
| Heure du passage au méridien à Uccle | ... | ... | ... | ... | ... | ... | 5 ^h 50 ^m | |
| Intervalle semi-diurne | ... | ... | ... | ... | ... | ... | 7 ^h 31 ^m | |
| Latitude de Chastre | ... | ... | ... | ... | ... | ... | + 50° 36',5 | |
| Correction de latitude (table 3) | ... | ... | ... | ... | ... | ... | - 0 ^m ,6 | |
| Longitude Est de Chastre | ... | ... | ... | ... | ... | ... | 0 ^h 18 ^m ,6 | |
| Longitude Est d'Uccle | ... | ... | ... | ... | ... | ... | 0 ^h 17 ^m ,4 | |
| Différence en longitude (valeur absolue) | ... | ... | ... | ... | ... | ... | 1 ^m ,2 | |
| Correction de longitude | ... | ... | ... | ... | ... | ... | - 1 ^m ,2 | |
| Heure du lever à Chastre | ... | ... | ... | ... | ... | ... | 13 ^h 19 ^m | |

(⁴) Les coordonnées géographiques des chefs-lieux de canton de justice de paix sont données dans l'*Annuaire 1992* (pp. 236 à 243).

TAFEL 3.— Opkomsten en ondergangen van de maan en de planeten

De efemeriden van de maan en de planeten leveren de tijdstippen van de opkomst en de ondergang te Ukkel. Met behulp van tafel 3 is het mogelijk die tijden te bepalen voor een willekeurig punt van ons land, in functie van de breedte (⁴) en de halve dagboog.

Het teken + wijst aan dat de correctie bij de tijd van de opkomst geteld wordt; het teken - dat ze van die tijd moet afgetrokken worden. Het berekenen van de tijdstippen van de ondergang geschiedt op dezelfde wijze, met dien verstande dat de correcties, door tafel 3 geleverd, met het *tegengesteld teken* moeten genomen worden.

De halve dagboog is het verschil, in absolute waarde, tussen de meridiaandoorgang en de opkomst (of de ondergang). Naargelang het geval moet men ofwel de opkomst van de vorige avond, ofwel de ondergang van de volgende ochtend gebruiken.

Men moet ook een correctie bijvoegen, die gelijk is aan de absolute waarde van het lengteverschil tussen de bedoelde plaats (⁴) en Ukkel, met het teken + of - naarmate de bedoelde plaats zich ten westen of ten oosten van Ukkel bevindt.

Voorbeeld: Bereken de opkomst van de maan, in Wereldtijd, te Meldert (Hoegaarden) op 20 maart 2025.

| | | | | | | | | |
|--|-----|-----|-----|-----|-----|-----|-----------------------------------|--------------------------------|
| Tijdstip van opkomst te Ukkel | ... | ... | ... | ... | ... | ... | 0 ^h 08 ^m | 0 ^h 08 ^m |
| Meridiaandoorgang te Ukkel | ... | ... | ... | ... | ... | ... | 3 ^h 54 ^m | |
| Halve dagboog | ... | ... | ... | ... | ... | ... | 3 ^h 46 ^m | |
| Breedte van Meldert (Hoegaarden) | ... | ... | ... | ... | ... | ... | + 51° 00',0 | |
| Breedtecorrectie (tafel 3) | ... | ... | ... | ... | ... | ... | - 1 ^m ,1 | |
| Oosterlengte van Meldert (Hoegaarden) | ... | ... | ... | ... | ... | ... | 0 ^h 20 ^m ,6 | |
| Oosterlengte van Ukkel | ... | ... | ... | ... | ... | ... | 0 ^h 17 ^m ,4 | |
| Lengteverschil (absolute waarde) | ... | ... | ... | ... | ... | ... | 3 ^m ,2 | |
| Lengtecorrectie | ... | ... | ... | ... | ... | ... | - 3 ^m ,2 | |
| Tijdstip van opkomst te Meldert (Hoegaarden) | ... | ... | ... | ... | ... | ... | 0 ^h 06 ^m | |

(⁴) De geografische coördinaten van de hoofdplaatsen van de Vredegerechtskantons, vindt men in het *Jaarboek 1992* (blz. 236 tot 243).

TABLE 3.— Corrections pour les levers⁽⁵⁾ de la Lune et des planètes
 TAFEL 3.— Correcties voor de opkomst⁽⁵⁾ van de maan en de planeten

| Intervalle Semi-diurne — Halve dagboog | Latitude — Breedte | | | | |
|---|--------------------|---------|---------|---------|---------|
| | 49° 30' | 50° 00' | 50° 30' | 51° 00' | 51° 30' |
| h m | m | m | m | m | m |
| 3 30 | - 7,9 | - 4,9 | - 1,9 | + 1,3 | + 4,5 |
| 3 40 | - 7,2 | - 4,5 | - 1,7 | + 1,2 | + 4,1 |
| 3 50 | - 6,6 | - 4,1 | - 1,6 | + 1,1 | + 3,8 |
| 4 00 | - 6,0 | - 3,7 | - 1,4 | + 1,0 | + 3,4 |
| 4 10 | - 5,4 | - 3,4 | - 1,3 | + 0,9 | + 3,1 |
| 4 20 | - 4,9 | - 3,0 | - 1,1 | + 0,8 | + 2,8 |
| 4 30 | - 4,3 | - 2,7 | - 1,0 | + 0,7 | + 2,4 |
| 4 40 | - 3,8 | - 2,4 | - 0,9 | + 0,6 | + 2,2 |
| 4 50 | - 3,3 | - 2,1 | - 0,8 | + 0,5 | + 1,9 |
| 5 00 | - 2,8 | - 1,8 | - 0,7 | + 0,5 | + 1,6 |
| 5 10 | - 2,3 | - 1,5 | - 0,6 | + 0,4 | + 1,3 |
| 5 20 | - 1,9 | - 1,2 | - 0,4 | + 0,3 | + 1,1 |
| 5 30 | - 1,4 | - 0,9 | - 0,3 | + 0,2 | + 0,8 |
| 5 40 | - 1,0 | - 0,6 | - 0,2 | + 0,2 | + 0,5 |
| 5 50 | - 0,5 | - 0,3 | - 0,1 | + 0,1 | + 0,3 |
| 6 00 | - 0,1 | - 0,0 | - 0,0 | + 0,0 | + 0,0 |
| 6 10 | + 0,4 | + 0,2 | + 0,1 | - 0,1 | - 0,2 |
| 6 20 | + 0,8 | + 0,5 | + 0,2 | - 0,1 | - 0,5 |
| 6 30 | + 1,3 | + 0,8 | + 0,3 | - 0,2 | - 0,7 |
| 6 40 | + 1,7 | + 1,1 | + 0,4 | - 0,3 | - 1,0 |
| 6 50 | + 2,2 | + 1,4 | + 0,5 | - 0,4 | - 1,2 |
| 7 00 | + 2,7 | + 1,7 | + 0,6 | - 0,4 | - 1,5 |
| 7 10 | + 3,2 | + 2,0 | + 0,7 | - 0,5 | - 1,8 |
| 7 20 | + 3,7 | + 2,3 | + 0,9 | - 0,6 | - 2,1 |
| 7 30 | + 4,2 | + 2,6 | + 1,0 | - 0,7 | - 2,4 |
| 7 40 | + 4,7 | + 2,9 | + 1,1 | - 0,8 | - 2,7 |
| 7 50 | + 5,2 | + 3,3 | + 1,2 | - 0,8 | - 3,0 |
| 8 00 | + 5,8 | + 3,6 | + 1,4 | - 0,9 | - 3,3 |
| 8 10 | + 6,4 | + 4,0 | + 1,5 | - 1,0 | - 3,7 |
| 8 20 | + 7,0 | + 4,4 | + 1,7 | - 1,1 | - 4,0 |
| 8 30 | + 7,7 | + 4,8 | + 1,8 | - 1,3 | - 4,4 |
| 8 40 | + 8,4 | + 5,3 | + 2,0 | - 1,4 | - 4,9 |
| 8 50 | + 9,2 | + 5,7 | + 2,2 | - 1,5 | - 5,3 |
| 9 00 | + 10,0 | + 6,2 | + 2,4 | - 1,6 | - 5,8 |

⁽⁵⁾ Pour les couchers, les corrections sont égales et de signes contraires.

⁽⁵⁾ Voor de ondergang zijn de correcties dezelfde, maar met tegengesteld teken.

TABLE 4.— Intervalle semi-diurne
 TAFEL 4.— Halve dagboog

Cette table permet de calculer les heures approximatives de lever et de coucher en Belgique d'un astre dont l'ascension droite et la déclinaison sont données. Cette table ne tient pas compte de la réfraction. Un exemple de calcul du lever et du coucher est donné à la page 128.

Met deze tafel kan men benaderde tijdstippen van opkomst en ondergang in België berekenen van een hemellichaam waarvan de rechte klimming en declinatie gegeven is. Deze tafel houdt geen rekening met straalbreking. Een voorbeeld van zulke berekening wordt gegeven op blz. 129.

| Déclinaison de l'astre — Declinatie van het hemellichaam | Latitude — Breedte | | | Déclinaison de l'astre — Declinatie van het hemellichaam | Latitude — Breedte | | |
|---|--------------------|------|------|---|--------------------|------|------|
| | 49° | 50° | 51° | | 49° | 50° | 51° |
| | ○ | h m | h m | ○ | h m | h m | h m |
| 0 | 6 00 | 6 00 | 6 00 | + 18 | 7 28 | 7 31 | 7 35 |
| + 1 | 6 05 | 6 05 | 6 05 | + 19 | 7 33 | 7 37 | 7 41 |
| + 2 | 6 09 | 6 10 | 6 10 | + 20 | 7 39 | 7 43 | 7 47 |
| + 3 | 6 14 | 6 14 | 6 15 | + 21 | 7 45 | 7 49 | 7 53 |
| + 4 | 6 18 | 6 19 | 6 20 | + 22 | 7 51 | 7 55 | 8 00 |
| + 5 | 6 23 | 6 24 | 6 25 | + 23 | 7 57 | 8 02 | 8 06 |
| + 6 | 6 28 | 6 29 | 6 30 | + 24 | 8 03 | 8 08 | 8 13 |
| + 7 | 6 32 | 6 34 | 6 35 | + 25 | 8 10 | 8 15 | 8 21 |
| + 8 | 6 37 | 6 39 | 6 40 | + 26 | 8 17 | 8 22 | 8 28 |
| + 9 | 6 42 | 6 44 | 6 45 | + 27 | 8 24 | 8 30 | 8 36 |
| + 10 | 6 47 | 6 49 | 6 50 | + 28 | 8 31 | 8 37 | 8 44 |
| + 11 | 6 52 | 6 54 | 6 56 | + 29 | 8 38 | 8 45 | 8 53 |
| + 12 | 6 57 | 6 59 | 7 01 | + 30 | 8 46 | 8 54 | 9 02 |
| + 13 | 7 02 | 7 04 | 7 06 | + 31 | 8 55 | 9 03 | 9 12 |
| + 14 | 7 07 | 7 09 | 7 12 | + 32 | 9 04 | 9 13 | 9 22 |
| + 15 | 7 12 | 7 14 | 7 17 | + 33 | 9 13 | 9 23 | 9 33 |
| + 16 | 7 17 | 7 20 | 7 23 | + 34 | 9 24 | 9 34 | 9 46 |
| + 17 | 7 22 | 7 25 | 7 29 | + 35 | 9 35 | 9 46 | 9 59 |

L'intervalle semi-diurne correspondant à une déclinaison négative s'obtient en retranchant de 12h 00m l'intervalle donné pour la même déclinaison positive.

De halve dagboog van een hemellichaam met negatieve declinatie is gelijk aan 12h 00m min de halve dagboog van een hemellichaam met een gelijkwaardige positieve declinatie.

TABLES DE CONVERSION RELATIVES AU TEMPS

—
OMZETTINGSTAFELS BETREFFENDE DE TIJD

TABLE 5.— Conversion des intervalles de temps moyen en intervalles équivalents de temps sidéral

—
TAFEL 5.— Omzetting van intervallen middelbare tijd in gelijkwaardige intervallen sterrentijd

| Heures — Uren | | | Minutes — Minuten | | | | Secondes — Seunden | | | |
|--|-----------------------------------|--|-----------------------------------|--|-----------------------------------|--|-----------------------------------|--|-----------------------------------|--|
| Temps moyen — Middelbare tijd | Temps sidéral — Sterrentijd | |
| h | h m s | m | m s | m | m s | s | s | s | s | |
| 1 | 1 00 09,86 | 1 | 1 00,16 | 31 | 31 05,09 | 1 | 1,00 | 31 | 31,08 | |
| 2 | 2 00 19,71 | 2 | 2 00,33 | 32 | 32 05,26 | 2 | 2,01 | 32 | 32,09 | |
| 3 | 3 00 29,57 | 3 | 3 00,49 | 33 | 33 05,42 | 3 | 3,01 | 33 | 33,09 | |
| 4 | 4 00 39,43 | 4 | 4 00,66 | 34 | 34 05,59 | 4 | 4,01 | 34 | 34,09 | |
| 5 | 5 00 49,28 | 5 | 5 00,82 | 35 | 35 05,75 | 5 | 5,01 | 35 | 35,10 | |
| 6 | 6 00 59,14 | 6 | 6 00,99 | 36 | 36 05,91 | 6 | 6,02 | 36 | 36,10 | |
| 7 | 7 01 09,00 | 7 | 7 01,15 | 37 | 37 06,08 | 7 | 7,02 | 37 | 37,10 | |
| 8 | 8 01 18,85 | 8 | 8 01,31 | 38 | 38 06,24 | 8 | 8,02 | 38 | 38,10 | |
| 9 | 9 01 28,71 | 9 | 9 01,48 | 39 | 39 06,41 | 9 | 9,02 | 39 | 39,11 | |

| Heures — Uren | | | Minutes — Minuten | | | | Secondes — Seunden | | | |
|--|-----------------------------------|--|-----------------------------------|--|-----------------------------------|--|-----------------------------------|--|-----------------------------------|--|
| Temps moyen — Middelbare tijd | Temps sidéral — Sterrentijd | |
| h | h m s | m | m s | m | m s | s | s | s | s | |
| 10 | 10 01 38,56 | 10 | 10 01,64 | 40 | 40 06,57 | 10 | 10,03 | 40 | 40,11 | |
| 11 | 11 01 48,42 | 11 | 11 01,81 | 41 | 41 06,74 | 11 | 11,03 | 41 | 41,11 | |
| 12 | 12 01 58,28 | 12 | 12 01,97 | 42 | 42 06,90 | 12 | 12,03 | 42 | 42,11 | |
| 13 | 13 02 08,13 | 13 | 13 02,14 | 43 | 43 07,06 | 13 | 13,04 | 43 | 43,12 | |
| 14 | 14 02 17,99 | 14 | 14 02,30 | 44 | 44 07,23 | 14 | 14,04 | 44 | 44,12 | |
| 15 | 15 02 27,85 | 15 | 15 02,46 | 45 | 45 07,39 | 15 | 15,04 | 45 | 45,12 | |
| 16 | 16 02 37,70 | 16 | 16 02,63 | 46 | 46 07,56 | 16 | 16,04 | 46 | 46,13 | |
| 17 | 17 02 47,56 | 17 | 17 02,79 | 47 | 47 07,72 | 17 | 17,05 | 47 | 47,13 | |
| 18 | 18 02 57,42 | 18 | 18 02,96 | 48 | 48 07,89 | 18 | 18,05 | 48 | 48,13 | |
| 19 | 19 03 07,27 | 19 | 19 03,12 | 49 | 49 08,05 | 19 | 19,05 | 49 | 49,13 | |
| 20 | 20 03 17,13 | 20 | 20 03,29 | 50 | 50 08,21 | 20 | 20,05 | 50 | 50,14 | |
| 21 | 21 03 26,99 | 21 | 21 03,45 | 51 | 51 08,38 | 21 | 21,06 | 51 | 51,14 | |
| 22 | 22 03 36,84 | 22 | 22 03,61 | 52 | 52 08,54 | 22 | 22,06 | 52 | 52,14 | |
| 23 | 23 03 46,70 | 23 | 23 03,78 | 53 | 53 08,71 | 23 | 23,06 | 53 | 53,15 | |
| 24 | 24 03 56,56 | 24 | 24 03,94 | 54 | 54 08,87 | 24 | 24,07 | 54 | 54,15 | |
| | | 25 | 25 04,11 | 55 | 55 09,04 | 25 | 25,07 | 55 | 55,15 | |
| | | 26 | 26 04,27 | 56 | 56 09,20 | 26 | 26,07 | 56 | 56,15 | |
| | | 27 | 27 04,44 | 57 | 57 09,36 | 27 | 27,07 | 57 | 57,16 | |
| | | 28 | 28 04,60 | 58 | 58 09,53 | 28 | 28,08 | 58 | 58,16 | |
| | | 29 | 29 04,76 | 59 | 59 09,69 | 29 | 29,08 | 59 | 59,16 | |
| | | 30 | 30 04,93 | 60 | 60 09,86 | 30 | 30,08 | 60 | 60,16 | |

TABLE 6.— Conversion des intervalles de temps sidéral en intervalles équivalents de temps moyen
TAFEL 6.— Omzetting van intervallen sterrentijd in gelijkwaardige intervallen middelbare tijd

| Heures — Uren | | | Minutes — Minuten | | | | | Secondes — Seunden | | | | |
|--------------------------------|----------------------------------|--------------------------------|----------------------------------|--------------------------------|----------------------------------|--------------------------------|----------------------------------|--------------------------------|----------------------------------|--------------------------------|----------------------------------|--|
| Temps sidéral — Sterrentijd | Temps moyen — Middelbare tijd | Temps sidéral — Sterrentijd | Temps moyen — Middelbare tijd | Temps sidéral — Sterrentijd | Temps moyen — Middelbare tijd | Temps sidéral — Sterrentijd | Temps moyen — Middelbare tijd | Temps sidéral — Sterrentijd | Temps moyen — Middelbare tijd | Temps sidéral — Sterrentijd | Temps moyen — Middelbare tijd | |
| h | h m s | m | m s | m | m s | s | s | s | s | s | s | |
| 1 | 0 59 50,17 | 1 | 0 59,84 | 31 | 30 54,92 | 1 | 1,00 | 31 | 30,92 | | | |
| 2 | 1 59 40,34 | 2 | 1 59,67 | 32 | 31 54,76 | 2 | 1,99 | 32 | 31,91 | | | |
| 3 | 2 59 30,51 | 3 | 2 59,51 | 33 | 32 54,59 | 3 | 2,99 | 33 | 32,91 | | | |
| 4 | 3 59 20,68 | 4 | 3 59,34 | 34 | 33 54,43 | 4 | 3,99 | 34 | 33,91 | | | |
| 5 | 4 59 10,85 | 5 | 4 59,18 | 35 | 34 54,27 | 5 | 4,99 | 35 | 34,90 | | | |
| 6 | 5 59 01,02 | 6 | 5 59,02 | 36 | 35 54,10 | 6 | 5,98 | 36 | 35,90 | | | |
| 7 | 6 58 51,19 | 7 | 6 58,85 | 37 | 36 53,94 | 7 | 6,98 | 37 | 36,00 | | | |
| 8 | 7 58 41,36 | 8 | 7 58,69 | 38 | 37 53,77 | 8 | 7,98 | 38 | 37,90 | | | |
| 9 | 8 58 31,53 | 9 | 8 58,53 | 39 | 38 53,61 | 9 | 8,98 | 39 | 38,89 | | | |
| 10 | 9 58 21,70 | 10 | 9 58,36 | 40 | 39 53,45 | 10 | 9,97 | 40 | 39,89 | | | |
| 11 | 10 58 11,87 | 11 | 10 58,20 | 41 | 40 53,28 | 11 | 10,97 | 41 | 40,89 | | | |

| Heures — Uren | | | Minutes — Minuten | | | | | Secondes — Seunden | | | | |
|--------------------------------|----------------------------------|--------------------------------|----------------------------------|--------------------------------|----------------------------------|--------------------------------|----------------------------------|--------------------------------|----------------------------------|--------------------------------|----------------------------------|--|
| Temps sidéral — Sterrentijd | Temps moyen — Middelbare tijd | Temps sidéral — Sterrentijd | Temps moyen — Middelbare tijd | Temps sidéral — Sterrentijd | Temps moyen — Middelbare tijd | Temps sidéral — Sterrentijd | Temps moyen — Middelbare tijd | Temps sidéral — Sterrentijd | Temps moyen — Middelbare tijd | Temps sidéral — Sterrentijd | Temps moyen — Middelbare tijd | |
| h | h m s | m | m s | m | m s | s | s | s | s | s | s | |
| 12 | 11 58 02,05 | 12 | 11 58,03 | 42 | 41 53,12 | 12 | 11,97 | 42 | 41,89 | | | |
| 13 | 12 57 52,22 | 13 | 12 57,87 | 43 | 42 52,96 | 13 | 12,96 | 43 | 42,88 | | | |
| 14 | 13 57 42,39 | 14 | 13 57,71 | 44 | 43 52,79 | 14 | 13,96 | 44 | 43,88 | | | |
| 15 | 14 57 32,56 | 15 | 14 57,54 | 45 | 44 52,63 | 15 | 14,96 | 45 | 44,88 | | | |
| 16 | 15 57 22,73 | 16 | 15 57,38 | 46 | 45 52,46 | 16 | 15,96 | 46 | 45,87 | | | |
| 17 | 16 57 12,90 | 17 | 16 57,21 | 47 | 46 52,30 | 17 | 16,95 | 47 | 46,87 | | | |
| 18 | 17 57 03,07 | 18 | 17 57,05 | 48 | 47 52,14 | 18 | 17,95 | 48 | 47,87 | | | |
| 19 | 18 56 53,24 | 19 | 18 56,89 | 49 | 48 51,97 | 19 | 18,95 | 49 | 48,87 | | | |
| 20 | 19 56 43,41 | 20 | 19 56,72 | 50 | 49 51,81 | 20 | 19,95 | 50 | 49,86 | | | |
| 21 | 20 56 33,58 | 21 | 20 56,56 | 51 | 50 51,64 | 21 | 20,94 | 51 | 50,86 | | | |
| 22 | 21 56 23,75 | 22 | 21 56,40 | 52 | 51 51,48 | 22 | 21,94 | 52 | 51,86 | | | |
| 23 | 22 56 13,92 | 23 | 22 56,23 | 53 | 52 51,32 | 23 | 22,94 | 53 | 52,86 | | | |
| 24 | 23 56 04,09 | 24 | 23 56,07 | 54 | 53 51,15 | 24 | 23,93 | 54 | 53,85 | | | |
| | | 25 | 24 55,90 | 55 | 54 50,99 | 25 | 24,93 | 55 | 54,85 | | | |
| | | 26 | 25 55,74 | 56 | 55 50,83 | 26 | 25,93 | 56 | 55,85 | | | |
| | | 27 | 26 55,58 | 57 | 56 50,66 | 27 | 26,93 | 57 | 56,84 | | | |
| | | 28 | 27 55,51 | 58 | 57 50,50 | 28 | 27,92 | 58 | 57,84 | | | |
| | | 29 | 28 55,25 | 59 | 58 50,33 | 29 | 28,92 | 59 | 58,84 | | | |
| | | 30 | 29 55,09 | 60 | 59 50,17 | 30 | 29,92 | 60 | 59,84 | | | |

TABLE DES MATIÈRES

AVANT-PROPOS

| | |
|--------------|---|
| Avant-propos | 4 |
|--------------|---|

COORDONNÉES TERRESTRES

(C. Bruyninx)

| | |
|--|---|
| Observatoire royal de Belgique à Uccle | 8 |
|--|---|

CONSTANTES ASTRONOMIQUES

(T. Pauwels)

| | |
|--------------------------|----|
| Constantes astronomiques | 14 |
|--------------------------|----|

CHRONOLOGIE – CALENDRIERS

(T. Pauwels)

| | |
|----------------------------------|----|
| Calendrier grégorien | 22 |
| Généralités | 22 |
| Heure d'été | 24 |
| Données numériques du calendrier | 24 |
| Jours fériés | 26 |
| Bases du comput | 28 |
| Calendrier julien | 28 |

LE SOLEIL

(T. Pauwels)

| | |
|--|----|
| Généralités | 30 |
| Commencement des saisons astronomiques | 32 |
| Tableaux mensuels | 32 |
| Explications | 32 |
| Ephémérides | 36 |
| Données diverses | 60 |
| Rotations solaires synodiques | 61 |

LA LUNE

(T. Pauwels)

| | |
|-------------|----|
| Généralités | 62 |
|-------------|----|

INHOUD

VOORWOORD

| | |
|-----------|---|
| Voorwoord | 5 |
|-----------|---|

AARDVASTE COÖRDINATEN

(C. Bruyninx)

| | |
|--|---|
| Koninklijke Sterrenwacht van België te Ukkel | 9 |
|--|---|

ASTRONOMISCHE CONSTANTEN

(T. Pauwels)

| | |
|--------------------------|----|
| Astronomische constanten | 15 |
|--------------------------|----|

TIJDREKENING – KALENDERS

(T. Pauwels)

| | |
|----------------------------|----|
| Gregoriaanse kalender | 23 |
| Algemeenigheden | 23 |
| Zomertijd | 25 |
| Numerieke kalendergegevens | 25 |
| Feestdagen | 27 |
| Gegevens voor de comput | 29 |
| Juliaanse kalender | 29 |

DE ZON

(T. Pauwels)

| | |
|--|----|
| Algemeenigheden | 31 |
| Aanvang der astronomische jaargetijden | 33 |
| Maandelijkse tabellen | 33 |
| Toeëxplanaties | 33 |
| Efemeriden | 36 |
| Verscheidene gegevens | 60 |
| Synodische zonnewentelingen | 61 |

DE MAAN

(T. Pauwels)

| | |
|-----------------|----|
| Algemeenigheden | 63 |
|-----------------|----|

| | |
|-------------------|----|
| Tableaux mensuels | 64 |
| Explications | 64 |
| Ephémérides | 68 |

LE SYSTÈME PLANÉTAIRE

(T. Pauwels)

| | |
|--|-----|
| Données numériques | 92 |
| Les satellites | 94 |
| Phénomènes planétaires géocentriques | 100 |
| Phénomènes planétaires héliocentriques | 102 |
| Phases de Vénus et de Mars | 104 |
| Apparances de l'anneau de Saturne | 105 |
| Visibilité des planètes | 106 |
| Ephémérides | 108 |
| Explications | 108 |
| Mercure | 110 |
| Vénus | 113 |
| Mars | 116 |
| Jupiter | 119 |
| Saturne | 121 |
| Uranus | 123 |
| Neptune | 123 |

ASTÉROÏDES ET PLANÈTES NAINES

(T. Pauwels)

| | |
|--------------|-----|
| Explications | 126 |
| Ephémérides | 130 |

COMÈTES

(T. Pauwels)

| | |
|---|-----|
| Nouvelles comètes périodiques numérotées | 140 |
| Explications | 140 |
| Liste des nouvelles comètes numérotées (tableau) | 142 |
| Comètes numérotées qui passent au périhélie | 144 |
| Explications | 144 |
| Liste des comètes numérotées qui passent au périhélie (tableau) | 146 |
| Comètes les plus brillantes en 2025 | 148 |
| Explications | 148 |
| Ephémérides | 152 |

| | |
|-----------------------|----|
| Maandelijkse tabellen | 65 |
| Toelichtingen | 65 |
| Efemeriden | 68 |

HET PLANETENSTELSEL

(T. Pauwels)

| | |
|---|-----|
| Numerieke gegevens | 93 |
| De satellieten | 94 |
| Geocentrische planetaire verschijnselen | 101 |
| Heliocentrische planetaire verschijnselen | 103 |
| Schijngestalten van Venus en Mars | 104 |
| Uitzicht van de ring van Saturnus | 105 |
| Zichtbaarheid van de planeten | 106 |
| Efemeriden | 109 |
| Toelichtingen | 109 |
| Mercurius | 110 |
| Venus | 113 |
| Mars | 116 |
| Jupiter | 119 |
| Saturnus | 121 |
| Uranus | 123 |
| Neptunus | 123 |

ASTEROÏDEN EN DWERGPLANETEN

(T. Pauwels)

| | |
|---------------|-----|
| Toelichtingen | 127 |
| Efemeriden | 130 |

KOMETEN

(T. Pauwels)

| | |
|---|-----|
| Nieuw-genummerde periodieke kometen | 141 |
| Toelichtingen | 141 |
| Lijst van nieuw-genummerde kometen (tabel) | 142 |
| Genummerde kometen die door het perihelium gaan | 145 |
| Toelichtingen | 145 |
| Lijst van genummerde kometen die door het perihelium gaan (tabel) | 146 |
| De helderste kometen in 2025 | 149 |
| Toelichtingen | 149 |
| Efemeriden | 152 |

ESSAIMS DE MÉTÉORES

(T. Pauwels)

| | |
|-----------------------------|-----|
| Explications | 164 |
| Liste des essaims (tableau) | 166 |

PHÉNOMÈNES OBSERVABLES

(T. Pauwels)

| | |
|---|-----|
| Éclipses de Soleil et de Lune | 168 |
| Description | 170 |
| Explications | 178 |
| Visibilité (cartes) | 181 |
| Occultations d'étoiles et de planètes par la Lune | 186 |
| Explications | 186 |
| Liste des phénomènes (tableau) | 191 |
| Phénomènes des satellites de Jupiter | 200 |
| Explications | 200 |
| Liste des phénomènes (tableau) | 202 |

TABLES

Tables relatives aux levers et couchers des astres

(T. Pauwels)

| | |
|--|-----|
| Table 1.— Levers et couchers du Soleil | 210 |
| Explications | 210 |
| Tableau | 212 |
| Table 2.— Azimut d'un astre au moment de son lever et de son coucher | 214 |
| Explications | 214 |
| Tableau | 216 |
| Table 3.— Levers et couchers de la Lune et des planètes | 218 |
| Explications | 218 |
| Tableau | 220 |
| Table 4.— Intervalle semi-diurne | 221 |

Tables de conversion relatives au temps

| | |
|---|-----|
| Table 5.— Conversion des intervalles de temps moyen en intervalles équivalents de temps sidéral | 222 |
| Table 6.— Conversion des intervalles de temps sidéral en intervalles équivalents de temps moyen | 224 |

METEOORZWERMEN

(T. Pauwels)

| | |
|------------------------------|-----|
| Toelichtingen | 165 |
| Lijst van de zwermen (tabel) | 167 |

ZICHTBARE VERSCHIJNSELEN

(T. Pauwels)

| | |
|--|-----|
| Zons- en maansverduisteringen | 169 |
| Beschrijving | 171 |
| Toelichtingen | 179 |
| Zichtbaarheid (kaarten) | 181 |
| Bedeckingen van sterren en planeten door de maan | 187 |
| Toelichtingen | 187 |
| Lijst van de verschijnselen (tabel) | 191 |
| Verschijnselen van de satellieten van Jupiter | 201 |
| Toelichtingen | 201 |
| Lijst van de verschijnselen (tabel) | 202 |

TAFELS

Tafels betreffende de opkomsten en ondergangen van de hemellichamen

(T. Pauwels)

| | |
|---|-----|
| Tafel 1.— Opkomsten en ondergangen van de zon | 211 |
| Toelichtingen | 211 |
| Tabel | 212 |
| Tafel 2.— Azimut van een hemellichaam op het tijdstip van zijn opkomst en ondergang | 215 |
| Toelichtingen | 215 |
| Tabel | 216 |
| Tafel 3.— Opkomsten en ondergangen van de maan en de planeten | 219 |
| Toelichtingen | 219 |
| Tabel | 220 |
| Tafel 4.— Halve dagboog | 221 |

Omzettingstafels betreffende de tijd

| | |
|---|-----|
| Tafel 5.— Omzetting van intervalen middelbare tijd in gelijkwaardige intervalen sterrentijd | 222 |
| Tafel 6.— Omzetting van intervalen sterrentijd in gelijkwaardige intervalen middelbare tijd | 224 |